

Monte-Carlo-Simulationen des Ising-Modells mit Multispin-Coding auf GPUs

Monte-Carlo-Simulations of the
Ising model with multispin coding
on GPUs

Bachelorthesis

in Physik

von

Milad Ghanbarpour

Matrikelnummer: 2011885

eingereicht im

September 2016

Erstgutachter: Prof. Dr. Lorenz von Smekal

Zweitgutachter: Dr. Dominik Smith

Zusammenfassung

Die hier vorliegende Arbeit beschäftigt sich mit der Monte-Carlo-Simulation des Ising-Modells im kanonischen Ensemble auf GPUs für ein zweidimensionales Gitter, wobei der dreidimensionale Fall an gewissen Stellen mit betrachtet wird. Im Vordergrund steht die Verwendung der Multispin-Coding-Methode, welches die einzelnen Bits einer Speicherstelle zur Kodierung von Spinzuständen des Gitters verwendet. Im Rahmen dieser Arbeit soll hierbei untersucht werden, ob und wie der Demon-Algorithmus in [5], [6] und [21] beschrieben, unter Verwendung der Multispin-Coding-Methode, auf die GPU umgesetzt werden kann. Das Resultat wird anschließend mit der bekannten Umsetzung, die auch Multispin-Methoden verwendet, des Metropolis-Algorithmus in [31] und [32] für GPUs verglichen. Hierbei sind beide Verfahren in dieser Arbeit explizit implementiert. Ferner wird auch der Aufbau und die Arbeitsweise von GPUs des Hersteller *Nvidia* diskutiert und die sich daraus ergebenden Konsequenzen für die Konstruktion von Implementierungen numerischer Simulationen auf GPUs.

Es stellt sich heraus, dass die Implementierungen des Demon-Algorithmus für kleine Gitter mit circa 10^5 Spins durchaus schneller sein können als der Metropolis-Algorithmus. Für größer Gitter zeigt sich jedoch, dass der Demon-Algorithmus rapide an Geschwindigkeit einbüßt, während die des Metropolis-Algorithmus langsamer, bezogen auf die Vergrößerung des Gitters, abnimmt.

Inhaltsverzeichnis

1 Einleitung	1
2 Das Ising-Modell	3
2.1 Definition des Ising-Modells	3
2.2 Kopplung am Wärmebad	4
2.2.1 Grundlagen	4
2.2.2 Phasenübergänge	7
2.2.2.1 Phasenübergang für das zweidimensionale Ising-Modell	8
2.2.2.2 Kritisches Verhalten an Phasenübergängen	10
2.2.2.3 Finite-Size-Scaling-Gesetze	10
3 Monte-Carlo-Simulationen des Ising-Modells	13
3.1 Grundlagen	13
3.1.1 Markov-Kette	15
3.1.2 Zufallsgeneratoren	17
3.2 Algorithmen für das Ising-Modell	18
3.2.1 Metropolis-Algorithmus	18
3.2.2 Demon-Algorithmus	19
3.2.2.1 Mikrokanonischer Update des Gesamtsystems	22
3.2.2.2 Kanonisches Update des Demon-Systems	22
4 GPU-Programmierung	24
4.1 Grafikprozessoren	24
4.2 CUDA und GPU-Architektur	26
4.2.1 Compute Capability	28
4.2.2 Speichermodell der GPU	28
4.2.2.1 Global Memory	29
4.2.2.2 Shared Memory	30
4.2.2.3 Zugriffsgeschwindigkeiten	31
4.3 CUDA C/C++ Programmierung	31
4.3.1 Programmierung von <i>kernels</i>	32
4.3.2 Speicherreservierung	34
4.3.2.1 Global Memory	34
4.3.2.2 Shared Memory	34

5 Implementation der Algorithmen	36
5.1 Multispin-Coding	36
5.2 Implementierung des Metropolis-Algorithmus	37
5.2.1 Programmaufbau	37
5.2.2 Gitteraufbau	38
5.2.3 Update der Spinkonfiguration	39
5.2.3.1 Zufallszahlen innerhalb von <i>threads</i>	40
5.2.4 Berechnung der totalen Magnetisierung	40
5.3 Implementierung des Demon-Algorithmus	41
5.3.1 Programmaufbau	41
5.3.2 Gitteraufbau	41
5.3.3 Update der Spinkonfigurationen	43
5.3.3.1 Mikrokanonisches Update der Spinkonfigurationen	43
5.3.3.2 Kanonisches Update der Demons	47
5.3.4 Berechnung der totalen Magnetisierung	49
6 Analyse und Vergleich der Implementierungen	50
6.1 Laufzeitanalyse der Implementierungen	50
6.2 Simulation des zweidimensionalen Gitters	55
6.2.1 Qualitative Untersuchung der Implementierungen	55
6.2.2 Quantitative Untersuchungen der Implementierungen	61
6.2.2.1 Statistischer Fehler und Autokorrelation	61
6.2.2.2 Binderkumulante und kritischer Exponent	64
7 Zusammenfassung und Ausblick	68
8 Anhang	69
8.1 Simulationsparameter für Abschnitt 6.2.2.2	69
8.2 Dokumentation der Quellcodes	71
8.2.1 Metropolis-Algorithmus	71
8.2.1.1 routines2D.hpp	71
8.2.1.2 routines3D.hpp	71
8.2.1.3 rng.hpp	72
8.2.1.4 Lattice.hpp	74
8.2.1.5 routines2D.cu	77
8.2.1.6 routines3D.cu	85
8.2.1.7 Lattice.cu	93
8.2.2 Demon-Algorithmus	95
8.2.2.1 multint.hpp	95
8.2.2.2 rng.hpp	96
8.2.2.3 routines2D.hpp	100
8.2.2.4 routines3D.hpp	103
8.2.2.5 Lattice.hpp	107
8.2.2.6 routines2D.cu	113

8.2.2.7	routines3D.cu	134
8.2.2.8	Lattice.cu	155

Kapitel 1

Einleitung

Heutige Rechenmaschinen bieten die Möglichkeit für viele physikalische Probleme, bei denen keine analytischen Lösungen existieren, numerische Ergebnisse mit gewünschter Genauigkeit zu berechnen. Im Rahmen der statistischen Physik sind solche numerische Betrachtungen von Interesse. Dies liegt daran, dass realistische Modelle, die für die Beschreibung von thermodynamischen Phänomenen dienlich sind, meist aufgrund von Wechselwirkungen von Teilchen miteinander zu analytisch schwer zu betrachtenden Verhalten führen. Folglich die entsprechenden Größen, wie die thermodynamischen Potentiale, nicht ohne weiteres exakt angegeben werden können. Die statistische Physik beschäftigt sich mit der Bestimmung von Erwartungswerten, wie Druck und Volumen, von einem gegebenen System bei vorgegebenen thermodynamischen Größen. Die Aufgabe der numerischen Simulation ist es hierbei für vorgegebene Größen entsprechend die gewünschten Erwartungswerte mit einer gewissen Genauigkeit zu berechnen.

Die hier vorliegende Arbeit beschäftigt sich mit der Simulation des Ising-Modells. Im Rahmen dieses Modells wird ein d -dimensionales Gitter betrachtet, an dessen einzelnen Gitterpunkten Spins lokalisiert sind, die je zwei Zustände einnehmen können. Hierbei wechselwirken benachbarte Spins über eine Kopplungskonstante miteinander, siehe Kapitel 2. Für das Ising-Modell existieren durchaus analytische Betrachtungen für $d = 1$ (siehe [13]) und $d = 2$ (siehe [4]). Jedoch nicht für höhere Dimensionen, wobei zusätzlich die Betrachtungen für $d = 2$ nicht trivial sind. In dieser Arbeit wird das Ising-Modell gekoppelt an ein Wärmebad mit der Temperatur T betrachtet. Es geht vorwiegend um die Simulation im kanonischen Ensemble mit Hilfe von Monte-Carlo-Methoden, wobei die besprochenen Verfahren auf Grafikprozessoren (GPU) implementiert werden und die Multispin-Coding-Methode, welches jedes Bit eines Wortes zur Abspeicherung eines Spinzustandes benutzt, verwendet wird. Es werden in dieser Arbeit die zwei Verfahren, Metropolis-Algorithmus und Demon-Algorithmus, implementiert.

Für den Metropolis-Algorithmus auf GPUs mit Multispin-Coding existieren hierbei die Arbeiten in [31] und [32], auf dessen Basis entsprechend der Metropolis-Algorithmus in dieser Arbeit implementiert wird.

Der Demon-Algorithmus wird beispielsweise in den Arbeiten [6], [21] und [20] behandelt und ist für CPUs mit Multispin-Coding implementiert und liefert besonders schnelle Simulationen bei wenigen benötigten Zufallszahlen. In dieser Arbeit wird der Fragestel-

lung, in wie weit dieser Algorithmus auf die GPU umgesetzt werden kann, nachgegangen und anschließend mit der Implementierung des Metropolis-Algorithmus verglichen. Ferner werden für die beiden Implementierungen grundlegende Simulationen für ein zweidimensionales Gitter ausgeführt und der Phasenübergang im thermodynamischen Limes untersucht, was einerseits eine Verifikation der Funktionalität der Implementierungen ist und andererseits die grundlegenden Methodik und Problematiken bei derartigen Simulationen illustriert.

Um dies zu bewerkstelligen müssen entsprechend die Grundlagen erarbeitet werden. In Kapitel 2 werden die grundlegenden Eigenschaften des Ising-Modells, wie zum Beispiel den Phasenübergang für ein Gitter mit $d = 2$, besprochen. Im darauffolgenden Kapitel werden die Grundideen der Monte-Carlo-Simulationen dargestellt und insbesondere die beiden Verfahren Metropolis-Algorithmus und Demon-Algorithmus detailliert angegeben. Kapitel 4 beschäftigt sich mit der Programmierung von Grafikprozessoren des Hersteller *Nvidia*. Aufgrund der Tatsache, dass GPUs eine anderen Aufbau als CPUs besitzen gibt es gewisse Punkte, die bei der Programmierung beachtet werden müssen und die Implementierungen maßgeblich beeinflussen.

Nachdem diese Grundlagen getroffen sind, werden in Kapitel 5 die Implementierungen der beiden Verfahren besprochen und anschließend in Kapitel 6 miteinander verglichen und entsprechend die Simulationsergebnisse diskutiert.

Kapitel 2

Das Ising-Modell

2.1 Definition des Ising-Modells

Wir wollen zunächst das Ising-Modell definieren und anschließend genauer betrachten.

Beim Ising-Modell handelt es sich, um ein physikalisches Modellsystem eines endlichen Gitters

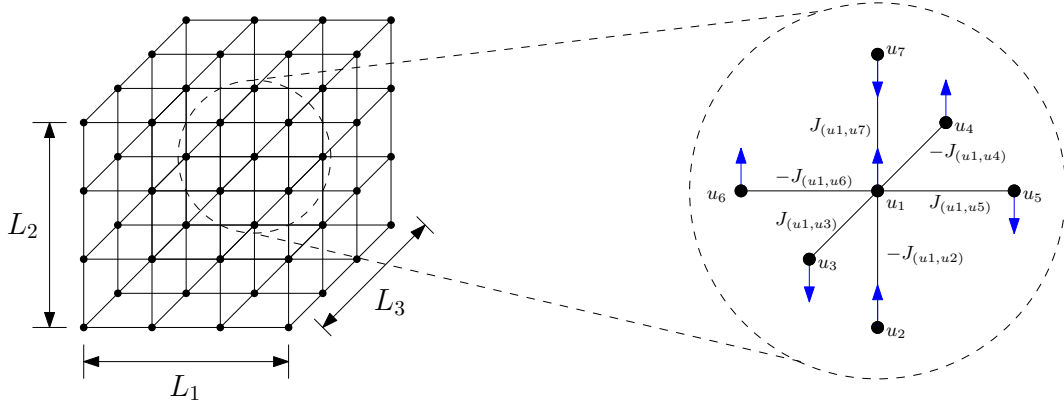
$$G_{(L_1, \dots, L_d)}^d := \{x | x = (x_1, \dots, x_d) \in \mathbb{N}_0^d \wedge \forall i \in \{1, \dots, d\} : x_i < L_i\} \quad (2.1.1)$$

mit der Dimension d und Ausdehnungen L_i in den i -ten Richtungen, bei der jedem Gitterpunkt ein Spin mit zwei Einstellungsmöglichkeiten zugeordnet ist. Die einzelnen Spins wechselwirken dabei mit ihren nächsten Nachbarn. Der Begriff Spin ist in der oberen Definition zunächst allgemein gehalten. Es muss sich nicht zwangsläufig um einen Spin von einem Teilchen, wie ein Elektron handeln, womit beispielsweise das Ising-Modell zur Beschreibung vom Ferromagnetismus verwendet wird. Ganz allgemein dient diese Definition dazu ein Gesamtsystem zu beschreiben, dass aus identischen, an den Gitterpunkten platzierten, Systemen besteht, die sich jeweils nur in einem von zwei möglichen Zuständen befinden können. Eine Illustration eines solchen Gitters für $d = 3$ findet sich in Abbildung 2.1.1. Die Zustände der Einzelsysteme werden beispielsweise mit die Zahlen -1 oder 1 gekennzeichnet oder über zwei sich entgegengesetzende Pfeile, wie in Abbildung 2.1.1 vorzufinden, dargestellt. Eine Kombination der einzelnen Zustände von den Gitterpunkten wird als Spinkonfiguration bezeichnet, die über eine Abbildung

$$\sigma : G_{(L_1, \dots, L_d)}^d \longrightarrow \{-1, 1\} \quad (2.1.2)$$

repräsentiert werden kann. Offensichtlich existieren insgesamt $2^{L_1 \cdot L_2 \cdots \cdot L_d}$ solcher Spinkonfigurationen für ein Gitter. Die Menge der Konfigurationen bezeichnen wir als $\Lambda_{(L_1, \dots, L_d)}^d$, oder, falls es aus dem Kontext ersichtlich sein sollte, nur Λ . Die Wechselwirkung der einzelnen Gitterpunkte wird über die Hamiltonfunktion

$$H(\sigma) = - \sum_{\langle x, y \rangle} J_{\langle x, y \rangle} \sigma(x) \sigma(y) - \sum_{x \in G} h_x \sigma(x) \quad (2.1.3)$$

Abbildung 2.1.1: Illustration des Ising-Modells für $d = 3$.

festgelegt, wobei $\langle x, y \rangle$ für eine Kante zwischen zwei benachbarten Gitterpunkten steht, wie in Abbildung 2.1.1 dargestellt. Für Randpunkte mit $g_{L_i} = (x_1, \dots, L_i, \dots, x_d)$ ist der nächste Nachbar für die positive i -te Richtung der Gitterpunkt bei $g_0 = (x_1, \dots, 0, \dots, x_d)$. Entsprechend existiert zwischen beide Gitterpunkten eine Kante $\langle g_0, g_{L_i} \rangle$. Die erste Summe stellt somit eine Summierung über alle Kanten eines Gitters dar, wobei jeder Kante eine Kopplungskonstante $J_{\langle x, y \rangle}$ zugeordnet ist. Durch das Produkt $\sigma(x)\sigma(y)$ wird bestimmt, ob die Gesamtenergie durch parallele Ausrichtung der Spins um $-J_{\langle x, y \rangle}$ herabgesetzt oder durch anti-parallele Ausrichtung der Spins um $J_{\langle x, y \rangle}$ erhöht wird. Die zweite Summe in $H(\sigma)$ berücksichtigt die Möglichkeit, dass ein äußerer, möglicherweise ortsabhängiges, Feld h_x vorhanden sein kann.

Es sei darauf zu achten, dass $\langle x, y \rangle$ unabhängig von der Reihenfolge (x, y) ist und in diesem Fall repräsentativ für eine Kante steht. Eine Abhängigkeit der Reihenfolge führt zu einer doppelten Zählung in der ersten Summe. Folglich müsste ein Faktor $\frac{1}{2}$ vor der ersten Summe stehen, um dieser Tatsache gerecht zu werden.

Im Folgenden wird stets ein allgemeines endliches d -dimensionales Gitter im Rahmen des Ising-Modells mit Kopplungskonstanten $J_{\langle x, y \rangle}$ und äußerem Feld h_x voraus gesetzt, falls keine spezifischen Einschränkungen angegeben werden.

2.2 Kopplung am Wärmebad

2.2.1 Grundlagen

Das Ising-Modell an sich wird typischerweise im Rahmen der statistischen Physik im kanonischen Ensemble betrachtet und auch in dieser Arbeit geht es um die Simulation des Ising-Modells gekoppelt an ein Wärmebad. Dementsprechend folgen an dieser Stelle grundlegende statistische Betrachtungen, die später wiederholt aufgegriffen werden.

Koppeln man das Spin-Gitter im Rahmen des Ising-Modells an ein Wärmebad mit der Temperatur T , so erhält man für die Wahrscheinlichkeitsverteilung $P(\sigma)$ der Spinkonfi-

gurationen

$$P(\sigma) = \frac{1}{Z} e^{-\frac{1}{kT} H(\sigma)} \quad (2.2.1)$$

wobei Z die Zustandssumme und durch

$$Z = \sum_{\sigma \in \Lambda} e^{-\frac{1}{kT} H(\sigma)} \quad (2.2.2)$$

gegeben ist.

Der Erwartungswert $\langle A \rangle$ einer Observablen $A(\sigma)$ ist durch

$$\langle A \rangle = \frac{1}{Z} \sum_{\sigma \in \Lambda} e^{-\frac{1}{kT} H(\sigma)} \quad (2.2.3)$$

gegeben. Für die in dieser Arbeit getroffenen Betrachtungen sind vor allem Systeme interessant, bei denen $J_{\langle u,v \rangle} = J_c = \text{const.}$ und $h = 0$ ist. Hierbei werden die Randbedingungen, das heißt die Kopplungskonstanten $J_{\langle g_0, g_{L_i} \rangle} = J_c$ der Kanten $\langle g_0, g_{L_i} \rangle$, in diesem Fall als periodische bezeichnet. Es existieren auch anti-periodische Randbedingungen, die durch $J_{\langle g_0, g_{L_i} \rangle} = -J_c$ festgelegt sind. Für solche Systeme mit periodischen Randbedingungen lässt sich die Zustandssumme Z und der Erwartungswert $\langle A \rangle$ in Gleichung (2.2.3) schreiben als

$$Z = \sum_{\sigma \in \Lambda} \exp \left(\beta \sum_{\langle u,v \rangle} \sigma(u) \sigma(v) \right) \quad (2.2.4)$$

$$\langle A \rangle = \frac{1}{Z} \sum_{\sigma \in \Lambda} A(\sigma) \exp \left(\beta \sum_{\langle u,v \rangle} \sigma(u) \sigma(v) \right) \quad (2.2.5)$$

wobei $\beta = \frac{J_c}{kT}$ die dimensionslose inverse Temperatur ist.

Für das Ising-Modell gibt es typische Erwartungswerte, die häufig bei Betrachtungen des Modells auftreten und auch für uns von Relevanz sind. Hierzu gehört die mittlere Magnetisierung $\langle m \rangle$, die durch

$$\langle m \rangle = \langle m(\sigma) \rangle = \left\langle \frac{1}{N} \sum_{u \in G} \sigma(u) \right\rangle \quad (2.2.6)$$

gegeben ist, mit σ eine Spinkonfiguration und $N = L_1 \times \dots \times L_d$. Die mittlere Magnetisierung kann Werte zwischen -1 und 1 annehmen und gibt anschaulich gesehen die mittlere Ausrichtung eines Spins an. Beispielsweise wäre $\langle m \rangle = -0.8$ interpretierbar als 80% der Spins befinden sich im Mittel im Zustand -1 . An gewissen Stellen dieser Arbeit wird auch der Erwartungswert $\langle |m| \rangle$ als mittlere Magnetisierung bezeichnet, was jedoch an den entsprechenden Stellen angegeben wird.

Basierend auf der Magnetisierung kann man die Suszeptibilität χ für den Fall, dass $h_u = h$ unabhängig von $u \in G_{(L_1, \dots, L_d)}^d$ ist, definieren als

$$\chi = \partial_{h'} \langle m \rangle = \frac{1}{ZN} \left(\sum_{\sigma \in \Lambda} e^{-\frac{H(\sigma)}{kT}} \left(\sum_{u \in G} \sigma(u) \right)^2 \right) \quad (2.2.7)$$

$$- \langle m \rangle \frac{1}{Z^2} \left(\sum_{\sigma \in \Lambda} e^{-\frac{H(\sigma)}{kT}} \left(\sum_{u \in G} \sigma(u) \right) \right) \quad (2.2.8)$$

$$= N(\langle m^2 \rangle - \langle m \rangle^2) \quad (2.2.9)$$

wobei $h' = \beta h$ gewählt ist und auch als äußeres Feld bezeichnet wird. Somit ist dieses Definition identisch mit der in [5] und [8], worauf die Aussagen in den folgenden Abschnitten beruhen. Es ist auch möglich direkt nach h abzuleiten, was jedoch zu einer anderen Definition, die sich um den Faktor $\frac{1}{kT}$ unterscheidet, führt.

Bei der Betrachtung von Phasenübergängen im Rahmen des Ising-Modells tritt die sogenannte Korrelationsfunktion auf, die über

$$G(x) := \langle \sigma(x) \sigma(0) \rangle - \langle m \rangle^2 \quad (2.2.10)$$

definiert ist, siehe [8]. Qualitativ ausgedrückt, ist die Korrelationsfunktion ein Maß für die statistische Abhängigkeit des Spins am Gitterpunkt 0 mit dem am Punkt x . Falls $G(x) = 0$ sein sollte, ist dies gleichbedeutend damit, dass die beiden Spins statistisch unabhängig zueinander sind. Eine statistische Abhängigkeit liegt vor, falls $G(x) \neq 0$ ist.

Über $G(x)$ lässt sich die Korrelationslänge ξ über

$$\xi = \left(\frac{1}{2d} \frac{\sum_{x \in G} |x|^2 G(x)}{\sum_{x \in G} G(x)} \right)^{\frac{1}{2}} \quad (2.2.11)$$

definieren, siehe [8]. Hierbei handelt es sich nicht um die exponentielle Korrelationslänge ξ_{exp} , sondern um die sogenannte *second-moment correlation length*. Für die späteren Betrachtungen im Rahmen des Phasenübergangs des Ising-Modells, spielt die Wahl der Definition der Korrelationslänge keine Rolle.

Eine weitere Größe ist die Binderkumulante U , eingeführt in [1], die über

$$U = 1 - \frac{\langle m^4 \rangle}{3\langle m^2 \rangle^2} \quad (2.2.12)$$

definiert ist.

Wir wollen noch den Begriff des thermodynamischen Limes einführen. Für den Fall, dass $L_i = L$, für alle $i \in \{1, \dots, d\}$ gilt, ist der thermodynamische Limes einer Observable $A(\sigma)$ gegeben als

$$\langle A \rangle_\infty = \lim_{L \rightarrow \infty} \langle A \rangle \quad (2.2.13)$$

falls der Grenzwert existieren sollte. Beim thermodynamischen Limes handelt es sich anschaulich um die Beschreibung eines Gitters bestehend aus unendlich vielen Gitterpunkten, das heißt ein beliebig ausgedehntes Gesamtsystem.

Es sei zu beachten, dass bei allen Definitionen der Größen eine nicht explizit angegebene Abhängigkeit des äußeren Feldes h' vorhanden ist. Falls im folgenden Betrachtungen des Ising-Modells, mit $h_u = h$ unabhängig von u , eine explizite Unterscheidung zwischen unterschiedlichen h' gemacht werden muss, wird dies an der entsprechenden Stelle angegeben.

2.2.2 Phasenübergänge

Im thermodynamischen Gleichgewicht werden physikalische Systeme im Rahmen der statistischen Physik über einen Satz voneinander unabhängiger wählbarer thermodynamischer Größen (A_1, \dots, A_n), wie zum Beispiel Temperatur, Druck, Teilchenzahl, und so weiter beschrieben. In Abhängigkeit dieser Größen ergeben sich für das System die Erwartungswerte von Observablen, die für die thermodynamische Beschreibung des Systems verwendet werden. Für eine Reihe von Systemen zeigen Erwartungswerte bei bestimmten Kombinationen von $(A_{1,c}, A_{2,c}, \dots, A_{n,c})$ eine markante Änderung, wie zum Beispiel einen nicht stetigen Sprung des Erwartungswertes. Qualitativ bedeutet das eine Änderung der Beschreibung der Physik vom System, da zum Beispiel Wechselwirkungen, die vorher keine Rolle gespielt haben, an diesem Punkt anfangen eine Relevanz zu besitzen. Solche Übergänge von einem thermodynamischen System werden als Phasenübergänge bezeichnet. Ein typisches Beispiel hierfür ist das Gefrieren von Wasser. In der Flüssigphase sind die einzelnen Wassermoleküle nicht an ihre Position gebunden und können prinzipiell durch die gesamte Phase diffundieren. Wird nun bei einem bestimmten Druck P die Temperatur T verringert, so geht das Wasser ab einer kritischen Temperatur T_c von der Flüssigphase in die feste Phase über. Die einzelnen Wassermoleküle ordnen sich dabei in einer regelmäßigen Struktur an und sind an ihren relativen Plätzen im Vergleich zu den anderen Molekülen gebunden. Qualitativ lässt sich das durch die Tatsache beschreiben, dass die Wechselwirkungen zwischen den Wassermolekülen bei Temperaturen $T < T_c$ die thermischen Bewegungen überkommen und eine kristalline Struktur ausbilden können. Bei diesem Übergang gibt es beispielsweise einen Sprung in der Entropie S des Systems bei der Temperatur T_c zu einem geringeren Wert in der festen Phase.

Eine quantitative Beschreibung von Phasenübergängen kann durch einen Ordnungsparameter $\psi(T, A_2, \dots, A_n)$ erfolgen, wobei $T = A_1$ die Temperatur des Systems gekoppelt am Wärmebad ist. Dieser Parameter ist eine thermodynamische Größe des betrachteten Systems, die je nach System gewählt wird. Im Rahmen des Ising-Modells wird die Magnetisierung $\psi = \langle |m| \rangle_{\infty, h=0}$ beispielsweise als Ordnungsparameter verwendet.

Ein Ordnungsparameter ψ ist über

$$\psi(T, A_{2,c}, \dots, A_{n,c}) \begin{cases} \neq 0, & \text{für } T < T_c \\ = 0, & \text{für } T \geq T_c \end{cases} \quad (2.2.14)$$

definiert, wobei $(T_c, A_{2,c}, \dots, A_{n,c})$ der kritische Punkt ist, an dem der Phasenübergang geschieht.

Je nach Verhalten an dem kritischen Punkt $(T_c, A_{2,c}, \dots, A_{n,c})$ des Ordnungsparameters ψ erfolgt eine Klassifizierung der Phasenübergänge. Wir sprechen von einem Übergang

1. Ordnung, falls der Ordnungsparameter an der kritischen Punkt nicht stetig sein sollte. Beispiel hierfür ist das nicht stetige Verhalten der Entropie bei der obigen Diskussion. Ein Phasenübergang 2. Ordnung liegt vor, falls der Ordnungsparameter ψ am kritischen Punkt $(T_c, A_{2,c}, \dots, A_{n,c})$ stetig, jedoch mindestens eine seiner partiellen Ableitungen $(\partial_{A_i}\psi)(T_c, A_{2,c}, \dots, A_{n,c})$ nicht stetig, beziehungsweise divergent, sein sollte, siehe [2] und [3]. Ein Beispiel eines solchen Phasenüberganges findet sich weiter unten für das Ising-Modell.

2.2.2.1 Phasenübergang für das zweidimensionale Ising-Modell

Für das zweidimensionale Ising-Modell ohne äußeres Feld existieren analytische Lösungen für unterschiedliche endliche Gitter und dem thermodynamischen Limes, die zuerst in [4] bestimmt worden sind. Betrachten wir uns das Ising-Modell mit $J = \text{const.}$, $J > 0$ und h unabhängig von den Gitterpunkten. In diesem Fall ist im thermodynamischen Limes im Grenzfall $h' \rightarrow 0^+$ die mittlere Magnetisierung

$$\psi = \langle |m| \rangle_{\infty, h=0} = \lim_{L \rightarrow \infty} \langle |m| \rangle_{h=0} = \lim_{h' \rightarrow 0^+} \lim_{L \rightarrow \infty} \langle m \rangle_{h'} \quad (2.2.15)$$

ein Ordnungsparameter und das System besitzt einen Phasenübergang 2. Ordnung bei der dimensionslosen inversen Temperatur β_c , die sich über die Bedingung

$$\sinh(2\beta_c)^2 = 1 \quad (2.2.16)$$

ergibt, für genauere Betrachtungen sei auf [4], [5] verwiesen.

Der konkrete Wert für β_c ergibt sich offensichtlich zu

$$\beta_c = \frac{\sinh^{-1}(1)}{2} \approx 0.4406868 \quad (2.2.17)$$

gerundet auf die angegebene letzte Nachkommastelle.

Für diesen Phasenübergang 2. Ordnung divergiert die Suszeptibilität und Korrelationslänge (siehe [5])

$$\chi_\infty = \lim_{h' \rightarrow 0^+} \lim_{L \rightarrow \infty} \partial_{h'} \langle m \rangle_{h'} = \lim_{L \rightarrow \infty} \underbrace{L^2 (\langle m^2 \rangle_{h=0} - \langle |m| \rangle_{h=0}^2)}_{=: \chi_L} \quad (2.2.18)$$

$$\xi_\infty = \lim_{h' \rightarrow 0^+} \lim_{L \rightarrow \infty} \xi_{h'} \quad (2.2.19)$$

am kritischen Punkt β_c .

Für das physikalische Verständnis des Phasenübergangs ist es interessant qualitativ den Verlauf der mittleren Magnetisierung $\langle |m| \rangle_{\infty, h=0}$ zu kennen. Diese ist für das zweidimensionale Ising-Modell bekannt, siehe [7], und gegeben durch

$$\langle |m| \rangle_{\infty, h=0} = \left(\frac{(1+x^2)(1-6x^2+x^4)^{\frac{1}{2}}}{(1-x^2)^2} \right)^{\frac{1}{4}} \quad (2.2.20)$$

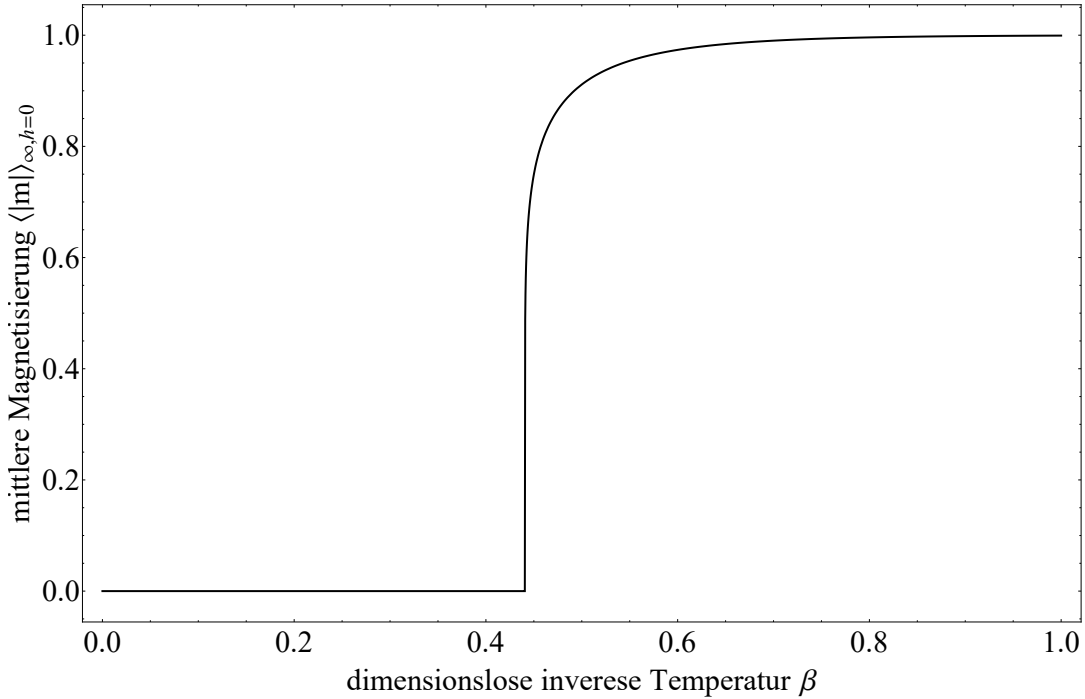


Abbildung 2.2.1: Die mittlere Magnetisierung $\langle |m| \rangle_{\infty, h=0}$ in Abhängigkeit der dimensionslosen inversen Temperatur β für das zweidimensionale Ising-Modell.

mit $x = e^{-2\beta}$, für $\beta > \beta_c$ und $\langle |m| \rangle_{\infty, h=0} = 0$ für $\beta \leq \beta_c$.

Eine Darstellung des Funktionsverlaufes von $\langle |m| \rangle_{\infty, h=0}$ ist in Abbildung 2.2.1 angegeben. In der Abbildung erkennen wir das physikalische Verhalten des Ordnungsparameters $\langle |m| \rangle_{\infty, h=0}$ im zweidimensionalen Ising-Modell im thermodynamischen Limes. In der Phase oberhalb der kritischen Temperatur $kT_c/J = \beta_c^{-1}$ ist der Ordnungsparameter null, anschaulich gibt es keine präferierte Ausrichtung der Spins und die Wechselwirkungen untereinander spielen, im Vergleich zu den Energieänderungen durch Wechselwirkung mit dem Wärmebad, eine untergeordnete Rolle. Wird jedoch die Temperatur verringert, so dass wir in der Phase unterhalb von T_c gelangen, so ändert sich dieses Verhalten plötzlich und die Wechselwirkungen zwischen den Spins werden nicht mehr vernachlässigbar im Vergleich zu der Wechselwirkung mit dem Wärmebad, so dass sich die Spins gegenseitig durch die Wechselwirkung beeinflussen und durch das vermehrte Ausrichtung in einer gemeinsamen Richtung die Kopplungsenergien die Gesamtenergie herabsetzen. Für $T = 0$, bzw. $\beta \rightarrow \infty$ wird $\langle |m| \rangle_{\infty, h=0} = 1$, dies bedeutet alle Spins sind in einer Richtung ausgerichtet.

Ein ähnliches Verhalten bei einem Phasenübergang 2. Ordnung ist bei der Bose-Einstein-Kondensation, zumindest für den dreidimensionalen Fall, zu finden, wo bei Unterschreiten einer bestimmten kritischen Temperatur $T_{B,c}$ die Besetzungsanzahl des bosonischen Grundzustandes zunimmt und bei $T = 0$ alle Teilchen sich im Grundzustand befinden. Der qualitative Verlauf in Abhängigkeit von T ist ähnlich zu Abbildung 2.2.1,

siehe [2].

2.2.2.2 Kritisches Verhalten an Phasenübergängen

In der Untersuchung von Phasenübergängen eines thermodynamischen Systemes wird häufig das Verhalten von unterschiedlichen Erwartungswerten an der kritischen Temperatur T_c , bei der ein Phasenübergang liegt, betrachtet. Hierbei zeigt sich häufig, dass unterschiedlichste thermodynamische Systeme ein ähnliches Verhalten am Phasenübergang, die sich beispielsweise in Potenzgesetzen mit selben Exponenten manifestieren, zeigen. Dieses Auftreten von ähnlichen Phasenübergangsverhalten wird auch unter dem Begriff Universalität geführt, [2]. Für das zweidimensionale Ising-Modell bei verschwindenden äußeren Feld, wie in Abschnitt 2.2.2.1, ergeben sich für den thermodynamischen Limes folgende Potenzgesetze in der Nähe des Phasenübergangs

$$\langle |m| \rangle_{\infty, h=0} \approx B(-t)^\beta \quad (2.2.21)$$

$$\chi_\infty \approx C^-(-t)^{-\gamma} \quad (2.2.22)$$

$$\xi_\infty \approx f^-(-t)^{-\nu} \quad (2.2.23)$$

wobei $t = \frac{T-T_c}{T_c} < 0$ ist und B , C^- und f^- Konstanten sind. Die kritischen Exponenten β , hier nicht die inverse Temperatur, γ und ν sind für das zweidimensionale Ising-Modell bei verschwindenden äußerem Feld exakt bekannt und betragen $\gamma = \frac{7}{4}$, $\beta = \frac{1}{8}$ und $\nu = 1$. Die Angaben und Notation stammen hierbei aus [8], wo auch andere solcher kritischen Exponenten und genauere Betrachtungen aufgeführt sind.

Eine Erklärung für die Universalität lässt sich mit Hilfe der Theorie der Renormierungsgruppe finden. An dieser Stelle soll keine genaue Behandlung der Renormierungstheorie erfolgen, hierfür wird auf [9], als mögliche Einführung, verwiesen.

2.2.2.3 Finite-Size-Scaling-Gesetze

Aufgrund der Tatsache, dass numerische Simulationen vom Ising-Modell nur auf endlichen Spin-Gittern erfolgen können, ist es von Interesse einen Bezug zwischen dem thermodynamischen Limes, bei dem der Phasenübergang geschieht, und endlichen Gittern herzustellen. Dies kann entweder dadurch geschehen, dass wir die Gittergröße L bei gegebener Temperatur T vergrößern, um den thermodynamischen Limes in Gleichung (2.2.13) nachzuahmen, oder wir verwenden Finite-Size-Scaling-Gesetze, die einen funktionalen Bezug zwischen dem thermodynamischen Limes und dem endlichen Gitter für einen Erwartungswert, in der Nähe des Phasenüberganges, herstellen.

Für das d -dimensionale Ising-Modell mit periodischen Randbedingungen, $L_i = L$ für alle $i \in \{1, \dots, N\}$ und $h = 0$, ergibt sich für einen Erwartungswert $S(t, L)$ des Systems folgendes Verhalten (siehe [5],[8])

$$S(t, L) = L^{\frac{\varphi}{\nu}} \left(f_S \left(\frac{\xi_\infty}{L} \right) + \mathcal{O}(L^{-\omega}, \xi_\infty^{-\omega}) \right) \quad (2.2.24)$$

wobei für $t \approx 0$ die Beziehung

$$S_\infty(t) \approx C_s t^{-\varphi} \quad (2.2.25)$$

vorausgesetzt ist. Vergleichen wir diese Angabe mit dem vorherigen Abschnitt, so erkennen wir, dass an der Stelle von φ die kritischen Exponenten γ , β und ν für die entsprechenden Größen eingesetzt werden. Ferner gilt für das zweidimensionale Ising-Modell $\omega = 2$.

Wir erkennen, dass wir die Gleichung (2.2.24) über $\xi_\infty \propto t^{-\nu}$ ausdrücken können als:

$$S(t, L) = L^{\frac{\varphi}{\nu}} \left(f_S \left(tL^{\frac{1}{\nu}} \right) + \mathcal{O}(L^{-\omega}, \xi_\infty^{-\omega}) \right) \quad (2.2.26)$$

Für den Fall, dass $L, \xi_\infty \gg 1$, sodass die Annahme $\mathcal{O}(L^{-\omega}, \xi_\infty^{-\omega}) \approx 0$ begründet ist, können wir beispielsweise folgende Gesetzmäßigkeiten herleiten:

$$\chi_L(t) = L^2(\langle m^2 \rangle_{h=0} - \langle |m| \rangle_{h=0}^2) = g(tL^{\frac{1}{\nu}})L^{\frac{\gamma}{\nu}} \quad (2.2.27)$$

$$\langle |m| \rangle_{h=0}(t, L) = f(tL^{\frac{1}{\nu}})L^{\frac{\beta}{\nu}} \quad (2.2.28)$$

Es sei noch eine Anmerkung zu dem Finite-Size-Scaling-Gesetz in Gleichung (2.2.27) gegeben. Die Größe χ_L ist nicht die Suszeptibilität χ eines endlichen Gitters, gemäß Gleichung (2.2.7). Jedoch gilt das Finite-Size-Scaling-Gesetz nicht für χ . Diese Tatsache ist darin begründet, in welcher Reihenfolge die Grenzwerte in Gleichung (2.2.18) ausgeführt werden. In den unterschiedlichen Fällen erhalten wir unterschiedliche Resultate:

$$\chi_\infty = \lim_{h' \rightarrow 0^+} \lim_{L \rightarrow \infty} \partial_{h'} \langle m \rangle_{h'} = \lim_{L \rightarrow \infty} \underbrace{L^2(\langle m^2 \rangle_{h=0} - \langle |m| \rangle_{h=0}^2)}_{=: \chi_L} \quad (2.2.29)$$

$$\chi'_\infty = \lim_{L \rightarrow \infty} \lim_{h' \rightarrow 0^+} \partial_{h'} \langle m \rangle_{h'} = \lim_{L \rightarrow \infty} \underbrace{L^2(\langle m^2 \rangle_{h=0} - \langle m \rangle_{h=0}^2)}_{=: \chi} = \lim_{L \rightarrow \infty} L^2 \langle m^2 \rangle_{h=0} \quad (2.2.30)$$

Hierbei wird $\langle m \rangle_{h=0} = 0$ für ein endliches Gitter ausgenutzt, was sich durch die Symmetrie $H(\sigma) = H(-\sigma)$ ohne äußeres Feld, ergibt.

Die Größe χ_∞ ist jene, für die der kritische Exponent γ in Gleichung (2.2.22) auftaucht, während dies für χ'_∞ nicht der Fall ist, siehe [10]. Das Finite-Size-Scaling-Gesetz in Gleichung (2.2.27) basiert somit auf dem thermodynamischen Limes χ_∞ . Dieser Unterschied zwischen der Verwendung von $\langle m \rangle_{h=0}$ und $\langle |m| \rangle_{h=0}$ ist zwar subtil, jedoch notwendig für genauere quantitative Betrachtungen des Exponenten γ in Rahmen von Simulationen. Dieses Problem wird beispielsweise in [11] erwähnt.

Im Rahmen der Theorie der Finite-Size-Scaling-Gesetze zeigt die Binderkumulante ein Verhalten, dass zu der Bestimmung von Phasenübergängen verwendet werden kann. Für die Binderkumulante eines d -dimensionalen endlichen Gitters mit der gleichen Ausdehnung L in allen Richtungen gilt

$$U(L, \beta_c) \propto L^{-d} \quad (2.2.31)$$

$$\lim_{L \rightarrow \infty} U(L, \beta_c) = U^* \quad (2.2.32)$$

falls $\langle |m| \rangle_{\infty, h=0}$ ein Ordnungsparameter ist mit einem Phasenübergang 2. Ordnung an der Stelle β_c . Dies bedeutet, dass Gitter mit unterschiedlichen L an einem Phasenübergang 2. Ordnung näherungsweise die selbe Binderkumulante besitzen, falls die Konvergenz bezogen auf L schnell genug sein sollte. Für das zweidimensionale Ising-Modell, wie in

Abschnitt 2.2.2.1, beträgt der Wert der Binderkumulante im thermodynamischen Limes $U^* \approx 0.61067$ (siehe [12]).

Die in diesem Kapitel besprochenen Grundlagen werden bei der Betrachtungen der in dieser Arbeit verwendeten Programme auftreten, da wir mit Hilfe der theoretischen Ergebnisse die Funktionalität der Programme verifizieren werden.

Kapitel 3

Monte-Carlo-Simulationen des Ising-Modells

In diesem Kapitel werden die Grundlagen von Monte-Carlo-Simulationen und ihre Anwendung für die Simulation des Ising-Modells gekoppelt an einem Wärmebad besprochen. Hierbei werden die wichtigsten Algorithmen für derartige Simulationen im Rahmen des Ising-Modells angegeben. Des weiteren werden die Algorithmen, auf den die Programme dieser Arbeit basieren werden an dieser Stelle detailliert dargestellt.

3.1 Grundlagen

Mit Hilfe von Automaten in Form von Computern lassen sich durch die Programmierung von numerischen Verfahren physikalische Größe im Rahmen eines Modelles, bei gegebenen Anfangsbedingungen, bestimmen. Solche numerische Analysen physikalischer Systeme werden häufig für Probleme angewandt, bei denen es keine analytische Betrachtungen gibt.

Dies kann beispielsweise schon in der klassischen nicht relativistischen Physik auftreten. Für ein Zweiteilchensystem mit Zentralkräften sind die Lösungen der Bewegungsgleichungen für den Fall von $\frac{1}{r^2}$ -Kräften analytisch bekannt. Auf der anderen Seite gibt es schon für ein N -Teilchensystem mit $N > 2$ und keinen weiteren Zwangsbedingungen, keine analytischen allgemeinen exakten Lösungen der Bewegungsgleichungen. Jedoch ist es durchaus möglich mit Hilfe von Verfahren, wie das Runge-Kutta-Verfahren, derartige Bewegungsgleichungen numerisch mit einer gewünschten Genauigkeit zu lösen und folglich eine Näherung der Phasenraumtrajektorie zu erhalten.

Im Bereich der statistischen Physik ist es vor allem von Interesse Erwartungswerte eines Systemes in Abhängigkeit der äußeren Variablen zu bestimmen. Speziell im kanonischen Ensemble ist man bemüht die Zustandssumme Z eines Systems zu ermitteln, um daraus thermodynamische Größen abzuleiten oder den Erwartungswert in Gleichung (2.2.3) auszurechnen. Für einfache statistische Systeme, wie nicht wechselwirkende klassische oder quantenmechanische Vielteilchensysteme, existieren exakte analytische Lösungen. Auch für einfache Systeme mit Wechselwirkungen, wie das Ising-Modell für

$d = 1$ (siehe [13]) oder $d = 2$ existieren analytische exakte Lösungen. Jedoch für Dimensionen $d > 2$ des Ising-Modells gibt es nach aktuellem Stand nur numerische Betrachtungen und Ergebnisse der Verhalten von thermodynamischen Größen.

Speziell betrachten wir uns in diesem Kontext die Simulation des d -dimensionalen Ising-Modells mit $J_c = \text{const.}$ und $J_c > 0$, $h = 0$ und periodischen Randbedingungen. Falls keine expliziten Angaben vorhanden sind, seien dies Voraussetzungen für die Betrachtungen in diesem Kapitel. Mit Simulation ist gemeint, dass für eine gegebene dimensionslose inverse Temperatur β den Erwartungswert in Gleichung (2.2.5) einer Observablen $A(\sigma)$, mit Hilfe eines numerischen Verfahrens, zu berechnen.

Zunächst scheint dieses Problem einfach gelöst, in dem für eine Obeservable $A(\sigma)$ alle Spinkonfigurationen $\sigma \in \Lambda_{(L_1, \dots, L_d)}^d$ durchgegangen werden und die Werte $A(\sigma)$ und $e^{-\frac{1}{kT}H(\sigma)}$ erfasst und somit die Zustandssumme Z als auch die Summe in Gleichung (2.2.5) berechnet wird, um $\langle A \rangle$ zu bestimmen. Dieses Verfahren lässt sich relativ leicht implementieren, indem ein Array im Speicher angelegt wird, und die Einträge entweder den Wert -1 oder 1 jeweils annehmen können, was die möglichen Zustände eines Gitterpunktes repräsentiert. Anschließend werden die einzelnen Einträge in einer festgelegten Reihenfolge zwischen den Wert -1 und 1 geändert, so dass eine Folge σ_n von Spinkonfigurationen entsteht, wobei jede Konfiguration genau einmal vorkommt. Offensichtlich terminiert dieses Verfahren nach endlich vielen Schritten und liefert ein Resultat für $\langle A \rangle$, dessen Genauigkeit nur durch die endliche Genauigkeit der verwendeten Rechenmaschine begrenzt wird.

Der Algorithmus liefert jedoch keine praktikable Lösung für die nummerische Untersuchung vom Ising-Modell, denn die Anzahl an Spinkonfigurationen, die schon für kleine Gitter durchgegangen werden müssten, führt zu einer Laufzeit, die nicht vertretbar ist. Als Beispiel betrachten wir uns ein Gitter mit $d = 2$ und $L_1 = 10$ und $L_2 = 10$. Es existieren insgesamt $2^{10 \cdot 10}$ Spinkonfigurationen. Ferner gehen wir von der unrealistischen Annahme aus, dass der verwendete Computer über eine CPU verfügt, die innerhalb eines Taktzyklus eine Spinkonfiguration erzeugen und die Messungen von $A(\sigma)$ und $e^{-\frac{1}{kT}H(\sigma)}$ ausführen kann. Für den Taktfrequenz f_{CPU} der CPU können wir den realistischen Wert von $f_{CPU} = 3$ GHz annehmen. Die Gesamtzeit t der Simulation beträgt unter den gegebenen Annahmen

$$t = \frac{2^{100}}{3 \text{ GHz}} \approx 1.3 \cdot 10^{13} \text{ Jahre} \quad (3.1.1)$$

Folglich muss eine andere Methode zur Simulation des Ising-Modells benutzt werden. Insbesondere wenn die Tatsache berücksichtigt wird, dass, mit Hilfe der Programme dieser Arbeit, Gitter mit der Größe 64×64 oder größer simuliert werden.

In so einem Fall gibt es nun zwei Möglichkeiten. Entweder wird der Algorithmus optimiert, indem gewisse mathematische Vorarbeiten geleistet werden, die die Laufzeit reduzieren, oder es wird auf Monte-Carlo-Simulationen zurück gegriffen.

Monte-Carlo-Simulationen basieren auf der Idee, mit Hilfe eines statistischen Prozesses, einen Wert Q zu berechnen, der sich über

$$Q = \sum_{x \in M} g(x) = \sum_{x \in M} P(x) \cdot \tilde{g}(x), \text{ mit } \sum_{x \in M} P(x) = 1 \text{ und } P(x) \geq 0 \quad (3.1.2)$$

ergibt, wobei M eine beliebige Menge ist und $g : M \rightarrow \mathbb{R}$ gilt. Die Funktion P lässt sich als eine Wahrscheinlichkeit für das Auftreten des Elementes $x \in M$ interpretieren. Angenommen wir hätten einen statistischen Prozess der gerade Elemente $x \in M$ mit der Wahrscheinlichkeit $P(x)$ realisiert, so wissen wir im Rahmen der Stochastik, dass für eine Messreihe mit N Realisierungen x_i aus der Menge M folgende Gesetzmäßigkeit gilt:

$$Q = \lim_{N \rightarrow \infty} \frac{1}{N} \sum_{i=0}^N \tilde{g}(x_i) \quad (3.1.3)$$

Anders ausgedrückt, dass arithmetische Mittel konvergiert, im Sinne des Konvergenzbegriffes der Gesetz der Großen Zahlen, gegen unseren Wert Q . Somit können wir für eine ausreichend große Messreihe den Wert Q über einen statistischen Prozess nähern. Wir geben jedoch bei Monte-Carlo-Simulationen die Fähigkeit auf eine Garantie für die Genauigkeit des numerischen Resultates zu haben und müssen für quantitative Untersuchungen entsprechend statistische Fehler bestimmen.

Wir können erkennen, dass Monte-Carlo-Simulationen auch für die Simulation des Ising-Modells verwendet werden können. Hierzu erhalten wir mit einem Vergleich von Gleichung (2.2.3) und (3.1.2):

$$M = \Lambda_{(L_1, \dots, L_d)}^d, \quad P(\sigma) = \frac{1}{Z} e^{-\frac{1}{kT} H(\sigma)} \quad \text{und} \quad \tilde{g}(\sigma) = A(\sigma) \quad (3.1.4)$$

Um die Simulation des Ising-Modells praktisch umzusetzen müssen Spinkonfigurationen σ mit der Wahrscheinlichkeit $P(\sigma)$ erzeugt werden, was jedoch mit dem Problem verbunden ist, dass die Zustandssumme Z nicht bekannt ist. Dieses Problem kann mit Hilfe von Markov-Ketten gelöst werden.

3.1.1 Markov-Kette

Zunächst wollen wir den Begriff der Markov-Kette definieren:

Definition 3.1.1 (Markov-Kette, bzw. Markov-Prozess).

Sei M eine Menge und $W : M \times M \rightarrow [0, 1]$, wobei wir die Notation $W(x, y) = W(x \rightarrow y)$ verwenden. Falls

$$\sum_{y \in M} W(x \rightarrow y) = 1 \quad (3.1.5)$$

gilt, so bezeichnen wir W als die Übergangswahrscheinlichkeit von x nach y und (M, W) als Markov-Prozess, bzw. Markov-Kette und eine endliche Folge $(x_1, \dots, x_n) \in M^n$ bezeichnen wir als Kette mit der Wahrscheinlichkeit

$$W^n(x_1, \dots, x_n) := W(x_1 \rightarrow x_2)W(x_2 \rightarrow x_3) \cdot \dots \cdot W(x_{n-1} \rightarrow x_n) \quad (3.1.6)$$

und

$$W^n(x_1 \rightarrow x_n) := \sum_{(x_2, \dots, x_{n-1}) \in M^{n-2}} W^n(x_1, x_2, \dots, x_{n-1}, x_n) \quad (3.1.7)$$

Anschaulich beschreibt eine Markov-Kette (M, W) den statistischen Prozess beginnend bei einem Element $x_0 \in M$ mit der Wahrscheinlichkeit $W(x_n \rightarrow x_{n+1})$ ein Element x_{n+1} zu erhalten, falls das vorherige Elemente x_n war.

Für die Monte-Carlo-Simulation des Ising-Modells gibt es folgenden wichtigen Satz (siehe [6] und [15]):

Satz 3.1.1.

Sei (M, W) ein Markov-Prozess, M endlich, $P_F(x) := \frac{1}{Z} e^{-f(x)}$ für $x \in M$, $Z \in \mathbb{R}^+$ und $P_I : M \rightarrow [0, 1]$ eine Verteilung, mit

$$\sum_{x \in M} P_F(x) = 1 \text{ und } \sum_{x \in M} P_I(x) = 1 \quad (3.1.8)$$

Falls die Aussagen

1. Ergodizität: Sei $x \in M$, so gilt

$$\forall y \in M : \exists n > 0, W^n(x \rightarrow y) > 0 \quad (3.1.9)$$

2. Stabilität: Sei $x \in M$, so gilt

$$\sum_{y \in M} W(y \rightarrow x) e^{-f(y)} = e^{-f(x)} \quad (3.1.10)$$

gelten sollten, folgt für

$$P_n(x) := \sum_{k \in M} W(k \rightarrow x) P_{n-1}(k), \text{ mit } P_0 = P_I \text{ und } x \in M \quad (3.1.11)$$

die Aussage

$$\|P_n - P_F\| := \sum_{x \in M} |P_n(x) - P_F(x)| \longrightarrow 0 \text{ (} n \rightarrow \infty \text{)} \quad (3.1.12)$$

wobei $\|P_n - P_F\|$ in Abhängigkeit von n streng monoton fällt.

Beweis. Wir wollen an dieser Stelle keinen expliziten Beweis angeben. Für genauere Be- trachtungen sei auf [15] verwiesen. \square

Wir erkennen, dass dieser Satz die Möglichkeit liefert die gewünschte Verteilung $P(\sigma)$ in Gleichung (3.1.4) in einem Verfahren zu implementieren ohne die Zustandssumme Z explizit zu kennen. Hierzu benötigen wir einen Markov-Prozess $(\Lambda_{(L_1, \dots, L_d)}^d, W)$ für den die beiden Bedingungen in Satz 3.1.1 gelten, mit $f(\sigma) = \frac{1}{kT} H(\sigma)$. Nun wählen wir eine Anfangskonfiguration σ_0 aus. Auf Basis dieser Konfiguration wird über die Wahrscheinlichkeitsverteilung $W(\sigma_0 \rightarrow \sigma_1)$ die nächste Konfiguration σ_1 bestimmt und aus dieser die Konfiguration σ_2 und so weiter. Anders ausgedrückt aus der n -ten Spinkonfiguration σ_n wird die Konfiguration σ_{n+1} zufällig mit der Wahrscheinlichkeit $W(\sigma_n \rightarrow \sigma_{n+1})$ bestimmt. Bei n solcher Schritten erhalten wir eine Kette $(\sigma_0, \dots, \sigma_n) \in M^{n+1}$. Gemäß

der Gleichung (3.1.12) des Satzes 3.1.1 erwarten wir somit, für immer größere n , dass σ_n immer besser mit der Wahrscheinlichkeit $P(\sigma_n)$ verteilt ist. In einer praktischen Umsetzung wird typischerweise vor den eigentlichen Messungen von $A(\sigma)$ eine Anzahl n an Spinkonfigurationen $(\sigma_0, \dots, \sigma_{n-1})$ erzeugt und diese für die Messungen verworfen, jedoch entschieden, dass die nächste Konfigurationen beginnend ab σ_n ausreichend der Verteilung P folgen.

Bei vielen Algorithmen wird für die Übergangswahrscheinlichkeit W nicht die Stabilitätsbedingung geprüft, sondern das sogenannte *detailed balance*, was durch

$$\frac{W(x \rightarrow y)}{W(y \rightarrow x)} = \frac{e^{-f(y)}}{e^{-f(x)}} \quad (3.1.13)$$

gegeben ist, wobei $x, y \in M$. Falls das *detailed balance* erfüllt sein sollte, ergibt sich über

$$\sum_{x \in M} W(x \rightarrow y) e^{-f(x)} = \sum_{x \in M} W(y \rightarrow x) e^{-f(y)} = e^{-f(y)} \quad (3.1.14)$$

unmittelbar die Stabilitätsbedienung.

3.1.2 Zufallsgeneratoren

Algorithmen im Rahmen von Monte-Carlo-Simulationen verwenden Zufallszahlen um die statistischen Prozesse zu realisieren. Mit Hilfe von Zufallsgeneratoren können solche zufälligen Zahlenfolgen erzeugt werden. Typischerweise werden Generatoren verwendet, die Zufallszahlen in einem Intervall $[a_1, a_2]$ gleich verteilt erzeugen.

Zufallsgeneratoren können entweder echte Zufallszahlen liefern, indem sie entsprechend an einem physikalischen Aufbau mit einer statistisch verteilten Größe gekoppelt sind, beispielsweise das Rauschen von elektronischen Bauteilen, oder Pseudozufallszahlen, die vollständig durch einen deterministischen Algorithmus erzeugt werden.

Die Erzeugung von echten Zufallszahlen ist im Allgemeinen aufwendiger und langsamer, als die Erzeugung von Pseudozufallszahlen, womit für Monte-Carlo-Simulationen vorwiegend letztere benutzt werden.

Die Idee hinter Pseudozufallszahlen ist es eine Zahlenfolgen $(x_n)_{n \in \mathbb{N}_0} \subset [a_1, a_2]$ zu definieren, die die Realisierungen einer gleich verteilten, oder anders verteilten, Zufallsvariablen X auf der Menge $[a_1, a_2]$ nachahmt. Hiermit ist gemeint, dass die Zahlen x_0, x_1, x_2, \dots für statistische Größen, wie Mittelwerte, Ergebnisse liefern, die auch ein echter Zufall auf Basis der Zufallsvariable X liefern würde.

Dementsprechend existieren statistische Test für Zufallsgeneratoren, um die Qualität der Pseudozufallszahlen zu beurteilen. Für unterschiedliche Monte-Carlo-Simulationen kann es sein das gewisse Zufallsgeneratoren geeignet sind, während andere ungeeignet sind. Für eine genauere Diskussion von Zufallszahlen sei auf [14] verwiesen.

In dieser Arbeit werden zwei Arten von Zufallsgeneratoren verwendet. Die erste Art ist ein linearer Kongruenzgenerator, dessen Zahlenfolge x_n über

$$x_{n+1} = (a \cdot x_n + c) \bmod m \quad (3.1.15)$$

definiert ist. Wobei in diesem Fall die Variationen

1. Variation: $a = 16807$, $c = 0$, $m = 2^{31} - 1$

2. Variation: $a = 48721$, $c = 0$, $m = 2^{31} - 1$

verwendet werden, siehe [17].

Die zweite Art von Zufallsgeneratoren ist ein Marsaglia-Zaman-Generator, genauer der Subtract-with-borrow-Generator, vorgestellt in [16]. Dieser ist in [16] über

$$f(x_1, \dots, x_r, c) := \begin{cases} (x_2, \dots, x_r, x_{r+1-s} - x_1 - c, 0), & \text{für } x_{r+1-s} - x_1 - c \geq 0 \\ (x_2, \dots, x_r, x_{r+1-s} - x_1 - c + b, 1), & \text{für } x_{r+1-s} - x_1 - c < 0 \end{cases} \quad (3.1.16)$$

definiert, wobei $f : \mathbb{N}_0^{r+1} \rightarrow \mathbb{N}_0^{r+1}$.

Der Generator arbeitet rekursiv. Dies bedeutet bei $(x_1^{(0)}, \dots, x_r^{(0)}, c^{(0)}) \in \{0, \dots, b\}^r \times \{0, 1\}$ beginnend ergibt sich im n -ten Schritt aus $(x_1^{(n)}, \dots, x_r^{(n)}, c^{(n)}) \in \mathbb{N}_0^{r+1}$ der $(n+1)$ -te Schritt über

$$(x_1^{(n+1)}, \dots, x_r^{(n+1)}, c^{(n+1)}) = f(x_1^{(n)}, \dots, x_r^{(n)}, c^{(n)}) \quad (3.1.17)$$

Hierbei ist die Zufallszahl, die durch den Generator erzeugt wird, im n -ten Schritt $x_r^{(n)} \in \{0, \dots, b\}$ und gleich verteilt.

Für diese Arbeit ist $b = 2^{32} - 5$, $r = 43$ und $s = 22$ gewählt. Für genauere Betrachtungen sei auf [16] verwiesen.

3.2 Algorithmen für das Ising-Modell

Für die Simulation des Ising-Modells sind im Laufe der Zeit unterschiedliche Algorithmen entstanden. An dieser Stelle folgende zwei Verfahren, die im Rahmen der Programme dieser Arbeit implementiert werden. Die genauen Details der Implementationen, insbesondere die benutzten Multispin-Coding Methoden werden in Kapitel 5 diskutiert. Alle Algorithmen die hier vorgestellt werden basieren auf den Grundlagen von Markov-Prozessen für die der Satz 3.1.1 gilt. Dies bedeutet, aus der aktuellen Spinkonfiguration σ_n wird mit Hilfe einer Übergangswahrscheinlichkeit $W(\sigma_n \rightarrow \sigma_{n+1})$ eine neue Spinkonfiguration σ_{n+1} konstruiert. Wir werden den Vorgang der Erzeugung einer Spinkonfiguration σ_{n+1} aus einer Konfiguration σ_n ab dieser Stelle als Update des Spin-Gitters, bzw. der Spinkonfiguration, bezeichnen.

3.2.1 Metropolis-Algorithmus

Beim Metropolis-Algorithmus wird innerhalb eines Updates der aktuellen Spinkonfiguration σ für eine Spin des Spin-Gitters entschieden, ob dieser geflippt werden soll oder nicht. Die Übergangswahrscheinlichkeit für den Gitterpunkt $(x_1, \dots, x_d) \in G_{(L_1, \dots, L_d)}^d$ sieht dabei wie folgt aus (siehe [6])

$$W_{(x_1, \dots, x_d)}(\sigma \rightarrow \sigma') = \min \left(1, e^{-\frac{1}{kT}(H(\sigma') - H(\sigma))} \right) \quad (3.2.1)$$

$$W_{(x_1, \dots, x_d)}(\sigma \rightarrow \sigma) = 1 - W_{(x_1, \dots, x_d)}(\sigma \rightarrow \sigma') \quad (3.2.2)$$

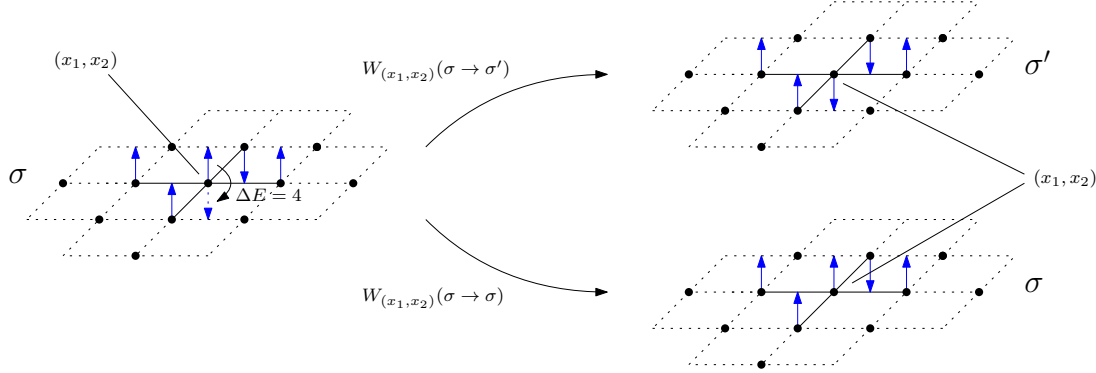


Abbildung 3.2.1: Illustration des Metropolis-Algorithmus für $d = 2$. Hierbei gilt $\Delta E = H(\sigma') - H(\sigma)$.

wobei σ' eine Spinkonfiguration ist für die

$$\forall x \in G_{(L_1, \dots, L_d)}^d \setminus \{(x_1, \dots, x_n)\} : \sigma'(x) = \sigma(x) \quad (3.2.3)$$

und

$$\sigma'(x_1, \dots, x_d) = -\sigma(x_1, \dots, x_d) \quad (3.2.4)$$

gilt. Dieser Vorgang ist für das zweidimensionale Ising-Modell in Abbildung 3.2.1 illustriert, wobei nur ein Ausschnitt des Gitters gezeigt wird mit der Darstellungsmethode aus Kapitel 2.

Um die Eigenschaft der Ergodizität in Satz 3.1.1 zu erfüllen werden nacheinander für die einzelnen Gitterpunkte $x \in G_{(L_1, \dots, L_d)}^d$ die Updates ausgeführt. Dies kann in einer beliebigen Reihenfolge geschehen, solange garantiert ist, dass jeder Gitterpunkt innerhalb einer endlichen Anzahl an Schritten für ein Update der Konfiguration ausgewählt wird.

Ferner erkennen wir offensichtlich, dass die *detailed balance* Eigenschaft für die Wahrscheinlichkeit $W_{(x_1, \dots, x_d)}$ erfüllt ist, da aus

$$\frac{W_{(x_1, \dots, x_d)}(\sigma \rightarrow \sigma')}{W_{(x_1, \dots, x_d)}(\sigma' \rightarrow \sigma)} = \frac{\min\left(1, e^{-\frac{1}{kT}(H(\sigma') - H(\sigma))}\right)}{\min\left(1, e^{-\frac{1}{kT}(H(\sigma) - H(\sigma'))}\right)} \quad (3.2.5)$$

und $H(\sigma') - H(\sigma) = -(H(\sigma) - H(\sigma'))$ sofort

$$\frac{W_{(x_1, \dots, x_d)}(\sigma \rightarrow \sigma')}{W_{(x_1, \dots, x_d)}(\sigma' \rightarrow \sigma)} = e^{-\frac{1}{kT}(H(\sigma') - H(\sigma))} = \frac{e^{-\frac{1}{kT}H(\sigma')}}{e^{-\frac{1}{kT}H(\sigma)}} \quad (3.2.6)$$

folgt, siehe [5]

3.2.2 Demon-Algorithmus

Ein *demon* (englischer Begriff für Dämon) ist ein System, das sich jeweils in einem von k möglichen Zuständen mit der Energie $d_i \in \{d_1, \dots, d_k\}$ befindet. Ein Demon-System

besteht dabei aus m unabhängigen *demons*, sodass die Hamiltonfunktion durch

$$H_D(d_{i_1}, \dots, d_{i_m}) = \sum_{j=0}^m d_{i_j} \quad (3.2.7)$$

gegeben ist.

Wir betrachten nun ein Gesamtsystem bestehend aus einem d -dimensionalen Spin-System im Rahmen des Ising-Modells mit der Hamiltonfunktion H_S und einem Demon-System, bestehend aus m unabhängigen *demons*, mit der Hamiltonfunktion H_D . Hierbei ergibt sich die Hamiltonfunktion H des Gesamtsystems zu:

$$H(\sigma, d_{i_1}, \dots, d_{i_m}) = H_S(\sigma) + H_D(d_{i_1}, \dots, d_{i_m}) \quad (3.2.8)$$

Eine Kopplung dieses Gesamtsystems an ein Wärmebad führt zu der Verteilung

$$P(\sigma, d_{i_1}, \dots, d_{i_m}) = \frac{1}{Z} e^{-\frac{1}{kT} H(\sigma, d_{i_1}, \dots, d_{i_m})} = \frac{1}{Z_S} e^{-\frac{1}{kT} H_S(\sigma)} \cdot \frac{1}{Z_D} e^{-\frac{1}{kT} H_D(d_{i_1}, \dots, d_{i_m})} \quad (3.2.9)$$

wobei Z_S die Zustandssumme des Spins-Systems und Z_D die des Demon-Systems ist. Für eine Observable $A(\sigma)$ ergibt sich somit

$$\begin{aligned} \langle A \rangle &= \sum_{\sigma \in G} \sum_{(d_{i_1}, \dots, d_{i_m})} \frac{1}{Z_S} A(\sigma) e^{-\frac{1}{kT} H_S(\sigma)} \cdot \frac{1}{Z_D} e^{-\frac{1}{kT} H_D(d_{i_1}, \dots, d_{i_m})} \\ &= \sum_{\sigma \in G} \frac{1}{Z_S} A(\sigma) e^{-\frac{1}{kT} H_S(\sigma)} \end{aligned} \quad (3.2.10)$$

was äquivalent zum Erwartungswert in Gleichung (2.2.3) ist. Folglich können wir die selben Erwartungswerte erhalten, indem wir anstatt das Ising-Modell zu simulieren, das Gesamtsystem, bestehend aus dem Spin-Gitter und den *demons*, an einem Wärmebad gekoppelt, simulieren. Das Konzept der Dämonen führt zu zusätzlichen, statistisch voneinander unabhängigen, Freiheitsgraden. Grundlegende Betrachtungen zu Dämonen im Rahmen des Ising-Modells sind in [18] und [19] erarbeitet.

Beim Demon-Algorithmus geht es um die Simulation des Gesamtsystems, gekoppelt an einem Wärmebad. Hierfür kann ein Algorithmus gemäß [20] und [21] konstruiert werden.

Gemäß Gleichung (3.2.9) können wir schreiben

$$P(E_S, E_D) = \frac{1}{Z} n_S(E_S) n_D(E_D) e^{-\beta(E_S + E_D)} \quad (3.2.11)$$

wobei n_S die Zustandsdichte des Spin-Systems und n_D die Zustandsdichte des Demon-Systems ist.

Im mikrokanonischen Fall folgt für die Wahrscheinlichkeitsverteilung mit der Gesamtenergie $E = E_S + E_D$

$$P_{M,E}(E_S, E_D) = \frac{1}{\Omega(E)} n_S(E_S) n_D(E_D) \quad (3.2.12)$$

woraus sich für die Wahrscheinlichkeit $P_{M,E}(E_S)$ des Spins-Systemes mit der Energie E_S im mikrokanonischen Ensemble der Ausdruck

$$P_{M,E}(E_S) = \frac{1}{\Omega(E_T)} \left(\sum_{E'_D} n_D(E'_D) \right) n_S(E_S) \quad (3.2.13)$$

ergibt. Ferner führen wir die bedingte Wahrscheinlichkeit

$$P_{D,E_S}(E_D) := \frac{1}{Z_D} n_D(E_D) e^{-\beta(E_S+E_D)} \quad (3.2.14)$$

ein. Dies entspricht offensichtlich einer kanonischen Beschreibung des Demon-Systems.

Somit ergibt sich für die Wahrscheinlichkeit das Spin-System mit der Energie E_S , gemäß der mikrokanonischen Verteilung, und das Demon-System mit der Energie E_D unter der Bedingung, dass E_S vorliegt, vorzufinden zu:

$$\begin{aligned} P_{M,E}(E_S) P_{D,E_S}(E_D) &= \frac{1}{\Omega(E_T)} \frac{1}{Z_D} \left(\sum_{E'_D} n_D(E'_D) \right) n_S(E_S) n_D(E_D) e^{-\beta(E_S+E_D)} \\ &\propto P(E_S, E_D) \end{aligned} \quad (3.2.15)$$

Folglich erkennen wir, dass wir die Simulation des Gesamtsystemes aufteilen können in eine mikrokanonische Simulation des Gesamtsystemes und einem kanonischen Update der *demons*. Dies bedeutet ein Update der Gesamtkonfiguration besteht aus zwei Schritten. Zunächst wird ein mikrokanonischer Update ausgeführt und anschließend ein kanonischer Update der *demons*, wozu beide Schritte Markov-Prozesse sein müssen, die jeweils die entsprechenden Bedingungen aus dem Satz 3.1.1 erfüllen, wobei für den mikrokanonischen Fall entsprechend eine Gleichverteilung anstatt des Boltzmann-Faktors verwendet wird. Für genauere Betrachtungen sei auf [20] verwiesen.

Um in der Lage zu sein den folgenden Algorithmus anzugeben, müssen die Energien und Eigenschaften der *demons* genauer spezifiziert werden. Das Demon-System bestehe aus insgesamt $N = L_1 \cdot \dots \cdot L_d$ Dämonen, wobei jedem Gitterpunkt ein *demon* zugeordnet sei. Die Energien eines *demon* sei $\tilde{d}_i \in \{0, 4, 8, 12, 16, \dots, \tilde{d}_{max}\}$, wobei es eine maximale Energie \tilde{d}_{max} gebe, und

$$\tilde{d}_i := \frac{d_i}{J_c} \quad (3.2.16)$$

gelte.

Aufgrund der Tatsache, dass die Energien der Dämonen ein Vielfaches von 4 sind, können wir uns vorstellen, dass jeder *demon* Energieniveaus besitzt, die entweder besetzt oder nicht besetzt sind, und die Kombination der besetzten und nicht besetzten Niveaus die Gesamtenergie \tilde{d}_i des *demon* bestimmt. Hierbei ergibt sich die Energie E_i des i -ten Niveaus zu $E_i = 4^i$, $i \geq 1$. Eine Illustration solcher Energieniveaus für ein *demon* ist in Abbildung 3.2.2 vorzufinden.

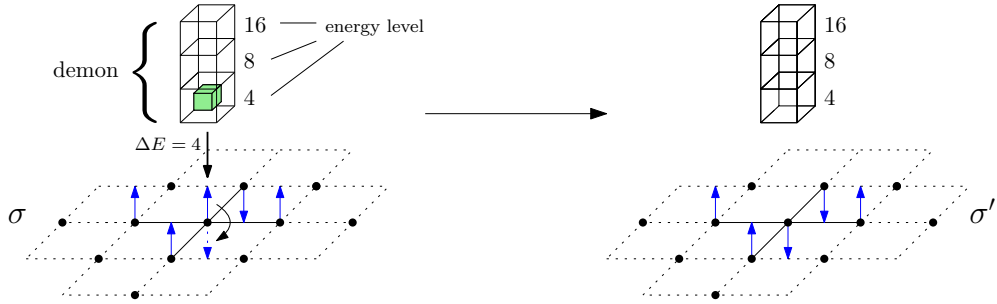


Abbildung 3.2.2: Illustration des Demon-Algorithmus für $d = 2$ und $\tilde{d}_{\max} = 16$. Hierbei gilt $\Delta E = \frac{1}{J_c}(H(\sigma') - H(\sigma))$. Der grün gefärbte Würfel stellt die Besetzung des Energieniveaus $E_1 = 4$ dar.

3.2.2.1 Mikrokanonischer Update des Gesamtsystems

Der mikrokanonische Update des Spin-Gitters besteht aus zwei Schritten. Im ersten Schritt wird zwischen dem Spin-System und Demon-System ein Energieaustausch, bei konstanter Gesamtenergie $E = E_S + E_D$ und im zweiten Schritt eine Verschiebung der Dämonen an neue Positionen ausgeführt.

Der Energieaustausch geschieht lokal für jeden einzelnen Spin-Demon-Paar, wobei die Reihenfolge in der die Spin-Demon-Paare abgearbeitet werden nicht festgelegt ist. Analog zum Metropolis-Algorithmus wird für die aktuelle Spinkonfiguration σ ein Gitterpunkt ausgesucht und vorgeschlagen den Spin zu flippen. Eine Änderung des Spins führt zu einer neuen Konfiguration σ' und einer Änderung der Energie $\Delta E = \frac{1}{J_c}(H_S(\sigma') - H_S(\sigma))$ des Spin-Systems. Der Vorschlag wird akzeptiert, falls der dem Gitterpunkt zugeordnete *demon* die Energieänderung durch eine Energieabgabe von ΔE kompensieren kann und somit die Gesamtenergie E erhalten bleibt. Anders ausgedrückt, muss $\Delta E \in [0, \tilde{d}_{\max}]$ gelten. Für den Fall, dass der Vorschlag akzeptiert wird, geht σ in σ' über und die neue Energie \tilde{d}'_i des *demon* ergibt sich zu $\tilde{d}'_i = \tilde{d}_i - \Delta E$. Falls der Vorschlag nicht akzeptiert wird bleibt die Spinkonfiguration σ erhalten und die Energie des *demon* unverändert, [5]. Der hier dargestellte Energieaustausch eines Spin-Demon-Paares ist in Abbildung 3.2.2 beispielhaft illustriert.

Nachdem die lokalen Updates ausgeführt sind werden den einzelnen Dämonen neue Gitterpunkte zugeordnet, damit für die mikrokanonische Simulation die Ergodizität weitgehend garantiert werden kann.

3.2.2.2 Kanonisches Update des Demon-Systems

Für das kanonische Update der *demon* gibt es mindestens zwei Möglichkeiten dies zu bewerkstelligen.

Zunächst erkennen wir, dass die einzelnen *demons* zueinander und ihre Energieniveaus statistisch unabhängig sind. Die erste Methode ist die naive, wo jedes einzelne Niveau E_i

eines *demon* mit der Wahrscheinlichkeit

$$P^{(1)}(E_i) = \frac{1}{Z^{(1)}} e^{-\beta E_i} = \frac{e^{-\beta E_i}}{1 + e^{-\beta E_i}} \quad (3.2.17)$$

besetzt oder mit der Gegenwahrscheinlichkeit $1 - P^{(1)}(E_i)$ nicht besetzt wird. Offensichtlich müssten in diesem Fall alle *demons* durchgegangen werden, was zu einer Komplexität von $\mathcal{O}(N)$ des Verfahren zum Update der Dämonen führt.

Die andere Methode basiert auf der Idee, nacheinander für alle *demons* ein bestimmtes Energieniveau E_i upzudaten. Für das Update des i -ten Niveaus wird zunächst die Anzahl n an Dämonen bestimmt, bei denen das Niveau E_i besetzt ist. Anschließend wird über eine Binomialverteilung

$$B(n', E_i) = \binom{N}{n'} (P^{(1)}(E_i))^{n'} (1 - P^{(1)}(E_i))^{N-n'} \quad (3.2.18)$$

eine neue Anzahl n' an besetzten Zuständen des Niveaus E_i bestimmt. Es werden anschließend die Energieniveaus E_i von $|n - n'|$ besetzten *demons* entfernt, falls $n - n' < 0$ gelten sollte, oder von $|n - n'|$ nicht besetzten *demons* besetzt, falls $n - n' > 0$ gelten sollte, [21]. Der Wert $|n - n'|$ liegt hierbei in der Größenordnung der Standardabweichung und wächst mit $\sqrt{n'}$.

Kapitel 4

GPU-Programmierung

In diesem Kapitel widmen wir uns der Programmierung von GPUs (englische Abkürzung für *Graphic Processing Unit*), wobei wir uns weitgehend mit der spezifischen Grafikkartenarchitektur und Programmstruktur des Hersteller *Nvidia* beschäftigen, da auch die im Rahmen dieser Arbeit geschriebenen Programme mit Hilfe von GPUs dieses Herstellers ausgeführt werden.

4.1 Grafikprozessoren

Komplexe, programmierbare Automaten, die durch elektrische Schaltung konstruiert werden sind in der heutigen Welt kaum noch wegzudenken und bilden das Rückgrat der modernen Gesellschaft. Nahezu alle elektrischen Geräte beinhalten Mikrocontroller oder Prozessoren, die durch Ausführen einzelner einfacher Befehle komplexe Probleme lösen oder Vorgänge automatisiert steuern können. Insbesondere lassen sich moderne Prozessoren zur numerischen Berechnung von komplexen physikalischen Problemen benutzen. Dabei können je nach Problem unterschiedliche Prozessorarchitekturen für eine schneller Berechnung von numerischen Aufgaben herangezogen werden.

Jeder heutige Rechner basiert im Prinzip auf der *Von-Neumann-Architektur*, siehe [23]. Bei dieser Architektur besteht der Automat aus einem Rechenwerk, einem Steuerwerk und einem Speicherwerk. Zusätzlich kann auch noch ein Ein-, bzw. Ausgabewerk vorhanden sein. Der Automat besitzt einen grundlegenden Befehlssatz, wie zum Beispiel Addition, Subtraktion, aus Datenspeicher laden. Das auszuführende Programm ist eine Abfolge solcher Befehle, die im Programmspeicher abgespeichert sind. Die Ausführung eines Programmes geschieht durch das Laden der Befehle aus dem Programmspeicher und der anschließenden Ausführung dieser im Rechenwerk. Das Rechenwerk selbst besitzt spezielle Speicherstellen, so genannte Register, die als Zwischenspeicher für Ergebnisse von Berechnungen benutzt werden und Resultate anschließend von diesen aus in den Datenspeicher geschrieben werden können. Bei der Ausführung von Programmen kann grundsätzlich immer nur ein Befehl durch das Steuerwerk geladen und durch das Rechenwerk abgearbeitet werden. Dies bedeutet, dass das Programm sequentiell ausgeführt wird.

Bei heutigen Rechnern ist das Steuerwerk und Rechenwerk typischerweise im Prozessor, auch CPU (englische Abkürzung für *Central Processing Unit*) genant, vereint. Das Speicherwerk wäre dabei der Arbeitsspeicher des Rechners. Es sei jedoch angemerkt, dass dies eine starke Vereinfachung darstellt. Heutige Prozessoren weichen im Allgemeinen von dieser Architektur ab uns besitzen beispielsweise Caches, die häufige Befehle und Daten zwischenspeichern, um den Programmablauf zu beschleunigen oder auch mehrere Kerne, bzw. Rechenwerke womit unterschiedliche Programmabläufe gleichzeitig ausgeführt werden können.

Das Grundprinzip bleibt bei CPUs jedoch das selbe. Die einzelnen Rechenwerke führen immer ein Befehl nach dem anderen aus, was weitgehend zu einem sequentiellen Programmablauf führt. Die Dauer der Ausführung eines Programmes auf einer CPU hängt somit vorwiegend von der Komplexität des verwendeten Algorithmus und der Geschwindigkeit mit der einzelne Befehle in der CPU ausgeführt werden können ab.

Für Probleme und Berechnungen, wo Zwischenergebnisse auf Daten basieren, die durch vorherige Berechnungen ermittelt werden müssen, ist die Architektur von CPUs optimal geeignet. Offensichtlich trifft dies auf eine Vielzahl von Problemen und Berechnungen zu, wie zum Beispiel die Berechnung von Summen, oder Lösungen von Differentialgleichungen im Rahmen vom Runge-Kutta-Verfahren, oder die Ausführung des Betriebssystems, mit dessen Hilfe diese Dokument entstanden ist.

Es existieren jedoch Probleme, wo viele Daten mit den selben oder ähnlichen, unabhängigen Berechnungen manipuliert werden sollen. Solche Probleme kann man zwar auf der CPU, falls diese mehrere Rechenwerke besitzen sollte, parallelisieren, jedoch ist dies stark limitierte, weil die Anzahl der Kerne auf der CPU typischerweise in der Größenordnung von 1 bis 10 liegt.

Für Probleme dieser Art sind Grafikprozessoren (GPUs) entwickelt worden. Die Architektur einer GPU sieht dabei vor, dass möglichst viele elektrische Verschaltungen und Bauteile für die Verwendung als Rechenwerke benutzt werden, wie in [24] beschrieben. Dies führt dazu, dass GPUs aus vielen Rechenwerken bestehen, die gleichzeitig arbeiten können, jedoch jedes einzelne Rechenwerk weniger Berechnungen pro Zeiteinheit in den meisten Fällen ausführen kann, als ein Rechenwerk auf der CPU. Ferner existieren häufig weitere Restriktionen für GPUs, die im Laufenden genauer beleuchtet werden. Solche Restriktionen basieren zumeist darauf, dass beispielsweise die Rechenwerke nicht vollständig unabhängig voneinander angesteuert werden oder Speicherzugriffe durch Rechenwerke nicht unabhängig von anderen erfolgen können, da entsprechende Kontrolleinheiten und Verschaltungen, wie auf der CPU nicht für jedes einzelne Rechenwerk separat existieren.

Solche Restriktionen werden in Kauf genommen, für die Möglichkeit gleiche oder ähnliche Berechnungen für die Manipulation von größeren Datenmengen effizient zu parallelisieren um Geschwindigkeitsvorteile gegenüber selbigen Programms sequentiell oder parallelisiert auf der CPU, zu erhalten.

Wie aus der Bezeichnung Grafikprozessor interpretiert werden kann, liegt die Hauptanwendung dieser Prozessorarchitektur in der Berechnung von Grafiken bei Anwendungen wie Computerspielen, wo eine schnelle Berechnung vieler Daten gleichzeitig erforderlich ist. Es hat sich jedoch gezeigt, dass es, außerhalb der Anwendung von Grafikberechnungen, numerisch Berechnung gibt, die zu Teil parallelisierbar sind und dessen Teile auf der

GPU effizient implementiert werden können. Mit Hilfe einer solchen Parallelisierung ist es möglich Geschwindigkeitsvorteilen gegenüber einer reinen CPU implementieren zu erhalten. Wann ein Programm genau effizient auf einer GPU ausgeführt werden kann, wird weiter unten bei der Besprechung der GPU-Architektur und Programmstruktur vom Hersteller *Nvidia* besprochen.

4.2 CUDA und GPU-Architektur

In diesem Abschnitt gehen wir auf die Architektur von GPUs, speziell vom Hersteller *Nvidia*, ein und werden ansprechen, wie die Parallelisierung von Programmen auf GPUs dieser Art auf Hardwareebene geschieht. Wir stützen und dabei auf die Angaben von *Nvidia*, in [24] und [25], selber und auf [27]. Ein grundlegendes Verständnis der Architektur ist nötig, um effiziente Programme schreiben zu können. Jedoch beschreiben die folgenden Angaben nur den aktuellen Stand der Technik vom Hersteller *Nvidia*. Es existiert keine Garantie, dass die hier gemachten Erläuterungen in der Zukunft noch zutreffend sein sollten. Dies bedeutet es ist für den verwendeten Grafikprozessor empfohlen, stets die aktuellen Herstellerangaben zu beziehen. Die Angaben an dieser Stelle treffen zumindest für die *Compute Capability* 5.2 Architekturen und weitgehend die vorherigen ab Version 2.0 zu. Für den Begriff der *Compute Capability* siehe Abschnitt 4.2.1.

Unter dem Begriff *CUDA* führt *Nvidia* das Programmmodell und die Prozessorarchitektur spezialisiert für hohe Parallelisierung von Programmabläufen.

Die Grundidee hinter der Parallelisierung von Programmabläufen in *CUDA* besteht in der gleichzeitigen Ausführung von idealerweise identischen oder ähnlichen Programmabläufen auf vielen Rechenkernen (*cores*). Diese Grundidee wird unter dem Begriff *SIMT*-Architektur (englische Abkürzung für *Single-Instruction Multiple Thread*) zusammengefasst.

Im Rahmen dieser Architektur werden vorgegebene Programmabläufe (*threads*) auf die einzelnen *cores* der GPU aufgeteilt und von diesen ausgeführt. Hierbei können die Programmabläufe durch Ablaufbedingungen auf den einzelnen *cores* sich unterscheiden, was jedoch im Allgemeinen zu Gunsten der Ausführungsgeschwindigkeit, vermieden werden sollte. Um eine derartige Aufteilung von Programmabläufen zu erreichen, besteht die GPU aus einzelnen *streaming multiprocessors* (SMs), die unabhängig voneinander eigenen Rechenkerne, Ressourcen, wie Caches oder Register, und Steuereinheiten für die Ansteuerung der Kerne, besitzen. Ein SM ist somit im wesentlichen ein weitgehend eigenständiger Prozessor.

Einzelne *threads* werden in Blöcken, so genannten *thread blocks*, zusammengefasst. Ein solcher Block wird durch genau ein SM bearbeitet, während ein SM je nach verfügbaren Ressourcen mehrere Blöcke bearbeiten kann. Der einem Block zugewiesenen SM ist für die Aufteilung und Ausführung von der einzelnen Programmabläufe auf den Rechenkernen zuständig. Eine Gruppe von *thread blocks* nennt man *grid* (englisch für Gitter). Ein Programm für die GPU wird zunächst in einem sogenannten *kernel* festgelegt. Innerhalb des *kernel* erfolgt die Programmierung der einzelnen *threads*. Wird nun ein *kernel* aufgerufen, so wird ein *grid* mit vorher festgelegten Größen erzeugt und dessen Blöcke an

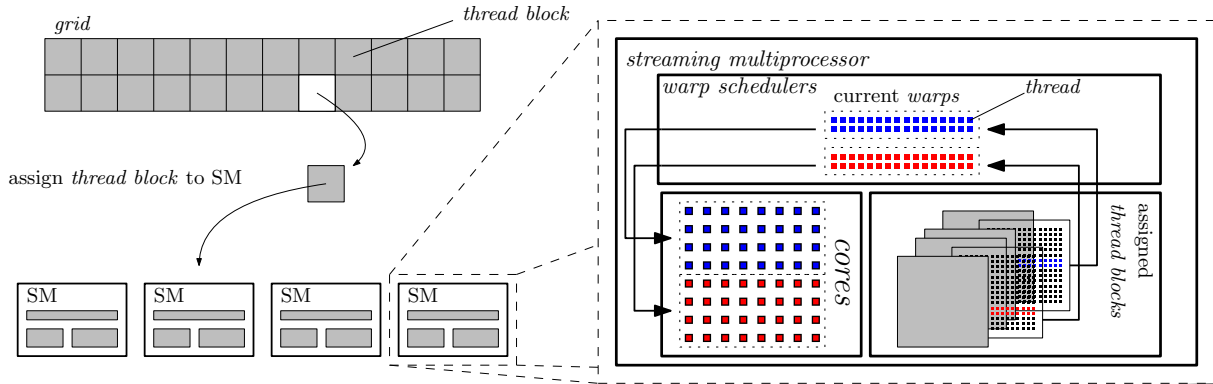


Abbildung 4.2.1: Schematische Illustration der Funktionsweise eines SMs. Gleiche Farben (außer schwarz) der *threads* und der Rechenkerne repräsentieren eine identische auszuführende Instruktion.

die einzelnen SMs übermittelt. Typischerweise ist die GPU in der Lage mehrere *kernels* gleichzeitig zu verwalten und abzuarbeiten.

Das schematische Vorgehen der hier besprochenen Abarbeitung der Programmabläufe ist in Abbildung 4.2.1 dargestellt. Es sei angemerkt, dass die Darstellung des SMs in der Abbildung 4.2.1 kein gültiges Blockschaltbild dieser ist, sondern nur die Arbeitsweise verdeutlichen soll.

Innerhalb eines *thread blocks* werden je 32 *threads* zusammengefasst zu einem *warp*. Der SM verfügt über sogenannte *warp schedulers*. Deren Aufgabe besteht in der Entscheidung und Aufteilung der aktuellen Instruktionen von den Programmabläufen in den *warps* auf die einzelnen Kerne des SMs. Die 32 *threads* innerhalb eines *warps* werden stets gemeinsam behandelt. Die Programmabläufe eines *warps* beginnen stets zum selben Zeitpunkt an und enden zum selben. Der einfachste Fall ist, dass alle Programmabläufe innerhalb eines *warp* exakt die selben Operationen ausführen. In diesem Fall wird die aktuelle auszuführende Instruktion durch einen *warp scheduler* auf die Kerne des SMs übermittelt und von denen ausgeführt, was in minimaler Anzahl an Taktzyklen geschehen kann. Die genaue Art oder Weise der Ausführung der Instruktionen ist abhängig von der verwendeten Architektur. Man beachte, dass zwar in diesem Fall die selben Instruktionen ausgeführt werden, jedoch im Allgemeinen die Programmabläufe unterschiedliche Daten bearbeiten.

Nichtsdestotrotz besteht die Möglichkeit, dass die Programmabläufe innerhalb eines *warp* nicht die selben Instruktionen, sondern teilweise unterschiedliche Abläufe ausführen. In diesem Fall werden die einzelnen verschiedenen Abläufe serialisiert und nacheinander ausgeführt. Dies bedeutet, dass alle *threads*, deren Instruktionen nicht mit dem aktuellen Ablauf übereinstimmen als inaktiv markiert werden und solange warten, bis deren Ablauf ausgeführt wird. Dieser Sachverhalt von unterschiedlichen Abläufen innerhalb eines *warp* wird unter dem Begriff *warp divergence* geführt und kann zu Verlangsamung des Programmablaufes im Vergleich zum Fall, dass alle *threads* eines *warp* die selben Instruktionen ausführen müssen, führen. Mit Verlangsamung ist gemeint, dass der *warp* mehr Taktzyklen als der optimale Fall braucht um vollständig ausgeführt zu werden, was

gleichbedeutend mit mehr Zeit für die Ausführung des *warps* ist.

Unterschiedliche *warp* können ohne Probleme verschiedene Abläufe ausführen, da diese voneinander unabhängig laufen. Die Reihenfolge, in denen die *warp* bearbeitet werden, ist nicht festgelegt, in dem Sinne, dass vor Laufzeit dies bekannt sei. Die Reihenfolge ist beispielsweise von den verfügbaren Ressourcen, und anderen *warps*, die durch den SM bearbeitet werden, abhängig. Wie viele *warp* gleichzeitig auf den Kernen zu einem bestimmten Zeitpunkt ausgeführt werden hängt von den verfügbaren Ressourcen und Rechenkernen ab. Alle nicht zu einem Zeitpunkt aktiv ausgeführten *warp* warten, bis sie durch die *warp schedulers* und Kerne weiter abgearbeitet werden. Wir sehen somit, dass die naive Vorstellung, dass alle Programmabläufe gleichzeitig auf einer GPU ausgeführt werden, nicht zutrifft und die Ausführung einzelnen Programmabläufen nicht komplett unabhängig voneinander sind, was einer der oben angesprochenen Restriktionen ist.

Genauere Details über Anzahl der Kerne und *warp schedulers* ist spezifisch für die explizit verwendete Architektur. Beispielsweise hat ein SM der *Maxwell*-Architektur, genauer der Grafikprozessor mit der Bezeichnung *GM204* vier *warp schedulers*, wo jeder dieser 32 Rechenkerne verwaltet, siehe [30].

Eine wichtige Bemerkung ist, dass die Ausführung der Programmabläufe innerhalb eines Blockes synchronisiert werden können. Das bedeutet es besteht die Möglichkeit gemeinsame Punkte in den Programmabläufen festzulegen an deren Stelle alle *threads* eines Blockes an gelangen müssen und erst anschließend den Ablauf aller *threads* fortgesetzt wird. Da SMs unabhängig voneinander laufen und es nicht fest definiert ist, welcher Block welchem SM zugeordnet wird, existiert keine Möglichkeit die Blöcke eines *grids* zu synchronisieren.

4.2.1 Compute Capability

Die unterschiedlichen GPU-Architekturen von *Nvidia* haben unterschiedliche Eigenschaften, wie zum Beispiel die Anzahl an Rechenkernen, spezielle Funktionen oder die Details der Speichermodelle, siehe Abschnitt 4.2.2. Je nach solchen Eigenschaften wird der GPU eine *Compute Capability* $x.y$ zugeordnet, wobei x und y natürliche Zahlen sind, die die Version festlegen. Gemäß [24, Seite 16, Abschnitt 2.5], steht hierbei x für die Architektur der GPU und y für eine weitere Klassifizierung innerhalb der vorgegebenen Architektur. Beispielsweise ist für die *Maxwell*-Architektur $x = 5$. Die einzelnen Details zu den *Compute Capabilities* lassen sich unter anderem in [24] nachlesen.

Aufgrund der Tatsache, dass in dieser Arbeit GPUs mit der *Compute Capability* 5.2 Klassifizierung verwendet werden, sind die speziellen Angaben im Folgenden vorwiegend auf die Versionen $5.y$ bezogen. Diese werden jedoch als solche gekennzeichnet und sind unter anderem in [24, Seite 214, Abschnitt G.4.2] angegeben. Die restlichen Angaben sind allgemein gehalten.

4.2.2 Speichermodell der GPU

Der nächste wichtige Punkt für die Programmierung von einer GPU ist das zugrundeliegende Speichermodell, da dieses sich von der eines gewöhnlichen CPUs unterscheidet

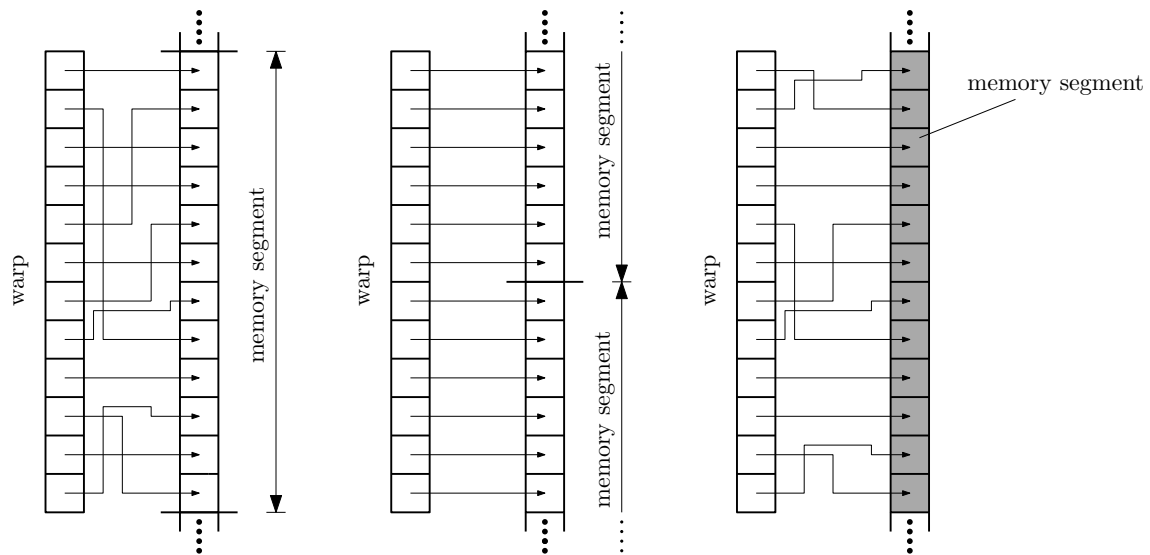


Abbildung 4.2.2: Unterschiedliche Speicherzugriffe auf den *Global Memory*. Die *thread*-Anzahl der *warps* in der Abbildung ist nicht richtig und dient nur der besseren Illustration.

und es gewisse Eigenschaften gibt, die für eine effiziente Programmierung beachtet werden müssen.

Im Grundlegenden gibt es drei verschiedene Arten von Speicher, den *Global Memory*, den *Shared Memory* und die lokalen Speicherregister der SMs, wobei die beiden letzteren Speicherbereiche in den SMs sind und somit direkt auf der GPU liegen.

4.2.2.1 Global Memory

Der größte Speicher ist der *Global Memory*. Dies ist die Analogie des Arbeitsspeichers einer CPU. Der *Global Memory* ist typischerweise mit der GPU zusammen auf der Grafikkarte aufgebracht. Dieser Speicher dient dem allgemeinen Abspeichern von Informationen, wie zum Beispiel den Spin-Gittern in den Programmen dieser Arbeit. Dabei kann auf eine Speicherstelle im *Global Memory* durch alle *threads* eines *grid* zugegriffen werden. Auch *threads* unterschiedlicher *kernels* können auf die selbe Speicherstelle zugreifen, deshalb die Bezeichnung des Speichers als globalen Speicher. Der Zugriff auf den *Global Memory* unterliegt spezifischen Restriktionen. Ein SM kann auf den globalen Speicher zugreifen und Daten in den lokalen des SMs laden. Hierbei können immer nur 32 bytes, 64 bytes oder 128 bytes lange benachbarte Speicherstellen (Segmente), deren Anfangsadresse in bytes relativ zur Adresse 0 ein Vielfaches von 32, 64 oder 128 ist vom globalen Speicher in die lokalen des SMs geladen werden. Dies bedeutet wenn die *threads* eines *warps* mit der aktuellen, auszuführenden Instruktion Daten vom *Global Memory* in ihre lokalen Variablen laden, wird der Datenzugriff in solchen ausgerichteten Speichertransaktionen von Segmenten der Länge 32 bytes, 64 bytes oder 128 bytes aufgeteilt. Welche Speichersegmente für die Datenübertragungen genau verwendet und wie diese im Detail ausgeführt werden ist abhängig von der verwendeten Architektur. Für GPUs der *Compute Capability*

5.y werden Speichertransaktionen von ausgerichteten Segmenten der Länge 32 bytes und 128 bytes verwendet. Der Datentransfer zwischen dem globalen Speicher und der GPU wird dabei stets über einen Zwischenspeicher mit der Bezeichnung *L2-Cache* ausgeführt. Es existiert für den Datentransfer zusätzlich ein weiterer Zwischenspeicher, der sogenannte *L1-Cache*. Wird nur der *L2-Cache* verwendet, so werden bei dieser *Compute Capability* die Speicherzugriffe in das Laden von 32 bytes ausgerichteten Segmenten aufgeteilt. Die Aufteilung von Speicherzugriffen in 128 bytes ausgerichteten Segmenten geschieht, falls zusätzlich der *L1-Cache* verwendet wird.

Im Rahmen der GPU-Programmierung besteht weitgehend das Ziel sein Programmablauf besonders schnell in der Programmausführung zu gestalten. Dementsprechend muss der Zugriff auf den globalen Speicher berücksichtigt werden, um eine möglichst schnelle Ladegeschwindigkeit der Daten zu erreichen. Die höchste Zugriffsgeschwindigkeit auf den globalen Speicher wird erreicht, indem alle Programmabläufe eines *warp* beim gleichzeitigen Laden von Daten nur Daten aus einem ausgerichteten Segment der oben angegeben Längen laden. Dies ist im linken Bild von Abbildung 4.2.2 illustriert. In diesem Fall geschieht das Laden der Daten innerhalb eines Ladevorgangs, was nicht noch weiter beschleunigt werden kann. In dem mittigen Bild von Abbildung 4.2.2 ist der Fall illustriert, wenn der Zugriff nicht optimal geschieht. Hierbei Laden die *threads* des *warp* in der aktuellen, auszuführenden Instruktion die selbe Anzahl an Daten wie in dem linken Fall. Jedoch braucht dieser Speicherzugriff zwei Ladevorgänge, weil zwei Segmente geladen werden müssen. Dies bedeutet, dass die Ladegeschwindigkeit im schlimmsten Fall halb so schnell ist. Das rechte Bild stellt den langsamsten Fall dar. In diesem Fall greifen alle *threads* des *warp* auf unterschiedliche Speichersegmente zu, womit das Laden von den 32 Daten in 32 Ladevorgänge aufgeteilt wird. Dies bedeutet dieser Fall ist um das 32-fache langsamer als der linke Fall in selbiger Abbildung. Das Zugreifen auf Daten wie in dem linken Fall von Abbildung 4.2.2 wird als *coalesced access* bezeichnet, was allgemein die Eigenschaft ausdrückt alle Daten eines ausgerichteten Speichersegmentes zu verwenden, um die Anzahl an nötigen Datentransaktionen zwischen den SMs und dem *Global Memory* zu minimieren.

Im mittigen Fall der Abbildung 4.2.2 muss unter Umständen mit keiner starken Laufzeitverlangsamung im Vergleich zum optimalen Fall gerechnet werden, falls die Segmente kleiner als 128 bytes sein sollten und die GPU-Architektur die Möglichkeit des Zwischenspeicherns von Daten in Caches beim Zugriff auf den globalen Speicher zulässt (siehe [29]). Darauf sollte jedoch bei der Programmierung kein vollständiger Verlass sein und stets zu Gunsten der Laufzeit das *coalesced access* für die Speicherzugriffe eines *warp* eingehalten werden, falls dies möglich sein sollte.

4.2.2.2 Shared Memory

Jeder SM verfügt über ein *Shared Memory*, der als Speicherbereich für Daten dient, auf den alle *threads* eines *thread block* zugreifen können. Dabei können alle *threads* eines Blockes auf die selben Speicherstellen des *Shared Memory* zugreifen. Dies ermöglicht einen Datenaustausch zwischen den einzelnen *threads*. Jedoch können Programmabläufe unterschiedlicher *thread blocks* nicht auf die selben Speicherstellen des *Shared Memory* zugreifen.

Die Reservierung von Speicher im *Shared Memory* gilt jeweils immer nur für einen *thread block*.

Der *Shared Memory* ist in einzelne Segmente, sogenannte *banks*, aufgeteilt. Der Zugriff auf unterschiedliche Segmente geschieht unabhängig voneinander. Hiermit ist gemeint, dass zwei *threads*, die mit ihrer aktuellen, auszuführenden Instruktion Daten aus zwei Speicherstellen laden oder schreiben, die in unterschiedlichen *banks* liegen und jeweils ausschließlich einer der beiden *threads* auf eine der Speicherstellen zugreift, gleichzeitig das Schreiben und Laden für beide Speicherstellen ausgeführt wird. Versuchen jedoch zwei *threads* innerhalb des selben *banks* zu schreiben oder zu lesen, so werden die Zugriffe serialisiert, wobei die Reihenfolge dieser vor der Laufzeit nicht bekannt ist. Diese Eigenschaften des *Shared Memory* können jedoch speziell für die einzelnen Architekturen abweichen, insbesondere die Größe des *Shared Memory*.

Für die *Compute Capability 5.y* beträgt die Größe des *Shared Memory* mindestens 64 kbytes pro SM, wovon jedoch nur 48 kbytes im Rahmen der Programmierung von *threads* verwendet werden können. Der *Shared Memory* ist dabei in 32 *banks* aufgeteilt. Hierbei liegen benachbarte Speicherstellen mit 32-Bit Länge in benachbarten *banks*. Konkret bedeutet das für einen Speicherplatz mit 32-Bit Länge und der Adresse $m \in \mathbb{N}_0$, dass dieser in jenem Segment mit der Nummer $m_b = m \bmod 32$ liegt, wobei die *banks* von 0 bis 31 durchnummeriert werden.

4.2.2.3 Zugriffsgeschwindigkeiten

Die einzelnen Arten des Speichers besitzen unterschiedliche Zugriffsgeschwindigkeiten, die angeben wie viele Daten innerhalb eines bestimmten Zeitraumes geladen oder geschrieben werden können.

Der schnellste Speichertyp sind die Speicherregister der SMs, weil auf diese nahezu ohne Latenz zugegriffen werden kann. Jedoch ist die Anzahl an Speicherregister pro *thread* stark begrenzt, was die Möglichkeit der Programmbeschleunigung über Verwendung von Registern einschränkt.

Der *Global Memory* ist zwar der größte Speicher, jedoch auch der langsamste im Vergleich zu den anderen beiden Speichertypen. Insbesondere ein ineffizienter Datenzugriff kann sich stark in der Laufzeit auswirken, deshalb sollte falls möglich das *Shared Memory*, was bis zu einer Größenordnung mehr Datendurchsatz besitzt, verwendet werden.

4.3 CUDA C/C++ Programmierung

An dieser Stelle gehen wir auf die Programmierung von *kernels* für die GPUs von *Nvidia* mit Hilfe der C/C++ Programmiersprache ein und besprechen die grundlegenden Strukturen. Die Angaben beziehen sich auf die *CUDA Version 7.5*, mit den Beschreibungen von *Nvidia* in [24], [25] und [26]. Die Darstellung soll nicht den Anspruch einer Einführung in die Programmierung von GPUs erheben mit der Intention, dass der Leser ausschließlich mit Hilfe dieser Arbeit die Programmierung von GPUs erlernen kann. Für Lernzwecke sei beispielsweise auf [24] und [25] oder [27] verwiesen. Es soll vorwiegend ein Überblick über

die wichtigsten Elemente geliefert werden, die für das Verständnis der in dieser Arbeit verwendeten Programmen benötigt werden.

Nvidia baut, für die Programmierung seiner GPUs, auf die Syntax von der C/C++ Sprache auf, indem diese durch passende Schlüsselwörter und Programmzbibliotheken ergänzt wird. Bei der Programmierung wird dabei zwischen dem *host* und dem *device* unterschieden. Mit dem *device* wird die an einem Rechner angebrachte Grafikkarte, die den Grafikprozessor beherbergt, bezeichnet. Der *host* ist der durch die CPU gesteuerte Rechner, der mit dem Grafikprozessor kommunizieren kann und diesen verwaltet. Das gesamte Programm wird in *host*- und *device*-Code aufgeteilt. Für die Kompilierung des Quellcodes wird das durch *Nvidia* zur Verfügung gestellte Programm **nvcc** verwendet, dass für die unterschiedlichsten Betriebssysteme und Plattformen existiert. Das Programm ist kein eigenständiger Compiler, sondern bedarf immer einen *host*-Compiler, wie zum Beispiel **gcc** auf Linux-Distributionen.

4.3.1 Programmierung von *kernels*

Ein *kernel* wird über folgende Syntax, analog zu einer Funktion in der Programmiersprache C/C++, deklariert und definiert:

```
--global__ void kernelname(T1 arg1, T2 arg2, ... ) {
    //Hier steht die Definition von kernel
}
```

Mit dem Schlüsselwort **--global__** wird festgelegt, dass es sich um die Deklaration eines *kernel* handelt. Der Datentyp der Rückgabe ist stets **void** und **kernelname** deklariert den Namen des *kernel*.

Innerhalb des Gültigkeitsbereiches der Definition des *kernel* erfolgt die Programmierung der *threads*. Das Programm innerhalb der Definition wird in C/C++ geschrieben und ist jenes, dass die Programmabläufe der *threads* festlegt, dass heißt die Instruktionen innerhalb der Definition sind die von den Programmabläufen der *threads*. Der Aufruf eines *kernel* erfolgt innerhalb des *host*-Codes, der auch die *main*-Funktion beinhaltet, über

```
dim3 threads(blockDimX, ... );
dim3 blocks(gridDimX, ... );

kernelname<<<threads, blocks>>>(arg1, arg2, ... );
```

wobei **threads** die Größe der *thread blocks* und **blocks** die Größe des *grid* festlegt. Die *threads* und *thread blocks* werden in Arrays der Dimension 1, 2 oder 3 angeordnet, je nachdem ob dem Konstruktoren von **threads** oder **blocks** entsprechend 1, 2 oder 3 Argumente des Typs **unsigned int** übergeben werden. Innerhalb der Arrays können die einzelnen *threads*, bzw. *thread blocks* durch Indextupeln passender Dimension identifiziert

werden. Die Indizes der Tupeln können innerhalb der Programmabläufe der *threads* in der Definition vom *kernel* abgerufen werden. Für die Koordinaten der *threads* innerhalb des Arrays eines *thread blocks* geschieht dies über die Variablen `threadIdx.x`, `threadIdx.y` und `threadIdx.z`. Die Koordinaten des *thread block*, in dem sich der *thread* befindet, werden analog über die Variablen `blockIdx.x`, `blockIdx.y` und `blockIdx.z` bestimmt. Hierüber lässt sich ein *thread* innerhalb des *thread block* oder des *grid* eindeutig indizieren und die Programmabläufe abhängig vom *thread* machen. Diese Variablen werden nicht in der Definition von `kernelname` deklariert, da dies außerhalb des Gültigkeitsbereiches von der Definition global in den eingebundenen Headers für die CUDA-Programmierung geschieht.

Ein typisches Beispiel für die Verwendung der Indizierung von *threads* ist das Laden oder Speichern von Daten aus dem globalen Speicher. Dies kann beispielsweise durch

```
--global__ void metropolis2DPeriodicOdd(unsigned short* spins_d, int*
randoms_d, double* local_probabilities_d){

//Hier steht der vorherige Ablauf des thread.

*(spins_d + 64 * (blockIdx.x + blockIdx.y*gridDim.x) + threadIdx.x) =
local_sub_lattices[_OWN_];

//Hier steht der Rest des Ablaufes.

}
```

gegeben sein, wobei es sich hier um ein Teil eines Programmes aus dieser Arbeit handelt, siehe Abschnitt 8.2.1.5). In dieser Programmzeile wird ein Datum aus dem Array `local_sub_lattices` des Datentyps `unsigned short` in den Speicherbereich des globalen Speichers geschrieben, dessen Anfangsadresse durch den Zeiger `spins_d` des Typs `unsigned short*` referenziert wird. Es werden dabei eindimensionales *thread blocks* mit je 64 *threads* und ein zweidimensionales *grid* verwendet. An dem Codebeispiel ist zu erkennen, dass über die Indizes jeder *thread* des *grid*s an genau einer ihm zugeordneten Speicherstelle schreibt. Analog kann man das Lesen von Daten durch die *threads* gestalten. Somit wird deutlich wie unterschiedliche *threads* die selben Berechnungen auf unterschiedlichen Daten ausführen können. Das Programm das innerhalb der Definition des *kernel* angegeben wird lässt sich somit als eine Art Vorlage sehen, die angibt wie die Programmabläufe der einzelnen *threads* explizit durch deren Position im *grid*, bzw. *thread block* zu definieren sind.

Standardmäßig wird nach dem Aufruf des *kernel* der *host*-Code weiter ausgeführt, ohne dass auf die Beendigung des *kernel* gewartet wird. Dies liegt daran, dass der Grafikprozessor unabhängig vom *host*-Programm arbeitet. Werden mehrere *kernels* hintereinander aufgerufen, so werden diese einer Warteschlange (*stream*) zugeordnet, dabei können mehrere solcher Warteschlangen existieren. Falls keine explizite Einstellung erfolgen sollte, werden alle *threads* einem standardmäßigen *stream* zugeordnet, der die Bezeichnung *default stream* trägt. Innerhalb einer solchen Warteschlange werden die zugewiesenen *kernel* nacheinander abgearbeitet, dass heißt für zwei *kernels* A und B mit der Eigenschaft,

dass *kernel A* zeitlich vor *kernel B* dem selben *stream* zugeordnet wäre, wird zunächst *kernel A* abgearbeitet und nach dessen Beendigung *kernel B*. Befänden sich jedoch *kernel A* und *kernel B* in unterschiedlichen Warteschlangen, so ist das obige Verhalten nicht mehr gegeben und beide *kernels* können prinzipiell gleichzeitig auf der GPU abgearbeitet werden. Für die Programme dieser Arbeit wird nur der *default stream* verwendet, womit das Konzept mehrerer Warteschlangen von keiner Relevanz ist.

Falls das *host*-Programm auf die Beendigung eines *kernel* warten soll, kann dies durch den Aufruf der Funktion `cudaDeviceSynchronize()` nach dem Aufruf des *kernel* erreicht werden.

4.3.2 Speicherreservierung

Die unterschiedlichen Arten von Speicher werden über eine unterschiedliche Art und Weise reserviert.

4.3.2.1 Global Memory

Ein Speicherbereich im globalen Speicher wird über folgende Syntax und Funktion innerhalb des *host*-Codes reserviert:

```
T* pointer;

cudaMalloc(&pointer, N*sizeof(T));
```

Zunächst wird der Zeiger `pointer`, der auf ein Element des Datentyps `T` referenziert deklariert. Anschließend wird über den Funktionsaufruf `cudaMalloc(...)` beginnend an der durch `pointer` referenzierten Anfangsadresse `N*sizeof(T)` Bytes an globalen Speicher reserviert. Auf die `N` Speicherstellen vom Datentyp `T` kann innerhalb der *threads* über `*(pointer + j)` mit $j \in \{0, \dots, N - 1\}$ zugegriffen werden, falls der Zeiger dem *kernel* als Argument übergeben wird. Der Zugriff in dieser Art ist jedoch nicht vom *host* aus möglich, da der Zeiger eine Adresse innerhalb des globalen Speichers beinhaltet, der nicht durch den *host* direkt adressiert oder verwendet werden kann. Genauso ist der Grafikprozessor nicht in der Lage direkt auf den Arbeitsspeicher des *host* zuzugreifen. Nur über passende System-, bzw. Treiberaufrufe können die gewünschten Manipulationen ausgeführt werden (beispielsweise `cudaMemset(...)`, etc.).

Falls der Speicher nicht mehr gebraucht werden sollte muss dieser explizit freigegeben werden über `cudaFree(pointer)`, ansonsten bleibt die Reservierung bestehen, selbst wenn kein Zeiger den Speicher mehr referenzieren sollte.

4.3.2.2 Shared Memory

Der *Shared Memory* wird innerhalb der *kernel*-Definition reserviert. Die Syntax sieht dabei wie folgt aus:

```
--global__ void kernelname(T1 arg1, T2 arg2,... ){  
//Hier steht der vorherige Ablauf des thread.  
  
__shared__ T array [SIZE];  
  
//Hier steht der Rest des Ablaufes.  
}
```

Es wird ein Array mit der Bezeichnung `array` vom Datentyp `T` der Größe `SIZE` angelegt, wobei `SIZE` als explizite Zahl angegeben werden muss, da es sich um ein statisch angelegtes Array handelt. Das Schlüsselwort `__shared__` gibt dabei an, dass dieses Array im *Shared Memory* angelegt werden soll. Das Anlegen vom Array geschieht hierbei nicht für jeden *thread* sondern immer für einen *thread block*.

Die Speicherreservierung gilt nur innerhalb des Gültigkeitsbereiches der Definition von `kernelname`. Nach Beendigung des *kernel* wird der im *Shared Memory* reservierte Speicher freigegeben.

Eine typische Anwendung des *Shared Memory* liegt in der Optimierung vom Laden und Schreiben von Daten in den globalen Speicher. Wie in Abschnitt 4.2.2.1 besprochen ist es für die Zugriffsgeschwindigkeit auf den globalen Speicher zu empfehlen den *coalesced access* einzuhalten um maximale Performance erreichen zu können. Häufig kann es jedoch sein, dass ein *thread* Zugriffe ausführen müsste, wo der *coalesced access* nicht gegeben ist oder mehrfach Zugriffe geschehen müssen. Mit Hilfe des *Shared Memory* können zunächst die notwendigen Daten aus dem globalen Speicher in diesen geladen werden, wobei versucht wird soweit wie möglich den Speicherzugriff optimal durch den *coalesced access* zu gestalten. Anschließend können die einzelnen *threads* die Daten aus dem *Shared Memory* laden, der weitaus schneller und insbesondere nicht den selben Restriktionen wie dem *Global Memory* unterlegen ist. Diese Methode ist in [28] genauer dargestellt und wird auch in den Programmen dieser Arbeit verwendet.

Kapitel 5

Implementation der Algorithmen

In diesem Kapitel werden die Implementationen der Algorithmen, Metropolis-Algorithmus und Demon-Algorithmus, besprochen. Für letzteren werden die beiden Update-Verfahren für den kanonischen Update der *demons* aus Abschnitt 3.2.2.2 implementiert. Die Programme sind hierbei in der Programmiersprache C/C++ mit dem *CUDA* spezifischen Syntax geschrieben.

5.1 Multispin-Coding

Im Rahmen der Simulation des Ising-Modells wird die aktuelle Spinkonfiguration σ_n im Speicher der verwendeten Rechenmaschine gehalten. Typischerweise kann hierfür ein Array der entsprechenden Dimension d angelegt werden, wo jeder Eintrag entweder den Wert 1 oder -1 annimmt und den entsprechenden Spinzustand repräsentiert. Bei der Reservierung des Speichers für ein Array kann je nach Programmiersprache und System nur bestimmte Datentypen für die einzelnen Speicherstellen des Arrays verwendet werden, wie 4 bytes-Integer. Dies bedeutet, dass üblicherweise mehrere Bytes Speicher verwendet werden, um zwischen zwei Zuständen zu unterscheiden. Ein Spinzustand kann jedoch schon in nur ein Bit b kodiert werden, indem $b = 0$ für den Zustand -1 und $b = 1$ für den Zustand 1 steht. Dies bedeutet, dass beispielsweise für einen 4 bytes-Integer 31 bits keine sinnvolle Information tragen, jedoch trotzdem dieser Speicher reserviert wird.

Die Idee hinter der Multispin-Coding-Methode, besteht darin in jedem Bit eines Wortes der Länge n bytes ein Spinzustand zu kodieren. Hierbei unterscheiden wir zwischen zwei Möglichkeiten. Entweder die einzelnen Bits eines Wortes repräsentieren unabhängige Spins, womit wir im Speicher $8 \cdot n$ Spinkonfigurationen gleichzeitig halten oder in einem Wort werden Spins der selben Spinkonfiguration gespeichert. Dies führt nicht nur zu einer effizienteren Speicherverwendung, sondern es können auch Instruktionen für die Implementierung verwendet werden, die einzelne Bits manipulieren und typischerweise besonders schnell auf einer Rechenmaschine ausgeführt werden können, da sie normalerweise Teil des Instruktionssatz der Rechenwerke sind.

Die in dieser Arbeit implementierten Algorithmen verwenden unterschiedlichen Methoden des Multispin-Codings. Für den Demon-Algorithmus werden 32 unabhängige Spins

in einem 4 bytes großen Wort gespeichert, während für den Metropolis-Algorithmus in einem 2 bytes großem Wort Spins der selben Konfiguration gespeichert sind.

5.2 Implementierung des Metropolis-Algorithmus

Für die Implementierung des Metropolis-Algorithmus auf GPUs, insbesondere mit Multi-Spin-Coding, existieren die Arbeiten in [31] und [32]. Die Implementierung an dieser Stelle basiert teilweise auf Konzepte aus den angegebenen Arbeiten, jedoch ist die Implementierung in dieser Arbeit nicht vollständig identisch mit der aus [31] und [32]. Es existiert sowohl eine zweidimensionale, als auch eine dreidimensionale Implementierung.

Bei den in diesem Kapitel besprochenen Beschreibungen beziehen wir uns auf ein zweidimensionales Gitter. Die Verallgemeinerung auf drei Dimensionen ist grundlegend nicht schwierig, da das Gitter in der $i = 3$ Richtung, mit der Ausdehnung L_3 , aufgeteilt werden kann in L_3 zweidimensionale Gitter. Es müssen nur die Wechselwirkungen einer Ebene mit der darüber oder darunter liegenden Ebene berücksichtigt werden. Die dreidimensionale Implementierung ist im Programm mit inkludiert, jedoch spielt sie für die Betrachtungen in dieser Arbeit keine wichtige Rolle.

Der hier programmierte Quellcode ist in 8.2.1 angegeben.

5.2.1 Programmaufbau

Das Programm besteht aus unterschiedlichen *kernel* und Funktionen, die aufgerufen werden müssen, um eine gewünschte Simulation auszuführen. Die Grundlage für die Programmierung einer Simulation ist dabei die Klasse `Lattice`. Die Klasse beinhaltet alle Attribute und Methoden, die für die Simulation des Gitters notwendig sind.

Für eine Simulation wird zunächst ein Objekt `gitter(L1, L2, L3, _PERIODIC_, beta)` der Klasse `Lattice` angelegt, wobei die ersten drei Argumente des Konstruktor die Ausdehnungen des Gitters angeben. `_PERIODIC_` legt fest, dass es sich um periodische Randbedingungen handelt, und `beta` ist die dimensionslose inverse Temperatur, bei der die Simulation ausgeführt werden soll. Falls im Konstruktor das dritte Argument ausgelassen werden sollte, wird ein zweidimensionales Gitter angenommen.

Für die eigentliche Simulation werden die Methoden `gitter.updateSystem()` und `gitter.observeTotalMagnetization()` verwendet. Mit der ersten Methode wird der Update des Gitter gemäß des Metropolis-Algorithmus ausgeführt und mit der zweiten Methode die totale Magnetisierung

$$N \cdot m = \sum_{u \in G} \sigma_n(u) \quad (5.2.1)$$

der aktuellen Spinkonfiguration berechnet.

Eine wichtige Anmerkung ist, dass L_1 und L_2 Vielfache von 32 sein müssen und im dreidimensionalen Fall L_3 einen geraden Wert haben muss.

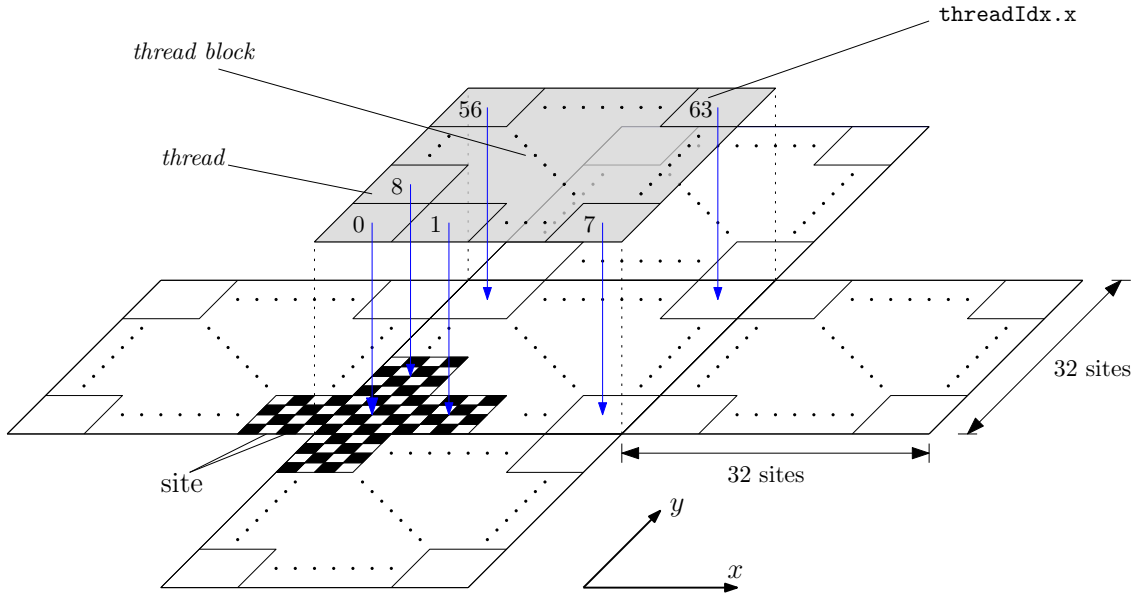


Abbildung 5.2.1: Illustration des Gitteraufbaus für den Metropolis-Algorithmus mit der Aufteilung der Teilgitter auf die einzelnen *threads* eines *thread blocks* für ein zweidimensionales Gitter.

5.2.2 Gitteraufbau

Das Gitter wird in einem Array des Datentyps `unsigned short` gespeichert, wobei die Daten im *Global Memory* lokalisiert sind. Jedes Bit einer Speicherstelle repräsentiert einen Spin des Gitters. Eine Speicherstelle wiederum repräsentiert ein (4×4) -Teilgitter, dass auf der x - y -Ebene, mit den Ausdehnungen L_1 und L_2 , liegt. Der grundlegende Gitteraufbau ist in Abbildung 5.2.1 dargestellt.

Innerhalb einer Speicherstelle `sub_lattice` können die einzelnen Spins über den Syntax `(sub_lattice & (1 << (x + y * 4))) >> (x + y * 4)` ausgelesen werden, wobei x und y Koordinaten innerhalb des Teilgitters zwischen 0 und 3 für den entsprechenden Richtungen sind. Dieses Konzept stammt aus [32].

Das Gitter wird auf der x - y -Ebene in 32×32 große Blöcke aufgeteilt. Jeder Block wiederum besteht aus 64 (4×4) -Teilgittern. Dies bedeutet ein Gitterblock wird in 64 Speicherstellen des Arrays abgespeichert, was insgesamt 128 bytes entspricht. Hieran ist es möglich zu erkennen, weshalb die Restriktionen für L_1 , bzw. L_2 existieren. Die Restriktionen erlauben das Laden eines Gitterblockes unter Berücksichtigung des *coalesced access* Prinzipes, da benachbarte Teilgitter des selben Gitterblockes nebeneinander im Speicher abgelegt sind und die Anfangsadresse des ersten Teilgitters eines Blockes ein Vielfaches von 128 bytes ist.

5.2.3 Update der Spinkonfiguration

Das Programm speichert stets nur die aktuelle Spinkonfiguration im entsprechenden Array. Für das Updaten der Konfiguration von σ_n zu σ_{n+1} müssen nacheinander die *kernel*

```

1 dim3 blocks(gridDimX, gridDimY);
2
3 metropolis2DPeriodicEven<<<blocks, 64>>>(spins_d, randoms_d,
4     local_probabilities_d);
metropolis2DPeriodicOdd<<<blocks, 64>>>(spins_d, randoms_d,
    local_probabilities_d);

```

Programmcode 5.1: Entnommen aus Abschnitt 8.2.1.7

aufgerufen werden, entsprechend $\dots 3D\dots$ für ein dreidimensionales Gitter.

Wie in Abschnitt 3.2.1 dargestellt, muss für die lokalen Updates $W_{(x_1, x_2)}$ der einzelnen Gitterpunkte eine Reihenfolge definiert werden. Aufgrund der Tatsache, dass wir möglichst viele solcher Updates, innerhalb eines *kernel*-Aufrufes, parallel ausführen möchten, wird ein Schachbrett muster verwendet. Hierbei unterscheiden wir zwischen geraden und ungeraden Gitterpunkten. Ein Gitterpunkt (x_1, x_2) heißt gerade, genau dann, wenn $x_1 + x_2$ gerade ist und ungerade, wenn $x_1 + x_2$ ungerade ist. Für den dreidimensionalen Fall wird entsprechend die Koordinate x_3 in den Summen hinzugefügt. Wenn die Gitterpunkte derartig unterschieden werden, erhalten wir ein Schachbrett muster, wie in Abbildung 5.2.1, wo dies für die (4×4) -Teilgitter exemplarisch dargestellt ist. In der Abbildung ist es möglich zu erkennen, dass die nächsten Nachbarn eines geraden Gitterpunktes, ungerade sind und die eines ungeraden Gitterpunktes, gerade sind. Die jeweiligen *kernel* die aufgerufen werden, führen entweder, wie die Bezeichnungen nahelegen, lokale Updates für gerade oder ungerade Gitterpunkte aus. Dies bedeutet, die Spins von den nächsten Nachbarn bleiben während des lokalen Updates unberührt, woraus sich offensichtlich ergibt, dass für die Energieänderung $H(\sigma') - H(\sigma)$ angenommen werden darf, dass keine weiteren lokalen Updates gleichzeitig ausgeführt werden und folglich sich die Energieänderung nur durch die nächsten Nachbarn eines Spins ergibt.

Für die Ausführung des *kernel*s wird ein zweidimensionales, bzw. dreidimensionales, *grid* erstellt, wo jeder *thread block* aus 64 *threads* besteht. Hierbei ist einem *thread block* ein Gitterblock zugeordnet, wie in Abbildung 5.2.1 veranschaulicht. Jeder *thread* eines *thread blocks* ist für das Updaten der geraden oder ungeraden Spins eines (4×4) -Teilgitters verantwortlich, [32]. Dabei werden die einzelnen *threads* nacheinander mit steigendem Index auf die Teilgitter aufgeteilt.

Um diese Aufteilung zu erreichen müssen die Daten aus dem Array geladen werden. Hierzu wird zunächst der Gitterblock selber und die nächst benachbarten Gitterblöcken in das *Shared Memory* geladen, wobei die periodischen Randbedingungen beachtet werden. Nachdem dies geschehen ist, beziehen die einzelnen *threads* aus dem *Shared Memory* das ihnen zugeordnete Teilgitter und jeweils die nächst benachbarten (4×4) -Teilgitter. Jeder *thread* führt nun die lokalen Updates $W_{(x_1, x_2)}$ für die entsprechenden Gitterpunkte aus. Hierbei werden die, für die Berechnungen notwendigen, Spinzustände entweder aus dem eignen Teilgitter oder bei Spins, die am Rand des Teilgitters liegen, aus den nächst benachbarten Teilgittern geladen.

Nachdem die lokalen Updates ausgeführt sind, werden die Resultate ins *Shared Memory* zurück und anschließend in das *Global Memory* geschrieben.

5.2.3.1 Zufallszahlen innerhalb von *threads*

Für die lokalen Updates müssen die einzelnen *threads* entsprechend Zufallszahlen erzeugen. Dies geschieht konzeptionell wie in [32]. Die einzelnen *threads* erzeugen die Zufallszahlen über einen linearen Kongruenzgenerator, der in Abschnitt 3.1.2 beschrieben ist. Hierbei wird die 1. Variation aus dem Abschnitt verwendet. Diese ist in der Funktion `simpleRandomInteger0` implementiert. Die aktuelle Zufallszahl x_n eines Generators wird im globalen Speicher abgelegt, sobald ein *thread* eines *kernel* Zufallszahlen erzeugt hat und seinen Ablauf beenden wird ohne weitere Zufallszahlen zu generieren. Beim Start eines *threads* wird zunächst die letzte im globale Speicher abgelegte Zufallszahl geladen und für die Erzeugung der nächsten Zufallszahlen verwendet. Hierbei müssen die ersten Zufallszahlen x_0 der Generatoren für die einzelnen *threads* initialisiert werden. Dies geschieht über einen Marsaglia-Zaman-Generator und ist in der Funktion `initializeRandoms` implementiert. Die Initialisierung kann prinzipiell zwischen einzelnen *kernel*-Aufrufen platziert werden, um, falls benötigt, eine bessere Statistik zu erhalten und Abhängigkeiten der Zufallsgeneratoren in den einzelnen *threads* zueinander zu minimieren.

5.2.4 Berechnung der totalen Magnetisierung

Das Ziel der Simulation ist es nicht nur Spinkonfigurationen zu erzeugen, sondern auch entsprechende Observablen $A(\sigma)$ zu bestimmen. Die für diese Arbeit vorwiegend benutzen Observablen sind m , m^2 und m^4 . Hierzu muss die totale Magnetisierung in Gleichung (5.2.1) aus der aktuellen Spinkonfiguration bestimmt werden.

Dies wird über folgende Programmierung erreicht:

```
dim3 blocks(gridDimX, gridDimY);
totalMagnetizationBlockWide2D <<<blocks, 64 >>>(spins_d,
    magnetization_block_wide_d);
cudaMemcpy(magnetization_block_wide, magnetization_block_wide_d,
    gridDimX*gridDimY*sizeof(int), cudaMemcpyDeviceToHost);

for (int x = 0; x < gridDimX; x++){
    for (int y = 0; y < gridDimY; y++){
        total_magnetization = total_magnetization + *(magnetization_block_wide + x + y*gridDimX);
    }
}
```

Programmcode 5.2: Entnommen aus Abschnitt 8.2.1.7

Zunächst wird der *kernel* mit der Bezeichnung `totalMagnetizationBlockWide2D` aufgerufen. Hierbei werden, analog zum Update der Spinkonfigurationen, 64 *threads* pro *thread block* verwendet. Ferner ist jedem Gitterblock ein *thread block* zugeordnet. Für die Berechnung der totalen Magnetisierung lädt zunächst, wie in Abbildung 5.2.1, jeder *thread* das ihm zugeordneten (4×4)-Teilgitter in sein lokalen Speicher. Anschließend berechnet

jeder *thread* die totale Magnetisierung des jeweiligen Teilgitters aus und speichert das Ergebnis ins *Shared Memory*. Nun summiert der erste *thread* eines jeden halben *warps*, das heißt jeder 16. *thread*, die totalen Magnetisierungen des Teilgitter im halben *warp* auf. Anschließend summiert der erste *thread*, mit `threadIdx.x==0`, die totalen Magnetisierungen der halben *warps* auf. Das Resultat wird anschließend in den globalen Speicher geschrieben. Die so bestimmten totalen Magnetisierungen pro Gitterblock werden vom globalen Speicher (`magnetization_block_wide_d`) in den *host*-Speicher (`magnetization_block_wide`) kopiert. Im Anschluss werden auf dem *host* die totalen Magnetisierungen pro Gitterblock aufsummiert, was die gesamte totale Magnetisierung liefert.

5.3 Implementierung des Demon-Algorithmus

Im Gegensatz zum Metropolis-Algorithmus wird bei der Implementation des Demon-Algorithmus 32 unabhängige Spinzustände jeweils in einem Wort der Länge 4 bytes gehalten, womit 32 unabhängige Spinkonfigurationen für das selbe Gitter simuliert werden, wobei diese Technik beispielsweise in [21] verwendet wird. Dieses Grundkonzept führt zu einem konzeptionell anderen Aufbau der Implementierung, insbesondere hinsichtlich der Speicherverwaltung.

Der vollständige Quellcode des Programms ist in Abschnitt 8.2.2 vorzufinden.

5.3.1 Programmaufbau

Für die Ausführung von Simulationen des Ising-Modells mit Hilfe der Implementierung des Demon-Algorithmus wird auch hier eine Klasse `Lattice`, dessen Konstruktor sich wie der aus Abschnitt 5.2.1 verhält, verwendet.

Das mikrokanonische Update des Spingitters eines Objektes `gitter` der Klasse wird über den Aufruf `gitter.updateSystem()` ausgeführt. Für das kanonische Update der *demons* sind beide in Abschnitt 3.2.2 angegebenen Verfahren implementiert. Das naive Update wird dabei über die Methode `gitter.updateDemonLayersNew()` ausgeführt. Das Update mit Hilfe der Binomialverteilung geschieht über `gitter.updateDemonLayers()`. Die Funktionen zum Updaten bearbeiten hierbei alle 32 Spinkonfigurationen.

Die Messung der totalen Magnetisierung in Gleichung (5.2.1) geschieht über `gitter.observeTotalMagnetization(magn)`, wobei `magn` ein Zeiger auf ein Array mit 32 Einträgen des Datentyps `int` ist, in denen die totale Magnetisierung der einzelnen Konfigurationen gespeichert sind.

Auch bei dieser Implementierung unterliegen die gewählten Ausdehnungen L_1 , L_2 und L_3 gewissen Restriktionen. Hierbei muss L_1 ein Vielfaches von 64 und L_2 ein Vielfaches von 32 sein. Ferner muss L_3 eine gerade Zahl sein.

5.3.2 Gitteraufbau

Die 32 Spins der Konfigurationen werden für einen bestimmten Gitterpunkt $x_0 \in G$ in einer Speicherstelle des Datentyps `unsigned int` abgespeichert. Das i -te Bit der Speicher-

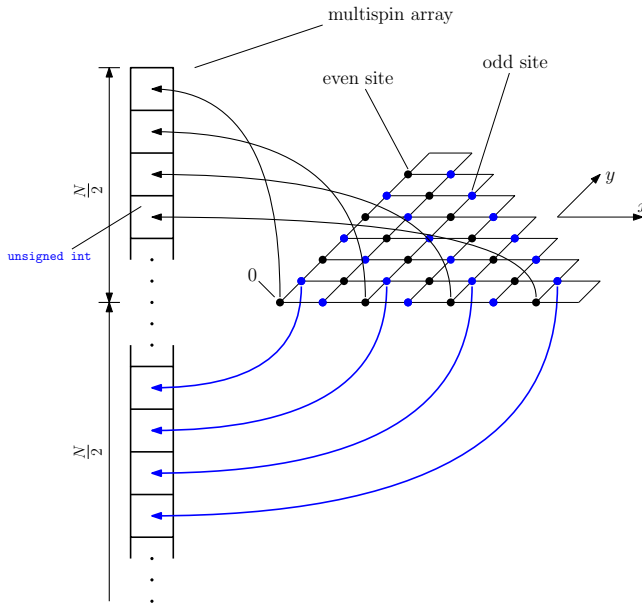


Abbildung 5.3.1: Illustration der Speicherung der Multispins mit der Zuordnung zu den einzelnen Gitterpunkten für ein zweidimensionales Gitter mit $N = L_1 \cdot L_2$ Gitterpunkten.

stelle ist dabei der Spinzustand des Gitterpunktes x_0 der i -ten Spinkonfiguration. Wir bezeichnen ab diesem Punkt eine solche Speicherstelle, die die 32 Spins für einen Gitterpunkt speichert, als ein Multispin.

Die Spinkonfigurationen werden in einem Array des Datentyps `unsigned int` der Länge $N = L_1 \cdot L_2$, entsprechend für drei Dimensionen durch L_3 ergänzt, abgespeichert. Hierbei repräsentiert eine Speicherstelle den Multispin eines Gitterpunktes. Die Multispins aller geraden Gitterpunkte sind in der ersten Hälfte und alle Multispins der ungeraden Gitterpunkte in der zweiten Hälfte des Arrays lokalisiert. Der Sachverhalt ist in Abbildung 5.3.1 illustriert. Hierbei liegen alle geraden, beziehungsweise ungeraden, Gitterpunkte mit der selben y -Koordinate, bezogen auf die Richtung mit Ausdehnung L_2 , nebeneinander im Speicher. Konkret liegt, neben einer Speicherstelle eines geraden, beziehungsweise ungeraden, Gitterpunktes mit den Koordinaten (x, y) und der Speicheradresse m in Bytes, der Gitterpunkt mit den Koordinaten $(x + 2, y)$ und der Speicheradresse $m + 4$.

Für die *demons* werden die drei Energieniveaus $E_1 = 4$, $E_2 = 8$ und $E_3 = 16$ gewählt. Die Besetzung eines Energieniveaus kann in einem Bit b kodiert werden. Hierbei bedeutet $b = 0$, dass das Energieniveau nicht besetzt ist und entsprechend $b = 1$, dass es besetzt ist. Für jeden Spinzustand eines Multispins müssen somit drei Bits verwendet werden, um am einem Gitterpunkt für die i -te Spinkonfiguration den *demon* abzuspeichern. Jedem Multispin sind hierfür drei Speicherstellen des Datentyps `unsigned int` zugeordnet. Diese werden als `hdemons`, `mdemons` und `1demons` bezeichnet und kodieren die Besetzungszustand der Energieniveaus E_3 , E_2 und E_1 . Das i -te Bit einer der Speicherstellen repräsentiert hierbei die Besetzung des entsprechenden Energieniveaus des *demon* für den Gitterpunkt in der i -ten Spinkonfiguration.

Die Speicherstellen der *demons* werden in einem Array der Länge $N = 3 \cdot L_1 \cdot L_2$ abgespeichert. Hierbei wird das Array, analog zu den Multispins, in zwei Bereichen aufgeteilt. In der ersten Hälfte werden die Zustände der *demons* für die gerade Gitterpunkte und in der zweiten Hälfte für die ungeraden Punkte gespeichert. Jeder dieser Bereiche wiederum wird in drei Teilbereiche aufgeteilt, wobei in den einzelnen Teilbereichen mit steigender Adresse jeweils die Variable `hdemons`, `mdemons` oder `ldemons` für die einzelnen Zustände abgespeichert werden.

Im Rahmen der Implementierung wird das Gitter in der x - y -Ebene aufgeteilt in Gitterblöcke mit 64 Multispins in der x -Richtung mit der Ausdehnung L_1 und 32 Multispins in der y -Richtung mit der Ausdehnung L_2 .

5.3.3 Update der Spinkonfigurationen

Für das Updaten der Spinkonfigurationen müssen die beiden Prozesse, mikrokanonisches Update des Gesamtsystems und kanonisches Update der *demons*, implementiert werden.

5.3.3.1 Mikrokanonisches Update der Spinkonfigurationen

Für das mikrokanonische Update müssen mehrere *kernel* hintereinander aufgerufen werden. Die Programmroutine hierfür ist durch

```
dim3 blocks(this->gridDimX, this->gridDimY);
dim3 blocks_red(this->gridDimX, this->gridDimY / 2);
unsigned int random_offset;

metropolis2DPeriodicEven <<<blocks, 1024 >>>(this->spins_d, this->
    demons_d, this->L1, this->L2);
metropolis2DPeriodicOdd <<<blocks, 1024 >>>(this->spins_d, this->
    demons_d, this->L1, this->L2);

cudaDeviceSynchronize();

random_offset = this->random_generator->getRandomInteger();
shiftDemonsBlockWide2D << <blocks, 1024 >> > (this->demons_d,
    random_offset, this->L1, this->L2);

random_offset = this->random_generator->getRandomInteger();
shiftDemonsGridWide2D << <blocks_red, 1024 >> > (this->demons_d,
    random_offset, this->L1, this->L2);

cudaDeviceSynchronize();
```

Programmcode 5.3: Entnommen aus Abschnitt 8.2.2.8

gegeben. Zunächst werden durch `metropolis2DPeriodicEven` und `metropolis2DPeriodicOdd` die lokalen Updates über die Energieaustausche der Spin-Demon-Paare ausgeführt, entsprechend ..._{3D}... für ein dreidimensionales Gitter. Hierbei sollte durch die Bezeichnung

`metropolis...` nicht fälschlicherweise angenommen werden, dass es sich um den Metropolis-Algorithmus handelt. Die Bezeichnung ist nur gewählt worden, da auch hier lokale Updates von einzelnen Spins ausgeführt werden. Die Routinen updaten hierbei alle 32 Spinkonfigurationen.

Anschließend werden durch die restlichen Routinen die entsprechenden neuen Zuordnungen der *demons* an Gitterpunkten ausgeführt.

Betrachten wir uns zunächst die lokalen Updates der Spinzustände. Aufgrund der Tatsache, dass die einzelnen Bits eines Multispins unabhängig voneinander sind, können weitgehend alle Manipulierungen der einzelnen Bits der Multispins über bitweise Operationen ausgeführt werden und für das Verständnis ist das Verhalten des *i*-ten Bits ausreichend.

Vergleichen wir den Metropolis-Algorithmus in Abschnitt 3.2.1 mit dem mikrokanonischen Update in Abschnitt 3.2.2.1, so erkennen wir, dass beide Verfahren die Energiedifferenz $H_S(\sigma') - H_S(\sigma)$ verwenden, die sich durch die Änderung des lokalen Spinzustandes ergibt. Somit ist es offensichtlich, dass wir, analog zum Metropolis-Algorithmus, auch in diesem Fall die lokalen Updates einmal für gerade und für ungerade Gitterpunkte ausführen, damit keine Abhängigkeiten der lokalen Manipulationen der Spinzustände zueinander entstehen. Dies erklärt die Existenz der beiden *kernel*, `metropolis2DPeriodicEven` und `metropolis2DPeriodicOdd`.

Für die Ausführung dieser beiden *kernels* werden *thread blocks* mit 1024 *threads* gewählt, wobei jeder *thread* die Ausführung des lokalen Updates für einen Multispins an einem geraden, bzw. ungeraden, Gitterpunkt übernimmt. Ferner wird jeder Gitterblock durch ein *thread block* bearbeitet.

Zu Beginn der Routinen berechnet jeder *thread* die Koordinaten des ihm zugeordneten Multispins. Hierzu wird die Funktion `indexToCoordinates2DEven(threadIdx.x)`, bzw. `indexToCoordinates2DOdd(threadIdx.x)`, verwendet, die entweder, dem Namen der Funktion zu entnehmen, den *thread*-Index auf ein geraden oder ungeraden Gitterpunkt des Gitterblockes abbildet. Der Vorgang ist in Abbildung 5.3.2 veranschaulicht. Es werden beim Blockursprung beginnend, die geraden, bzw. ungeraden, Gitterpunkte über den Wert von `threadIdx.x` in positiver *x*-Richtung durchnummerniert, bis der äußere Rand des Gitterblocks erreicht ist und anschließend bei der nächst höheren *y*-Koordinate und *x* = 0 angefangen wird weiter in positiver *x*-Richtung zu nummerieren.

Am Anfang der Ausführung eines *threads* lädt je nach *kernel* jeder *thread* dem ihn zugeordneten Multispin eines geraden oder ungeraden Gitterpunktes. Um jedoch das mikrokanonische lokale Update der Multispins auszuführen, müssen zusätzlich die Multispins der nächst benachbarten Gitterpunkte geladen werden. Dieser Vorgang geschieht mit Hilfe des *Shared Memory*. Zunächst laden alle *threads* eines *thread block*s die ihnen zugeordneten Multispins in den *Shared Memory* und anschließend werden die restlichen Multispins an den anderen Gitterpunkte, die ungerade oder gerade sind, in den *Shared Memory* geladen. Nach diesem Ladenvorgang liegt der gesamte *thread block* im *Shared Memory*. Zusätzlich müssen unter Beachtung der periodischen Randbedingungen die nächste benachbarten Gitterpunkte, die nicht im Gitterblock liegen, in den *Shared Memory* geladen werden. Entsprechend, werden für jeden *thread*, die *demons* des zugeordneten Multispins, die upgedatet werden sollen, aus dem globalen in den lokalen Speicher geladen.

Hieran erkennen wir, weshalb der Gitteraufbau im Speicher und die Restriktionen für

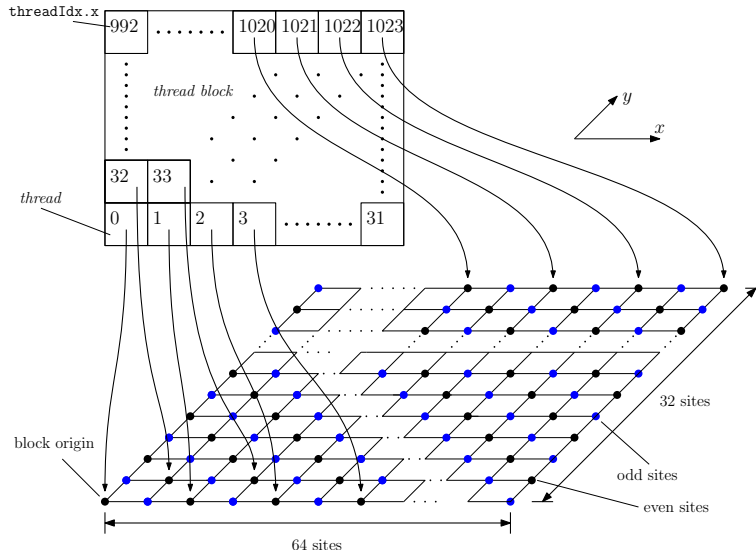


Abbildung 5.3.2: Darstellung der Zuordnung von *threads* eines *thread blocks* auf die einzelnen Gitterpunkte eines Gitterblocks für die Funktion `indexToCoordinates2DEven(threadIdx.x)`

L_1 und L_2 derartige gewählt sind. Es wird damit die *coalesced access* Eigenschaft für das Laden der Daten aus dem globalen Speicher garantiert, weil ein *warp* lädt 128 bytes Multispins an geraden, bzw. ungeraden, Gitterpunkten in den *Shared Memory*, wobei die zu ladenden Daten nebeneinander im Speicher lokalisiert sind. Für die *demons* gilt dies analog.

Nachdem dies geschehen ist, kann ein *thread* jeweils dem ihn zugeordneten Multispin und *demon* und die nächsten Nachbarn in seinen lokalen Speicher laden und anschließend den Energieaustausch zwischen den Spin-Demon-Paaren ausführen. Nachdem der zugeordnete Multispin entsprechend manipuliert worden ist, wird der neue Multispin und *demon* zurück in den globalen Speicher geschrieben.

Der eigentliche Energieaustausch geschieht innerhalb eines *threads* über folgenden Programmcode:

```
/*
compute if spin change is possible.
*/
multint7_t sum_energy;
multint7_t energy_change;
multint7_t demon_energy;

sum_energy = localSpinEnergy2D(own_multispin, neighbour_multispins);
demon_energy = demonEnergy7(own_demons);

energy_change = sum_energy + sum_energy;
//demon energy after spin flip
demon_energy = demon_energy + energy_change;
```

```

unsigned int flip_decision;

// if demon_energy is negative, no flip is allowed, bit is set to 0;
flip_decision = ~(demon_energy.sign);

//if demon energy is bigger than 16+8+4 = 28 (=0011100) no flip allowed.
flip_decision = flip_decision & ~(demon_energy.bit[5]);
flip_decision = flip_decision & (~(demon_energy.bit[4] & demon_energy.
    bit[3] & demon_energy.bit[2]) | (~(demon_energy.bit[1]) & ~(
    demon_energy.bit[0])));

//flip spins
own_multispin = own_multispin ^ flip_decision;

//cast new demon_energy to demons3_t if spin changed.
own_demons.ldemons = ((own_demons.ldemons ^ demon_energy.bit[2]) &
    flip_decision) ^ own_demons.ldemons;
own_demons.mdemons = ((own_demons.mdemons ^ demon_energy.bit[3]) &
    flip_decision) ^ own_demons.mdemons;
own_demons.hdemons = ((own_demons.hdemons ^ demon_energy.bit[4]) &
    flip_decision) ^ own_demons.hdemons;

```

Programmcode 5.4: Entnommen aus Abschnitt 8.2.2.6

Der Code ist weitgehend selbsterklärend. Es ist erkennbar, wie durch die bitweisen Operationen alle 32 Spinzustände gleichzeitig manipuliert werden. Es wird zu keinem Zeitpunkt in diesem Teil des Codes eine sequentielle Bearbeitung der Spinzustände ausgeführt. Um dies zu garantieren ist der Datentyp `multint7_t`, bzw. `multint17_t`, konstruiert worden. Eine Variable dieses Datentypes besteht aus sieben, bzw. 17, Speicherstellen des Datentyps `unsigned int`, wobei die i -ten Bits jeder Speicherstelle zusammen die i -te ganzzahlige, vorzeichenbehaftete, Zahl mit sieben, bzw. 17, Bits repräsentieren. Zwei solcher Variablen des Datentyps können miteinander addiert werden, wobei dies durch bitweise Operationen geschieht und die i -te Zahl des ersten mit der i -ten Zahl des zweiten Summanden addiert wird.

Nachdem die lokalen Updates ausgeführt sind, müssen die *demons* an neue Positionen gebracht werden. Dies geschieht durch die beiden *kernels* mit der Bezeichnung `shiftDemonsBlockWide2D` und `shiftDemonsGridWide2D`. Ferner wird eine Zufallszahl, die durch den Marsaglia-Zaman-Generator generiert wird, je *kernel* gebraucht. Bei der Verschiebung der *demons* werden stets die drei Speicherstellen `hdemons`, `mdemons` und `ldemons` gemeinsam einem neuen Gitterpunkt zugeordnet.

Durch den ersten *kernel* werden die Speicherstellen der *demons* eines Gitterblockes in ein Array im *Shared Memory* geladen und anschließend um einen zufälligen Wert verschoben, wobei Anfang und Ende des Arrays als miteinander verbunden betrachtet werden können.

Mit dem zweiten *kernel* werden die *demons* eines Gitterblockes mit den *demons* eines anderen Blocks vertauscht. Dies ist in Abbildung 5.3.3 exemplarisch für ein zweidimensionales Gitter dargestellt. Es werden zunächst die *demons* der Gitterblöcke der einen

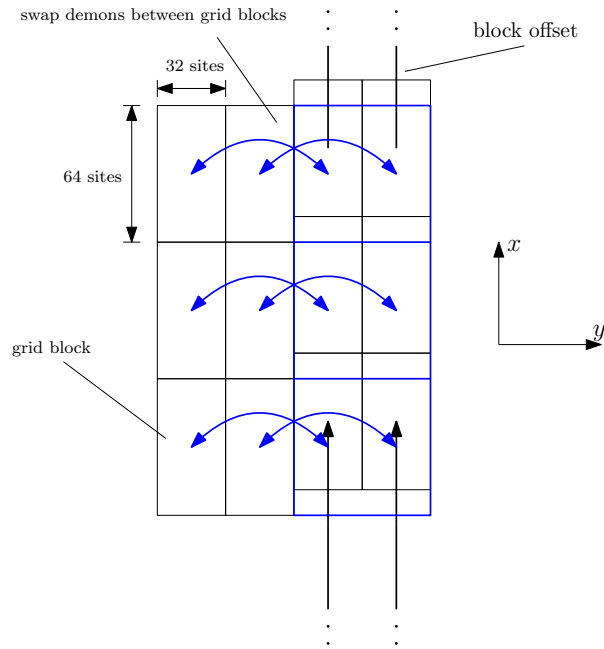


Abbildung 5.3.3: Darstellung der Verschiebung von *demons* über das Gitter hinweg für ein zweidimensionales Gitter. Blau gefärbte Linien stellen den Zustand nach der Verschiebung um einen zufälligen Offset in *x*-Richtung dar.

Hälften des Gitters um einen zufälligen Offset in *x*-Richtung verschoben. Nachdem dies geschehen ist, werden die *demons* der Gitterblöcke mit der selben *y* Koordinate zwischen den Hälften vertauscht. Für drei Dimensionen wird zusätzlich noch eine Verschiebung mit zufälligen Offset in *z*-Richtung ausgeführt.

5.3.3.2 Kanonisches Update der Demons

Zunächst besprechen wir das, in der Methode `gitter.updateDemonLayersNew()` implementierte, naive Update-Verfahren. Die Funktion ruft hierbei den *kernel* mit der Bezeichnung `updateDemon2D` auf, indem ein *grid* erstellt wird, wo jedem Gitterblock ein *thread block* mit 1024 *threads* zugeordnet ist. Hierbei lädt jeder *thread* die *demons* an den durch `indexToCoordinates2DEven(threadIdx.x)` und `indexToCoordinates2DOdd(threadIdx.x)` sich ergebenden Gitterpunkten in seine lokalen Speicher. Anschließend wird mit der Wahrscheinlichkeit $P^{(1)}(E_i)$ in Gleichung (3.2.17) jeweils für jeden Bit einer Speicherstelle der beiden *demons* entschieden, ob der Bit auf 1 gesetzt werden soll oder mit der Gegenwahrscheinlichkeit auf 0.

Hierzu werden Zufallszahlen benötigt, wofür der selbe Zufallsgenerator in der Funktion `simpleRandomInteger0` mit der selben Initialisierungsroutine `initializeRandoms`, wie beim Metropolis-Algorithmus verwendet wird.

Das Verfahren, dass mit der Binomialverteilung arbeitet, wird anders implementiert und bedarf der Nutzung der CPU des *host*-Systems. Zunächst müssen wir die neue An-

zahl n' an besetzten Energiezuständen der *demons* gemäß der Verteilung $B(n', E_i)$ in Gleichung (3.2.18) mit $N = 32 \cdot L_1 \cdot L_2$ erzeugen und dies sollte möglichst effizient für große N geschehen. Um dieses Ziel zu erreichen, wird das Verfahren zu Erzeugung von Zufallswerten gemäß der Binomialverteilung $B(n', E_i)$ nach [22, S. 242] implementiert. Dieses Verfahren besitzt eine Komplexität von $\mathcal{O}(\ln(N))$ und ist für dieses Programm auf der CPU implementiert.

Für das Updaten des Energieniveaus E_i der *demons* muss zunächst die aktuelle Anzahl n an besetzten Zuständen des Niveaus bestimmt werden.

Nach der Berechnung von n wird über die Verteilung $B(n', E_i)$ die neue Anzahl an besetzten *demons* bestimmt. Nun werden entsprechend entweder $|n - n'|$ zufällig besetzte oder nicht besetzte *demon*-Zustände entfernt oder besetzt. Hierzu wird ein Array des Datentyps `unsigned int` mit der Länge $L_1 \cdot L_2$ verwendet, wobei das Array im *host*-Speicher liegt und die Bezeichnung `random_pattern` trägt. Das entsprechende Array auf dem *device* wird mit der Bezeichnung `random_pattern_d` geführt.

Folgende Schritte werden zum Updaten des Energieniveaus E_i der *demons* ausgeführt:

1. Es wird die Anzahl an auszuführenden Änderungen $m = |n - n'|$ bestimmt. Für die Speicherstellen des Energieniveaus E_i müssen entweder m zufällige Bits, die den Wert 1 besitzen, entfernt oder m zufällige Bits, die den Wert 0 haben, auf den Wert 1 gesetzt werden. Dies wird über das Vorzeichen von $n - n'$ bestimmt.
2. Das Array `random_pattern` wird mit 0 initialisiert.
3. In diesem Schritt werden über den Marsaglia-Zaman-Generator m zufällige Bits innerhalb des Arrays `random_pattern` bestimmt, deren Wert auf 1 gesetzt wird.
4. Anschließend wird das Array `random_pattern` vom *host* in das Array `random_pattern_d` im globalen Speicher des *device* kopiert.
5. Es wird der *kernel* mit der Bezeichnung `applyPatternSet2D` für das Besetzen oder `applyPatternRemove2D` für das Entfernen von *demon*-Zuständen aufgerufen. Für den dreidimensionalen Fall werden die *kernels* mit `...3D..` verwendet. Beim Aufruf wird ein *grid* mit 1024 *threads* pro *thread block* erzeugt. Jedem *thread block* ist hierbei ein Gitterblock und jedem Gitterpunkt ist eine Speicherstelle aus `random_pattern_d` zugeordnet. Die einzelnen *threads* eines Gitterblocks laden jeweils die *demons* am geraden und ungeraden zugeordneten Gitterpunkt und den Wert aus dem Array `random_pattern_d` in den lokalen Speicher. Das i -te Bit der Speicherstelle für das Energieniveau E_i der *demons* wird je nach *kernel* auf $b = 0$ oder $b = 1$ gesetzt, falls das Bit den Gegenwert $\neg b$ besitzt und die Speicherstelle aus dem Array `random_pattern_d` am i -ten Bit entsprechend auf 1 gesetzt ist. Andernfalls findet keine Änderung des i -ten Bits statt.
6. Es wird die Anzahl m' an ausgeführten Änderungen bestimmt.
7. Der Wert m wird auf $m = m - m'$ gesetzt.

8. Falls $m > 0$ sein sollte wird das Verfahren ab dem 2. Schritt ausgeführt, ansonsten terminiert das Vorgang.

Wir erkennen, dass die gesetzten Bits in `random_pattern` zufällige *demon*-Bits vorschlagen, die falls möglich entweder gesetzt oder entfernt werden sollen. Dieses Grundverfahren zeigt jedoch gewisse Schwächen, die das Verfahren verlangsamen. Der Fall der hierbei auftreten kann ist, dass die Anzahl an gesetzten, bzw. nicht gesetzten Bits für das Entfernen, bzw. Setzen von Bits viel kleiner als die Gesamtanzahl an Bits ist, womit eine sehr kleine Akzeptanzwahrscheinlichkeit für die Vorschläge in `random_pattern` entsteht, was zu einem häufigeren Ausführen der Schritte 2 bis 8 führt. Dieser Umstand wird in der Implementierung verbessert. Wir betrachten und dies für den Fall, dass gesetzte Bits entfernt werden sollen. Im anderen Fall gelten die Argumentationen entsprechend.

Ist für das Energieniveau E_i das Verhältnis $p = \frac{N_b}{N}$ zwischen gesetzten Bits N_b und der Gesamtanzahl N an *demon*-Bits, größer oder gleich 0.5, so wird das Verfahren wie oben ausgeführt. In dem Fall, dass das Verhältnis p geringer als 0.5 sein sollte, werden im 2. Schritt nicht m Bits des `random_pattern` gesetzt, sondern $\left\lfloor \frac{m}{p} \right\rfloor$ Bits, womit die Wahrscheinlichkeit, dass mehr Vorschläge im 5. Schritt akzeptiert werden erhöht wird. Der Wert für p bleibt jedoch in jeder Ausführung von Schritt 2 bis 8 für ein Update der selbe und entspricht dem Wert, der sich beim ersten Durchlauf ergibt.

Somit können zwar die Anzahl an Durchläufen der Schritte 2 bis 8 verringert werden, jedoch kann es sein, dass nach Beendigung des Verfahrens zu viele Bits entfernt wurden und $m < 0$ gilt. Dies wird korrigiert, indem entsprechend mit dem Grundverfahren $-m$ Bits hinzugefügt werden. Für dieses Hinzufügen ist das Verhältnis größer als 0.5. Es sei noch angemerkt, dass der Faktor $\frac{1}{p}$ willkürlich gewählt ist und es auch möglich ist andere Faktoren zu wählen, wobei für diese gelten sollte, dass kleiner p einen größeren Faktor bewirken.

5.3.4 Berechnung der totalen Magnetisierung

Die totale Magnetisierung wird aus den Spinkonfigurationen mit selber Methode, wie für den Metropolis-Algorithmus, bestimmt. Das Aufrufschema der einzelnen Funktionen und *kernel* ist identisch. Die entsprechenden *kernel* sind nur anders programmiert, jedoch berechnen in beiden Implementierungen die *kernel* die Magnetisierungen zunächst für die einzelnen Gitterblöcke aus und auf dem *host*-System werden die einzelnen totalen Magnetisierungen aufsummiert. Der *kernel* mit der Bezeichnung `totalMagnetizationBlockWide2D` summiert dabei analog, wie beim Metropolis-Algorithmus, die einzelnen totalen Magnetisierungen innerhalb jedes *warps* und anschließend über die Werte der einzelnen *warps* auf.

Kapitel 6

Analyse und Vergleich der Implementierungen

In diesem Kapitel werden die einzelnen Implementierungen bezogen auf ihre Laufzeit verglichen und anschließend die Funktionalität der Programme durch Simulationen eines zweidimensionalen Gitters verifiziert. Hierbei bezeichnet die Gitterausdehnung L die Ausdehnung eines Gitters in beide Richtungen.

6.1 Laufzeitanalyse der Implementierungen

In diesem Abschnitt soll die Laufzeit der einzelnen Algorithmen, bzw. Implementierungen, zueinander verglichen werden. Hierzu werden die einzelnen Zeiten für die Berechnung von Spinkonfigurationen bei unterschiedlichen Gittergrößen gemessen. Konkret werden die Update-Verfahren für die Erzeugung von N Spinkonfigurationen bei gegebenen Anfangswerten jeweils ausgeführt und dabei die Zeit t zur Ausführung der Updates ermittelt. Der Durchsatz an Spinkonfigurationen ergibt sich aus dem Verhältnis $\frac{N}{t}$. Beim Demon-Algorithmus muss beachtet werden, dass dort bei jeder Ausführung eines vollständigen Updates der Multispins 32 Spinkonfigurationen erzeugt werden. In den Programmen werden hierbei keine Zwischenberechnungen ausgeführt, sondern nur der Anzahl entsprechend die notwendigen Update-Methoden für ein Objekt der Klasse `Lattice` aufgerufen.

Ein derartiger Vergleich von Algorithmen zueinander ist stets kritisch zu betrachten und mit Vorsicht zu genießen. Dies liegt daran, dass die ermittelten Zeiten vom verwendeten System abhängig sind. Hierbei beeinflussen fast alle Komponenten des Systems und alle auf dem System parallel laufenden Prozesse, das Betriebssystem mit eingeschlossen, die Werte für die Zeiten. Auf einen anderen System kann die selbe Implementierung mit den selben Anfangswerten unterschiedliche Zeiten liefern, womit die Reproduzierbarkeit der Laufzeitanalysen eingeschränkt ist. Zusätzlich hängen die bestimmten Zeiten von der Implementierung selber und von der Umsetzung des Compilers ab. Es besteht keine Garantie, dass die hier getroffenen Implementierungen die bestmögliche Umsetzung der Algorithmen sind.

Nichtsdestotrotz können wir eine qualitativen Vergleich, bezogen auf die Laufzeit,

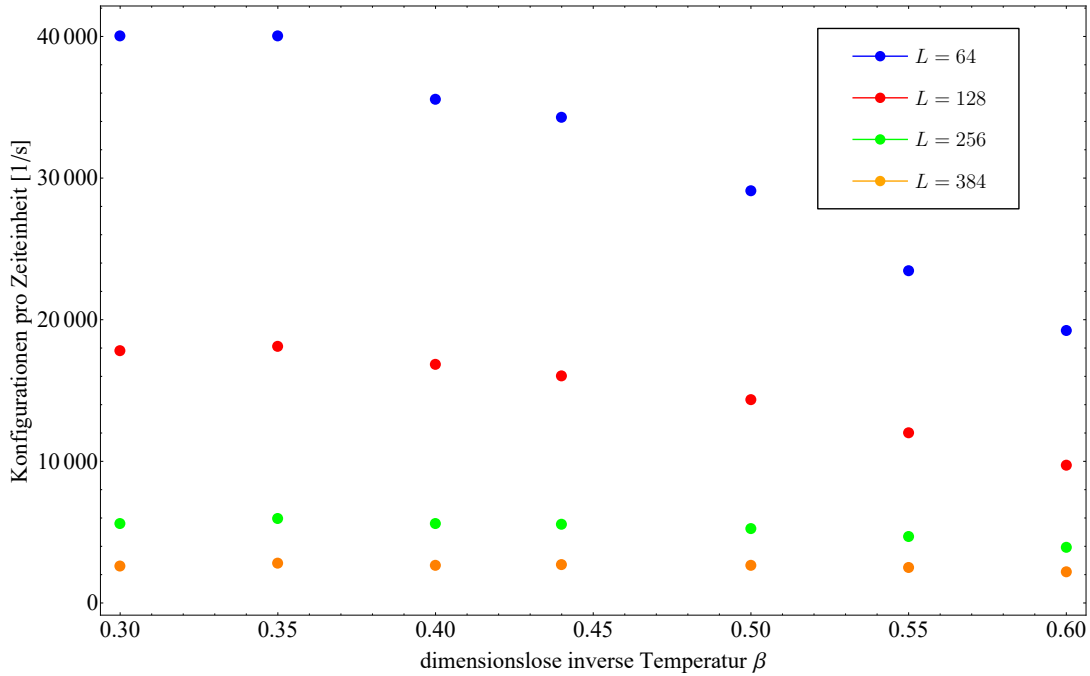


Abbildung 6.1.1: Es sind die berechneten Konfigurationen pro Zeiteinheit in Abhängigkeit der dimensionslosen inversen Temperatur β für unterschiedliche Gitterausdehnungen L für den Demon-Algorithmus angegeben. Hierbei wird der kanonische Update der *demons* mit Hilfe der Binomialverteilung verwendet.

zwischen den Implementierungen ausführen. Die Ausführung der Programme geschieht hierbei auf der GPU mit der Bezeichnung *GTX 980 Ti* vom Hersteller *Nvidia* und der CPU mit der Bezeichnung *Intel Core i7-5820K*. Ferner werden die Simulationen auf einem zweidimensionalen Gitter ausgeführt.

Zunächst vergleichen wir die beiden Implementierungen des Demon-Algorithmus mit den unterschiedlichen Update-Verfahren für die *demons*. Die Resultate des kanonischen Updates der *demons* mit Hilfe der Binomialverteilung ist in Abbildung 6.1.1 und mit Hilfe des naiven Verfahrens in Abbildung 6.1.2 dargestellt. Der erste Unterschied zwischen beiden Implementierungen ist, dass die Anzahl an Konfigurationen pro Zeiteinheit für das naive Verfahren unabhängig von der dimensionslosen inversen Temperatur β ist, während sie für das Verfahren mit Hilfe der Binomialverteilung offensichtlich temperaturabhängig ist und für steigende Werte von β die Anzahl an Konfigurationen anscheinend abnimmt. Das naive Update-Verfahren wiederum ist unabhängig von der Temperatur, da stets die selbe Anzahl an Instruktionen ausgeführt wird.

Ferner können wir erkennen, dass das naive Verfahren einen wesentlich höheren Durchsatz an Konfigurationen pro Zeiteinheit besitzt und insbesondere für größere Gitter der Durchsatz für das Verfahren mit Hilfe der Binomialverteilung in die Größenordnung von 1000 gelangt. Diese rapide Abnahme des Durchsatz ist mit hoher Wahrscheinlichkeit mit der Implementierung des Verfahrens begründet. Das Update-Verfahren mit Hilfe der Bi-

nomialverteilung benutzt sowohl die CPU als auch die GPU für die Berechnungen und überträgt Daten zwischen *host* und *device* über die Funktion `cudaMemcpy(...)`. Hierbei werden für das Update eines Energieniveaus der *demons* m Arrays mit der Größe des Gitters vom *host* zum *device* übertragen. Zwar dauert jede einzelnen Übertragung nicht sonderlich lange, jedoch führt der Faktor m zu einer entsprechenden Aufsummierung der Zeiten. Es muss hierzu berücksichtigt werden, dass der Datentransfer zwischen *host* und *device* die langsamste Art an Speichertransaktionen für die GPU-Programmierung darstellt. Das Resultat steht im Einklang mit der Tatsache, dass für größere β bei gleichem Gitter der Durchsatz abnimmt, da je geringer die Temperatur ist umso weniger sind die einzelnen Energieniveaus der *demons* besetzt, womit die Akzeptanzwahrscheinlichkeit für die Vorschläge der Änderung der *demons* abnimmt und somit m im Schnitt größere wird.

Es bleibt die Frage offen, weshalb die Implementierung des kanonischen Update-Verfahrens mit Hilfe der Binomialverteilung nicht vollständig auf der GPU ausgeführt wird, um die Transaktionen zwischen *host* und *device* zu minimieren. Das Problem hierbei ist, dass die Manipulation eines *demon* in diesem Verfahren abhängig von der Besetzung des *demon* ist und insbesondere zufällige *demons* mit einer bestimmten Besetzung ausgesucht werden müssen, die wiederum statistisch verteilt sind. Diese Tatsache führt zur der Problematik, dass die Umsetzung auf die GPU erschwert wird, weil die einzelnen *threads* müssten zufällig auf entsprechende *demons*-Zustände zugreifen, wobei der Zugriff unter Umständen außerhalb des zugeordneten Gitterblockes geschehen müsste. Dies kann zu einer ineffizienten Benutzung der *threads* aufgrund von unterschiedlichen Programmabläufen im Rahmen der *warp divergence* führen. Zusammengefasst ist das Problem, dass auf bestimmte an zufälligen Stellen liegenden Daten zugegriffen werden muss und von diesen wiederum zufällig entschieden werden muss welche manipuliert werden. Aufgrund der Konstruktion einer GPU, ist diese vor allem auf Berechnungen spezialisiert, wo selbe Instruktionen parallel auf unterschiedliche Daten angewendet werden. Ein ähnliches Problem ergibt sich bei dem Versuch Cluster-Algorithmen für das Ising-Modell auf die GPU umzusetzen. Bei diesem Typ an Algorithmen werden zunächst zwischen zwei benachbarten Gitterpunkten entweder Kanten gesetzt oder entfernt und jene Gitterpunkte, die jeweils über einen Pfad von Kanten miteinander verbunden sind, zu einem Cluster zusammengefasst. Anschließend werden für die Spins eines Clusters entschieden, ob diese geflippt werden sollen oder nicht. Für genauere Betrachtungen sei beispielsweise auf [5] verwiesen. Im Rahmen dieser Arbeit bestand der Versuch auch einen Cluster-Algorithmus auf der GPU zu programmieren. Jedoch hat sich gezeigt, dass dies mit ähnlichen Schwierigkeiten verbunden ist, wie oben. Das Setzen der Kanten lässt sich vergleichsweise effizient implementieren, jedoch besteht das Problem in der Identifizierung der Cluster, denn die Kanten sind zufällig verteilt und insbesondere müssen Gitterpunkte entlang von Pfaden, bestehend aus mehreren Kanten, dem selben Cluster zugeordnet werden. Es bestand der Versuch mit Hilfe der Verfahren zur Identifikation von Clustern auf der GPU in [33] eine Variante der Cluster-Algorithmen zu implementieren. Die Versuche scheiterten jedoch an der vergleichsweise langsam Zeit für die Identifizierung der Cluster, die je nach Besetzung des Gitters mehrere Sekunden betragen konnte. Somit ist die Idee eines Cluster-Algorithmus für die GPU verworfen worden.

Insgesamt können wir erkennen, dass das kanonische Update der *demons* gemäß [20]

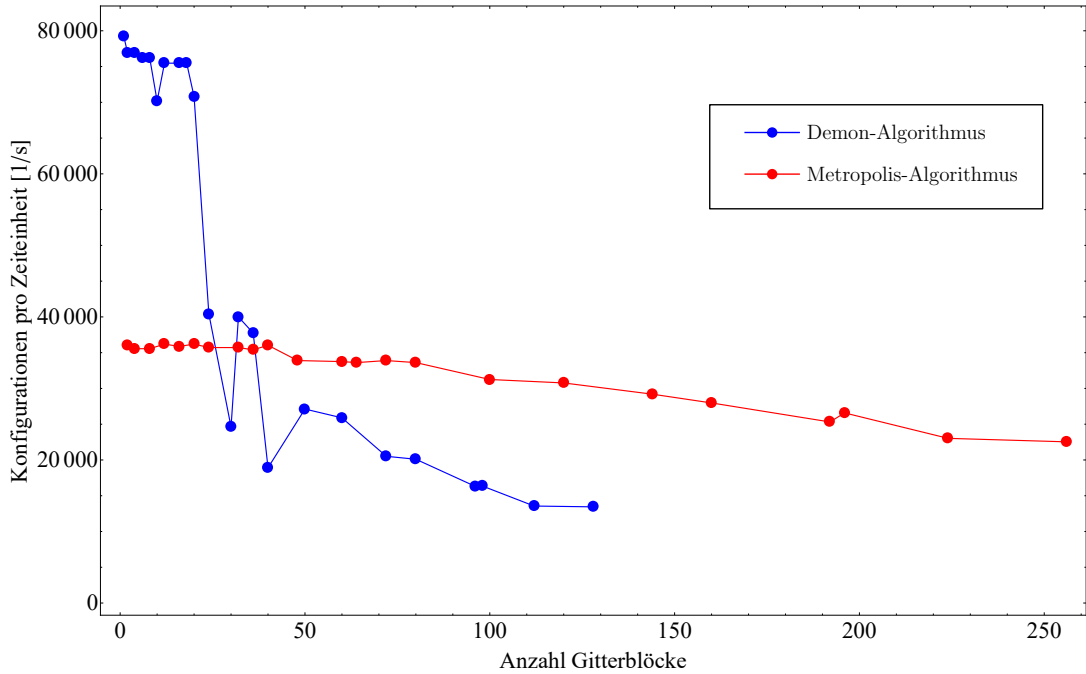
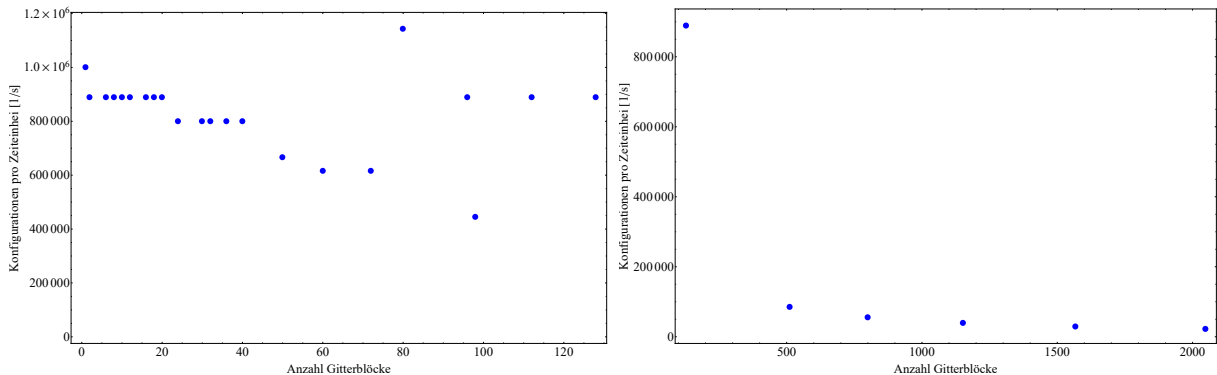


Abbildung 6.1.2: Berechnete Konfigurationen pro Zeiteinheit in Abhängigkeit der Anzahl an Gitterblöcken. Die Größe eines Gitterblocks beträgt für den Demon-Algorithmus 64×32 und für den Metropolis-Algorithmus 32×32 Gitterpunkte pro Block.

und [21] nicht ohne weiteres auf die GPU umgesetzt werden kann, sondern das naive Verfahren sich als, unter Umständen, schneller für die Gesamtsimulation in der Anzahl an Konfigurationen pro Zeiteinheit erweist. Abschließend vergleichen wir den Metropolis-Algorithmus mit dem Demon-Algorithmus, wobei das naive kanonischen Update der *demons* verwendet wird. Die Resultate des Laufzeitvergleiches sind in Abbildung 6.1.2 angegeben. Hierbei werden die Anzahl an Spinkonfigurationen pro Zeiteinheit gegen die Anzahl an Gitterblöcken, die jeweils durch ein *thread block* bearbeitet werden, aufgetragen. Beim Demon-Algorithmus beträgt die Größe der Gitterblöcke 64×32 , während sie für den Metropolis-Algorithmus 32×32 beträgt. Wir können erkennen, dass für kleine Gitter die Implementierung des Demon-Algorithmus durchaus mehr als doppelt so viele Spinkonfigurationen pro Zeiteinheit liefert, jedoch für größer werdende Anzahl an Gitterblöcken ab ca. 30 Blöcken der Durchsatz an Spinkonfigurationen rapide abfällt und den Metropolis-Algorithmus in diesen Bereichen schneller ist. Vor allem ist zu erkennen, dass der Durchsatz des Metropolis-Algorithmus weniger stark bei steigender Anzahl an Gitterblöcken abnimmt. Die Ursache für diese Verlangsamung des Demon-Algorithmus, kann aller Wahrscheinlichkeit nach auf das naive kanonische Update-Verfahren zurück geführt werden. Dies lässt sich mit den Resultaten in Abbildung 6.1.3 begründen, wo die Ergebnisse des Durchsatz an Spinkonfigurationen für den Demon-Algorithmus ohne kanonischen Update dargestellt sind. In der Abbildung ist zu erkennen, dass der reine mikrokanonische Update um mehr als eine Größenordnung höheren Durchsatz besitzt und erst ab circa 500



Gitterblöcken vom Durchsatz her in die Größenordnung des Metropolis-Algorithmus und des Demon-Algorithmus in Abbildung 6.1.2 gelangt.

Die Verringerung des Durchsatz vom Demon-Algorithmus mit kanonischen Update ist mit hoher Wahrscheinlichkeit auf die Tatsache, dass im entsprechenden *kernel* der aufgerufen wird die einzelnen Bits eines *demon* nacheinander und nicht wie beim mikrokanonischen Update durch bitweise Operationen gleichzeitig manipuliert werden, zurückzuführen.

Es sollte jedoch beachtet werden, dass auch andere Faktoren eine Rolle spielen. Beispielsweise bestehen die *thread blocks* der Implementierung des Metropolis-Algorithmus aus jeweils 64 *threads*, während die der Implementierung des Demon-Algorithmus aus 1024 *threads* bestehen. Ferner brauchen die einzelnen *threads* der beiden Implementierungen unterschiedlich viele Ressourcen. Aus diesen Eigenschaften ergibt sich, wie viele *warps* gleichzeitig in einem SM abgearbeitet werden können.

In der Zusammenfassung dieser Analysen zeigt sich, dass der Metropolis-Algorithmus unter Umständen eine bessere Stabilität bezogen auf den Durchsatz an Spinkonfigurationen bei steigender Anzahl an Gitterblöcken besitzt und somit unter Umständen für kanonische Simulationen verwendet werden sollte. Jedoch erkennen wir, dass für die mikrokanonische Simulation, der Demon-Algorithmus besonders schnell zu sein scheint und unter Umständen für solche Betrachtungen verwendet werden kann. Insbesondere könnte die mikrokanonische Simulation benutzt werden, um für ausreichend große Gitterausdehnungen L den thermodynamischen Limes zu nähern und somit auch das kanonische Ensemble, aufgrund der Äquivalenz der Ensemble für große Systeme zu erhalten, [2]. Dies erfordert jedoch tiefgehende Analysen, insbesondere muss festgestellt werden ab welchem L die Näherung gelten sollte und in wie weit das hier implementierte mikrokanonische Update-Verfahren für eine reine mikrokanonische Simulation verhält.

6.2 Simulation des zweidimensionalen Gitters

Im vorherigen Abschnitt haben wir die Performance der Implementierungen miteinander verglichen. In diesem Abschnitt sollen numerische Ergebnisse von Simulationen für ein zweidimensionales Gitter betrachtet und mit den theoretischen Erkenntnissen aus Kapitel 2 verglichen werden, um auf der einen Seite eine praktische Ausführung von Analysen in Rahmen des Ising-Modells mit verbunden Problematiken darzustellen und zum Anderen gleichzeitig die Funktionalität der implementierten Verfahren zu verifizieren.

Hierbei werden die Analysen für die Implementierung des Metropolis-Algorithmus und des Demon-Algorithmus ausgeführt. Aufgrund der Tatsache, dass das naive kanonische Update-Verfahren sich für den Demon-Algorithmus als schneller erwiesen hat im Vergleich zu der Implementierung mit der Binomialverteilung, wird das naive Update-Verfahren für die folgenden Analysen gewählt.

6.2.1 Qualitative Untersuchung der Implementierungen

Zunächst betrachten wir die Simulationen der mittleren Magnetisierung $\langle |m| \rangle_{h=0}$, der Suszeptibilität χ_L und der Binderkumulante U . Hierbei sei der Fokus zunächst auf die qualitativen Verhalten der Größen gelegt, anders ausgedrückt es wird zunächst keine Fehlerbetrachtung und keine Simulationen mit hoher Anzahl an Messwerten ausgeführt.

Es sind für unterschiedliche Temperaturen $\frac{kT}{J_c}$ jeweils die einzelnen Größen bestimmt. Hierbei ergibt sich an den jeweiligen Messpunkten der Wert der entsprechenden Größe über den arithmetischen Mittelwert von den aus den Konfigurationen berechneten Werten. Für den Metropolis-Algorithmus werden für jeden Messpunkt insgesamt 32000 Messwerte bestimmt, wobei die ersten 2000 verworfen werden, während für den Demon-Algorithmus 96000 Messwerte für die Mittlung jeweils verwendet und die ersten 2000 Konfigurationen von Multispins verworfen werden. Die Simulationen sind hierbei auf der GPU mit der Bezeichnung *GTX 970* vom Hersteller *Nvidia* und unterschiedlichen Gittergrößen ausgeführt worden. Die Resultate sind in Abbildung 6.2.1 bis 6.2.4 dargestellt.

Zunächst seien die Resultate für die mittlere Magnetisierung $\langle |m| \rangle_{h=0}$ betrachtet. In Abbildung 6.2.1 erkennen wir das Verhalten der Magnetisierung für unterschiedlich Gittergrößen. Die eingezeichnete schwarz gefärbte Kurve stellt hierbei den theoretischen Verlauf im thermodynamischen Limes aus Gleichung (2.2.20) dar. Die Linien mit denen die einzelnen Messwerte miteinander verbunden sind haben keine Bedeutung und dienen nur der besseren Unterscheidung der Kurven zueinander.

Die einzelnen Kurven für beide Implementierungen zeigen hierbei das typische Verhalten für $\langle |m| \rangle_{h=0}$ bei endlicher Gittergröße. Der Verlauf der Kurven folgt qualitativ dem des thermodynamischen Limes, wobei am Phasenübergang bei endlichen Gittern ein glatter Übergang von $T > T_c$ nach $T < T_c$ stattfindet, während im thermodynamischen Limes die Magnetisierung erst nach dem Phasenübergang ungleich null wird. Ferner erkennen wir, dass für größer werdende Gitterausdehnungen L die Kurven sich dem thermodynamischen Limes nähern, was zu erwarten ist. Insbesondere erkennen wir dass die berechneten Verläufe bei gleicher Gitterausdehnung L für beide Implementierungen weitgehend identisch sind. Dies spricht für eine Funktionalität der Implementierungen, da beide auf

unterschiedliche Verfahren aufbauen.

Der Verlauf der Suszeptibilität χ_L für die einzelnen Implementierungen ist in Abbildung 6.2.2 dargestellt. Auch hier können wir das typische Verhalten für endliche Gitter erkennen. In der Nähe der kritischen Temperatur T_c nimmt die Suszeptibilität χ_L für die einzelnen Kurven ein Maximum an und für steigende Gitterausdehnungen L nimmt der Wert des Maximums zu. Auf Basis des Finite-Size-Scaling-Gesetzes in Gleichung (2.2.27) können wir in der Nähe des Phasenübergangs auf die Gesetzmäßigkeit

$$\frac{\chi_L}{L^{\frac{\gamma}{\nu}}} = g(tL^{\frac{1}{\nu}}) \quad (6.2.1)$$

schließen. Hieraus können wir folgern, dass, wenn wir $\frac{\chi_L}{L^{\frac{\gamma}{\nu}}}$ gegen $tL^{\frac{1}{\nu}}$ in einem Diagramm auftragen, einen Kurvenverlauf erhalten, der unabhängig vom Wert L ist. Anders ausgedrückt, müssen die einzelnen Werte, die sich aus den Simulationen der unterschiedlichen Gittergrößen ergeben, auf einer gemeinsamen Kurve liegen. Dieses Verhalten lässt sich in Abbildung 6.2.3, für die beiden Implementierungen, erkennen. Weiterhin ist es möglich zu erkennen, dass die Resultate für beide Implementierungen näherungsweise identisch sind, was in diesem Fall zusätzlich als Verifikation der Verfahren dient.

Die Resultate für die Binderkumulante U sind in Abbildung 6.2.4 dargestellt. In den Diagrammen ist zu erkennen, dass am Phasenübergang die Werte der Binderkumulante U der einzelnen Verläufe näherungsweise dem Wert U^* entsprechen, wobei jedoch relativ starke Schwankungen zu erkennen sind. Eine genauere Betrachtung der Binderkumulante folgt im nächsten Abschnitt.

Insgesamt reproduzieren die Implementierungen qualitativ das nicht triviale Verhalten des Ising-Modell für endliche zweidimensionale Gitter, was zu einer gewissen Sicherheit über die Funktionalität der Implementierungen führt.

Im folgenden Abschnitt werden zusätzliche quantitative Betrachtungen ausgeführt, um eine möglichst gute Verifikation der Implementierungen zu erhalten.

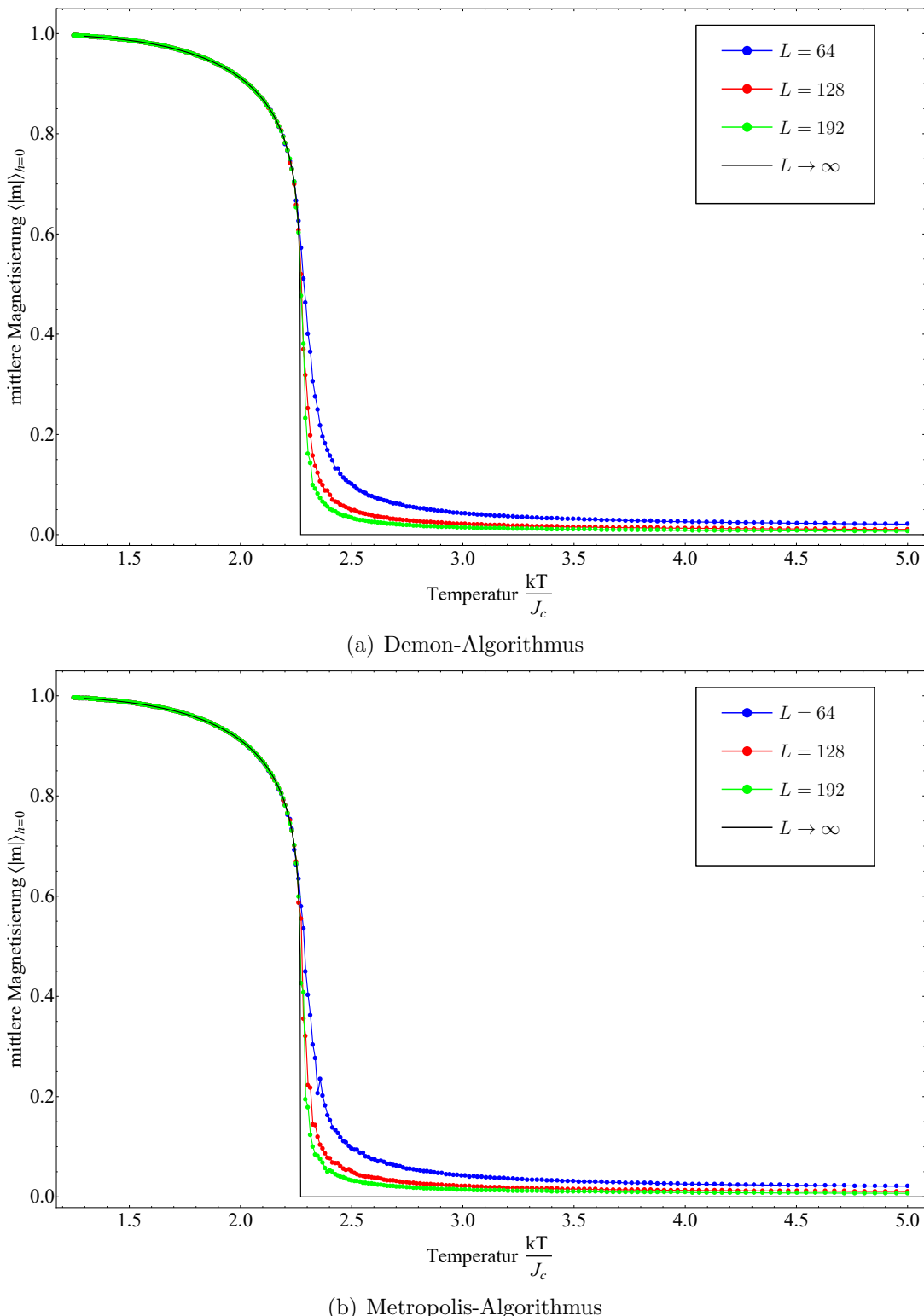


Abbildung 6.2.1: Mittlere Magnetisierung $\langle |m| \rangle_{h=0}$ in Abhängigkeit der Temperatur $\frac{kT}{J_c}$ für unterschiedliche zweidimensionale Gitterausdehnungen L , jeweils über die beiden Implementierungen bestimmt. In beiden Diagrammen ist jeweils der theoretische Verlauf aus Gleichung (2.2.20) dargestellt.

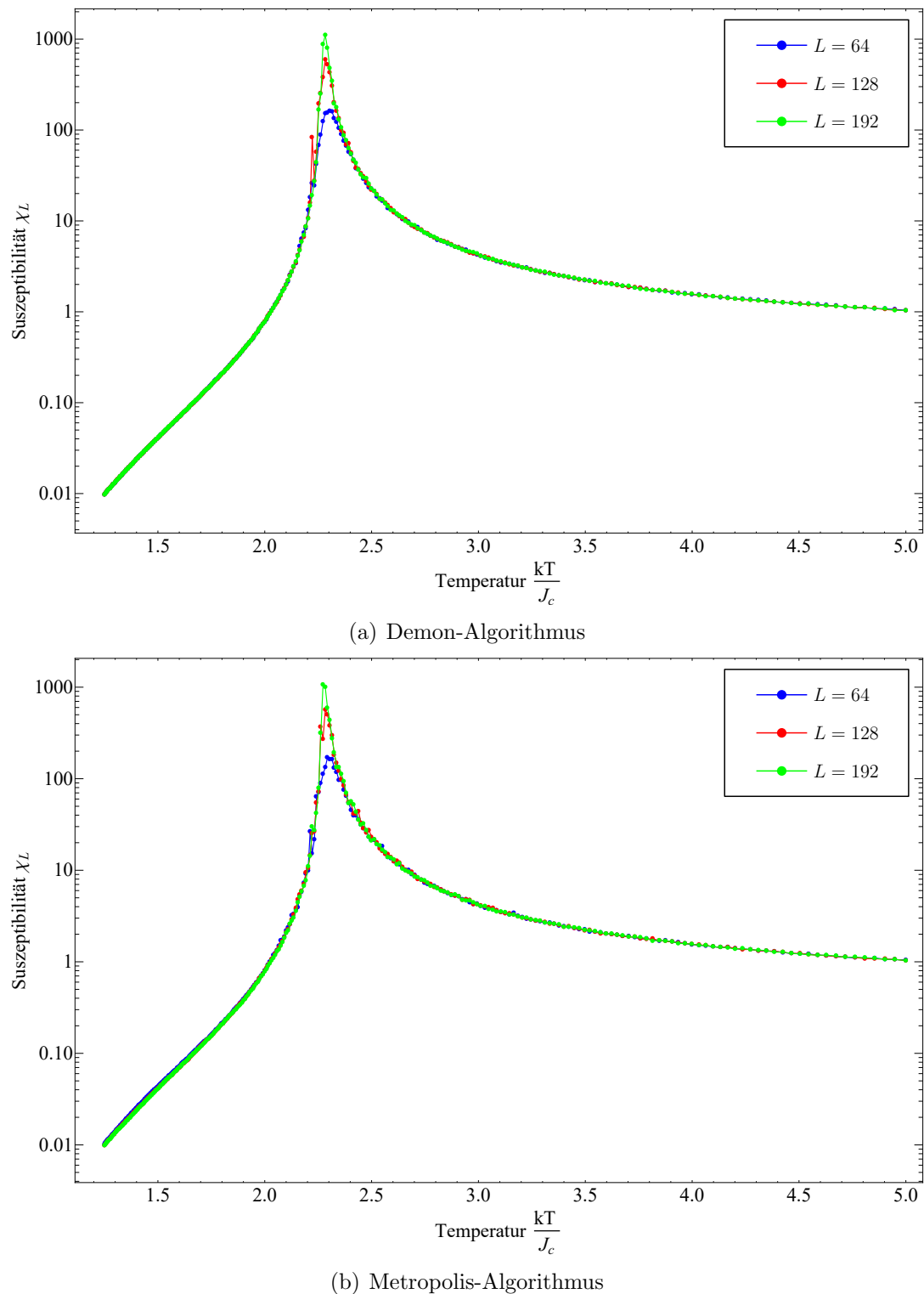


Abbildung 6.2.2: Suszeptibilität χ_L in Abhängigkeit der Temperatur $\frac{kT}{J_c}$ für unterschiedliche zweidimensionale Gitterausdehnungen L , jeweils über die beiden Implementierungen bestimmt.

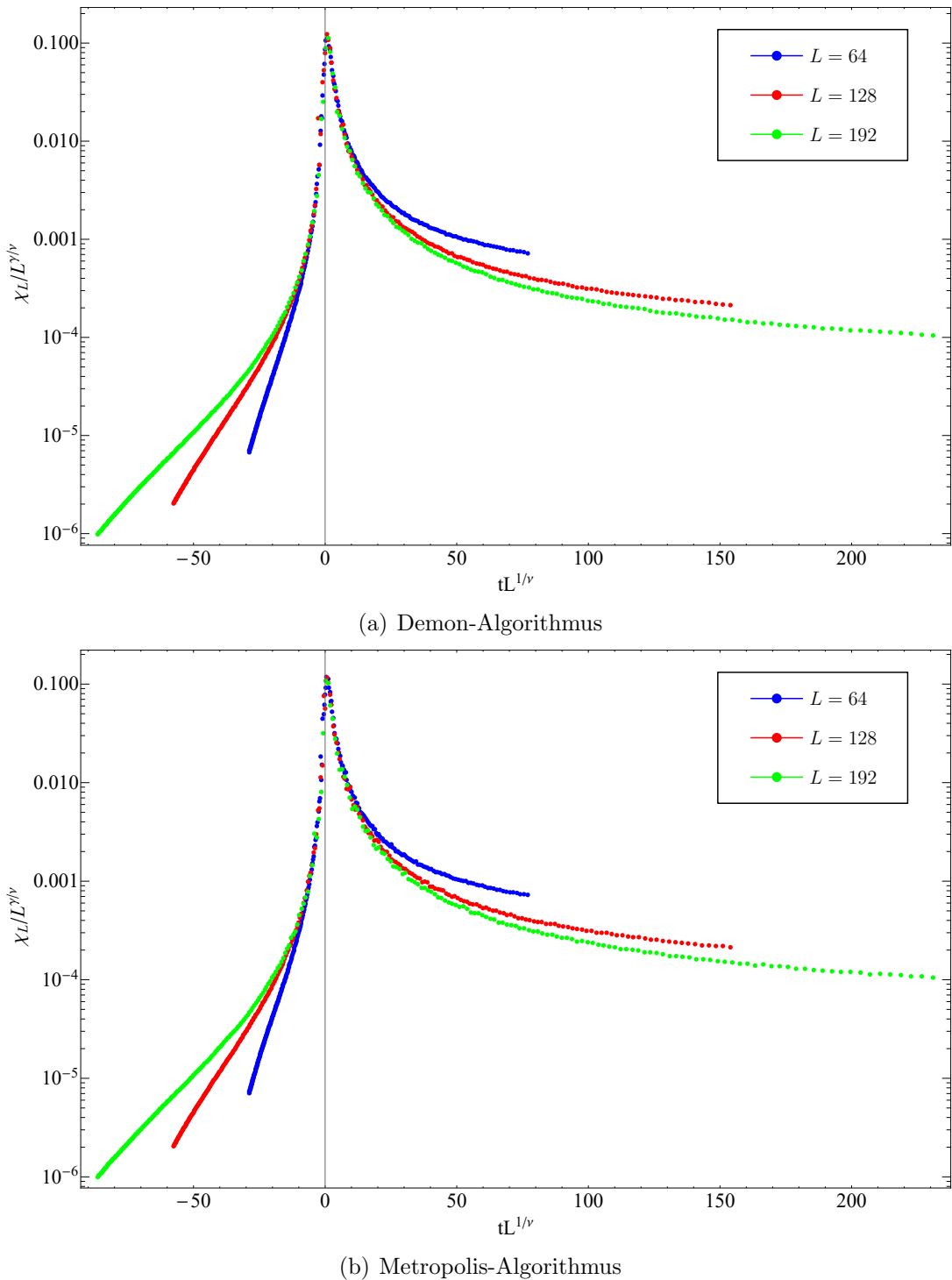


Abbildung 6.2.3: $\chi_L/L^{\gamma/\nu}$ in Abhangigkeit von $tL^{1/\nu}$ fur unterschiedliche zweidimensionale Gitterausdehnungen L , jeweils uber die beiden Implementierungen bestimmt.

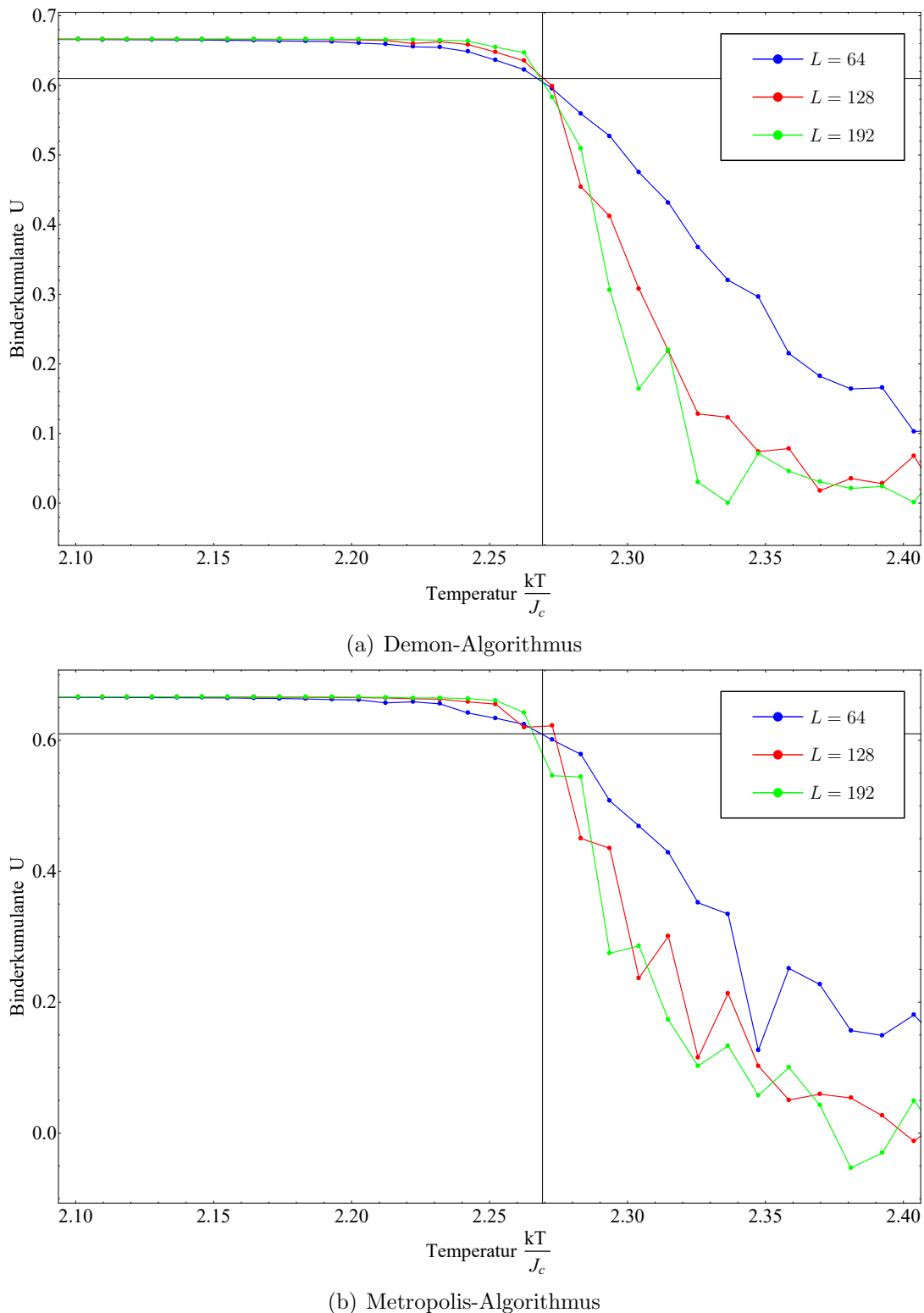


Abbildung 6.2.4: Binderkumulante U in Abhängigkeit der Temperatur $\frac{kT}{J_c}$ für unterschiedliche zweidimensionale Gitterausdehnungen L , jeweils über die beiden Implementierungen bestimmt. Ferner ist in beiden Diagrammen der Kreuzungspunkt bei der kritischen Temperatur mit dem Wert $U^* \approx 0.61067$ eingezeichnet.

6.2.2 Quantitative Untersuchungen der Implementierungen

In diesem Abschnitt werden mit Hilfe der beiden Implementierungen das Verhalten der Binderkumulante U genauer betrachtet und zusätzlich der kritische Exponent γ numerisch bestimmt und mit dem bekannten theoretischen Wert $\gamma = \frac{7}{4}$ verglichen. Hierzu werden auch grundlegende Fehlerbetrachtungen für die statistischen Größen ausgeführt.

6.2.2.1 Statistischer Fehler und Autokorrelation

Aufgrund der Tatsache, dass im Rahmen der Monte-Carlo-Simulationen statistisch verteilte Messwerte gemittelt werden, unterliegen diese einer statistischen Schwankung, die in Form einer Fehlerangabe zu berücksichtigen ist.

Gegeben sei ein Obersvable $A(\sigma)$. Im Rahmen der nummerischen Simulationen wird bei gegebener dimensionsloser inverser Temperatur β eine Messreihe von N Werten $A_i = A(\sigma_i)$ der einzelnen Konfigurationen ausgeführt. Für ausreichend große N wissen wir, dass die Näherung

$$\bar{A}_N = \frac{1}{N} \sum_{i=1}^N A_i \approx \langle A \rangle \quad (6.2.2)$$

zutrifft. Hierbei tritt jedoch das Problem auf, dass der Mittelwert \bar{A}_N eine statistische Größe ist und somit mit einer gewissen Wahrscheinlichkeit in einem bestimmten Bereich um den Wert $\langle A \rangle$ auftrifft. Für ausreichend große N ist der Mittelwert \bar{A}_N um den Erwartungswert normal verteilt, mit der Standardabweichung $\sigma(\bar{A}_N)$, siehe [6], womit diese als sinnvolle Fehlerangabe verwendet werden kann, da sie eine Sicherheit darüber gibt mit welcher Wahrscheinlichkeit der berechnete Mittelwert sich in einer bestimmten Umgebung des Erwartungswertes befindet. Für den Fall, dass die einzelnen Messungen der Werte A_i statistisch unabhängig voneinander sind ergibt sich der einfache Zusammenhang (siehe [15])

$$\sigma^2(\bar{A}_N) = \frac{\sigma^2(A)}{N} \quad (6.2.3)$$

wobei für ausreichend große N der Wert $\sigma(A)$ abgeschätzt werden kann zu (siehe [6])

$$\sigma^2(A) \approx \frac{1}{N-1} \sum_{i=0}^N (A_i - \bar{A}_N)^2 =: S_{(A_i)}(\bar{A}_N) \quad (6.2.4)$$

Bei den hier ausgeführten Simulationen werden jedoch Markov-Prozesse verwendet, womit die einzelnen Konfigurationen in der Kette $(\sigma_1, \dots, \sigma_N)$ nicht zueinander statistisch unabhängig sind und somit auch nicht die Werte A_i . In diesem Fall muss diese Autokorrelation der Werte berücksichtigt werden, was zu einer Korrektur der Form

$$\sigma^2(\bar{A}_N) = \frac{\tau_{int.}}{N} \sigma^2(A) \quad (6.2.5)$$

führt, wobei $\tau_{int.}$ die sogenannte integrierte Autokorrelationszeit ist. Für genauere Beobachtungen sei beispielsweise auf [15] verwiesen. Die Aufgabe ist es somit aus den Messwerten A_i den Wert \bar{A}_N und eine Abschätzung von $\sigma(\bar{A}_N)$ zu berechnen.

In den folgenden Betrachtungen wird der Fehler nicht über die direkte Ermittlung von $\tau_{int.}$ bestimmt, sondern über die Binning-Methode. Die Idee hinter der Methode ist es benachbarte Messwerte A_i in einzelnen Bereichen (*bins*) einzuteilen und die Mittelwerte dieser zu berechnen und als Messreihe A'_i zu interpretieren. Hierbei ergibt sich der Wert A'_k zu (siehe [6])

$$A'_k = \frac{1}{N_B} \sum_{i=N_B(k-1)+1}^{kN_B} A_i \quad (6.2.6)$$

wobei N_B die Anzahl an benachbarten Messwerten pro Bereich ist. Für ausreichend große N_B werden die einzelnen A'_k näherungsweise zueinander statistisch unabhängig, womit über Gleichung (6.2.3) der Fehler $\sigma(\bar{A}_N)$ abgeschätzt werden kann, indem die Werte A'_k verwendet werden. Generell gilt hierbei die Beziehung (siehe [15]):

$$\tau_{int.} = \lim_{N \rightarrow \infty} \tau_N = \lim_{N \rightarrow \infty} \frac{S_{(A'_k)}(\bar{A}_N)}{S_{(A_k)}(\bar{A}_N)} \quad (6.2.7)$$

wobei die Anzahl $n = \frac{N}{N_B}$ an *bins* konstant gehalten wird. Die Schwierigkeit bei der Bestimmung des Fehlers ist es zu entscheiden, ob die Anzahl n an *bins* und ob die Anzahl N an Messwerten ausreichend gut gewählt ist, sodass der Wert \bar{A}_N und $\sigma(\bar{A}_N)$ zuverlässige ist. Es existieren hierzu keine allgemeinen Verfahren die angewendet werden können. Vielmehr kann beispielsweise nachträglich die integrierte Autokorrelationszeit für die gewählte *bin*-Größe n über Gleichung (6.2.7) abgeschätzt und mit gewissen Grundregeln verglichen werden, um eine plausible Begründung für den bestimmten Fehler zu erhalten. Gemäß [15] sollte hierbei als Grundregel:

$$N_D \gg \tau_{int.} \quad (6.2.8)$$

$$N > n\tau_{int.} \quad (6.2.9)$$

$$n \geq 16 \quad (6.2.10)$$

beachtet werden, wobei N_D die Anzahl an zu Beginn verworfenen Anfangskonfigurationen der Markov-Kette ist.

Diese Methode ist nicht ohne Probleme und schlussendlich bleibt es eine Abschätzung des Fehlers, der entweder als ausreichend oder als nicht ausreichend angesehen wird. An dieser Stelle gehen wir auf ein paar Probleme der Bestimmung des Fehlers auf Basis der Binning-Methode im Rahmen der hier getroffenen Implementierungen ein. In Abbildung 6.2.5 sind die Werte τ_N für die Observable $|m(\sigma)|$ in Abhängigkeit der Anzahl der Messungen N für die Simulation des zweidimensionalen Gitters mit $L = 192$ bei unterschiedlichen dimensionslosen inversen Temperaturen β dargestellt. Wir können erkennen, dass die Werte τ_N starke Schwankungen aufweisen, jedoch für die Resultate des Metropolis-Algorithmus und für den Demon-Algorithmus bei $\beta = 0.40$ anscheinend die Tendenz zeigen um einen mittleren Wert zu schwanken, gegen den sie unter Umständen für größere N konvergieren. Dies bietet die Möglichkeit eine grobe Abschätzung für $\tau_{int.}$ auszuführen, um im Nachhinein aus den Messwerten auf die Erfüllung der Regeln in Gleichung (6.2.8) bis Gleichung (6.2.10) zu schließen, was durchaus ein plausible Begründung

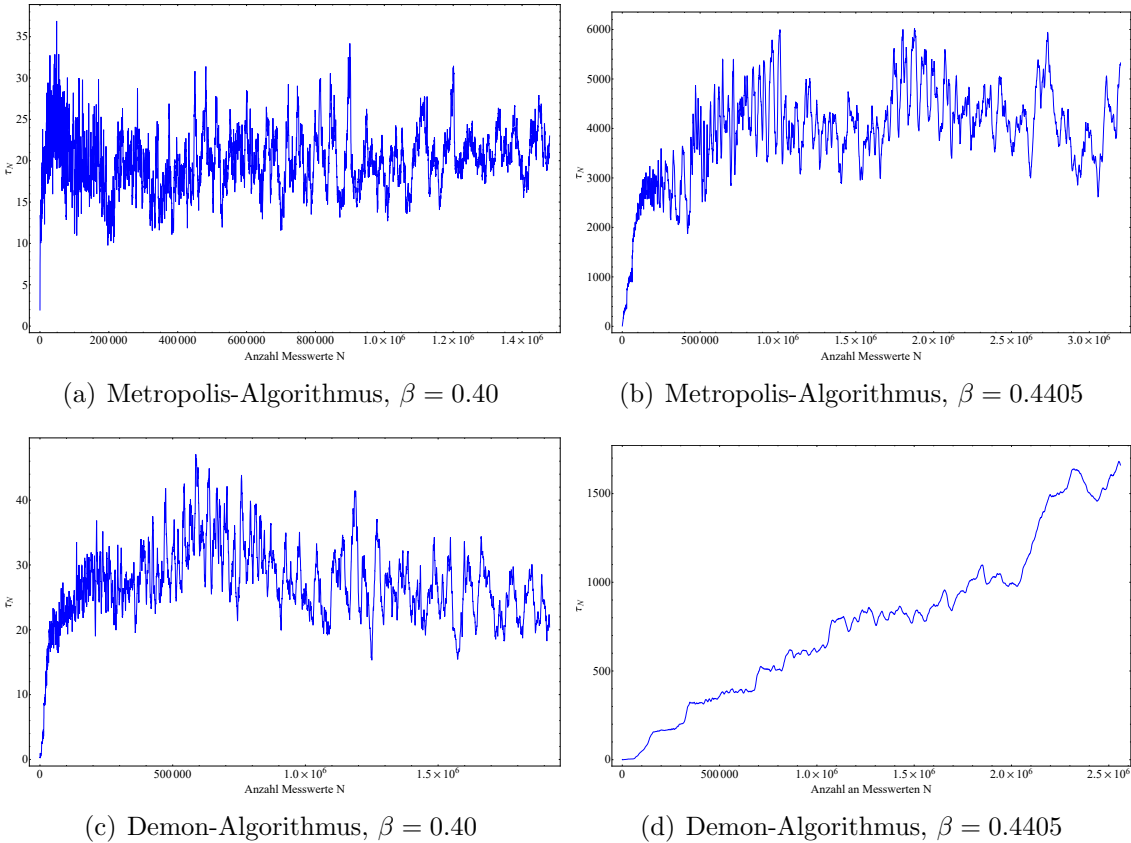


Abbildung 6.2.5: τ_N für die Magnetisierung $|m|$ in Abhängigkeit der Anzahl der Messwerte N . Hierbei beträgt die Gitterausdehnung jeweils $L = 192$ und die Anzahl an bins beträgt $n = 32$.

sein kann für den bestimmten Fehler. Wir erkennen jedoch beispielsweise beim Demon-Algorithmus, dass beim Punkt $\beta = 0.4405$ in der Nähe des Phasenübergangs der Wert für τ_N keine derartige Schwankung zeigt, die ein Abschätzen von $\tau_{int.}$ ermögliche. In so einem Fall gibt es die Möglichkeit die Anzahl n der bins zu verringern, sodass N_B vergrößert wird. Jedoch muss beachtet werden, dass n nicht beliebig verringert werden kann, weil sonst der Wert $S_{(A'_k)}(\bar{A}_N)$ keine ausreichende Näherung mehr für $\sigma(A)$ darstellt. Bei den ausgeführten Simulationen in der Nähe des Phasenüberganges hat sich für die Implementierung des Demon-Algorithmus häufig eine nicht eindeutige Schwankung um einen Wert für $\tau_{int.}$ gezeigt. Dies erschwert die Fehlerbestimmung.

Insbesondere handelt es sich bei den beiden Algorithmen um Verfahren, die lokale Updates ausführen. Dies führt dazu, dass am Phasenübergang die integrierte Autokorrelationszeit $\tau_{int.}$ besonders große Werte annimmt, da die Korrelationslänge ξ für endliche Gitter in der Nähe des kritischen Punkts ein Maximum besitzt und somit die einzelnen Spins stärker miteinander korreliert sind. Dies wiederum führt zu einer stärkeren Korrelation der einzelnen aufeinander folgenden Konfigurationen $\sigma_n, \sigma_{n+1}, \dots$. Hierdurch wird es notwendig am Phasenübergang mehr Konfigurationen zu erzeugen, damit die Aussa-

$tL^{\frac{1}{\nu}}$	γ_F (Metropolis-Algorithmus)	γ_F (Demon-Algorithmus)
0.1	1.73 ± 0.12	1.81 ± 0.13
0.02	1.79 ± 0.13	1.75 ± 0.15

Tabelle 6.2.1: Fit-Ergebnisse für die Messpunkte in Abbildung 6.2.7

gekraft der ermittelten Mittelwerte und Fehler erhalten bleibt. Zusätzlich nimmt die Autokorrelationszeit $\tau_{int.}$ mit der Gitterausdehnung L zu. Dieses Verhalten wird als *Critical slowing down* bezeichnet, siehe [6].

Es stellt sich somit heraus, dass eine möglichst genau Fehleranalyse mit einem entsprechenden Aufwand in der Erzeugung von vielen Messwerten liegt und genauere statistische Analysen notwendig sind. Für die Zwecke in dieser Arbeit schätzen wir den Fehler durch die Binning-Methode ein, indem $n = 32$ gewählt wird. Dies führt zumindest zu einer groben Abschätzung der ermittelten Größen. Jedoch sollten die bestimmten Standardabweichungen, insbesondere in der Nähe des Phasenübergangs, kritisch behandelt und ihnen kein allzu große Aussagekraft zugesprochen werden. Zumindest für die Verifikation der Funktionalität der Implementierungen sollten die Einschätzungen ausreichend sein.

6.2.2.2 Binderkumulante und kritischer Exponent

Für die jeweiligen Implementierungen sind, für unterschiedliche dimensionslosen Temperaturen β , Simulationen ausgeführt, wobei für die einzelnen Konfigurationen $|m|$, m^2 und m^4 berechnet und entsprechend erfasst sind. Aus diesen Werte können anschließend die gewünschten Werte für die Binderkumulante und Suszeptibilität bestimmt werden mit entsprechender Standardabweichung als Fehler der Größen, wobei die Binning-Methode mit $n = 32$ verwendet wird. Die genauen Parameter der Simulationen sind im Anhang 8.1 vorzufinden. Die Programme sind hierbei auf der GPU mit der Bezeichnung *GTX 970* ausgeführt worden.

Die Resultate für die Binderkumulante U sind, für beide Implementierungen, in Abbildung 6.2.6 dargestellt. Im Vergleich zu Abbildung 6.2.4 ist es möglich in den hier vorliegenden Resultaten den näherungsweise gemeinsamen Schnittpunkt bei U^* am kritischen Punkt zu erkennen.

Für die Bestimmung des kritischen Exponenten γ wird das Finite-Size-Scaling-Gesetz in Gleichung (2.2.27) benutzt. Aus diesem ergibt sich für zwei Gitter mit der jeweiligen Ausdehnung L_1 und L_2 und den dazugehörigen Suszeptibilitäten χ_1 und χ_2 beim selben Wert für $tL^{\frac{1}{\nu}}$ die Gesetzmäßigkeit:

$$\frac{\chi_1}{\chi_2} = \left(\frac{L_1}{L_2} \right)^{\frac{\gamma}{\nu}} \quad (6.2.11)$$

Die hier ausgeführten Simulationen, mit Hilfe der jeweiligen Implementierungen bei selben Werten $tL^{\frac{1}{\nu}}$, liefern als Resultat Abbildung 6.2.7. Für die so bestimmten Punkte wird jeweils ein Fit mit der Modellfunktion,

$$\left(\frac{\chi_1}{\chi_2} \right)_F = \left(\frac{L_1}{L_2} \right)^{\gamma_F} \quad (6.2.12)$$

ausgeführt, wobei γ_F der Fit-Parameter ist. Das Fitten wird mit Hilfe der Funktion *NonlinearModelFit* des Programmes *Mathematica 11.0* umgesetzt. Ferner wird für den kritischen Punkt $\beta_c \approx 0.4406868$ verwendet. Das Ergebnisse der Fits sind in Tabelle 6.2.1 angegeben. Hierbei wird der Fehler über die Standardabweichungen der einzelnen Messwerte abgeschätzt.

Vergleichen wir die Werte mit den theoretischen Wert $\gamma = 1.75$, so können wir eine gute Übereinstimmung im Rahmen des Fehlers erkennen und qualitativ betrachtet liegen die Messpunkte in Abbildung 6.2.7 nahezu auf der Fit-Kurve.

Alle bis hierhin angegebenen Resultate lassen begründet den Schluss ziehen, dass die Funktionalität der Implementationen verifiziert ist.

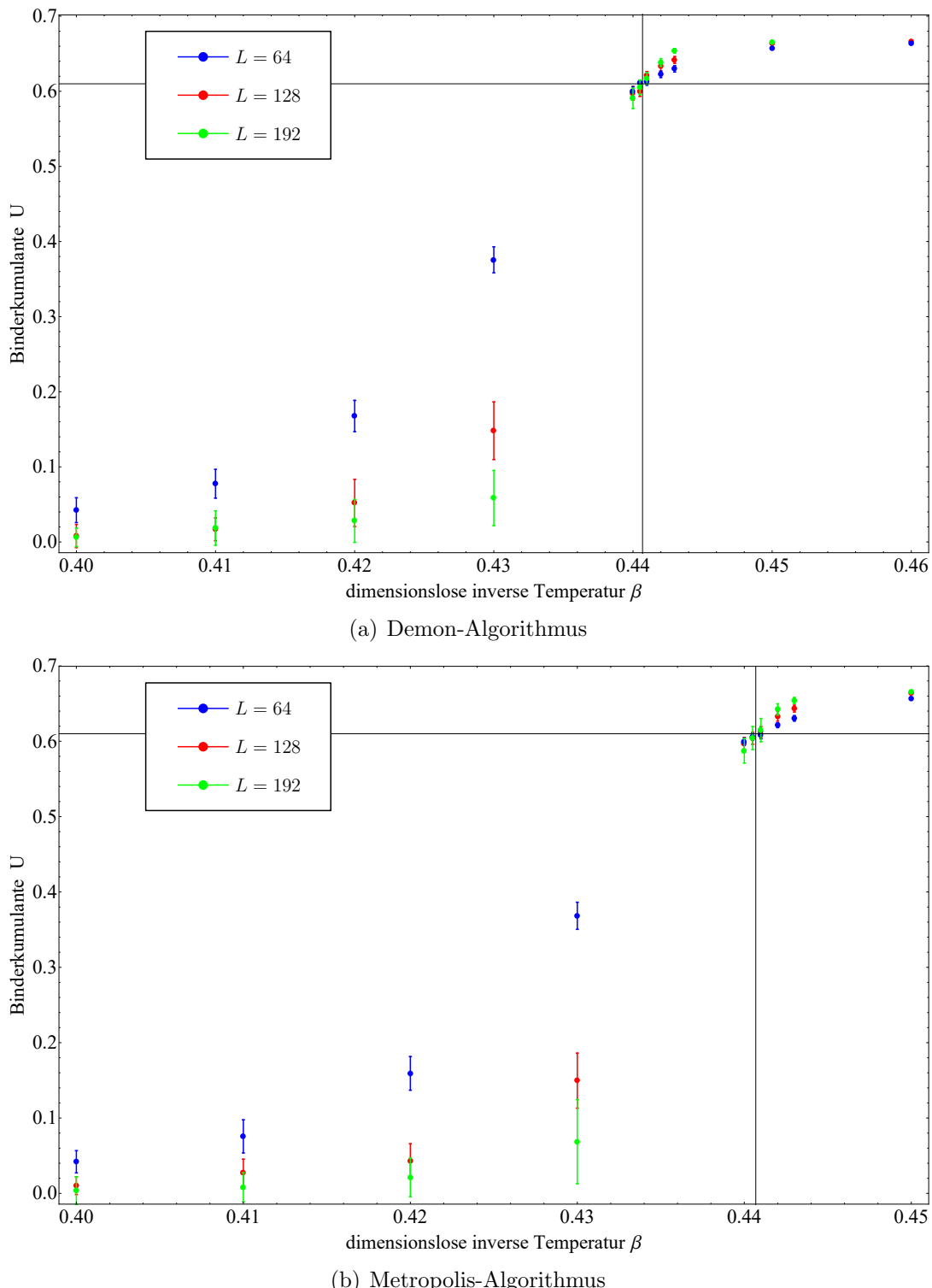


Abbildung 6.2.6: Binderkumulante U , mit Fehlerbetrachtung, in Abhängigkeit der Temperatur $\frac{kT}{J_c}$ für unterschiedliche zweidimensionale Gitterausdehnungen L , jeweils über die beiden Implementierungen bestimmt. Ferner ist in beiden Diagrammen der Kreuzungspunkt bei der kritischen Temperatur mit dem Wert $U^* \approx 0.61067$ eingezeichnet.

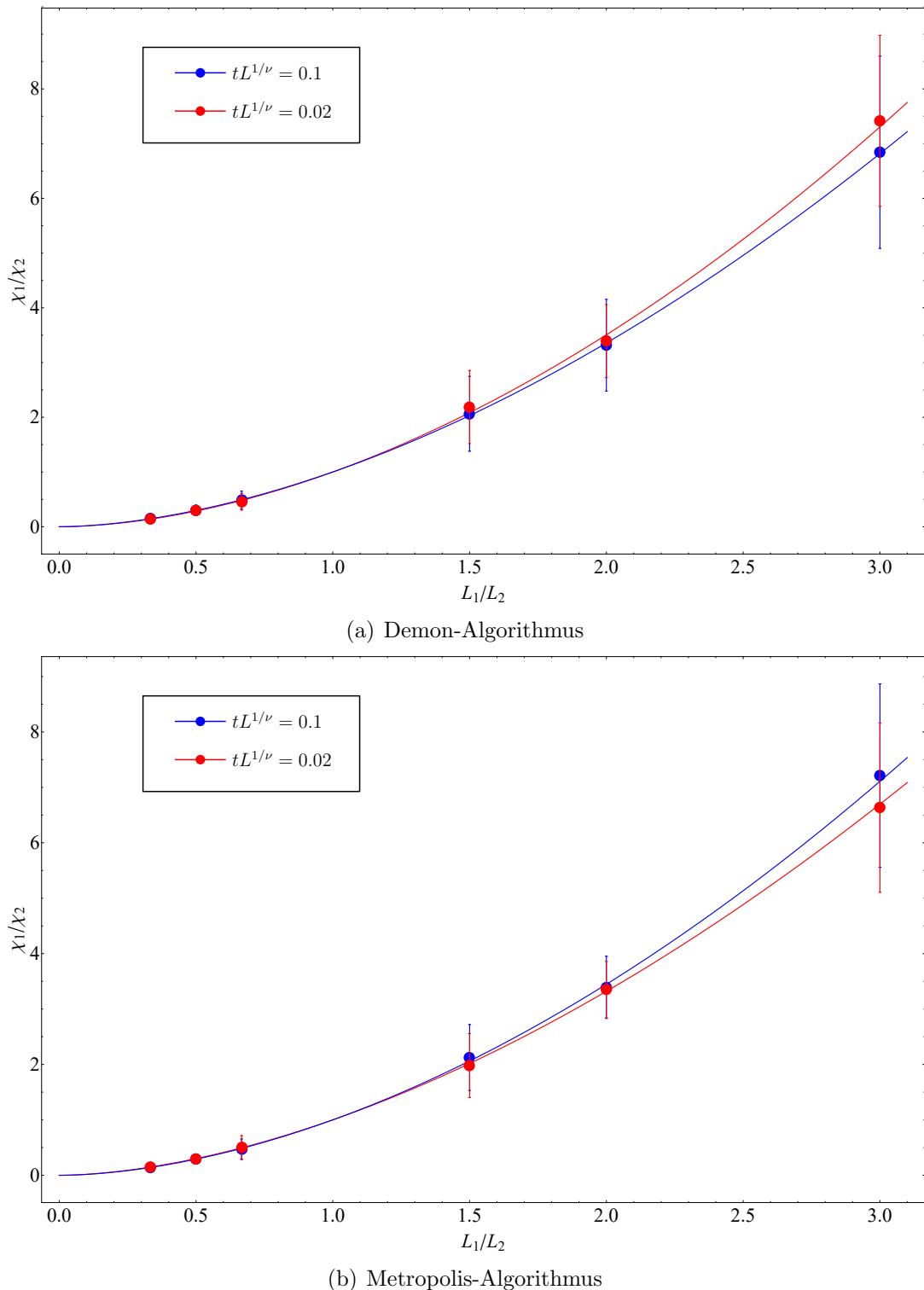


Abbildung 6.2.7: Verhältnis der Suszeptibilitäten $\frac{\chi_1}{\chi_2}$ in Abhängigkeit des Verhältnis der Gitterausdehnungen $\frac{L_1}{L_2}$ für das zweidimensionale Gitter, jeweils über die beiden Implementierungen bestimmt. Hierbei ist χ_i die Suszeptibilität des Gitters mit der Ausdehnung L_i . Die durchgezogenen Linien, sind entsprechend der Farbe die Fit-Ergebnisse für die einzelnen Messpunkte.

Kapitel 7

Zusammenfassung und Ausblick

Wir können zusammenfassen, dass die Implementierung des Demon-Algorithmus mit Multispin-Coding nach [21] für die GPU mit gewissen Problemen verbunden ist und das kanonische Update-Verfahren mit der Binomialverteilung nicht ohne weiteres auf die GPU umgesetzt werden kann und die Zuhilfenahme der CPU zu einer entsprechenden Verlangsamung führt. Es zeigt sich, dass das naive kanonische Update-Verfahren schneller ist. Jedoch ist die Implementierung des Metropolis-Algorithmus für größere Gitter schneller in der Anzahl an erzeugten Konfigurationen pro Zeiteinheit. Folglich ist die Implementierung des Metropolis-Algorithmus mit der Multispin-Coding-Methode auf Basis von [32] für Simulationen des Ising-Modells auf GPUs anscheinend besser geeignet als der Demon-Algorithmus mit der anderen Multispin-Coding-Methode.

Allerdings haben wir gesehen, dass die reine mikrokanonische Simulation mit Hilfe des Demon-Algorithmus einen hohen Durchsatz an Konfigurationen erreichen kann. Auf Basis dieser Tatsache ist es durchaus interessant mikrokanonische Betrachtungen des Ising-Modells auszuführen und der Fragestellung nachzugehen in wie weit der thermodynamische Limes durch die mikrokanonische Beschreibung eines endlichen Gitters nachgestellt werden kann oder bei welcher Gitterausdehnung L die Äquivalenz zum kanonischen Ensemble näherungsweise zutrifft und ob dies bei einem L geschieht, bei der die Anzahl an Konfiguration pro Zeiteinheit höher ist als die kanonischen Verfahren. Derartige Untersuchungen können beispielsweise für weiterführende Betrachtungen für die Implementierung des Demon-Algorithmus ausgeführt werden. Jedoch müssten hierfür unterschiedliche Faktoren genauer beachtet werden. Beispielsweise müsste genauer untersucht werden, ob die Ergodizität des Verfahrens ausreichend gewährleistet ist und wie stark die einzelnen Spinkonfigurationen zueinander korreliert sind.

Kapitel 8

Anhang

8.1 Simulationsparameter für Abschnitt 6.2.2.2

Hier sind, die für die Simulationen in Abschnitt 6.2.2.2 verwendeten Simulationsparameter, angegebenen. Das Programm hat hierbei die Observablen $|m|$, m^2 und m^4 erfasst.

β	L	N (Metro)	N_D (Metro)	N (Demon)	N_D (Demon)
0.40	64	1600000	10000	50000	10000
0.41	64	1600000	10000	50000	10000
0.42	64	1600000	10000	50000	10000
0.43	64	1600000	10000	50000	10000
0.44	64	2592000	32000	60000	10000
0.4405	64	2592000	320000	100000	20000
0.441	64	2592000	320000	60000	10000
0.442	64	2592000	32000	60000	10000
0.443	64	2592000	320000	60000	10000
0.45	64	2592000	32000	60000	10000
0.46	64	k.A.	k.A.	60000	10000
0.40	128	2592000	32000	70000	20000
0.41	128	2592000	320000	70000	20000
0.42	128	2592000	32000	80000	20000
0.43	128	2592000	320000	80000	20000
0.44	128	2592000	320000	80000	20000
0.4405	128	3230000	320000	120000	20000
0.441	128	2592000	320000	100000	20000
0.442	128	2592000	32000	100000	20000
0.443	128	2592000	32000	100000	20000
0.450	128	1600000	10000	80000	20000
0.46	128	k.A.	k.A.	80000	20000
0.40	192	1600000	32000	80000	20000
0.41	192	1600000	100000	80000	20000
0.42	192	1700000	10000	80000	20000
0.43	192	1700000	100000	80000	20000
0.44	192	3520000	320000	100000	20000
0.4405	192	3520000	320000	100000	20000
0.441	192	2592000	32000	100000	20000
0.442	192	2592000	32000	100000	20000
0.443	192	2592000	32000	100000	20000
0.45	192	2592000	320000	100000	20000
0.46	192	k.A.	k.A.	80000	20000
0.44399993011 ($x = 0.1$)	64	672000	320000	100000	20000
0.4403427822 ($x = 0.1$)	128	672000	320000	100000	20000
0.4404573951 ($x = 0.1$)	192	672000	320000	100000	20000
0.4405491284 ($x = 0.02$)	64	672000	320000	100000	20000
0.4406179534 ($x = 0.02$)	128	672000	320000	100000	20000
0.4406408999 ($x = 0.02$)	192	672000	320000	100000	20000

Tabelle 8.1.1: Simulationsparameter für die quantitativen Betrachtungen des Metropolis-Algorithmus und Demon-Algorithmus in Abschnitt 6.2.2.2. Hierbei ist N die Gesamtanzahl an berechneten Konfigurationen, L die Gitterausdehnung und N_D die Anzahl an anfänglich verworfenen Konfigurationen.

8.2 Dokumentation der Quellcodes

In diesem Abschnitt folgen die Quellcodes der in dieser Arbeit verwendeten Programme.

8.2.1 Metropolis-Algorithmus

Die Implementierung des Algorithmus besteht aus vier Header- und drei Source-Dateien.

8.2.1.1 routines2D.hpp

```

1 #include "cuda_runtime.h"
2 #include "device_launch_parameters.h"
3
4 #ifndef ROUTINES2D_HPP
5 #define ROUTINES2D_HPP
6
7
8 /*
9  metropolis update step for even coordinates.
10 invoke this kernel with:
11
12 dim3 blocks(gridDimX, gridDimY);
13 metropolis2DPeriodicEven<<blocks, 64>>>(spins_d, randoms_d, local_probabilities_d);
14
15 */
16 __global__ void metropolis2DPeriodicEven(unsigned short* spins_d, int* randoms_d, double*
17     local_probabilities_d);
18
19 /*
20 metropolis update step for odd coordinates.
21 invoke this kernel with:
22
23 dim3 blocks(gridDimX, gridDimY);
24 metropolis2DPeriodicOdd<<blocks, 64>>>(spins_d, randoms_d, local_probabilities_d);
25
26 */
27 __global__ void metropolis2DPeriodicOdd(unsigned short* spins_d, int* randoms_d, double*
28     local_probabilities_d);
29
30 /*
31 sum up magnetization block wide
32
33 result for each block is saved in magnetization_block_wide_d
34
35 invoke kernel with
36 dim3 blocks(gridDimX, gridDimY);
37
38 totalMagnetizationBlockWide2D<<<blocks, 64>>>(int* spins_d, int*
39     magnetization_block_wide_d);
40
41 */
42 __global__ void totalMagnetizationBlockWide2D(unsigned short* spins_d, int*
43     magnetization_block_wide_d);
44
45 #endif

```

8.2.1.2 routines3D.hpp

```

1 #include "cuda_runtime.h"
2 #include "device_launch_parameters.h"
3
4 #ifndef ROUTINES3D_HPP
5 #define ROUTINES3D_HPP
6
7
8 /*
9    metropolis update step for even coordinates.
10   invoke this kernel with:
11
12   dim3 blocks(gridDimX, gridDimY, gridDimZ);
13   metropolis3DPeriodicEven<<blocks, 64>>>(spins_d, randoms_d, local_probabilities_d);
14 */
15
16 __global__ void metropolis3DPeriodicEven(unsigned short* spins_d, int* randoms_d, double*
17   local_probabilities_d);
18
19
20
21 /*
22    metropolis update step for odd coordinates.
23   invoke this kernel with:
24
25   dim3 blocks(gridDimX, gridDimY, gridDimZ);
26   metropolis3DPeriodicOdd<<blocks, 64>>>(spins_d, randoms_d, local_probabilities_d);
27 */
28
29 __global__ void metropolis3DPeriodicOdd(unsigned short* spins_d, int* randoms_d, double*
30   local_probabilities_d);
31
32
33 /*
34    sum up magnetization block wide
35
36   result for each block is saved in magnetization_block_wide_d
37
38   invoke kernel with
39   dim3 blocks(gridDimX, gridDimY, gridDimZ);
40
41   totalMagnetizationBlockWide3D<<<blocks, 64>>>(int* spins_d, int*
42   magnetization_block_wide_d);
43 */
44 __global__ void totalMagnetizationBlockWide3D(unsigned short* spins_d, int*
45   magnetization_block_wide_d);
46 #endif

```

8.2.1.3 rng.hpp

```

1 #ifndef RNG_HPP
2 #define RNG_HPP
3 #define PI 3.1415926535897932384626433832795
4 #define PI2 6.2831853071795864769252867665590
5 #define SQRTPI2 2.5066282746310005024157652848110
6
7 #include "cuda_runtime.h"
8 #include "device_launch_parameters.h"
9 #include <math.h>
10

```

```
11
12 __host__ __device__ inline void simpleRandomInteger0(int& current_random){
13     current_random = 16807 * (current_random % 127773) - 2836 * (current_random / 127773);
14     if (current_random < 0){
15         current_random += 2147483647;
16     }
17 }
18
19 __host__ __device__ inline void simpleRandomInteger1(int& current_random){
20     current_random = 48721 * (current_random % 44488) - 3399 * (current_random / 44488);
21     if (current_random < 0){
22         current_random += 2147483647;
23     }
24 }
25
26 /*
27 MARSAGLIA-ZAMAN generator (subtract-with-borrow generator).
28 generates random integers between 0 and 2^32-5 OR random doubles between 0 and 1.
29
30 r=43; s=22; b = 2^32 - 5
31 */
32 class MarsagliaZamanGenerator{
33     private:
34
35     unsigned int values[43];
36     int lower_index = 0; //n-43
37     int higher_index = 21; //n-22
38     int c;
39
40     public:
41
42     MarsagliaZamanGenerator(unsigned int* start_values, int c){
43
44         for (int i = 0; i < 43; i++){
45             this->values[i] = start_values[i];
46         }
47
48         this->c = c;
49     }
50
51     /*
52     default init.
53     */
54
55     MarsagliaZamanGenerator(){
56         int current_random = 3141592;
57         for (int i = 0; i < 43; i++){
58             simpleRandomInteger0(current_random);
59             this->values[i] = current_random;
60         }
61
62         this->c = 0;
63     }
64     unsigned int getRandomInteger(){
65
66         if (values[higher_index] >= values[lower_index] + c){
67             values[lower_index] = (values[higher_index] - values[lower_index]) - c;
68             c = 0;
69         }
70         else{
71             values[lower_index] = 4294967291 - ((values[lower_index] + c) - values[higher_index]);
72             c = 1;
73         }
74         unsigned int rvalue = values[lower_index];
75
76     }
```

```

77 lower_index = (lower_index + 1) % 43;
78 higher_index = (higher_index + 1) % 43;
79
80 return rvalue;
81 }
82
83 /*
84 compute random double between 0...1
85 */
86 double getRandomDouble(){
87
88 if (values[higher_index] >= values[lower_index] + c){
89     values[lower_index] = (values[higher_index] - values[lower_index]) - c;
90     c = 0;
91 }
92 else{
93     values[lower_index] = 4294967291 - ((values[lower_index] + c) - values[higher_index]);
94     c = 1;
95 }
96 int rvalue = values[lower_index];
97
98
99 lower_index = (lower_index + 1) % 43;
100 higher_index = (higher_index + 1) % 43;
101
102 //this is necessary to suppress the sign for the result of the return value.
103 rvalue = rvalue & ~(1 << 31);
104
105 return (double)(rvalue / ((double)~(1 << 31)));
106 }
107
108 /*
109 generate random standard normal variates using the box-muller-transformation.
110 (see G. E. P. Box and Mervin E. Muller, Ann. Math. Statist. Volume 29, Number 2 (1958),
111 610-611.)
112 */
113 double getRandomStandardNormal(){
114
115 double value1 = getRandomDouble();
116 double value2 = getRandomDouble();
117
118 return sqrt(-2 * log(value1))*cos(PI2*value2);
119 }
120 };
121 #endif

```

8.2.1.4 Lattice.hpp

```

1 #define _ISING_2D_ 2
2 #define _ISING_3D_ 3
3 #define _PERIODIC_ 1
4 #define _ANTIPERIODIC_ -1
5
6
7 #define _OWN_ 0
8 #define _FRONT_ 1 //positive x-driection
9 #define _BACK_ 2 //negative x-direction
10 #define _LEFT_ 3 //positive y-direction
11 #define _RIGHT_ 4 //negative y-direction
12 #define _UPPER_ 5 //positive z-direction

```

```
13 #define _LOWER_ 6 //negative z-direction
14
15
16 #include "cuda_runtime.h"
17 #include "device_launch_parameters.h"
18 #include <math.h>
19 #include <iostream>
20
21 using namespace std;
22
23 #ifndef LATTICE_HPP
24 #define LATTICE_HPP
25
26 #include "rng.hpp"
27
28 class Lattice{
29
30 private:
31 int dimension;
32 int boundary;
33
34 int L1;
35 int L2;
36 int L3;
37
38 int gridDimX;
39 int gridDimY;
40 int gridDimZ;
41
42 double beta; //inverse temperature
43
44 MarsagliaZamanGenerator* random_generator;
45
46 unsigned short* spins_d; //multispin array, on device memory
47 int* randoms_d; //random number for kernels. (on device)
48 int* randoms_h; //on host
49
50 int* magnetization_block_wide_d; //on device
51 int* magnetization_block_wide; // on host
52
53 double* local_probabilities_d; //save probabilities for energy change.
54 public:
55 //2D constructor
56 Lattice(int L1, int L2, int boundary, double beta){
57 this->L1 = L1;
58 this->L2 = L2;
59
60 this->dimension = _ISING_2D_;
61
62 this->boundary = boundary;
63
64 this->beta = beta;
65
66 this->gridDimX = L1 / 32;
67 this->gridDimY = L2 / 32;
68
69 cudaMalloc(&spins_d, 64 * gridDimX*gridDimY*sizeof(short));
70 cudaMemcpy(spins_d, 0, 64 * gridDimX*gridDimY*sizeof(short));
71
72 cudaMalloc(&randoms_d, 64 * gridDimX*gridDimY*sizeof(int));
73 cudaMallocHost(&randoms_h, 64 * gridDimX*gridDimY*sizeof(int));
74
75 cudaMalloc(&magnetization_block_wide_d, gridDimX*gridDimY*sizeof(int));
76 cudaMallocHost(&magnetization_block_wide, gridDimX*gridDimY*sizeof(int));
77
78 double local_probabilities[3];
```

```
79 local_probabilities[0] = exp(-2 * beta);
80 local_probabilities[1] = exp(-4 * beta);
81 local_probabilities[2] = exp(-8 * beta);
82
83 cudaMalloc(&local_probabilities_d, 3 * sizeof(double));
84 cudaMemcpy(local_probabilities_d, local_probabilities, 3 * sizeof(double),
85           cudaMemcpyHostToDevice);
86
87 random_generator = new MarsagliaZamanGenerator();
88
89 initializeRandoms();
90 }
91 Lattice(int L1, int L2, int L3, int boundary, double beta){
92     this->L1 = L1;
93     this->L1 = L2;
94     this->L3 = L3;
95
96     this->dimension = _ISING_3D_;
97
98     this->boundary = boundary;
99
100    this->beta = beta;
101
102    this->gridDimX = L1 / 32;
103    this->gridDimY = L2 / 32;
104    this->gridDimZ = L3;
105
106    cudaMalloc(&spins_d, 64 * gridDimX*gridDimY*gridDimZ*sizeof(short));
107    cudaMemset(spins_d, 0, 64 * gridDimX*gridDimY*gridDimZ*sizeof(short));
108
109    cudaMalloc(&randoms_d, 64 * gridDimX*gridDimY*gridDimZ*sizeof( int));
110    cudaMallocHost(&randoms_h, 64 * gridDimX*gridDimY*gridDimZ*sizeof(int));
111
112    cudaMalloc(&magnetization_block_wide_d, gridDimX*gridDimY*gridDimZ*sizeof(int));
113    cudaMallocHost(&magnetization_block_wide, gridDimX*gridDimY*gridDimZ*sizeof(int));
114
115    double local_probabilities[4];
116    local_probabilities[0] = exp(-2 * beta);
117    local_probabilities[1] = exp(-4 * beta);
118    local_probabilities[2] = exp(-8 * beta);
119    local_probabilities[3] = exp(-12 * beta);
120
121    cudaMalloc(&local_probabilities_d, 4 * sizeof(double));
122    cudaMemcpy(local_probabilities_d, local_probabilities, 4 * sizeof(double),
123               cudaMemcpyHostToDevice);
124
125    random_generator = new MarsagliaZamanGenerator();
126
127    initializeRandoms();
128
129 }
130
131 ~Lattice(){
132
133     cudaFree(spins_d);
134
135     cudaFree(randoms_d);
136     cudaFreeHost(randoms_h);
137
138     cudaFree(magnetization_block_wide_d);
139     cudaFreeHost(magnetization_block_wide);
140
141     cudaFree(local_probabilities_d);
```

```

143
144 delete random_generator;
145 }
146
147 /*
148 metropolis update of the spin system
149 */
150 void updateSystem();
151
152
153 void initializeRandoms();
154
155 int observeTotalMagnetization();
156
157
158
159 };
160
161 #endif
162 }
```

8.2.1.5 routines2D.cu

```

1 #include "cuda_runtime.h"
2 #include "device_launch_parameters.h"
3
4 #include "routines2D.hpp"
5 #include "Lattice.hpp"
6 #include "rng.hpp"
7
8
9
10 struct coordinates2D_t{
11     int x;
12     int y;
13 };
14
15 /*
16 computes block origin for own or neighbour blocks.
17
18 local_block is element of {_OWN_, _LEFT_, _RIGHT_, _FRONT_, _BACK_, _UPPER_, _LOWER_}.
19 the value of local_block specifies the block relative to own block.
20 */
21 __device__ inline coordinates2D_t getBlockOrigin(int local_block){
22
23 coordinates2D_t local_block_position;
24 local_block_position.x = blockIdx.x;
25 local_block_position.y = blockIdx.y;
26
27 int x = blockIdx.x;
28 int y = blockIdx.y;
29
30 switch (local_block){
31
32 case _FRONT_:
33     //regard boundary conditions
34     if (x + 1 > gridDim.x - 1){
35         local_block_position.x = 0;
36     }
37     else{
38         local_block_position.x = x + 1;
39     }
40 }
```

```
40 break;
41
42 case _BACK_:
43     //regard boundary conditions
44     if (x - 1 < 0){
45         local_block_position.x = gridDim.x - 1;
46     }
47     else{
48         local_block_position.x = x - 1;
49     }
50 break;
51
52 case _LEFT_:
53     //regard boundary conditions
54     if (y + 1 > gridDim.y - 1){
55         local_block_position.y = 0;
56     }
57     else{
58         local_block_position.y = y + 1;
59     }
60 break;
61
62 case _RIGHT_:
63     //regard boundary conditions
64     if (y - 1 < 0){
65         local_block_position.y = gridDim.y - 1;
66     }
67     else{
68         local_block_position.y = y - 1;
69     }
70 break;
71 }
72
73 return local_block_position;
74 }
75
76
77
78
79
80 __global__ void metropolis2DPeriodicEven(unsigned short* spins_d, int* randoms_d, double
81 * local_probabilities_d){
82
83
84 //each short represents an 4x4 sublattice.
85 __shared__ unsigned short spin_chunk[7][64];
86 __shared__ double local_probabilities[4];
87 int current_random;
88
89 coordinates2D_t block_origin;
90 //load spins in shared memory
91 for (int i = 0; i < 5; i++){
92
93     block_origin = getBlockOrigin(i);
94     spin_chunk[i][threadIdx.x] = *(spins_d + 64 * (block_origin.x + block_origin.y*gridDim.
95         x) + threadIdx.x);
96
97 //load random seeds in shared memory
98 current_random = *(randoms_d + 64 * (blockIdx.x + blockIdx.y*gridDim.x) + threadIdx.x);
99
100 //load spin flip probabilities to local memory
101 if (threadIdx.x < 3){
102     local_probabilities[threadIdx.x] = *(local_probabilities_d + threadIdx.x);
103 }
```

```
104 __syncthreads();
105 //load 4x4 sub lattices to local memory
106 coordinates2D_t own_sub_lattice;
107 own_sub_lattice.y = threadIdx.x / 8;
108 own_sub_lattice.x = threadIdx.x % 8;
109
110 unsigned short local_sub_lattices[7];
111
112 //load own sub lattice
113 local_sub_lattices[_OWN_] = spin_chunk[_OWN_][own_sub_lattice.x + own_sub_lattice.y * 8];
114
115 //load front sub lattice
116 if (own_sub_lattice.x + 1 < 8){
117     local_sub_lattices[_FRONT_] = spin_chunk[_OWN_][own_sub_lattice.x + 1 + own_sub_lattice.y
118             * 8];
119 }
120 else{
121     local_sub_lattices[_FRONT_] = spin_chunk[_FRONT_][own_sub_lattice.y * 8];
122 }
123
124 //load back sub lattice
125 if (own_sub_lattice.x > 0){
126     local_sub_lattices[_BACK_] = spin_chunk[_OWN_][own_sub_lattice.x - 1 + own_sub_lattice.y
127             * 8];
128 }
129 else{
130     local_sub_lattices[_BACK_] = spin_chunk[_BACK_][7 + own_sub_lattice.y * 8];
131 }
132
133 //load left sub lattice
134 if (own_sub_lattice.y + 1 < 8){
135     local_sub_lattices[_LEFT_] = spin_chunk[_OWN_][own_sub_lattice.x + (own_sub_lattice.y +
136             1) * 8];
137 }
138 else{
139     local_sub_lattices[_LEFT_] = spin_chunk[_LEFT_][own_sub_lattice.x];
140 }
141
142 //load right sub lattice
143 if (own_sub_lattice.y > 0){
144     local_sub_lattices[_RIGHT_] = spin_chunk[_OWN_][own_sub_lattice.x + (own_sub_lattice.y -
145             1) * 8];
146 }
147 else{
148     local_sub_lattices[_RIGHT_] = spin_chunk[_RIGHT_][own_sub_lattice.x + 56];
149 }
150
151 //load upper and lower sub lattice
152
153 coordinates2D_t sub_lattice_origin; //origin of own sublattice.
154 sub_lattice_origin.x = blockIdx.x * 32 + own_sub_lattice.x * 4;
155 sub_lattice_origin.y = blockIdx.y * 32 + own_sub_lattice.y * 4;
156
157 //calculate spin flips for all even points in own sub lattice
158
159 int x_offset;
160 //is sub lattice origin even ?
161 if (((sub_lattice_origin.x + sub_lattice_origin.y) % 2) == 0){
162     //begin with first element in sub lattice
163     x_offset = 0;
164 }
165 else{
166     //begin with second element in sub lattice
167     x_offset = 1;
168 }
```

```
166 unsigned short own_spin;
167 unsigned short neighbour_spins[4];
168 unsigned short parallel;
169 short current_energy;
170 short energy_change;
171 double probability;
172 unsigned short flip_decision;
173 int x;
174 for (int y = 0; y < 4; y++){
175     for (int i = 0; i < 2; i++){
176         x = 2 * i + x_offset;
177         own_spin = (local_sub_lattices[_OWN_] & (1 << (x + y * 4))) >> (x + y * 4);
178
179         //load front spin
180         if (x + 1 < 4){
181             neighbour_spins[0] = (local_sub_lattices[_OWN_] & (1 << (x + 1 + y * 4))) >> (x + 1 + y * 4);
182         }
183         else{
184             neighbour_spins[0] = (local_sub_lattices[_FRONT_] & (1 << (y * 4))) >> (y * 4);
185         }
186
187         //load back spin
188         if (x > 0){
189             neighbour_spins[1] = (local_sub_lattices[_OWN_] & (1 << (x - 1 + y * 4))) >> (x - 1 + y * 4);
190         }
191         else{
192             neighbour_spins[1] = (local_sub_lattices[_BACK_] & (1 << (3 + y * 4))) >> (3 + y * 4);
193         }
194
195         //load left spin
196         if (y + 1 < 4){
197             neighbour_spins[2] = (local_sub_lattices[_OWN_] & (1 << (x + (y + 1) * 4))) >> (x + (y + 1) * 4);
198         }
199         else{
200             neighbour_spins[2] = (local_sub_lattices[_LEFT_] & (1 << x)) >> x;
201         }
202
203         //load right spin
204         if (y > 0){
205             neighbour_spins[3] = (local_sub_lattices[_OWN_] & (1 << (x + (y - 1) * 4))) >> (x + (y - 1) * 4);
206         }
207         else{
208             neighbour_spins[3] = (local_sub_lattices[_RIGHT_] & (1 << (x + 12))) >> (x + 12);
209         }
210
211
212
213
214         //calculate energy change
215         energy_change = 0;
216         for (int i = 0; i < 4; i++){
217             //bit 0: spins antiparallel; bit 1: spins parallel
218             parallel = ~(neighbour_spins[i] ^ own_spin);
219
220             //arithmetical shift!
221             parallel = (parallel << 31) >> 31;
222
223             current_energy = 1;
224             current_energy = current_energy ^ (parallel << 1);
225
226             energy_change = energy_change + current_energy;
```

```
227     }
228
229     energy_change = -2 * energy_change;
230
231     //flip own spin?
232     if (energy_change <= 0){
233         probability = 1;
234     }
235     else{
236         probability = local_probabilities[energy_change / 4];
237     }
238
239     simpleRandomInteger0(current_random);
240
241
242     if ((current_random / 2147483646.0) <= probability){
243         flip_decision = 1;
244     }
245     else{
246         flip_decision = 0;
247     }
248     local_sub_lattices[_OWN_] = local_sub_lattices[_OWN_] ^ (flip_decision << (x + y * 4));
249
250 }
251 x_offset = x_offset ^ 1;
252 }
253
254 //write results back to global memory
255 *(spins_d + 64 * (blockIdx.x + blockIdx.y*gridDim.x) + threadIdx.x) = local_sub_lattices[_OWN_];
256
257 //write last random number back to global memory
258 *(randoms_d + 64 * (blockIdx.x + blockIdx.y*gridDim.x) + threadIdx.x) = current_random;
259
260 }
261 __global__ void metropolis2DPeriodicOdd(unsigned short* spins_d, int* randoms_d, double* local_probabilities_d){
262
263 //each short represents an 4x4 sublattice.
264 __shared__ unsigned short spin_chunk[7][64];
265 __shared__ double local_probabilities[4];
266 int current_random;
267
268 coordinates2D_t block_origin;
269 //load spins in shared memory
270 for (int i = 0; i < 5; i++){
271
272     block_origin = getBlockOrigin(i);
273     spin_chunk[i][threadIdx.x] = *(spins_d + 64 * (block_origin.x + block_origin.y*gridDim.x) + threadIdx.x);
274 }
275 //load random seeds in shared memory
276 current_random = *(randoms_d + 64 * (blockIdx.x + blockIdx.y*gridDim.x) + threadIdx.x);
277
278 if (threadIdx.x < 3){
279     local_probabilities[threadIdx.x] = *(local_probabilities_d + threadIdx.x);
280 }
281
282 __syncthreads();
283 //load 4x4 sub lattices to local memory
284 coordinates2D_t own_sub_lattice;
285 own_sub_lattice.y = threadIdx.x / 8;
286 own_sub_lattice.x = threadIdx.x % 8;
287
288 unsigned short local_sub_lattices[7];
```

```

289 //load own sub lattice
290 local_sub_lattices[_OWN_] = spin_chunk[_OWN_][own_sub_lattice.x + own_sub_lattice.y * 8];
291
292 //load front sub lattice
293 if (own_sub_lattice.x + 1 < 8){
294     local_sub_lattices[_FRONT_] = spin_chunk[_OWN_][own_sub_lattice.x + 1 + own_sub_lattice.y * 8];
295 }
296 else{
297     local_sub_lattices[_FRONT_] = spin_chunk[_FRONT_][own_sub_lattice.y * 8];
298 }
299
300 //load back sub lattice
301 if (own_sub_lattice.x > 0){
302     local_sub_lattices[_BACK_] = spin_chunk[_OWN_][own_sub_lattice.x - 1 + own_sub_lattice.y * 8];
303 }
304 else{
305     local_sub_lattices[_BACK_] = spin_chunk[_BACK_][7 + own_sub_lattice.y * 8];
306 }
307
308 //load left sub lattice
309 if (own_sub_lattice.y + 1 < 8){
310     local_sub_lattices[_LEFT_] = spin_chunk[_OWN_][own_sub_lattice.x + (own_sub_lattice.y + 1) * 8];
311 }
312 else{
313     local_sub_lattices[_LEFT_] = spin_chunk[_LEFT_][own_sub_lattice.x];
314 }
315
316 //load right sub lattice
317 if (own_sub_lattice.y > 0){
318     local_sub_lattices[_RIGHT_] = spin_chunk[_OWN_][own_sub_lattice.x + (own_sub_lattice.y - 1) * 8];
319 }
320 else{
321     local_sub_lattices[_RIGHT_] = spin_chunk[_RIGHT_][own_sub_lattice.x + 56];
322 }
323
324 //load upper and lower sub lattice
325
326 coordinates2D_t sub_lattice_origin; //origin of own sublattice.
327 sub_lattice_origin.x = blockIdx.x * 32 + own_sub_lattice.x * 4;
328 sub_lattice_origin.y = blockIdx.y * 32 + own_sub_lattice.y * 4;
329
330 //calculate spin flips for all even points in own sub lattice
331
332 int x_offset;
333 //is sub lattice origin even ?
334 if (((sub_lattice_origin.x + sub_lattice_origin.y) % 2) == 0){
335     //begin with first element in sub lattice
336     x_offset = 1;
337 }
338 else{
339     //begin with second element in sub lattice
340     x_offset = 0;
341 }
342
343
344 unsigned short own_spin;
345 unsigned short neighbour_spins[4];
346 unsigned short parallel;
347 short current_energy;
348 short energy_change;
349 double probability;

```

```

351 unsigned short flip_decision;
352 int x;
353 for (int y = 0; y < 4; y++){
354     for (int i = 0; i < 2; i++){
355         x = 2 * i + x_offset;
356         own_spin = (local_sub_lattices[_OWN_] & (1 << (x + y * 4))) >> (x + y * 4);
357
358         //load front spin
359         if (x + 1 < 4){
360             neighbour_spins[0] = (local_sub_lattices[_OWN_] & (1 << (x + 1 + y * 4))) >> (x + 1
361             + y * 4);
362         }
363         else{
364             neighbour_spins[0] = (local_sub_lattices[_FRONT_] & (1 << (y * 4))) >> (y * 4);
365         }
366
367         //load back spin
368         if (x > 0){
369             neighbour_spins[1] = (local_sub_lattices[_OWN_] & (1 << (x - 1 + y * 4))) >> (x - 1
370             + y * 4);
371         }
372         else{
373             neighbour_spins[1] = (local_sub_lattices[_BACK_] & (1 << (3 + y * 4))) >> (3 + y *
374             4);
375         }
376
377         //load left spin
378         if (y + 1 < 4){
379             neighbour_spins[2] = (local_sub_lattices[_OWN_] & (1 << (x + (y + 1) * 4))) >> (x +
380             (y + 1) * 4);
381         }
382         else{
383             neighbour_spins[2] = (local_sub_lattices[_LEFT_] & (1 << x)) >> x;
384         }
385
386         //load right spin
387         if (y > 0){
388             neighbour_spins[3] = (local_sub_lattices[_OWN_] & (1 << (x + (y - 1) * 4))) >> (x +
389             (y - 1) * 4);
390         }
391         else{
392             neighbour_spins[3] = (local_sub_lattices[_RIGHT_] & (1 << (x + 12))) >> (x + 12);
393         }
394
395         //calculate energy change
396         energy_change = 0;
397         for (int i = 0; i < 4; i++){
398             //bit 0: spins antiparallel; bit 1: spins parallel
399             parallel = ~(neighbour_spins[i] ^ own_spin);
400
401             //arithmetical shift!
402             parallel = (parallel << 31) >> 31;
403
404             current_energy = 1;
405             current_energy = current_energy ^ (parallel << 1);
406
407             energy_change = energy_change + current_energy;
408         }
409
410         energy_change = -2 * energy_change;
411
412         //flip own spin?
413         if (energy_change <= 0){
414             probability = 1;

```

```

412     }
413     else{
414         probability = local_probabilities[energy_change / 4];
415     }
416
417     simpleRandomInteger0(current_random);
418
419
420     if ((current_random / 2147483646.0) <= probability){
421         flip_decision = 1;
422     }
423     else{
424         flip_decision = 0;
425     }
426     local_sub_lattices[_OWN_] = local_sub_lattices[_OWN_] ^ (flip_decision << (x + y * 4));
427
428 }
429 x_offset = x_offset ^ 1;
430 }
431
432 //write results back to global memory
433 *(spins_d + 64 * (blockIdx.x + blockIdx.y*gridDim.x) + threadIdx.x) = local_sub_lattices[_OWN_];
434
435 //write last random number back to global memory
436 *(randoms_d + 64 * (blockIdx.x + blockIdx.y*gridDim.x) + threadIdx.x) = current_random;
437 }
438
439 __global__ void totalMagnetizationBlockWide2D(unsigned short* spins_d, int*
440 magnetization_block_wide_d){
441
442     __shared__ int magnetization[64];
443     unsigned short own_sub_lattice;
444     own_sub_lattice = *(spins_d + 64 * (blockIdx.x + blockIdx.y*gridDim.x) + threadIdx.x);
445
446
447     //sum up magnetization of own sub lattice.
448     int current_magn = 0;
449     int sign;
450     for (int i = 0; i < 16; i++){
451         sign = (((~(own_sub_lattice & (1 << i)) >> i) << 31) >> 31);
452         current_magn = current_magn + (1 | sign);
453     }
454     magnetization[threadIdx.x] = current_magn;
455     __syncthreads();
456     //half warps sums up magnetization
457     if (threadIdx.x % 16 == 0){
458         for (int i = 1; i < 16; i++){
459             magnetization[threadIdx.x] = magnetization[threadIdx.x] + magnetization[threadIdx.x + i];
460         }
461     }
462     __syncthreads();
463     if (threadIdx.x == 0){
464         for (int i = 1; i < 4; i++){
465             magnetization[0] = magnetization[0] + magnetization[i * 16];
466         }
467
468     //write result to global memory
469     *(magnetization_block_wide_d + blockIdx.x + blockIdx.y*gridDim.x) = magnetization[0];
470 }
471 }
472 }
```

8.2.1.6 routines3D.cu

```
1 #include "cuda_runtime.h"
2 #include "device_launch_parameters.h"
3
4 #include "routines3D.hpp"
5 #include "Lattice.hpp"
6 #include "rng.hpp"
7
8 struct coordinates3D_t{
9     int x;
10    int y;
11    int z;
12 };
13
14 /*
15 computes block origin for own or neighbour blocks.
16
17 local_block is element of {_OWN_, _LEFT_, _RIGHT_, _FRONT_, _BACK_, _UPPER_, _LOWER_}.
18 the value of local_block specifies the block relative to own block.
19 */
20 __device__ inline coordinates3D_t getBlockOrigin(int local_block){
21
22 coordinates3D_t local_block_position;
23 local_block_position.x = blockIdx.x;
24 local_block_position.y = blockIdx.y;
25 local_block_position.z = blockIdx.z;
26
27 int x = blockIdx.x;
28 int y = blockIdx.y;
29 int z = blockIdx.z;
30
31 switch (local_block){
32
33 case _FRONT_:
34     //regard boundary conditions
35     if (x + 1 > gridDim.x - 1){
36         local_block_position.x = 0;
37     }
38     else{
39         local_block_position.x = x + 1;
40     }
41 break;
42
43 case _BACK_:
44     //regard boundary conditions
45     if (x - 1 < 0){
46         local_block_position.x = gridDim.x - 1;
47     }
48     else{
49         local_block_position.x = x - 1;
50     }
51 break;
52
53 case _LEFT_:
54     //regard boundary conditions
55     if (y + 1 > gridDim.y - 1){
56         local_block_position.y = 0;
57     }
58     else{
```

```
59     local_block_position.y = y + 1;
60 }
61 break;
62
63 case _RIGHT_:
64 //regard boundary conditions
65 if (y - 1 < 0){
66     local_block_position.y = gridDim.y - 1;
67 }
68 else{
69     local_block_position.y = y - 1;
70 }
71 break;
72
73 case _UPPER_:
74 //regard boundary conditions
75 if (z + 1 > gridDim.z - 1){
76     local_block_position.z = 0;
77 }
78 else{
79     local_block_position.z = z + 1;
80 }
81 break;
82
83 case _LOWER_:
84 //regard boundary conditions
85 if (z - 1 < 0){
86     local_block_position.z = gridDim.z - 1;
87 }
88 else{
89     local_block_position.z = z - 1;
90 }
91 break;
92 }
93
94 return local_block_position;
95 }
96
97
98
99
100
101 __global__ void metropolis3DPeriodicEven(unsigned short* spins_d, int* randoms_d, double
102 * local_probabilities_d){
103
104
105 //each short represents an 4x4 sublattice.
106 __shared__ unsigned short spin_chunk[7][64];
107 __shared__ double local_probabilities[4];
108 int current_random;
109
110 coordinates3D_t block_origin;
111 //load spins in shared memory
112 for (int i = 0; i < 7; i++){
113
114     block_origin = getBlockOrigin(i);
115     spin_chunk[i][threadIdx.x] = *(spins_d + 64 * (block_origin.x + block_origin.y*gridDim.
116         x + block_origin.z*gridDim.x*gridDim.y) + threadIdx.x);
117
118 //load random seeds in shared memory
119 current_random = *(randoms_d + 64 * (blockIdx.x + blockIdx.y*gridDim.x + blockIdx.z*
120         gridDim.x*gridDim.y) + threadIdx.x);
121
122 if (threadIdx.x < 4){
123     local_probabilities[threadIdx.x] = *(local_probabilities_d + threadIdx.x);
```

```
122 }
123 __syncthreads();
124 //load 4x4 sub lattices to local memory
125 coordinates3D_t own_sub_lattice;
126 own_sub_lattice.z = blockIdx.z;
127 own_sub_lattice.y = threadIdx.x / 8;
128 own_sub_lattice.x = threadIdx.x % 8;
129
130 unsigned short local_sub_lattices[7];
131
132 //load own sub lattice
133 local_sub_lattices[_OWN_] = spin_chunk[_OWN_][own_sub_lattice.x + own_sub_lattice.y * 8];
134
135 //load front sub lattice
136 if (own_sub_lattice.x + 1 < 8){
137     local_sub_lattices[_FRONT_] = spin_chunk[_OWN_][own_sub_lattice.x + 1 + own_sub_lattice.y * 8];
138 }
139 else{
140     local_sub_lattices[_FRONT_] = spin_chunk[_FRONT_][own_sub_lattice.y * 8];
141 }
142
143 //load back sub lattice
144 if (own_sub_lattice.x > 0){
145     local_sub_lattices[_BACK_] = spin_chunk[_OWN_][own_sub_lattice.x - 1 + own_sub_lattice.y * 8];
146 }
147 else{
148     local_sub_lattices[_BACK_] = spin_chunk[_BACK_][7 + own_sub_lattice.y * 8];
149 }
150
151 //load left sub lattice
152 if (own_sub_lattice.y + 1 < 8){
153     local_sub_lattices[_LEFT_] = spin_chunk[_OWN_][own_sub_lattice.x + (own_sub_lattice.y + 1) * 8];
154 }
155 else{
156     local_sub_lattices[_LEFT_] = spin_chunk[_LEFT_][own_sub_lattice.x];
157 }
158
159 //load right sub lattice
160 if (own_sub_lattice.y > 0){
161     local_sub_lattices[_RIGHT_] = spin_chunk[_OWN_][own_sub_lattice.x + (own_sub_lattice.y - 1) * 8];
162 }
163 else{
164     local_sub_lattices[_RIGHT_] = spin_chunk[_RIGHT_][own_sub_lattice.x + 56];
165 }
166
167 //load upper and lower sub lattice
168 local_sub_lattices[_UPPER_] = spin_chunk[_UPPER_][own_sub_lattice.x + own_sub_lattice.y * 8];
169 local_sub_lattices[_LOWER_] = spin_chunk[_LOWER_][own_sub_lattice.x + own_sub_lattice.y * 8];
170
171 coordinates3D_t sub_lattice_origin; //origin of own sublattice.
172 sub_lattice_origin.x = blockIdx.x* 32 + own_sub_lattice.x * 4;
173 sub_lattice_origin.y = blockIdx.y* 32 + own_sub_lattice.y * 4;
174 sub_lattice_origin.z = own_sub_lattice.z;
175
176 //calculate spin flips for all even points in own sub lattice
177
178 int x_offset;
179 //is sub lattice origin even ?
180 if (((sub_lattice_origin.x + sub_lattice_origin.y + sub_lattice_origin.z) % 2) == 0){
```

```
182 //begin with first element in sub lattice
183 x_offset = 0;
184 }
185 else{
186 //begin with second element in sub lattice
187 x_offset = 1;
188 }
189
190
191 unsigned short own_spin;
192 unsigned short neighbour_spins[6];
193 unsigned short parallel;
194 short current_energy;
195 short energy_change;
196 double probability;
197 unsigned short flip_decision;
198 int x;
199 for (int y = 0; y < 4; y++){
200 for (int i = 0; i < 2; i++){
201 x = 2*i + x_offset;
202 own_spin = (local_sub_lattices[_OWN_] & (1 << (x + y * 4))) >> (x + y * 4);
203
204 //load front spin
205 if (x + 1 < 4){
206 neighbour_spins[0] = (local_sub_lattices[_OWN_] & (1 << (x + 1 + y * 4))) >> (x + 1 + y * 4);
207 }
208 else{
209 neighbour_spins[0] = (local_sub_lattices[_FRONT_] & (1 << (y * 4))) >> (y * 4);
210 }
211
212 //load back spin
213 if (x > 0){
214 neighbour_spins[1] = (local_sub_lattices[_OWN_] & (1 << (x - 1 + y * 4))) >> (x - 1 + y * 4);
215 }
216 else{
217 neighbour_spins[1] = (local_sub_lattices[_BACK_] & (1 << (3 + y * 4))) >> (3 + y * 4);
218 }
219
220 //load left spin
221 if (y + 1 < 4){
222 neighbour_spins[2] = (local_sub_lattices[_OWN_] & (1 << (x + (y + 1) * 4))) >> (x + (y + 1) * 4);
223 }
224 else{
225 neighbour_spins[2] = (local_sub_lattices[_LEFT_] & (1 << x)) >> x;
226 }
227
228 //load right spin
229 if (y > 0){
230 neighbour_spins[3] = (local_sub_lattices[_OWN_] & (1 << (x + (y - 1) * 4))) >> (x + (y - 1) * 4);
231 }
232 else{
233 neighbour_spins[3] = (local_sub_lattices[_RIGHT_] & (1 << (x + 12))) >> (x + 12);
234 }
235
236 //load upper spin
237 neighbour_spins[4] = (local_sub_lattices[_UPPER_] & (1 << (x + y * 4))) >> (x + y * 4);
238 neighbour_spins[5] = (local_sub_lattices[_LOWER_] & (1 << (x + y * 4))) >> (x + y * 4);
239
240 //calculate energy change
```

```

241     energy_change = 0;
242     for (int i = 0; i < 6; i++){
243         //bit 0: spins antiparallel; bit 1: spins parallel
244         parallel = ~(neighbour_spins[i] ^ own_spin);
245
246         //arithmetical shift!
247         parallel = (parallel << 31) >> 31;
248
249         current_energy = 1;
250         current_energy = current_energy ^ (parallel << 1);
251
252         energy_change = energy_change + current_energy;
253     }
254
255     energy_change = -2 * energy_change;
256
257     //flip own spin?
258     if (energy_change <= 0){
259         probability = 1;
260     }
261     else{
262         probability = local_probabilities[energy_change / 4];
263     }
264
265     simpleRandomInteger0(current_random);
266
267
268     if ((current_random / 2147483647.0) <= probability){
269         flip_decision = 1;
270     }
271     else{
272         flip_decision = 0;
273     }
274     local_sub_lattices[_OWN_] = local_sub_lattices[_OWN_] ^ (flip_decision << (x + y * 4));
275
276 }
277 x_offset = x_offset ^ 1;
278 }
279
280 //write results back to global memory
281 *(spins_d + 64 * (blockIdx.x + blockIdx.y*gridDim.x + blockIdx.z*gridDim.x*gridDim.y) +
282     threadIdx.x) = local_sub_lattices[_OWN_];
283
284 //write last random number back to global memory
285 *(randoms_d + 64 * (blockIdx.x + blockIdx.y*gridDim.x + blockIdx.z*gridDim.x*gridDim.y) +
286     threadIdx.x) = current_random;
287
288 __global__ void metropolis3DPeriodic0d(unsigned short* spins_d, int* randoms_d, double*
289     local_probabilities_d){
290
291     //each short represents an 4x4 sublattice.
292     __shared__ unsigned short spin_chunk[7][64];
293     __shared__ double local_probabilities[4];
294     int current_random;
295
296     coordinates3D_t block_origin;
297     //load spins in shared memory
298     for (int i = 0; i < 7; i++){
299
300         block_origin = getBlockOrigin(i);
301         spin_chunk[i][threadIdx.x] = *(spins_d + 64 * (block_origin.x + block_origin.y*gridDim.
302             x + block_origin.z*gridDim.x*gridDim.y) + threadIdx.x);
303     }
304     //load random seeds in shared memory

```

```
302 current_random = *(randoms_d + 64 * (blockIdx.x + blockIdx.y*gridDim.x + blockIdx.z*
303     gridDim.x*gridDim.y) + threadIdx.x);
304
305 if (threadIdx.x < 4){
306     local_probabilities[threadIdx.x] = *(local_probabilities_d + threadIdx.x);
307 }
308 __syncthreads();
309
310 //load 4x4 sub lattices to local memory
311 coordinates3D_t own_sub_lattice;
312 own_sub_lattice.z = blockIdx.z;
313 own_sub_lattice.y = threadIdx.x / 8;
314 own_sub_lattice.x = threadIdx.x % 8;
315
316 unsigned short local_sub_lattices[7];
317
318 //load own sub lattice
319 local_sub_lattices[_OWN_] = spin_chunk[_OWN_][own_sub_lattice.x + own_sub_lattice.y * 8];
320
321 //load front sub lattice
322 if (own_sub_lattice.x + 1 < 8){
323     local_sub_lattices[_FRONT_] = spin_chunk[_OWN_][own_sub_lattice.x + 1 + own_sub_lattice
324         .y * 8];
325 }
326 else{
327     local_sub_lattices[_FRONT_] = spin_chunk[_FRONT_][own_sub_lattice.y * 8];
328 }
329
330 //load back sub lattice
331 if (own_sub_lattice.x > 0){
332     local_sub_lattices[_BACK_] = spin_chunk[_OWN_][own_sub_lattice.x - 1 + own_sub_lattice.
333         y * 8];
334 }
335
336 //load left sub lattice
337 if (own_sub_lattice.y + 1 < 8){
338     local_sub_lattices[_LEFT_] = spin_chunk[_OWN_][own_sub_lattice.x + (own_sub_lattice.y +
339         1) * 8];
340 }
341 else{
342     local_sub_lattices[_LEFT_] = spin_chunk[_LEFT_][own_sub_lattice.x];
343 }
344
345 //load right sub lattice
346 if (own_sub_lattice.y > 0){
347     local_sub_lattices[_RIGHT_] = spin_chunk[_OWN_][own_sub_lattice.x + (own_sub_lattice.y -
348         1) * 8];
349 }
350 else{
351     local_sub_lattices[_RIGHT_] = spin_chunk[_RIGHT_][own_sub_lattice.x + 56];
352 }
353
354 //load upper and lower sub lattice
355 local_sub_lattices[_UPPER_] = spin_chunk[_UPPER_][own_sub_lattice.x + own_sub_lattice.y *
356     8];
357 local_sub_lattices[_LOWER_] = spin_chunk[_LOWER_][own_sub_lattice.x + own_sub_lattice.y *
358     8];
359
360 coordinates3D_t sub_lattice_origin; //origin of own sublattice.
361 sub_lattice_origin.x = blockIdx.x * 32 + own_sub_lattice.x * 4;
362 sub_lattice_origin.y = blockIdx.y * 32 + own_sub_lattice.y * 4;
363 sub_lattice_origin.z = own_sub_lattice.z;
```

```
361 //calculate spin flips for all even points in own sub lattice
362
363 int x_offset;
364 //is sub lattice origin even ?
365 if (((sub_lattice_origin.x + sub_lattice_origin.y + sub_lattice_origin.z) % 2) == 0){
366     //begin with first element in sub lattice
367     x_offset = 1;
368 }
369 else{
370     //begin with second element in sub lattice
371     x_offset = 0;
372 }
373
374
375 unsigned short own_spin;
376 unsigned short neighbour_spins[6];
377 unsigned short parallel;
378 short current_energy;
379 short energy_change;
380 double probability;
381 unsigned short flip_decision;
382 int x;
383 for (int y = 0; y < 4; y++){
384     for (int i = 0; i < 2; i++){
385         x = 2 * i + x_offset;
386         own_spin = (local_sub_lattices[_OWN_] & (1 << (x + y * 4))) >> (x + y * 4);
387
388         //load front spin
389         if (x + 1 < 4){
390             neighbour_spins[0] = (local_sub_lattices[_OWN_] & (1 << (x + 1 + y * 4))) >> (x + 1 + y * 4);
391         }
392         else{
393             neighbour_spins[0] = (local_sub_lattices[_FRONT_] & (1 << (y * 4))) >> (y * 4);
394         }
395
396         //load back spin
397         if (x > 0){
398             neighbour_spins[1] = (local_sub_lattices[_OWN_] & (1 << (x - 1 + y * 4))) >> (x - 1 + y * 4);
399         }
400         else{
401             neighbour_spins[1] = (local_sub_lattices[_BACK_] & (1 << (3 + y * 4))) >> (3 + y * 4);
402         }
403
404         //load left spin
405         if (y + 1 < 4){
406             neighbour_spins[2] = (local_sub_lattices[_OWN_] & (1 << (x + (y + 1) * 4))) >> (x + (y + 1) * 4);
407         }
408         else{
409             neighbour_spins[2] = (local_sub_lattices[_LEFT_] & (1 << x)) >> x;
410         }
411
412         //load right spin
413         if (y > 0){
414             neighbour_spins[3] = (local_sub_lattices[_OWN_] & (1 << (x + (y - 1) * 4))) >> (x + (y - 1) * 4);
415         }
416         else{
417             neighbour_spins[3] = (local_sub_lattices[_RIGHT_] & (1 << (x + 12))) >> (x + 12);
418         }
419
420         //load upper spin
```

```
421     neighbour_spins[4] = (local_sub_lattices[_UPPER_] & (1 << (x + y * 4))) >> (x + y * 4);
422     neighbour_spins[5] = (local_sub_lattices[_LOWER_] & (1 << (x + y * 4))) >> (x + y * 4);
423
424     //calculate energy change
425     energy_change = 0;
426     for (int i = 0; i < 6; i++){
427         //bit 0: spins antiparallel; bit 1: spins parallel
428         parallel = ~(neighbour_spins[i] ^ own_spin);
429
430         //arithmetical shift!
431         parallel = (parallel << 31) >> 31;
432
433         current_energy = 1;
434         current_energy = current_energy ^ (parallel << 1);
435
436         energy_change = energy_change + current_energy;
437     }
438
439     energy_change = -2 * energy_change;
440
441     //flip own spin?
442     if (energy_change <= 0){
443         probability = 1;
444     }
445     else{
446         probability = local_probabilities[energy_change / 4];
447     }
448
449     simpleRandomInteger0(current_random);
450
451
452     if ((current_random / 2147483647.0) <= probability){
453         flip_decision = 1;
454     }
455     else{
456         flip_decision = 0;
457     }
458     local_sub_lattices[_OWN_] = local_sub_lattices[_OWN_] ^ (flip_decision << (x + y * 4));
459
460 }
461 x_offset = x_offset ^ 1;
462 }
463
464 //write results back to global memory
465 *(spins_d + 64 * (blockIdx.x + blockIdx.y*gridDim.x + blockIdx.z*gridDim.x*gridDim.y) +
466     threadIdx.x) = local_sub_lattices[_OWN_];
467
468 //write last random number back to global memory
469 *(randoms_d + 64 * (blockIdx.x + blockIdx.y*gridDim.x + blockIdx.z*gridDim.x*gridDim.y) +
470     threadIdx.x) = current_random;
471
472
473
474 __global__ void totalMagnetizationBlockWide3D(unsigned short* spins_d, int*
475                                                 magnetization_block_wide_d){
476
477     __shared__ int magnetization[64];
478     unsigned short own_sub_lattice;
479     own_sub_lattice = *(spins_d + 64 * (blockIdx.x + blockIdx.y*gridDim.x + blockIdx.z*
480                           gridDim.x*gridDim.y) + threadIdx.x);
481
482
483     //sum up magnetization of own sub lattice.
```

```

480 int current_magn = 0;
481 int sign;
482 for (int i = 0; i < 16; i++){
483     sign = ((~(own_sub_lattice & (1 << i)) >> i) << 31) >> 31);
484     current_magn = current_magn + (1 | sign);
485 }
486 magnetization[threadIdx.x] = current_magn;
487 __syncthreads();
488 //half warps sums up magnetization
489 if (threadIdx.x % 16 == 0){
490     for (int i = 1; i < 16; i++){
491         magnetization[threadIdx.x] = magnetization[threadIdx.x] + magnetization[threadIdx.x + i];
492     }
493 }
494 __syncthreads();
495 if (threadIdx.x == 0){
496     for (int i = 1; i < 4; i++){
497         magnetization[0] = magnetization[0] + magnetization[i * 16];
498     }
499
500 //write result to global memory
501 *(magnetization_block_wide_d + blockIdx.x + blockIdx.y*gridDim.x + blockIdx.z*gridDim.x
502 *gridDim.y) = magnetization[0];
503 }
504 }
```

8.2.1.7 Lattice.cu

```

1 #include "cuda_runtime.h"
2 #include "device_launch_parameters.h"
3
4 #include "Lattice.hpp"
5 #include "routines3D.hpp"
6 #include "routines2D.hpp"
7
8 #include <iostream>
9
10 //#include "routines2D.hpp"
11
12 using namespace std;
13
14 void Lattice::updateSystem(){
15
16 if (dimension == _ISING_2D_ && boundary == _PERIODIC_){
17     dim3 blocks(gridDimX, gridDimY);
18
19     metropolis2DPeriodicEven<<<blocks, 64>>>(spins_d, randoms_d, local_probabilities_d);
20     metropolis2DPeriodicOdd<<<blocks, 64>>>(spins_d, randoms_d, local_probabilities_d);
21     cudaDeviceSynchronize();
22 }
23 else if (dimension == _ISING_3D_ && boundary == _PERIODIC_){
24     dim3 blocks(gridDimX, gridDimY, gridDimZ);
25
26     metropolis3DPeriodicEven<<<blocks, 64>>>(spins_d, randoms_d, local_probabilities_d);
27     metropolis3DPeriodicOdd<<<blocks, 64>>>(spins_d, randoms_d, local_probabilities_d);
28     cudaDeviceSynchronize();
29 }
30
31 }
```

```
33 void Lattice::initializeRandoms(){
34
35
36 if(dimension == _ISING_2D_){
37     for (int i = 0; i < 64 * gridDimX*gridDimY; i++){
38         do{
39             randoms_h[i] = (int) ((random_generator->getRandomInteger() >> 1);
40         } while (randoms_h[i] == 0);
41     }
42     cudaMemcpy(randoms_d, randoms_h, 64 * gridDimX*gridDimY*sizeof(unsigned int),
43                cudaMemcpyHostToDevice);
44 } else if (dimension == _ISING_3D_){
45     for (int i = 0; i < 64 * gridDimX*gridDimY*gridDimZ; i++){
46         do{
47             randoms_h[i] = (int) ((random_generator->getRandomInteger() >> 1);
48         } while (randoms_h[i] == 0);
49     }
50     cudaMemcpy(randoms_d, randoms_h, 64 * gridDimX*gridDimY*gridDimZ*sizeof(unsigned int),
51                cudaMemcpyHostToDevice);
52 }
53 }
54
55 int Lattice::observeTotalMagnetization(){
56     int total_magnetization = 0;
57     if (dimension == _ISING_2D_){
58         dim3 blocks(gridDimX, gridDimY);
59         totalMagnetizationBlockWide2D <<<blocks, 64 >>>(spins_d, magnetization_block_wide_d);
60         cudaMemcpy(magnetization_block_wide, magnetization_block_wide_d, gridDimX*gridDimY*
61                    sizeof(int), cudaMemcpyDeviceToHost);
62         for (int x = 0; x < gridDimX; x++){
63             for (int y = 0; y < gridDimY; y++){
64                 total_magnetization = total_magnetization + *(magnetization_block_wide + x + y*
65                     gridDimX);
66             }
67         }
68     }
69     else if (dimension == _ISING_3D_){
70         dim3 blocks(gridDimX, gridDimY, gridDimZ);
71         totalMagnetizationBlockWide3D <<<blocks, 64>>>(spins_d, magnetization_block_wide_d);
72         cudaMemcpy(magnetization_block_wide, magnetization_block_wide_d, gridDimX*gridDimY*gridDimZ*sizeof(int), cudaMemcpyDeviceToHost);
73         for (int x = 0; x < gridDimX; x++){
74             for (int y = 0; y < gridDimY; y++){
75                 for (int z = 0; z < gridDimZ; z++){
76                     total_magnetization = total_magnetization + *(magnetization_block_wide + x + y*gridDimX + z*gridDimX*gridDimY);
77                 }
78             }
79         }
80     }
81 }
82
83 return total_magnetization;
84
85 }
```

8.2.2 Demon-Algorithmus

Die Implementierung des Demon-Algorithmus besteht aus insgesamt fünf Header- und drei Source-Dateien.

8.2.2.1 multint.hpp

```
1 #ifndef MULTINT_HPP
2 #define MULTINT_HPP
3 #include "cuda_runtime.h"
4 #include "device_launch_parameters.h"
5 /*
6 32 7-bit signed integers.
7 i-th bits represents an integer in the range from
8 -64 to 63
9 */
10 struct multint7_t{
11     unsigned int bit[6];
12     unsigned int sign;
13 };
14
15 /*
16 32 16-bit signed integers.
17 i-th bits represents an integer in the range from
18 -65536 to 65535
19 */
20 struct multint17_t{
21     unsigned int bit[16];
22     unsigned int sign;
23 };
24
25 __device__ const struct multint7_t multint7_0 = { { 0, 0, 0, 0, 0, 0 }, 0 };
26
27 __device__ const struct multint17_t multint17_0 = { { 0, 0, 0, 0, 0, 0, 0, 0, 0, 0, 0, 0, 0, 0, 0, 0 }, 0 };
28
29 __host__ __device__ inline multint7_t operator+ (multint7_t& a, multint7_t& b){
30
31     multint7_t result;
32     unsigned int carry = 0;
33
34     for (int i = 0; i < 6; i++){
35         result.bit[i] = (a.bit[i] ^ b.bit[i]) ^ carry;
36         carry = (a.bit[i] & b.bit[i]) | (a.bit[i] & carry) | (b.bit[i] & carry);
37     }
38     result.sign = (a.sign ^ b.sign) ^ carry;
39
40     return result;
41 }
42
43
44
45 __host__ __device__ inline multint17_t operator+ (multint17_t& a, multint17_t& b){
46
47     multint17_t result;
48     unsigned int carry = 0;
49
50     for (int i = 0; i < 16; i++){
51         result.bit[i] = (a.bit[i] ^ b.bit[i]) ^ carry;
52         carry = (a.bit[i] & b.bit[i]) | (a.bit[i] & carry) | (b.bit[i] & carry);
53     }
54     result.sign = (a.sign ^ b.sign) ^ carry;
55
56     return result;
```

```

57 }
58
59
60 --host__ __device__ inline multint17_t castMultint(const multint7_t& a){
61
62     multint17_t result = { { a.bit[0], a.bit[1], a.bit[2], a.bit[3], a.bit[4], a.bit[5], a.
63         sign, a.sign, a.sign, a.sign, a.sign, a.sign, a.sign, a.sign, a.sign, a.sign }, a.
64         sign };
65
66
67
68 --host__ __device__ inline int getNumber(multint7_t& a, int index){
69     unsigned int digit_mask = 1 << index;
70     unsigned int bit_mask = ~63; // 1.....11000000
71
72     int number = (a.sign & digit_mask) >> index;
73     /*
74      arithmetical right shift for signed variable,
75      maybe not the best solution, could depend on used c++ system.
76     */
77     number = (number << 31) >> 31;
78     number = number & bit_mask;
79
80     for (int i = 0; i < 6; i++){
81         number = number ^ (((a.bit[i] & digit_mask) >> index) << i);
82     }
83     return number;
84 }
85
86 --host__ __device__ inline int getNumber(multint17_t& a, int index){
87     unsigned int digit_mask = 1 << index;
88     unsigned int bit_mask = ~65535; // 1...110000000000000000000000
89
90     int number = (a.sign & digit_mask) >> index;
91     /*
92      arithmetical right shift for signed variable,
93      maybe not the best solution, could depend on used c++ system.
94     */
95     number = (number << 31) >> 31;
96     number = number & bit_mask;
97
98     for (int i = 0; i < 16; i++){
99         number = number ^ (((a.bit[i] & digit_mask) >> index) << i);
100    }
101   return number;
102 }
103
104
105 #endif

```

8.2.2.2 rng.hpp

```

1 #ifndef RNG_HPP
2 #define RNG_HPP
3 #define PI 3.1415926535897932384626433832795
4 #define PI2 6.2831853071795864769252867665590
5 #define SQRTPI2 2.5066282746310005024157652848110
6
7 #include "cuda_runtime.h"
8 #include "device_launch_parameters.h"

```

```
9 #include <math.h>
10 /*
11 linear congruential generator with
12 x_{n+1} = (a*x_n + b) % m
13 and x_0 = seed
14
15 for the double values the integervalue is divided with m.
16 */
17
18
19 __host__ __device__ inline void simpleRandomInteger0(int& current_random){
20 current_random = 16807 * (current_random % 127773) - 2836 * (current_random / 127773);
21 if (current_random < 0){
22     current_random += 2147483647;
23 }
24 }
25
26
27 __host__ __device__ inline void simpleRandomInteger1(int& current_random){
28 current_random = 48721 * (current_random % 44488) - 3399 * (current_random / 44488);
29 if (current_random < 0){
30     current_random += 2147483647;
31 }
32 }
33
34 /*
35 MARSAGLIA-ZAMAN generator (subtract-with-borrow generator).
36 generates random integers between 0 and 2^32-5 OR random doubles between 0 and 1.
37
38 r=43; s=22; b = 2^32 - 5
39 */
40 class MarsagliaZamanGenerator{
41 private:
42
43     unsigned int values[43];
44     int lower_index = 0; //n-43
45     int higher_index = 21; //n-22
46     int c;
47 public:
48
49     MarsagliaZamanGenerator(unsigned int* start_values, int c){
50
51         for (int i = 0; i < 43; i++){
52             this->values[i] = start_values[i];
53         }
54         this->c = c;
55     }
56
57 }
58
59 /*
60 default init.
61 */
62 MarsagliaZamanGenerator(){
63     int current_random = 3141592;
64     for (int i = 0; i < 43; i++){
65         simpleRandomInteger0(current_random);
66         this->values[i] = current_random;
67     }
68
69     this->c = 0;
70 }
71     unsigned int getRandomInteger(){
72
73     if (values[higher_index] >= values[lower_index] + c){
74         values[lower_index] = (values[higher_index] - values[lower_index]) - c;
```

```
75     c = 0;
76 }
77 else{
78     values[lower_index] = 4294967291 - ((values[lower_index] + c) - values[higher_index]);
79     c = 1;
80 }
81 unsigned int rvalue = values[lower_index];
82
83
84 lower_index = (lower_index + 1) % 43;
85 higher_index = (higher_index + 1) % 43;
86
87 return rvalue;
88 }
89
90 /*
91 compute random double between 0...1
92 */
93 double getRandomDouble(){
94
95 if (values[higher_index] >= values[lower_index] + c){
96     values[lower_index] = (values[higher_index] - values[lower_index]) - c;
97     c = 0;
98 }
99 else{
100    values[lower_index] = 4294967291 - ((values[lower_index] + c) - values[higher_index]);
101   c = 1;
102 }
103 int rvalue = values[lower_index];
104
105
106 lower_index = (lower_index + 1) % 43;
107 higher_index = (higher_index + 1) % 43;
108
109 //this is necessary to suppress the sign for the result of the return value.
110 rvalue = rvalue & ~(1 << 31);
111
112 return (double)(rvalue / ((double)~(1 << 31)));
113 }
114 }
115
116 /*
117 generate random standard normal variates using the box-muller-transformation.
118 (see G. E. P. Box and Mervin E. Muller, Ann. Math. Statist. Volume 29, Number 2 (1958),
119      610-611.)
120 */
121 double getRandomStandardNormal(){
122
123 double value1 = getRandomDouble();
124 double value2 = getRandomDouble();
125
126 return sqrt(-2 * log(value1))*cos(PI2*value2);
127 }
128 };
129
130
131 /*
132 binomial random number generator. Using the Ahrens and Dieters Algorithm BB( Computing
133      12, 223-246 (1974))
134 */
135 class BinomialGenerator{
136 private:
137 MarsagliaZamanGenerator* random_generator;
138 int n;
139 double p;
```

```
139 /*  
140 beta distribution with a=b > 1.5  
141 */  
142 inline double betaDist(double a){  
143     double A = a - 1;  
144     double t = sqrt(A + A);  
145     double x;  
146     double s;  
147     double s4;  
148     double u;  
149     do{  
150         do{  
151             s = random_generator->getRandomStandardNormal();  
152             s4 = s*s*s*s;  
153             x = 0.5*(1 + (s / t));  
154         } while (x < 0 || x>1);  
155         u = random_generator->getRandomDouble();  
156         if (u <= 1 - s4 / (8 * a - 12)){  
157             return x;  
158         }  
159     }  
160     } while (u >= 1 - s4 / (8 * a - 8) + 0.5*(s4 / (8 * a - 8))*(s4 / (8 * a - 8)));  
161 } while (log(u) > A*log(4 * x*(1 - x)) + (s*s) / 2);  
162 return x;  
163 }  
164 public:  
165 BinomialGenerator(MarsagliaZamanGenerator* random_generator, int n, double p){  
166     this->random_generator = random_generator;  
167     this->n = n;  
168     this->p = p;  
169 }  
170  
171 unsigned int getBinomialInteger(){  
172     int m = n;  
173     int k = 0;  
174     double a;  
175     double s;  
176     double q = p;  
177  
178     do{  
179         if (m % 2 == 0){  
180             m = m - 1;  
181  
182             if (random_generator->getRandomDouble() <= q){  
183                 k = k + 1;  
184             }  
185         }  
186         a = (double)(m + 1) / 2.0;  
187         s = betaDist(a);  
188         if (s <= q){  
189             k = k + a;  
190             q = (q - s) / (1 - s);  
191         }  
192         else{  
193             q = q / s;  
194         }  
195         m = (int) a - 1;  
196     } while (m > 32);  
197     int m2 = 0;  
198     int j = 0;
```

```

205 double u;
206 do{
207     u = random_generator->getRandomDouble();
208     if (u <= q){
209         j = j + 1;
210     }
211     m2 = m2 + 1;
212 } while (m2 < m);
213 return k + j;
214 }
215
216 };
217
218 #endif

```

8.2.2.3 routines2D.hpp

```

1 #include "cuda_runtime.h"
2 #include "device_launch_parameters.h"
3
4
5 #ifndef ROUTINES2D_HPP
6 #define ROUTINES2D_HPP
7
8 #include "Lattice.hpp"
9
10 struct coordinates2D_t{
11     int x;
12     int y;
13 };
14
15 /**************************************************************************
16 device functions and cuda kernels for a 2D lattice.
17 **************************************************************************/
18
19 /*
20 calculates thread index to even 2D coordinates. (even means: (x+y)%2 == 0)
21 index is always the thread index
22
23 for a increasing index the even coordinates along the positive direction of the x-axis
24 are counted.
25 reaching 32 counts in positive x-direction, a jump in the positive y-direction occurs.
26 */
27 __device__ inline coordinates2D_t indexToCoordinates2DEven(int index);
28
29 /*
30 calculates thread index to odd 2D coordinates. (odd means: (x+y)%2 != 0)
31 index is always the thread index.
32
33 for a increasing index the odd coordinates along the positive direction of the x-axis are
34 counted.
35 reaching 32 counts in positive x-direction, a jump in the positive y-direction occurs.
36 */
37 __device__ inline coordinates2D_t indexToCoordinates2DOdd(int index);
38
39 __device__ inline coordinates2D_t getNeighbourPosition2D(coordinates2D_t own_position,
40             int neighbour, int L1, int L2);
41
42 //load multispin at position from spins_d

```

```
43 --device__ inline unsigned int getMultispin2D(unsigned int* spins_d, const
44     coordinates2D_t& position, int L1, int L2);
45 --device__ inline void writeMultispin2D(unsigned int multispin, unsigned int* spins_d,
46     const coordinates2D_t& position, int L1, int L2);
47 //load demons at position from demons_d
48 --device__ inline demons3_t getDemons2D(unsigned int* demons_d, const coordinates2D_t&
49     position, int L1, int L2);
50 --device__ inline void writeDemons2D(demons3_t demons, unsigned int* demons_d, const
51     coordinates2D_t& position, int L1, int L2);
52 /*
53 calculates the energy between the local energy between own_multispin and
54 neighbour_multispins.
55 */
56 --device__ inline multint7_t localSpinEnergy2D(unsigned int own_multispin, unsigned int*
57     neighbour_multispins);
58 /*
59 transforms thread position to even lattice site and loads own multispin and
60 neighbouring multispins including own demons.
61
62 neighbour_multispins[0]: front multispin
63 neighbour_multispins[1]: back multispin
64 neighbour_multispins[2]: left multispin
65 neighbour_multispins[3]: right multispin
66 */
67 --device__ inline void getEnvironment2DEven(unsigned int* spins_d, unsigned int* demons_d,
68     , coordinates2D_t& own_position, unsigned int& own_multispin, demons3_t& own_demons,
69     unsigned int* neighbour_multispins, unsigned int* spin_chunk, int L1, int L2);
70 /*
71 transforms thread position to odd lattice site and loads own multispin and
72 neighbouring multispins including own demons.
73 */
74 --device__ inline void getEnvironment2DOdd(unsigned int* spins_d, unsigned int* demons_d,
75     coordinates2D_t& own_position, unsigned int& own_multispin, demons3_t& own_demons,
76     unsigned int* neighbour_multispins, unsigned int* spin_chunk, int L1, int L2);
77 /*
78 metropolis demon algorithm in 2D for even coordinates.
79
80 for execution:
81 an (L1/2)*L2 sublattice of even points is splitted in blocks of 32x32 lattice planes in
82 the x-y-plane.
83 invoke this kernel with:
84 dim3 blocks(L1/64, L2/32);
85 metropolis2DPeriodicEven<<<blocks, 1024>>>(...)
```

```
96 */
97 __global__ void metropolis2DPeriodicOdd(unsigned int* spins_d, unsigned int* demons_d,
98     int L1, int L2);
99
100 /*
101 sums up the total energy of the combined (periodic) system block wide.
102 one block consists of 1024 threads.
103
104 invoke this kernel with:
105 dim3 blocks(L1/64, L2/32);
106 totalEnergyBlockWide2DPeriodic<<<blocks, 1024>>>(...)

107 for each block the total sum of the energies are saved in 32 successive integers in
108     global memory.

109 */
110 __global__ void totalEnergyBlockWide2DPeriodic(unsigned int* spins_d, unsigned int*
111     demons_d, int* energies_block_wide, int L1, int L2);

112
113
114 /*
115 sums up the total energy of the spin (periodic) system block wide.
116 one block consists of 1024 threads.

117 invoke this kernel with:
118 dim3 blocks(L1/64, L2/32);
119 totalSpinEnergyBlockWide2DPeriodic<<<blocks, 1024>>>(...)

120 for each block the total sum of the energies are saved in 32 successive integers in
121     global memory.

122 */
123 __global__ void totalSpinEnergyBlockWide2DPeriodic(unsigned int* spins_d, unsigned int*
124     demons_d, int* energies_block_wide, int L1, int L2);

125
126 /*
127 sums up the total energy of the demon system block wide.
128 one block consists of 1024 threads.

129 invoke this kernel with:
130 dim3 blocks(L1/64, L2/32);
131 totalSpinEnergyBlockWide3DPeriodic<<<blocks, 1024>>>(...)

132 for each block the total sum of the energies are saved in 32 successive integers in
133     global memory.

134 */
135 __global__ void totalDemonEnergyBlockWide2D(unsigned int* demons_d, int*
136     energies_block_wide, int L1, int L2);

137
138 /*
139 sums up the total magnetization of the spin system block wide.
140 one block consists of 1024 threads.

141 invoke this kernel with:
142 dim3 blocks(L1/64, L2/32, L3);
143 totalMagnetizationBlockWide2D(unsigned int* spins_d, int* magnetization_block_wide, int
144     L1, int L2);
145 <<<blocks, 1024>>>(...)

146 for each block the total sum of the energies are saved in 32 successive integers in
147     global memory.
```

```

153 */
154 --global__ void totalMagnetizationBlockWide2D(unsigned int* spins_d, int*
155   magnetization_block_wide, int L1, int L2);
156
157 /**
158 shift demons on an 64x32 sublattice on the x-y-plane blockwide with a random_offset.
159
160 invoke this kernel with:
161 dim3 blocks(L1/64, L2/32);
162 shiftDemonsBlockWide<<<blocks, 1024>>>(...)
163 */
164 --global__ void shiftDemonsBlockWide2D(unsigned int* demons_d, unsigned int random_offset
165   , int L1, int L2);
166
167 /**
168 shift demons block wide with a random offset.
169
170 invoke this kernel with:
171 dim3 blocks(L1/64, (L2/32)/2);
172 shiftDemonsBlockWide<<<blocks, 1024>>>(...)
173 */
174 --global__ void shiftDemonsGridWide2D(unsigned int* demons_d, unsigned int random_offset,
175   int L1, int L2);
176
177 --global__ void demonLayersOccupationBlockWide2D(unsigned int* demons_d, unsigned int*
178   demon_block_attributes_d, int L1, int L2);
179
180 --global__ void applyPatternRemove2D(unsigned int* demons_d, unsigned int*
181   random_pattern_d, int layer, int L1, int L2);
182
183 --global__ void applyPatternSet2D(unsigned int* demons_d, unsigned int* random_pattern_d,
184   int layer, int L1, int L2);
185
186 --global__ void updateDemons2D(unsigned int* demons_d, unsigned int* randoms, double
187   set_probabilities[], int L1, int L2);
188
189 #endif

```

8.2.2.4 routines3D.hpp

```

1 #include "cuda_runtime.h"
2 #include "device_launch_parameters.h"
3
4
5
6 #ifndef ROUTINES3D_HPP
7 #define ROUTINES3D_HPP
8
9 #include "Lattice.hpp"
10
11 struct coordinates3D_t{
12   int x;
13   int y;
14   int z;
15 };
16
17 *****
18 device functions and cuda kernels for a 3D lattice.
19 *****
20
21 /*
22 calculates thread index to even 3D coordinates. (even means: (x+y+z)%2 == 0)

```

```
23 index is always the thread index
24
25 for a increasing index the even coordinates along the positive direction of the x-axis
26     are counted.
27 reaching 32 counts in positive x-direction, a jump in the positive y-direction occurs.
28 */
29 __device__ inline coordinates3D_t indexToCoordinates3DEven(int index);
30
31 /*
32 calculates thread index to odd 3D coordinates. (odd means: (x+y+z)%2 != 0)
33 index is always the thread index.
34
35 for a increasing index the odd coordinates along the positive direction of the x-axis are
36     counted.
37 reaching 32 counts in positive x-direction, a jump in the positive y-direction occurs.
38 */
39 __device__ inline coordinates3D_t indexToCoordinates3DOdd(int index);
40
41 __device__ inline coordinates3D_t getNeighbourPosition3D(coordinates3D_t own_position,
42     int neighbour, int L1, int L2, int L3);
43
44 //load multispin at position from spins_d
45 __device__ inline unsigned int getMultispin3D(unsigned int* spins_d, const
46     coordinates3D_t& position, int L1, int L2, int L3);
47
48 __device__ inline void writeMultispin3D(unsigned int multispin, unsigned int* spins_d,
49     const coordinates3D_t& position, int L1, int L2, int L3);
50
51 //load demons at position from demons_d
52 __device__ inline demons3_t getDemons3D(unsigned int* demons_d, const coordinates3D_t&
53     position, int L1, int L2, int L3);
54
55 __device__ inline void writeDemons3D(demons3_t demons, unsigned int* demons_d, const
56     coordinates3D_t& position, int L1, int L2, int L3);
57
58 /*
59 calculates the energy between the local energy between own_multispin and
60     neighbour_multispins.
61 */
62 __device__ inline multint7_t localSpinEnergy3D(unsigned int own_multispin, unsigned int*
63     neighbour_multispins);
64
65 /*
66 transforms thread position to even lattice site and loads own multispin and
67     neighbouring multispins including own demons.
68
69 neighbour_multispins[0]: front multispin
70 neighbour_multispins[1]: back multispin
71 neighbour_multispins[2]: left multispin
72 neighbour_multispins[3]: right multispin
73 neighbour_multispins[4]: upper multispin
74 neighbour_multispins[5]: lower multispin
75 */
76 __device__ inline void getEnvironment3DEven(unsigned int* spins_d, unsigned int* demons_d
77     , coordinates3D_t& own_position, unsigned int& own_multispin, demons3_t& own_demons,
78     unsigned int* neighbour_multispins, unsigned int* spin_chunk, int L1, int L2, int L3)
79     ;
```

```
77  /*
78  transforms thread position to odd lattice site and loads own multispin and
79  neighbouring multispins including own demons.
80 */
81 __device__ inline void getEnvironment3DOdd(unsigned int* spins_d, unsigned int* demons_d,
82     coordinates3D_t& own_position, unsigned int& own_multispin, demons3_t& own_demons,
83     unsigned int* neighbour_multispins, unsigned int* spin_chunk, int L1, int L2, int L3)
84 ;
85
86 /*
87 metropolis demon algorithm in 3D for even coordinates.
88
89 for execution:
90 an (L1/2)*L2*L3 sublattice of even points is splitted in blocks of 32x32 lattice planes
91     in the x-y-plane.
92
93 invoke this kernel with:
94 dim3 blocks(L1/64, L2/32, L3);
95 metropolis3DPeriodicEven<<<blocks, 1024>>>(...)
96 */
97 __global__ void metropolis3DPeriodicEven(unsigned int* spins_d, unsigned int* demons_d,
98     int L1, int L2, int L3);
99
100
101 /*
102 metropolis demon algorithm in 3D for odd coordinates.
103
104 for execution:
105 an (L1/2)*L2*L3 sublattice of odd points is splitted in blocks of 32x32 lattice planes in
106     the x-y-plane.
107
108 invoke this kernel with:
109 dim3 blocks(L1/64, L2/32, L3);
110 metropolis3DPeriodicEven<<<blocks, 1024>>>(...)
111 */
112 __global__ void metropolis3DPeriodicOdd(unsigned int* spins_d, unsigned int* demons_d,
113     int L1, int L2, int L3);
114
115 /*
116 sums up the total energy of the combined (periodic) system block wide.
117 one block consists of 1024 threads.
118
119 invoke this kernel with:
120 dim3 blocks(L1/64, L2/32, L3);
121 totalEnergyBlockWide3DPeriodic<<<blocks, 1024>>>(...)
122
123 /*
124 sums up the total energy of the spin (periodic) system block wide.
125 one block consists of 1024 threads.
126
127 invoke this kernel with:
128 dim3 blocks(L1/64, L2/32, L3);
129 totalSpinEnergyBlockWide3DPeriodic<<<blocks, 1024>>>(...)
130
131 for each block the total sum of the energies are saved in 32 successive integers in
132     global memory.
133 */
134
```

```
133 --global__ void totalSpinEnergyBlockWide3DPeriodic(unsigned int* spins_d, unsigned int*
134     demons_d, int* energies_block_wide, int L1, int L2, int L3);
135 /*
136 sums up the total energy of the demon system block wide.
137 one block consists of 1024 threads.
138
139 invoke this kernel with:
140 dim3 blocks(L1/64, L2/32, L3);
141 totalDemonEnergyBlockWide3D<<<blocks, 1024>>>(...)

142 for each block the total sum of the energies are saved in 32 successive integers in
143 global memory.

144 */
145 --global__ void totalDemonEnergyBlockWide3D(unsigned int* demons_d, int*
146     energies_block_wide, int L1, int L2, int L3);

147 /*
148 sums up the total magnetization of the spin system block wide.
149 one block consists of 1024 threads.

150 invoke this kernel with:
151 dim3 blocks(L1/64, L2/32, L3);
152 totalMagnetizationBlockWide3D(unsigned int* spins_d, int* magnetization_block_wide, int
153     L1, int L2, int L3)<<<blocks, 1024>>>(...)

154 for each block the total sum of the energies are saved in 32 successive integers in
155 global memory.

156 */
157 --global__ void totalMagnetizationBlockWide3D(unsigned int* spins_d, int*
158     magnetization_block_wide, int L1, int L2, int L3);

159 /*
160 shift demons on an 64x32 sublattice on the x-y-plane blockwide with a random_offset.

161 invoke this kernel with:
162 dim3 blocks(L1/64, L2/32, L3);
163 shiftDemonsBlockWide<<<blocks, 1024>>>(...)

164 */
165 --global__ void shiftDemonsBlockWide3D(unsigned int* demons_d, unsigned int random_offset,
166     , int L1, int L2, int L3);

167 /*
168 shift demons block wide with a random offset.

169 invoke this kernel with:
170 dim3 blocks(L1/64, (L2/32)/2, L3);
171 shiftDemonsBlockWide<<<blocks, 1024>>>(...)

172 */
173 --global__ void shiftDemonsGridWide3D(unsigned int* demons_d, unsigned int random_offset,
174     , int L1, int L2, int L3);

175 /*
176 calcualtes the number of occupied demons in the i-th layer, block wide.
177 the result is saved in demon_block_attributes_d, for each block.
178 for each block the results are saved in 3 successive integers in global memory. (first
179     layer with energy 4, second layer with energy 8, etc.)

180 invoke this kernel with:
181 dim3 blocks(L1/64, L2/32, L3);
182 demonLayerOccupationBlockWide3D(unsigned int* spins_d, int* magnetization_block_wide, int
183     L1, int L2, int L3)<<<blocks, 1024>>>(...)

184 */
185 
```

```

189 --global__ void demonLayersOccupationBlockWide3D(unsigned int* demons_d, unsigned int*
190     demon_block_attributes_d, int L1, int L2, int L3);
191
192 --global__ void applyPatternRemove3D(unsigned int* demons_d, unsigned int*
193     random_pattern_d, int layer, int L1, int L2, int L3);
194
195 --global__ void applyPatternSet3D(unsigned int* demons_d, unsigned int* random_pattern_d,
196     int layer, int L1, int L2, int L3);
197
198 #endif

```

8.2.2.5 Lattice.hpp

```

1 #define _ISING_2D_ 2
2 #define _ISING_3D_ 3
3 #define _PERIODIC_ 1
4 #define _ANTIPERIODIC_ -1
5
6 #define _OWN_ 0
7 #define _FRONT_ 1 //positive x-driection
8 #define _BACK_ 2 //negative x-direction
9 #define _LEFT_ 3 //positive y-direction
10 #define _RIGHT_ 4 //negative y-direction
11 #define _UPPER_ 5 //positive z-direction
12 #define _LOWER_ 6 //negative z-direction
13
14 #define DEMON_LAYERS 3
15 #define DEMON_LAYER_LOW 0
16 #define DEMON_LAYER_MID 1
17 #define DEMON_LAYER_HIGH 2
18
19
20
21 #include "cuda_runtime.h"
22 #include "device_launch_parameters.h"
23 #include <math.h>
24 #include <stdio.h>
25
26 #ifndef LATTICE_HPP
27 #define LATTICE_HPP
28
29 #include "multint.hpp"
30 #include "rng.hpp"
31
32 /*
33 3bit demons data type
34
35 bit order (from most significant bit to lowest) :      hdemons mdemons ldemons
36 energy level:                           16    8    4
37 */
38 struct demons3_t{
39     unsigned int hdemons;
40     unsigned int mdemons;
41     unsigned int ldemons;
42 };
43
44 /*
45 calculates the energy of demons and returns the result as multint7_t

```

```
46 */
47 __device__ inline multint7_t demonEnergy7(demons3_t& demons){
48 //cast demons3_t to multint7_t
49 multint7_t demon_energy = multint7_0;
50
51 multint7_t current_demon_level = multint7_0;
52
53 //demon energy 4 (ldemons)
54 current_demon_level.bit[2] = demons.ldemons;
55 demon_energy = demon_energy + current_demon_level;
56 current_demon_level = multint7_0;
57
58 //demon energy 8 (mdemons)
59 current_demon_level.bit[3] = demons.mdemons;
60 demon_energy = demon_energy + current_demon_level;
61 current_demon_level = multint7_0;
62
63 //demon energy 16 (hdemons)
64 current_demon_level.bit[4] = demons.hdemons;
65 demon_energy = demon_energy + current_demon_level;
66
67 return demon_energy;
68 }
69
70 /*
71 calculates the energy of demons and returns the result as multint17_t
72 */
73 __device__ inline multint17_t demonEnergy17(demons3_t& demons){
74 //cast demons3_t to multint17_t
75 multint17_t demon_energy = multint17_0;
76
77 multint17_t current_demon_level = multint17_0;
78
79 //demon energy 4 (ldemons)
80 current_demon_level.bit[2] = demons.ldemons;
81 demon_energy = demon_energy + current_demon_level;
82 current_demon_level = multint17_0;
83
84 //demon energy 8 (mdemons)
85 current_demon_level.bit[3] = demons.mdemons;
86 demon_energy = demon_energy + current_demon_level;
87 current_demon_level = multint17_0;
88
89 //demon energy 16 (hdemons)
90 current_demon_level.bit[4] = demons.hdemons;
91 demon_energy = demon_energy + current_demon_level;
92
93 return demon_energy;
94 }
95
96 /*
97 class contains all needed informations for the simulation of a Ising-Lattice
98
99 options:
100
101 int dimension:
102 2D lattice: _ISING_2D_
103 3D lattice: _ISING_3D_
104
105 int boundary:
106 periodic boundary conditions: _PERIODIC_
107 antiperiodic boundary conditions: _ANTIPERIODIC_ (not implemented yet)
108
109 create an object of the lattice class with
110
111 2D Lattice: Lattice a(L1, L2, boundary, beta);
```

```
112 3D Lattice: Lattice a(L1, L2, L3, boundary, beta);  
113  
114 where  
115 L1: size of the lattice in x-direction  
116 L2: size of the lattice in y-direction  
117 L3: size of the lattice in z-direction  
118 beta: inverse temperature of the heat bath.  
119  
120 for a correct execution of the algorithms consider following restrictions:  
121  
122 a.) 2D and 3D lattice: L1 has to be a multiple of 64. L2 has to be a multiple of 32  
123 b.) 3D lattice: L3 > 0 && L3 % 2 == 0.  
124 c.) the bit operators >>, << have to be arithmetical shifts, otherwise adjustments in  
     getNumber (multint.hpp) are required.  
125  
126 If this restrictions are not fullfilled, an undefined behaviour will be expected.  
127  
128 */  
129 class Lattice{  
130  
131 private:  
132 int dimension;  
133 int boundary;  
134  
135 int L1;  
136 int L2;  
137 int L3;  
138  
139 int gridDimX;  
140 int gridDimY;  
141 int gridDimZ;  
142  
143 double beta; //inverse temperature  
144  
145  
146 unsigned int* spins_d; //multispin array, on device memory  
147 unsigned int* demons_d; //demons array, on device memory  
148 unsigned int* demons_h; //demons array, on host  
149  
150 int* energies_block_wide_d; //on device  
151 int* energies_block_wide; //on host  
152  
153 int* magnetization_block_wide_d; //on device  
154 int* magnetization_block_wide; // on host  
155  
156 unsigned int* random_pattern;  
157 unsigned int* random_pattern_d;  
158 /*  
159 for each block the attributes are saved in 8 successive integers  
160 structure:  
161 .....|first layer occupation|second layer occupation|third layer occupation|first layer  
       change|second layer change|third layer change|random seed|random seed|....  
162 */  
163 unsigned int* demon_block_attributes; //on host  
164 unsigned int* demon_block_attributes_d; //on device  
165  
166  
167 MarsagliaZamanGenerator* random_generator;  
168  
169 double demon_occupation_probabilities[DEMON_LAYERS];  
170 BinomialGenerator* demon_layer_occupation_dist[DEMON_LAYERS];  
171  
172 void demonRandomChangesSet3D(int &changes, int layer, int pattern_fact);  
173 void demonRandomChangesRemove3D(int &changes, int layer, int pattern_fact);  
174  
175 void demonRandomChangesSet2D(int &changes, int layer, int pattern_fact);
```

```
176 void demonRandomChangesRemove2D(int &changes, int layer, int pattern_fact);
177
178 double set_probabilities[3];
179 double* set_probabilities_d;
180
181 public:
182 //2D constructor
183 Lattice(int L1, int L2, int boundary, double beta){
184     this->dimension = _ISING_2D_;
185     this->boundary = boundary;
186
187     this->L1 = L1;
188     this->L2 = L2;
189
190     this->beta = beta;
191
192     this->gridDimX = (this->L1) / 64;
193     this->gridDimY = (this->L2) / 32;
194     this->gridDimZ = (this->L3);
195
196     random_generator = new MarsagliaZamanGenerator();
197
198     demon_occupation_probabilities[DEMON_LAYER_LOW] = exp(-4 * beta)/(1+exp(-4*beta));
199     demon_layer_occupation_dist[DEMON_LAYER_LOW] = new BinomialGenerator(random_generator, 32
200         * L1*L2, demon_occupation_probabilities[DEMON_LAYER_LOW]);
201
202     demon_occupation_probabilities[DEMON_LAYER_MID] = exp(-8 * beta) / (1 + exp(-8 * beta));
203     demon_layer_occupation_dist[DEMON_LAYER_MID] = new BinomialGenerator(random_generator, 32
204         * L1*L2, demon_occupation_probabilities[DEMON_LAYER_MID]);
205
206     demon_occupation_probabilities[DEMON_LAYER_HIGH] = exp(-16 * beta) / (1 + exp(-16 * beta)
207         );
208     demon_layer_occupation_dist[DEMON_LAYER_HIGH] = new BinomialGenerator(random_generator,
209         32 * L1*L2, demon_occupation_probabilities[DEMON_LAYER_HIGH]);
210
211     cudaMalloc(&(this->spins_d), L1*L2*sizeof(unsigned int));
212     cudaMalloc(&(this->demons_d), 3 * L1*L2*sizeof(unsigned int));
213     cudaMallocHost(&(this->demons_h), 3 * L1*L2*sizeof(unsigned int));
214
215     set_probabilities[0] = exp(-4 * beta) / (1 + exp(-4 * beta));
216     set_probabilities[1] = exp(-8 * beta) / (1 + exp(-8 * beta));
217     set_probabilities[2] = exp(-16 * beta) / (1 + exp(-16 * beta));
218
219     cudaMalloc(&set_probabilities_d, 3 * sizeof(double));
220     cudaMemcpy(set_probabilities_d, set_probabilities, 3 * sizeof(double),
221         cudaMemcpyHostToDevice);
222     unsigned int* init_array = new unsigned int[L1*L2 * 3];
223     for (int i = 0; i < L1*L2; i++){
224         //init_array[i] = random_generator->getRandomInteger();
225         init_array[i] = 0;
226     }
227     cudaMemcpy(spins_d, init_array, L1*L2*sizeof(unsigned int), cudaMemcpyHostToDevice);
228
229     for (int i = 0; i < 3 * L1*L2; i++){
230         //init_array[i] = random_generator->getRandomInteger();
231         init_array[i] = 0;
232     }
233     cudaMemcpy(demons_d, init_array, 3 * L1*L2*sizeof(unsigned int), cudaMemcpyHostToDevice);
234
235     cudaMalloc(&(this->energies_block_wide_d), (32 * (L1*L2) / 2048) * sizeof(int));
236     cudaMallocHost(&(this->energies_block_wide), (32 * (L1*L2) / 2048) * sizeof(int));
237
238     cudaMalloc(&(this->demon_block_attributes_d), (4 * (L1*L2) / 2048)*sizeof(unsigned int));
239     cudaMallocHost(&demon_block_attributes, (4 * (L1*L2) / 2048)*sizeof(unsigned int));
```

```
237
238
239 cudaMemcpy(demon_block_attributes_d, demon_block_attributes, (4 * (L1*L2) / 2048)*sizeof(
240     unsigned int), cudaMemcpyHostToDevice);
241
242
243 cudaMalloc(&random_pattern_d, L1*L2*sizeof(unsigned int));
244 //cudaMallocHost(&random_pattern, L1*L*sizeof(unsigned int)); //allocate pinned memory
245 random_pattern = demons_h;
246
247 initializeRandoms();
248
249 magnetization_block_wide_d = energies_block_wide_d;
250 magnetization_block_wide = energies_block_wide;
251
252 delete[] init_array;
253 }
254 Lattice(int L1, int L2, int L3, int boundary, double beta){
255     this->L1 = L1;
256     this->L2 = L2;
257     this->L3 = L3;
258
259     this->dimension = _ISING_3D_;
260     this->boundary = boundary;
261     this->beta = beta;
262
263     this->gridDimX = (this->L1) / 64;
264     this->gridDimY = (this->L2) / 32;
265     this->gridDimZ = (this->L3);
266
267     random_generator = new MarsagliaZamanGenerator();
268
269     demon_occupation_probabilities[DEMON_LAYER_LOW] = exp(-4 * beta) / (1.0 + (double) exp(-4
270         * beta));
271     demon_layer_occupation_dist[DEMON_LAYER_LOW] = new BinomialGenerator(random_generator, 32
272         * L1*L2*L3, demon_occupation_probabilities[DEMON_LAYER_LOW]);
273
274     demon_occupation_probabilities[DEMON_LAYER_MID] = exp(-8 * beta) / (1.0 + (double) exp(-8
275         * beta));
276     demon_layer_occupation_dist[DEMON_LAYER_MID] = new BinomialGenerator(random_generator, 32
277         * L1*L2*L3, demon_occupation_probabilities[DEMON_LAYER_MID]);
278
279     demon_occupation_probabilities[DEMON_LAYER_HIGH] = exp(-16 * beta) / (1.0 + (double) exp
280         (-16 * beta));
281     demon_layer_occupation_dist[DEMON_LAYER_HIGH] = new BinomialGenerator(random_generator,
282         32 * L1*L2*L3, demon_occupation_probabilities[DEMON_LAYER_HIGH]);
283
284     cudaMalloc(&(this->spins_d), L1*L2*L3*sizeof(unsigned int));
285     cudaMalloc(&(this->demons_d), 3 * L1*L2*L3*sizeof(unsigned int));
286     cudaMallocHost(&(this->demons_h), 3 * L1*L2*L3*sizeof(unsigned int));
287
288     set_probabilities[0] = exp(-4 * beta) / (1 + exp(-4 * beta));
289     set_probabilities[1] = exp(-8 * beta) / (1 + exp(-8 * beta));
290     set_probabilities[2] = exp(-16 * beta) / (1 + exp(-16 * beta));
291
292     cudaMalloc(&set_probabilities_d, 3 * sizeof(double));
293     cudaMemcpy(set_probabilities_d, set_probabilities, 3 * sizeof(double),
294         cudaMemcpyHostToDevice);
295     unsigned int* init_array = new unsigned int[L1*L2*L3 * 3];
296
297     for (int i = 0; i < L1*L2*L3; i++){
298         //init_array[i] = random_generator->getRandomInteger();
299         init_array[i] = 0;
300 }
```

```
295 }
296 cudaMemcpy(spins_d, init_array, L1*L2*L3*sizeof(unsigned int), cudaMemcpyHostToDevice);
297
298 for (int i = 0; i < 3 * L1*L2*L3; i++){
299     //init_array[i] = random_generator->getRandomInteger();
300     init_array[i] = 0;
301 }
302
303 cudaMemcpy(demons_d, init_array, 3 * L1*L2*L3*sizeof(unsigned int),
304             cudaMemcpyHostToDevice);
305
306 cudaMalloc(&(this->energies_block_wide_d), (32 * (L1*L2*L3) / 2048) * sizeof(int));
307 cudaMallocHost(&(this->energies_block_wide), (32 * (L1*L2*L3) / 2048) * sizeof(int));
308
309 cudaMalloc(&(this->demon_block_attributes_d), (4 * (L1*L2*L3) / 2048)*sizeof(unsigned int));
310 cudaMallocHost(&demon_block_attributes, (4 * (L1*L2*L3) / 2048)*sizeof(unsigned int));
311
312 cudaMemcpy(demon_block_attributes_d, demon_block_attributes, (4 * (L1*L2*L3) / 2048)*
313             sizeof(unsigned int), cudaMemcpyHostToDevice);
314
315 cudaMalloc(&random_pattern_d, L1*L2*L3*sizeof(unsigned int));
316 //cudaMallocHost(&random_pattern, L1*L2*L3*sizeof(unsigned int)); //allocate pinned memory
317 random_pattern = demons_h;
318
319 initializeRandoms();
320
321 magnetization_block_wide_d = energies_block_wide_d;
322 magnetization_block_wide = energies_block_wide;
323
324 delete[] init_array;
325 }
326
327
328 ~Lattice(){
329
330     cudaFree(spins_d);
331     cudaFree(demons_d);
332     cudaFree(energies_block_wide_d);
333     cudaFree(random_pattern_d);
334     //cudaFreeHost(random_pattern);
335     cudaFreeHost(demons_h);
336     cudaFreeHost(demon_block_attributes);
337     cudaFreeHost(energies_block_wide);
338
339     delete random_generator;
340 }
341
342 /*
343 updates the combined system (spins+demons) microcanonical and shifts
344 the demons.
345 */
346 void updateSystem();
347
348 /*
349 updates the i-th demon layer trough an heat bath with the inverse tempreature beta.
350 */
351 void updateDemonLayers();
352
353
354
355 void initializeRandoms();
356
357
```

```
358
359
360
361 void updateDemonLayersNew();
362 /*
363 observes the total energy of all 32 combined systems configurations. The result is
364 written in energies.
365
366 energies has to be allocated (energies = new int[32]) outside the function.
367 */
368 void observeTotalEnergies(int* energies);
369
370 /*
371 observes the total spin energy of all 32 spin configurations. The result is
372 written in energies.
373
374 energies has to be allocated (energies = new int[32]) outside the function.
375 */
376 void observeTotalSpinEnergies(int* energies);
377
378 /*
379 observes the total demon energy of all 32 demon configurations. The result is
380 written in energies.
381
382 energies has to be allocated (energies = new int[32]) outside the function.
383 */
384 void observeTotalDemonEnergies(int* energies);
385
386
387 /*
388 observes the total magnetization of all 32 spin configurations. The result is
389 written in energies.
390
391 energies has to be allocated (energies = new int[32]) outside the function.
392 */
393 void observeTotalMagnetization(int* magnetization);
394
395
396 };
397
398 #endif
```

8.2.2.6 routines2D.cu

```
1 #include "cuda_runtime.h"
2 #include "device_launch_parameters.h"
3
4 #include "routines2D.hpp"
5 #include <stdio.h>
6
7 __device__ inline coordinates2D_t indexToCoordinates2DEven(int index){
8 coordinates2D_t position;
9
10 //origin of the 32x32 sub lattice.
11 int pointX = blockIdx.x * 64;
12 int pointY = blockIdx.y * 32;
13 /*
14 calculate position in sub lattice 32x32
15 i.e.: transform index to coordinates of the full lattice
16 */
17 position.y = index / 32 + pointY;
18 position.x = index % 32;
```

```
19
20
21 //expand coordinates to all even points in the lattice.
22
23 //first coordinate in x-direction (0,y,z) is even
24 if ((pointX + position.y) % 2 == 0){
25     position.x = 2 * position.x + pointX;
26 }
27 //first coordinate in x-direction (0,y,z) is odd
28 else if ((pointX + position.y) % 2 != 0){
29     position.x = 2 * position.x + 1 + pointX;
30 }
31
32 return position;
33 }
34
35
36
37 __device__ inline coordinates2D_t indexToCoordinates2DOdd(int index){
38 coordinates2D_t position;
39
40 int pointX = blockIdx.x * 64;
41 int pointY = blockIdx.y * 32;
42
43 //calculate position in sub lattice 32x32
44 position.y = index / 32 + pointY;
45 position.x = index % 32;
46
47 //expand coordinates to all even points in the lattice.
48
49 //first coordinate in x-direction (0,y,z) is odd
50 if ((pointX + position.y) % 2 != 0){
51     position.x = 2 * position.x + pointX;
52 }
53 //first coordinate in x-direction (0,y,z) is even
54 else if ((pointX + position.y) % 2 == 0){
55     position.x = 2 * position.x + 1 + pointX;
56 }
57
58 return position;
59 }
60
61
62 __device__ inline coordinates2D_t getNeighbourPosition2D(coordinates2D_t own_position,
63             int neighbour, int L1, int L2) {
64
65 int x = own_position.x;
66 int y = own_position.y;
67
68 switch (neighbour){
69
70 case _FRONT_:
71     //regard boundary conditions
72     if (x + 1 > L1 - 1){
73         own_position.x = 0;
74     }
75     else{
76         own_position.x = x + 1;
77     }
78     break;
79
80 case _BACK_:
81     //regard boundary conditions
82     if (x - 1 < 0){
83         own_position.x = L1 - 1;
```

```
84     }
85     else{
86     own_position.x = x - 1;
87     }
88 break;
89
90 case _LEFT_:
91 //regard boundary conditions
92 if (y + 1 > L2 - 1){
93     own_position.y = 0;
94 }
95 else{
96     own_position.y = y + 1;
97 }
98 break;
99
100 case _RIGHT_:
101 //regard boundary conditions
102 if (y - 1 < 0){
103     own_position.y = L2 - 1;
104 }
105 else{
106     own_position.y = y - 1;
107 }
108 break;
109 }
110
111 return own_position;
112 }
113
114
115 __device__ inline unsigned int getMultispin2D(unsigned int* spins_d, const
116                                                 coordinates2D_t& position, int L1, int L2){
117
118     int x = position.x;
119     int y = position.y;
120
121     int sub_L1 = L1 / 2;
122
123     //coordinates even?
124     if ((x + y) % 2 == 0){
125         //reverse transformation in indexToCoordinates2DEven
126         if (y % 2 == 0){
127             x = x / 2;
128         }
129         else{
130             x = (x - 1) / 2;
131         }
132         return *(spins_d + x + y*sub_L1);
133     }
134     else{
135         //reverse transformation in indexToCoordinates2DOdd
136         if (y % 2 != 0){
137             x = x / 2;
138         }
139         else{
140             x = (x - 1) / 2;
141         }
142         return *(spins_d + x + y*sub_L1 + sub_L1 * L2);
143     }
144 }
145
146 __device__ inline void writeMultispin2D(unsigned int multispin, unsigned int* spins_d,
147                                         const coordinates2D_t& position, int L1, int L2){
```

```
148 int x = position.x;
149 int y = position.y;
150
151 int sub_L1 = L1 / 2;
152
153 //coordinates even?
154 if ((x + y) % 2 == 0){
155     //reverse transformation in indexToCoordinates2DEven
156     if (y % 2 == 0){
157         x = x / 2;
158     }
159     else{
160         x = (x - 1) / 2;
161     }
162     *(spins_d + x + y*sub_L1) = multispin;
163 }
164 else{
165     //reverse transformation in indexToCoordinates2DOdd
166     if (y % 2 != 0){
167         x = x / 2;
168     }
169     else{
170         x = (x - 1) / 2;
171     }
172     *(spins_d + x + y*sub_L1 + sub_L1 * L2) = multispin;
173 }
174 }
175
176
177 __device__ inline demons3_t getDemons2D(unsigned int* demons_d, const coordinates2D_t&
178     position, int L1, int L2){
179     int x = position.x;
180     int y = position.y;
181
182     int sub_L1 = L1 / 2;
183
184     demons3_t demons;
185
186     //coordinates even?
187     if ((x + y) % 2 == 0){
188         //reverse transformation in indexToCoordinates2DEven
189         if (y % 2 == 0){
190             x = x / 2;
191         }
192         else{
193             x = (x - 1) / 2;
194         }
195         demons.hdemons = *(demons_d + x + y*sub_L1);
196         demons.mdemons = *(demons_d + x + y*sub_L1 + sub_L1*L2);
197         demons.ldemons = *(demons_d + x + y*sub_L1 + 2 * sub_L1*L2);
198     }
199     else{
200         //reverse transformation in indexToCoordinates2DOdd
201         if (y % 2 != 0){
202             x = x / 2;
203         }
204         else{
205             x = (x - 1) / 2;
206         }
207         demons.hdemons = *(demons_d + x + y*sub_L1 + 3 * sub_L1*L2);
208         demons.mdemons = *(demons_d + x + y*sub_L1 + 4 * sub_L1*L2);
209         demons.ldemons = *(demons_d + x + y*sub_L1 + 5 * sub_L1*L2);
210     }
211     return demons;
212 }
```

```
213
214 --device__ inline void writeDemons2D(demons3_t demons, unsigned int* demons_d, const
215   coordinates2D_t& position, int L1, int L2){
216   int x = position.x;
217   int y = position.y;
218
219   int sub_L1 = L1 / 2;
220
221   //coordinates even?
222   if ((x + y) % 2 == 0){
223     //reverse transformation in indexToCoordinates2DEven
224     if (y % 2 == 0){
225       x = x / 2;
226     }
227     else{
228       x = (x - 1) / 2;
229     }
230     *(demons_d + x + y*sub_L1) = demons.hdemons;
231     *(demons_d + x + y*sub_L1 + sub_L1*L2) = demons.mdemons;
232     *(demons_d + x + y*sub_L1 + 2 * sub_L1*L2) = demons.ldemons;
233   }
234   else{
235     //reverse transformation in indexToCoordinates2DOdd
236     if (y % 2 != 0){
237       x = x / 2;
238     }
239     else{
240       x = (x - 1) / 2;
241     }
242     *(demons_d + x + y*sub_L1 + 3 * sub_L1*L2) = demons.hdemons;
243     *(demons_d + x + y*sub_L1 + 4 * sub_L1*L2) = demons.mdemons;
244     *(demons_d + x + y*sub_L1 + 5 * sub_L1*L2) = demons.ldemons;
245   }
246 }
247
248
249 --device__ inline multint7_t localSpinEnergy2D(unsigned int own_multispin, unsigned int*
250   neighbour_multispins){
251   multint7_t sum_energy = multint7_0;
252   multint7_t current_edge_energy;
253   unsigned int parallel;
254
255   for (int i = 0; i < 4; i++){
256
257     //bit 0: spins antiparallel; bit 1: spins parallel
258     parallel = ~(neighbour_multispins[i] ^ own_multispin);
259
260     //if antiparallel set current_edge_energy = 1, else -1
261     current_edge_energy.bit[0] = ~0;
262     for (int i = 1; i < 6; i++){
263       current_edge_energy.bit[i] = parallel;
264     }
265     current_edge_energy.sign = parallel;
266
267     //add edge energy to total energy.
268     sum_energy = sum_energy + current_edge_energy;
269   }
270
271   return sum_energy;
272 }
273
274
275
```

```
276 --device__ inline void getEnvironment2DEven(unsigned int* spins_d, unsigned int* demons_d
277     , coordinates2D_t& own_position, unsigned int& own_multispin, demons3_t& own_demons,
278     unsigned int* neighbour_multispins, unsigned int* spin_chunk, int L1, int L2){
279
280     own_position = indexToCoordinates2DEven(threadIdx.x);
281
282     coordinates2D_t block_origin;
283     block_origin.x = blockIdx.x * 64;
284     block_origin.y = blockIdx.y * 32;
285
286     int x = own_position.x;
287     int y = own_position.y;
288
289
290     coordinates2D_t neighbour_position;
291
292     own_multispin = getMultispin2D(spins_d, own_position, L1, L2);
293     own_demons = getDemons2D(demons_d, own_position, L1, L2);
294
295     /*
296      neighbour_multispins[0]: front multispin
297      neighbour_multispins[1]: back multispin
298      neighbour_multispins[2]: left multispin
299      neighbour_multispins[3]: right multispin
300     */
301
302
303     //load neigbhour multispins on the x-y-plane in spin_chunk
304     coordinates2D_t odd_position = indexToCoordinates2DOdd(threadIdx.x);
305     spin_chunk[threadIdx.x] = getMultispin2D(spins_d, odd_position, L1, L2);
306     __syncthreads(); //IMPORTANT, prevents race condition in shared memory
307
308
309     /*
310      load front and back multispins to local variables.
311     */
312     //is the first point in the row (block.origin.x, y, z) even ?
313     if ((block_origin.x + y) % 2 == 0){
314
315         //write front multispin
316         neighbour_multispins[0] = spin_chunk[threadIdx.x];
317         if (x > block_origin.x){
318             //write back multispin
319             neighbour_multispins[1] = spin_chunk[threadIdx.x - 1];
320         }
321         else{
322             neighbour_position = getNeighbourPosition2D(own_position, _BACK_, L1, L2);
323             //write back multispin
324             neighbour_multispins[1] = getMultispin2D(spins_d, neighbour_position, L1, L2);
325         }
326     }
327     else{
328
329         //write back multispin
330         neighbour_multispins[1] = spin_chunk[threadIdx.x];
331
332         if (x < block_origin.x + 63){
333
334             //write front multispin
335             neighbour_multispins[0] = spin_chunk[threadIdx.x + 1];
336         }
337         else{
338             neighbour_position = getNeighbourPosition2D(own_position, _FRONT_, L1, L2);
339             //write front multispin
```

```
340     neighbour_multispins[0] = getMultispin2D(spins_d, neighbour_position, L1, L2);
341 }
342 }
343 */
344 /*
345 load left and right multispins to local variables.
346 */
347 //is the first point in the column (x, block_origin.y, z) even?
348 if ((x + block_origin.y) % 2 == 0){
349
350     //write left multispin
351     neighbour_multispins[2] = spin_chunk[threadIdx.x + 32];
352
353     if (y > block_origin.y){
354         //write right multispin
355         neighbour_multispins[3] = spin_chunk[threadIdx.x - 32];
356     }
357 else{
358     neighbour_position = getNeighbourPosition2D(own_position, _RIGHT_, L1, L2);
359     //write right multispin
360     neighbour_multispins[3] = getMultispin2D(spins_d, neighbour_position, L1, L2);
361 }
362 }
363 else{
364
365     //write right multispin
366     neighbour_multispins[3] = spin_chunk[threadIdx.x - 32];
367
368     if (y < block_origin.y + 31){
369         //write left multispin
370         neighbour_multispins[2] = spin_chunk[threadIdx.x + 32];
371     }
372 else{
373     neighbour_position = getNeighbourPosition2D(own_position, _LEFT_, L1, L2);
374     //write left multispin
375     neighbour_multispins[2] = getMultispin2D(spins_d, neighbour_position, L1, L2);
376 }
377 }
378 }
379
380
381 __device__ inline void getEnvironment2DOdd(unsigned int* spins_d, unsigned int* demons_d,
382     coordinates2D_t& own_position, unsigned int& own_multispin, demons3_t& own_demons,
383     unsigned int* neighbour_multispins, unsigned int* spin_chunk, int L1, int L2){
384
385     own_position = indexToCoordinates2DOdd(threadIdx.x);
386
387     coordinates2D_t block_origin;
388     block_origin.x = blockIdx.x * 64;
389     block_origin.y = blockIdx.y * 32;
390
391     int x = own_position.x;
392     int y = own_position.y;
393
394
395     coordinates2D_t neighbour_position;
396
397     own_multispin = getMultispin2D(spins_d, own_position, L1, L2);
398     own_demons = getDemons2D(demons_d, own_position, L1, L2);
399
400     /*
401     neighbour_multispins[0]: front multispin
402     neighbour_multispins[1]: back multispin
```

```
404 neighbour_multispins[2]: left multispin
405 neighbour_multispins[3]: right multispin
406 */
407
408
409 //load neighbour multispins on the x-y-plane in spin_chunk
410 coordinates2D_t even_position = indexToCoordinates2DEven(threadIdx.x);
411 spin_chunk[threadIdx.x] = getMultispin2D(spins_d, even_position, L1, L2);
412 __syncthreads(); //IMPORTANT, prevents race condition in shared memory
413
414 /*
415 load front and back multispins to local variables.
416 */
417 //is the first point in the row (block.origin.x, y, z) odd ?
418 if ((block_origin.x + y) % 2 != 0){
419
420     //write front multispin
421     neighbour_multispins[0] = spin_chunk[threadIdx.x];
422     if (x > block_origin.x){
423         //write back multispin
424         neighbour_multispins[1] = spin_chunk[threadIdx.x - 1];
425     }
426     else{
427         neighbour_position = getNeighbourPosition2D(own_position, _BACK_, L1, L2);
428         //write back multispin
429         neighbour_multispins[1] = getMultispin2D(spins_d, neighbour_position, L1, L2);
430     }
431 }
432 else{
433
434     //write back multispin
435     neighbour_multispins[1] = spin_chunk[threadIdx.x];
436
437     if (x < block_origin.x + 63){
438
439         //write front multispin
440         neighbour_multispins[0] = spin_chunk[threadIdx.x + 1];
441     }
442     else{
443         neighbour_position = getNeighbourPosition2D(own_position, _FRONT_, L1, L2);
444         //write front multispin
445         neighbour_multispins[0] = getMultispin2D(spins_d, neighbour_position, L1, L2);
446     }
447 }
448 }
449
450 /*
451 load left and right multispins to local variables.
452 */
453 //is the first point in the column (x, block_origin.y, z) even?
454 if ((x + block_origin.y) % 2 != 0){
455
456     //write left multispin
457     neighbour_multispins[2] = spin_chunk[threadIdx.x + 32];
458
459     if (y > block_origin.y){
460         //write right multispin
461         neighbour_multispins[3] = spin_chunk[threadIdx.x - 32];
462     }
463     else{
464         neighbour_position = getNeighbourPosition2D(own_position, _RIGHT_, L1, L2);
465         //write right multispin
466         neighbour_multispins[3] = getMultispin2D(spins_d, neighbour_position, L1, L2);
467     }
468 }
469 else{
```

```
470
471 //write right multispin
472 neighbour_multispins[3] = spin_chunk[threadIdx.x - 32];
473
474 if (y < block_origin.y + 31){
475     //write left multispin
476     neighbour_multispins[2] = spin_chunk[threadIdx.x + 32];
477 }
478 else{
479     neighbour_position = getNeighbourPosition2D(own_position, _LEFT_, L1, L2);
480     //write left multispin
481     neighbour_multispins[2] = getMultispin2D(spins_d, neighbour_position, L1, L2);
482 }
483 }
484 }
485
486
487 __global__ void metropolis2DPeriodicEven(unsigned int* spins_d, unsigned int* demons_d,
488 int L1, int L2){
489 coordinates2D_t own_position;
490 unsigned int own_multispin;
491 demons3_t own_demons;
492 unsigned int neighbour_multispins[4];
493
494 __shared__ unsigned int spin_chunk[1024];
495
496 getEnvironment2DEven(spins_d, demons_d, own_position, own_multispin, own_demons,
497 neighbour_multispins, spin_chunk, L1, L2);
498 /*
499 compute if spin change is possible.
500 */
501 multint7_t sum_energy;
502 multint7_t energy_change;
503 multint7_t demon_energy;
504
505 sum_energy = localSpinEnergy2D(own_multispin, neighbour_multispins);
506 demon_energy = demonEnergy7(own_demons);
507
508 energy_change = sum_energy + sum_energy;
509 //demon energy after spin flip
510 demon_energy = demon_energy + energy_change;
511
512 unsigned int flip_decision;
513
514 // if demon_energy is negative, no flip is allowed, bit is set to 0;
515 flip_decision = ~(demon_energy.sign);
516
517 //if demon energy is bigger than 16+8+4 = 28 (=0011100) no flip allowed.
518 flip_decision = flip_decision & ~(demon_energy.bit[5]);
519 flip_decision = flip_decision & (~(demon_energy.bit[4] & demon_energy.bit[3] &
520 demon_energy.bit[2]) | (~(demon_energy.bit[1]) & ~(demon_energy.bit[0])));
521
522 //flip spins
523 own_multispin = own_multispin ^ flip_decision;
524
525 //cast new demon_energy to demons3_t if spin changed.
526 own_demons.ldemons = ((own_demons.ldemons ^ demon_energy.bit[2]) & flip_decision) ^
527     own_demons.ldemons;
528 own_demons.mdemons = ((own_demons.mdemons ^ demon_energy.bit[3]) & flip_decision) ^
529     own_demons.mdemons;
530 own_demons.hdemons = ((own_demons.hdemons ^ demon_energy.bit[4]) & flip_decision) ^
531     own_demons.hdemons;
```

```
530
531 writeMultispin2D(own_multispin, spins_d, own_position, L1, L2);
532 writeDemons2D(own_demons, demons_d, own_position, L1, L2);
533 }
534
535
536 __global__ void metropolis2DPeriodicOdd(unsigned int* spins_d, unsigned int* demons_d,
537     int L1, int L2){
538
539 coordinates2D_t own_position;
540 unsigned int own_multispin;
541 demons3_t own_demons;
542 unsigned int neighbour_multispins[4];
543
544 __shared__ unsigned int spin_chunk[1024];
545
546 getEnvironment2DOdd(spins_d, demons_d, own_position, own_multispin, own_demons,
547     neighbour_multispins, spin_chunk, L1, L2);
548
549 /*
550 compute if spin change is possible.
551 */
552 multint7_t sum_energy;
553 multint7_t energy_change;
554 multint7_t demon_energy;
555
556 sum_energy = localSpinEnergy2D(own_multispin, neighbour_multispins);
557 demon_energy = demonEnergy7(own_demons);
558
559 energy_change = sum_energy + sum_energy;
560 //demon energy after spin flip
561 demon_energy = demon_energy + energy_change;
562
563 unsigned int flip_decision;
564
565 // if demon_energy is negative, no flip is allowed, bit is set to 0;
566 flip_decision = ~(demon_energy.sign);
567
568 //if demon energy is bigger than 16+8+4 = 28 (=0011100) no flip allowed.
569 flip_decision = flip_decision & ~(demon_energy.bit[5]);
570 flip_decision = flip_decision & (~(demon_energy.bit[4] & demon_energy.bit[3] &
571     demon_energy.bit[2]) | (~(demon_energy.bit[1]) & ~(demon_energy.bit[0])));
572
573 //flip spins
574 own_multispin = own_multispin ^ flip_decision;
575
576
577 //cast new demon_energy to demons3_t if spin changed.
578 own_demons.ldemons = ((own_demons.ldemons ^ demon_energy.bit[2]) & flip_decision) ^
579     own_demons.ldemons;
580 own_demons.mdemons = ((own_demons.mdemons ^ demon_energy.bit[3]) & flip_decision) ^
581     own_demons.mdemons;
582 own_demons.hdemons = ((own_demons.hdemons ^ demon_energy.bit[4]) & flip_decision) ^
583     own_demons.hdemons;
584
585 writeMultispin2D(own_multispin, spins_d, own_position, L1, L2);
586 writeDemons2D(own_demons, demons_d, own_position, L1, L2);
587 }
588
589
590 __global__ void totalEnergyBlockWide2DPeriodic(unsigned int* spins_d, unsigned int*
591     demons_d, int* energies_block_wide, int L1, int L2){
592
593 coordinates2D_t own_position;
594 unsigned int own_multispin;
```

```
589 demons3_t own_demons;
590
591 unsigned int neighbour_multispins[4];
592
593
594 extern __shared__ int chunk[];
595 unsigned int* spin_chunk = (unsigned int*)&chunk[0];
596
597 getEnvironment2DEven(spins_d, demons_d, own_position, own_multispin, own_demons,
598     neighbour_multispins, spin_chunk, L1, L2);
599 __syncthreads();
600
601 demons3_t odd_demons;
602
603
604 //load neigbhour demons on the x-y-plane in demon_chunk
605 coordinates2D_t odd_position = indexToCoordinates2DOdd(threadIdx.x);
606
607 odd_demons = getDemons2D(demons_d, odd_position, L1, L2);
608
609 //add up energies
610 multint17_t sum_energy;
611 multint17_t demon_energy;
612 multint17_t demon_energy_odd;
613
614 sum_energy = castMultint(localSpinEnergy2D(own_multispin, neighbour_multispins));
615
616
617 demon_energy = demonEnergy17(own_demons);
618 demon_energy_odd = demonEnergy17(odd_demons);
619 demon_energy = demon_energy + demon_energy_odd;
620
621 sum_energy = sum_energy + demon_energy;
622
623 multint17_t* energy_chunk = (multint17_t*)&chunk[0];
624
625 // first 512 threads loads energies in chunk
626 if (threadIdx.x < 512){
627     energy_chunk[threadIdx.x] = sum_energy;
628 }
629
630 //next 512 threads add there own energies.
631 __syncthreads();
632 if (threadIdx.x >= 512){
633     energy_chunk[threadIdx.x - 512] = energy_chunk[threadIdx.x - 512] + sum_energy;
634 }
635
636 //add energies warp wide
637 __syncthreads();
638 if (threadIdx.x < 512){
639     if (threadIdx.x % 32 == 0){
640         for (int i = 1; i < 32; i++){
641             energy_chunk[threadIdx.x] = energy_chunk[threadIdx.x] + energy_chunk[threadIdx.x +
642                 i];
643         }
644     }
645 }
646
647 //add energies block wide
648 __syncthreads();
649 if (threadIdx.x == 0){
650     for (int i = 1; i < 16; i++){
651         energy_chunk[0] = energy_chunk[0] + energy_chunk[32 * i];
652     }
653 }
```

```
653 //first 32 threads writes results in global memory
654 __syncthreads();
655 if (threadIdx.x < 32){
656     *(energies_block_wide + 32 * (blockIdx.x + blockIdx.y*gridDim.x + blockIdx.z*gridDim.x*
657         gridDim.y) + threadIdx.x) = getNumber(energy_chunk[0], threadIdx.x);
658 }
659 }
660 }
661 }
662
663 __global__ void totalSpinEnergyBlockWide2DPeriodic(unsigned int* spins_d, unsigned int*
664     demons_d, int* energies_block_wide, int L1, int L2){
665
666 coordinates2D_t own_position;
667 unsigned int own_multispin;
668 demons3_t own_demons;
669
670 unsigned int neighbour_multispins[4];
671
672 extern __shared__ int chunk[];
673 unsigned int* spin_chunk = (unsigned int*)&chunk[0];
674
675 getEnvironment2DEven(spins_d, demons_d, own_position, own_multispin, own_demons,
676     neighbour_multispins, spin_chunk, L1, L2);
677
678 __syncthreads();
679
680 //load neigbhour demons on the x-y-plane in demon_chunk
681
682 //add up energies
683 multint17_t sum_energy;
684
685 sum_energy = castMultint(localSpinEnergy2D(own_multispin, neighbour_multispins));
686
687
688 multint17_t* energy_chunk = (multint17_t*)&chunk[0];
689
690 // first 512 threads loads energies in chunk
691 if (threadIdx.x < 512){
692     energy_chunk[threadIdx.x] = sum_energy;
693 }
694
695 //next 512 threads add there own energies.
696 __syncthreads();
697 if (threadIdx.x >= 512){
698     energy_chunk[threadIdx.x - 512] = energy_chunk[threadIdx.x - 512] + sum_energy;
699 }
700
701 //add energies warp wide
702 __syncthreads();
703 if (threadIdx.x < 512){
704     if (threadIdx.x % 32 == 0){
705         for (int i = 1; i < 32; i++){
706             energy_chunk[threadIdx.x] = energy_chunk[threadIdx.x] + energy_chunk[threadIdx.x +
707                 i];
708         }
709     }
710 }
711
712 //add energies block wide
713 __syncthreads();
714 if (threadIdx.x == 0){
715     for (int i = 1; i < 16; i++) {
```

```
715     energy_chunk[0] = energy_chunk[0] + energy_chunk[32 * i];
716 }
717 }
718 //first 32 threads writes results in global memory
719 __syncthreads();
720 if (threadIdx.x < 32){
721     *(energies_block_wide + 32 * (blockIdx.x + blockIdx.y*gridDim.x + blockIdx.z*gridDim.x*
722                                     gridDim.y) + threadIdx.x) = getNumber(energy_chunk[0], threadIdx.x);
723 }
724 }
725 }
726
727 __global__ void totalDemonEnergyBlockWide2D(unsigned int* demons_d, int*
728     energies_block_wide, int L1, int L2){
729
730 coordinates2D_t own_position = indexToCoordinates2DEven(threadIdx.x);
731 coordinates2D_t odd_position = indexToCoordinates2DOdd(threadIdx.x);
732
733 demons3_t own_demons = getDemons2D(demons_d, own_position, L1, L2);
734 demons3_t odd_demons = getDemons2D(demons_d, odd_position, L1, L2);
735
736 multint17_t sum_energy;
737 multint17_t sum_energy_odd;
738
739 sum_energy = demonEnergy17(own_demons);
740 sum_energy_odd = demonEnergy17(odd_demons);
741 sum_energy = sum_energy + sum_energy_odd;
742
743 extern __shared__ int chunk[];
744 multint17_t* energy_chunk = (multint17_t*)&chunk[0];
745
746 // first 512 threads loads energies in chunk
747 if (threadIdx.x < 512){
748     energy_chunk[threadIdx.x] = sum_energy;
749 }
750
751 //next 512 threads add there own energies.
752 __syncthreads();
753 if (threadIdx.x >= 512){
754     energy_chunk[threadIdx.x - 512] = energy_chunk[threadIdx.x - 512] + sum_energy;
755 }
756
757 //add energies warp wide
758 __syncthreads();
759 if (threadIdx.x < 512){
760     if (threadIdx.x % 32 == 0){
761         for (int i = 1; i < 32; i++){
762             energy_chunk[threadIdx.x] = energy_chunk[threadIdx.x] + energy_chunk[threadIdx.x +
763                                         i];
764         }
765     }
766 }
767
768 //add energies block wide
769 __syncthreads();
770 if (threadIdx.x == 0){
771     for (int i = 1; i < 16; i++){
772         energy_chunk[0] = energy_chunk[0] + energy_chunk[32 * i];
773     }
774 }
775 //first 32 threads writes results in global memory
776 __syncthreads();
777 if (threadIdx.x < 32){
```

```
778 *(energies_block_wide + 32 * (blockIdx.x + blockIdx.y*gridDim.x + blockIdx.z*gridDim.x*
779     gridDim.y) + threadIdx.x) = getNumber(energy_chunk[0], threadIdx.x);
780 }
781 }
782
783 __global__ void totalMagnetizationBlockWide2D(unsigned int* spins_d, int*
784     magnetization_block_wide, int L1, int L2){
785
786 //add up energies
787 multint17_t local_magnetization;
788
789 coordinates2D_t own_position = indexToCoordinates2DEven(threadIdx.x);
790 coordinates2D_t odd_position = indexToCoordinates2DOdd(threadIdx.x);
791 unsigned int own_multispin = getMultispin2D(spins_d, own_position, L1, L2);
792 unsigned int odd_multispin = getMultispin2D(spins_d, odd_position, L1, L2);
793
794 unsigned int sign = ~own_multispin;
795 multint17_t current_magnetization = multint17_0;
796
797 current_magnetization.bit[0] = ~0;
798
799 for (int i = 1; i < 16; i++){
800     current_magnetization.bit[i] = sign;
801 }
802 current_magnetization.sign = sign;
803 local_magnetization = current_magnetization;
804 current_magnetization = multint17_0;
805
806 sign = ~odd_multispin;
807 current_magnetization.bit[0] = ~0;
808 for (int i = 1; i < 16; i++){
809     current_magnetization.bit[i] = sign;
810 }
811 current_magnetization.sign = sign;
812
813 local_magnetization = local_magnetization + current_magnetization;
814
815 extern __shared__ int chunk[];
816 multint17_t* magn_chunk = (multint17_t*)&chunk[0];
817
818 // first 512 threads loads energies in chunk
819 if (threadIdx.x < 512){
820     magn_chunk[threadIdx.x] = local_magnetization;
821 }
822
823 //next 512 threads add there own energies.
824 __syncthreads();
825 if (threadIdx.x >= 512){
826     magn_chunk[threadIdx.x - 512] = magn_chunk[threadIdx.x - 512] + local_magnetization;
827 }
828
829 //add energies warp wide
830 __syncthreads();
831 if (threadIdx.x < 512){
832     if (threadIdx.x % 32 == 0){
833         for (int i = 1; i < 32; i++){
834             magn_chunk[threadIdx.x] = magn_chunk[threadIdx.x] + magn_chunk[threadIdx.x + i];
835         }
836     }
837 }
838
839 //add energies block wide
840 __syncthreads();
841 if (threadIdx.x == 0){
```

```
842     for (int i = 1; i < 16; i++){
843         magn_chunk[0] = magn_chunk[0] + magn_chunk[32 * i];
844     }
845 }
846
847 //first 32 threads writes results in global memory
848 __syncthreads();
849 if (threadIdx.x < 32){
850     *(magnetization_block_wide + 32 * (blockIdx.x + blockIdx.y*gridDim.x + blockIdx.z*
851     gridDim.x*gridDim.y) + threadIdx.x) = getNumber(magn_chunk[0], threadIdx.x);
852 }
853
854
855 __global__ void shiftDemonsBlockWide2D(unsigned int* demons_d, unsigned int random_offset
856     , int L1, int L2){
857
858 coordinates2D_t even_position = indexToCoordinates2DEven(threadIdx.x);
859 coordinates2D_t odd_position = indexToCoordinates2DOdd(threadIdx.x);
860
861 __shared__ demons3_t demon_chunk[2048];
862
863 //load even demons
864 demon_chunk[threadIdx.x] = getDemons2D(demons_d, even_position, L1, L2);
865
866 //load odd demons
867 demon_chunk[threadIdx.x + 1024] = getDemons2D(demons_d, odd_position, L1, L2);
868
869 __syncthreads();
870
871 int new_index_even = (threadIdx.x + random_offset) % 2048;
872 int new_index_odd = (threadIdx.x + 1024 + random_offset) % 2048;
873
874 writeDemons2D(demon_chunk[new_index_even], demons_d, even_position, L1, L2);
875 writeDemons2D(demon_chunk[new_index_odd], demons_d, odd_position, L1, L2);
876
877
878 __global__ void shiftDemonsGridWide2D(unsigned int* demons_d, unsigned int random_offset,
879     int L1, int L2){
880
881     unsigned int offset_x = (random_offset & 65535);
882
883 coordinates2D_t even_position = indexToCoordinates2DEven(threadIdx.x);
884 coordinates2D_t odd_position = indexToCoordinates2DOdd(threadIdx.x);
885
886 coordinates2D_t block_origin;
887 block_origin.x = blockIdx.x * 64;
888 block_origin.y = blockIdx.y * 32;
889
890 coordinates2D_t swap_block_origin;
891 swap_block_origin.x = ((blockIdx.x + offset_x) % gridDim.x) * 64;
892 swap_block_origin.y = (blockIdx.y + gridDim.y) * 32;
893
894 coordinates2D_t swap_even_position;
895 swap_even_position.x = (even_position.x - block_origin.x) + swap_block_origin.x;
896 swap_even_position.y = (even_position.y - block_origin.y) + swap_block_origin.y;
897
898 coordinates2D_t swap_odd_position;
899 swap_odd_position.x = (odd_position.x - block_origin.x) + swap_block_origin.x;
900 swap_odd_position.y = (odd_position.y - block_origin.y) + swap_block_origin.y;
901
902 __shared__ demons3_t demon_chunk[2048];
903
904 /*
```

```
905 swap even demons3_t
906 */
907
908 demon_chunk[threadIdx.x] = getDemons2D(demons_d, even_position, L1, L2);
909 demon_chunk[threadIdx.x + 1024] = getDemons2D(demons_d, swap_even_position, L1, L2);
910
911 __syncthreads();
912
913 writeDemons2D(demon_chunk[threadIdx.x + 1024], demons_d, even_position, L1, L2);
914 writeDemons2D(demon_chunk[threadIdx.x], demons_d, swap_even_position, L1, L2);
915
916 __syncthreads();
917
918 /*
919 swap
920 odd demons3_t
921 */
922 demon_chunk[threadIdx.x] = getDemons2D(demons_d, odd_position, L1, L2);
923 demon_chunk[threadIdx.x + 1024] = getDemons2D(demons_d, swap_odd_position, L1, L2);
924
925 __syncthreads();
926
927 writeDemons2D(demon_chunk[threadIdx.x + 1024], demons_d, odd_position, L1, L2);
928 writeDemons2D(demon_chunk[threadIdx.x], demons_d, swap_odd_position, L1, L2);
929 }
930
931
932 __global__ void demonLayersOccupationBlockWide2D(unsigned int* demons_d, unsigned int*
933 demon_block_attributes_d, int L1, int L2){
934
935 demons3_t own_demons;
936 demons3_t odd_demons;
937
938 coordinates2D_t own_position = indexToCoordinates2DEven(threadIdx.x);
939 coordinates2D_t odd_position = indexToCoordinates2DOdd(threadIdx.x);
940
941 own_demons = getDemons2D(demons_d, own_position, L1, L2);
942 odd_demons = getDemons2D(demons_d, odd_position, L1, L2);
943
944 //add up occupations
945 unsigned int own_layer_occupation_low = 0; //first layer
946 unsigned int own_layer_occupation_mid = 0; // second layer
947 unsigned int own_layer_occupation_high = 0; //third layer
948
949 unsigned int demon_mask;
950 for (int i = 0; i < 32; i++){
951     demon_mask = (1 << i);
952
953     own_layer_occupation_low = own_layer_occupation_low + ((own_demons.ldemons & demon_mask)
954         >> i) + ((odd_demons.ldemons & demon_mask) >> i);
955     own_layer_occupation_mid = own_layer_occupation_mid + ((own_demons.mdemons & demon_mask)
956         >> i) + ((odd_demons.mdemons & demon_mask) >> i);
957     own_layer_occupation_high = own_layer_occupation_high + ((own_demons.hdemons &
958         demon_mask) >> i) + ((odd_demons.hdemons & demon_mask) >> i);
959 }
960
961 __shared__ unsigned int occupation_chunk[3 * 1024];
962
963 occupation_chunk[3 * threadIdx.x] = own_layer_occupation_low;
964 occupation_chunk[3 * threadIdx.x + 1] = own_layer_occupation_mid;
965 occupation_chunk[3 * threadIdx.x + 2] = own_layer_occupation_high;
966
967 __syncthreads();
968
969 if (threadIdx.x % 32 == 0){
970     for (int i = 1; i < 32; i++){
```

```
967     occupation_chunk[3 * threadIdx.x] = occupation_chunk[3 * threadIdx.x] +
968     occupation_chunk[3 * threadIdx.x + 3 * i];
969     occupation_chunk[3 * threadIdx.x + 1] = occupation_chunk[3 * threadIdx.x + 1] +
970     occupation_chunk[3 * threadIdx.x + 3 * i + 1];
971     occupation_chunk[3 * threadIdx.x + 2] = occupation_chunk[3 * threadIdx.x + 2] +
972     occupation_chunk[3 * threadIdx.x + 3 * i + 2];
973 }
974
975 //add energies block wide
976 __syncthreads();
977 if (threadIdx.x == 0){
978     for (int i = 1; i < 32; i++){
979         occupation_chunk[0] = occupation_chunk[0] + occupation_chunk[32 * 3 * i];
980         occupation_chunk[1] = occupation_chunk[1] + occupation_chunk[32 * 3 * i + 1];
981         occupation_chunk[2] = occupation_chunk[2] + occupation_chunk[32 * 3 * i + 2];
982     }
983     //write results in memory
984     *(demon_block_attributes_d + 4 * (blockIdx.x + blockIdx.y*gridDim.x)) =
985     occupation_chunk[0];
986     *(demon_block_attributes_d + 4 * (blockIdx.x + blockIdx.y*gridDim.x) + 1) =
987     occupation_chunk[1];
988     *(demon_block_attributes_d + 4 * (blockIdx.x + blockIdx.y*gridDim.x) + 2) =
989     occupation_chunk[2];
990 }
991
992
993
994
995
996
997
998
999
1000
1001
1002
1003
1004
1005
1006
1007
1008
1009
1010
1011
1012
1013
1014
1015
1016
1017
1018
1019
1020
1021
1022
1023
1024
1025
--global__ void applyPatternRemove2D(unsigned int* demons_d, unsigned int*
random_pattern_d, int layer, int L1, int L2){
coordinates2D_t own_position = indexToCoordinates2DEven(threadIdx.x);
coordinates2D_t odd_position = indexToCoordinates2DOdd(threadIdx.x);
demons3_t own_demons = getDemons2D(demons_d, own_position, L1, L2);
demons3_t odd_demons = getDemons2D(demons_d, odd_position, L1, L2);

unsigned int random_pattern_own;
unsigned int random_pattern_odd;

unsigned int layer_demons_own;
unsigned int layer_demons_odd;

unsigned int applied_changes_own;
unsigned int applied_changes_odd;

unsigned int own_change_count = 0;

__shared__ unsigned int block_wide_changes[1024];

if (layer == DEMON_LAYER_LOW){

layer_demons_own = own_demons.ldemons;
layer_demons_odd = odd_demons.ldemons;

}
else if (layer == DEMON_LAYER_MID){

layer_demons_own = own_demons.mdemons;
layer_demons_odd = odd_demons.mdemons;

}
else if (layer == DEMON_LAYER_HIGH){
```

```
1026     layer_demons_own = own_demons.hdemons;
1027     layer_demons_odd = odd_demons.hdemons;
1028 }
1029
1030 random_pattern_own = *(random_pattern_d + own_position.x + own_position.y*L1);
1031 random_pattern_odd = *(random_pattern_d + odd_position.x + odd_position.y*L1);
1032
1033 applied_changes_own = layer_demons_own;
1034 applied_changes_odd = layer_demons_odd;
1035
1036 //remove demons if possible
1037 layer_demons_own = layer_demons_own & (~random_pattern_own);
1038 layer_demons_odd = layer_demons_odd & (~random_pattern_odd);
1039
1040 /*
1041 bit 1: change applied (demon removed)
1042 bit 0: no change occurred
1043 */
1044
1045 applied_changes_own = (applied_changes_own & random_pattern_own);
1046 applied_changes_odd = (applied_changes_odd & random_pattern_odd);
1047
1048 //compute number of changes
1049 unsigned int demon_mask;
1050 for (int i = 0; i < 32; i++){
1051     demon_mask = (1 << i);
1052     own_change_count = own_change_count + ((applied_changes_own & demon_mask) >> i) +
1053         ((applied_changes_odd & demon_mask) >> i);
1054 }
1055
1056 block_wide_changes[threadIdx.x] = own_change_count;
1057 __syncthreads();
1058 //sum up changes warp wide
1059 if (threadIdx.x % 32 == 0){
1060     for (int i = 1; i < 32; i++){
1061         block_wide_changes[threadIdx.x] = block_wide_changes[threadIdx.x] +
1062             block_wide_changes[threadIdx.x + i];
1063     }
1064 }
1065 __syncthreads();
1066
1067 //thread 0 sums up rest and saves informations in random_pattern_d
1068 if (threadIdx.x == 0){
1069     for (int i = 1; i < 32; i++){
1070         block_wide_changes[0] = block_wide_changes[0] + block_wide_changes[32 * i];
1071     }
1072     *(random_pattern_d + blockIdx.x * 64 + blockIdx.y * 32 * L1) = block_wide_changes[0];
1073 }
1074
1075
1076 //write back new demons to memory
1077 if (layer == DEMON_LAYER_LOW){
1078
1079     own_demons.ldemons = layer_demons_own;
1080     odd_demons.ldemons = layer_demons_odd;
1081
1082 }
1083
1084 else if (layer == DEMON_LAYER_MID){
1085
1086     own_demons.mdemons = layer_demons_own;
1087     odd_demons.mdemons = layer_demons_odd;
1088
1089 }
```

```
1090 }
1091 else if (layer == DEMON_LAYER_HIGH){
1092     own_demons.hdemons = layer_demons_own;
1093     odd_demons.hdemons = layer_demons_odd;
1094 }
1095 }
1096
1097 writeDemons2D(own_demons, demons_d, own_position, L1, L2);
1098 writeDemons2D(odd_demons, demons_d, odd_position, L1, L2);
1099 }
1100
1101 __global__ void applyPatternSet2D(unsigned int* demons_d, unsigned int* random_pattern_d,
1102                                     int layer, int L1, int L2){
1103     coordinates2D_t own_position = indexToCoordinates2DEven(threadIdx.x);
1104     coordinates2D_t odd_position = indexToCoordinates2DOdd(threadIdx.x);
1105
1106     demons3_t own_demons = getDemons2D(demons_d, own_position, L1, L2);
1107     demons3_t odd_demons = getDemons2D(demons_d, odd_position, L1, L2);
1108
1109     unsigned int random_pattern_own;
1110     unsigned int random_pattern_odd;
1111
1112
1113     unsigned int layer_demons_own;
1114     unsigned int layer_demons_odd;
1115
1116     unsigned int applied_changes_own;
1117     unsigned int applied_changes_odd;
1118
1119     unsigned int own_change_count = 0;
1120
1121     __shared__ unsigned int block_wide_changes[1024];
1122
1123     if (layer == DEMON_LAYER_LOW){
1124
1125         layer_demons_own = own_demons.ldemons;
1126         layer_demons_odd = odd_demons.ldemons;
1127
1128     }
1129     else if (layer == DEMON_LAYER_MID){
1130
1131         layer_demons_own = own_demons.mdemons;
1132         layer_demons_odd = odd_demons.mdemons;
1133
1134     }
1135     else if (layer == DEMON_LAYER_HIGH){
1136
1137         layer_demons_own = own_demons.hdemons;
1138         layer_demons_odd = odd_demons.hdemons;
1139
1140     }
1141
1142     random_pattern_own = *(random_pattern_d + own_position.x + own_position.y*L1);
1143     random_pattern_odd = *(random_pattern_d + odd_position.x + odd_position.y*L1);
1144
1145     applied_changes_own = layer_demons_own;
1146     applied_changes_odd = layer_demons_odd;
1147
1148 //set demons if possible
1149     layer_demons_own = layer_demons_own | random_pattern_own;
1150     layer_demons_odd = layer_demons_odd | random_pattern_odd;
1151
1152 /*
1153 bit 1: change applied (demon set)
1154 bit 0: no change occurred
1155 */
```

```
1155 */  
1156 applied_changes_own = (applied_changes_own ^ random_pattern_own) & random_pattern_own;  
1157 applied_changes_odd = (applied_changes_odd ^ random_pattern_odd) & random_pattern_odd;  
1158  
1159 //compute number of changes  
1160 unsigned int demon_mask;  
1161 for (int i = 0; i < 32; i++){  
1162     demon_mask = (1 << i);  
1163     own_change_count = own_change_count + ((applied_changes_own & demon_mask) >> i) + ((  
1164         applied_changes_odd & demon_mask) >> i);  
1165 }  
1166  
1167 block_wide_changes[threadIdx.x] = own_change_count;  
1168 __syncthreads();  
1169 //sum up changes warp wide  
1170 if (threadIdx.x % 32 == 0){  
1171     for (int i = 1; i < 32; i++){  
1172         block_wide_changes[threadIdx.x] = block_wide_changes[threadIdx.x] +  
1173             block_wide_changes[threadIdx.x + i];  
1174     }  
1175 }  
1176 __syncthreads();  
1177  
1178 //thread 0 sums up rest and saves informations in random_pattern_d  
1179 if (threadIdx.x == 0){  
1180     for (int i = 1; i < 32; i++){  
1181         block_wide_changes[0] = block_wide_changes[0] + block_wide_changes[32 * i];  
1182     }  
1183     *(random_pattern_d + blockIdx.x * 64 + blockIdx.y * 32 * L1) = block_wide_changes[0];  
1184 }  
1185  
1186 //write new demons back to memory  
1187  
1188 if (layer == DEMON_LAYER_LOW){  
1189     own_demons.ldemons = layer_demons_own;  
1190     odd_demons.ldemons = layer_demons_odd;  
1191 }  
1192 else if (layer == DEMON_LAYER_MID){  
1193     own_demons.mdemons = layer_demons_own;  
1194     odd_demons.mdemons = layer_demons_odd;  
1195 }  
1196 else if (layer == DEMON_LAYER_HIGH){  
1197     own_demons.hdemons = layer_demons_own;  
1198     odd_demons.hdemons = layer_demons_odd;  
1199 }  
1200  
1201 writeDemons2D(own_demons, demons_d, own_position, L1, L2);  
1202 writeDemons2D(odd_demons, demons_d, odd_position, L1, L2);  
1203 }  
1204  
1205 __global__ void updateDemons2D(unsigned int* demons_d, unsigned int* randoms, double  
1206     set_probabilities[], int L1, int L2){  
1207     demons3_t own_demons;  
1208     demons3_t odd_demons;  
1209     coordinates2D_t own_position = indexToCoordinates2DEven(threadIdx.x);  
1210     coordinates2D_t odd_position = indexToCoordinates2DEven(threadIdx.x);  
1211     coordinates2D_t center = (own_position + odd_position) / 2;  
1212     double distance = sqrt((center.x - own_position.x) * (center.x - own_position.x) +  
1213         (center.y - own_position.y) * (center.y - own_position.y));  
1214     if (distance <= L1) {  
1215         own_demons = demons_d[own_position.x * 64 + own_position.y * 32 * L1];  
1216         odd_demons = demons_d[odd_position.x * 64 + odd_position.y * 32 * L1];  
1217         if (own_demons > odd_demons) {  
1218             demons_d[own_position.x * 64 + own_position.y * 32 * L1] = odd_demons;  
1219             demons_d[odd_position.x * 64 + odd_position.y * 32 * L1] = own_demons;  
1220         } else {  
1221             demons_d[own_position.x * 64 + own_position.y * 32 * L1] = own_demons;  
1222             demons_d[odd_position.x * 64 + odd_position.y * 32 * L1] = odd_demons;  
1223         }  
1224     } else if (distance > L1 & distance <= L2) {  
1225         own_demons = demons_d[own_position.x * 64 + own_position.y * 32 * L1];  
1226         odd_demons = demons_d[odd_position.x * 64 + odd_position.y * 32 * L1];  
1227         if (own_demons > odd_demons) {  
1228             demons_d[own_position.x * 64 + own_position.y * 32 * L1] = odd_demons;  
1229             demons_d[odd_position.x * 64 + odd_position.y * 32 * L1] = own_demons;  
1230         } else {  
1231             demons_d[own_position.x * 64 + own_position.y * 32 * L1] = own_demons;  
1232             demons_d[odd_position.x * 64 + odd_position.y * 32 * L1] = odd_demons;  
1233         }  
1234     } else {  
1235         demons_d[own_position.x * 64 + own_position.y * 32 * L1] = own_demons;  
1236         demons_d[odd_position.x * 64 + odd_position.y * 32 * L1] = odd_demons;  
1237     }  
1238 }  
1239  
1240 //function to convert index to coordinates  
1241 coordinates2D_t indexToCoordinates2DEven(int index){  
1242     coordinates2D_t coordinates;  
1243     coordinates.x = index % 64;  
1244     coordinates.y = index / 64;  
1245     return coordinates;  
1246 }
```

```
1218 coordinates2D_t odd_position = indexToCoordinates2DOdd(threadIdx.x);
1219
1220 own_demons = getDemons2D(demons_d, own_position, L1, L2);
1221 odd_demons = getDemons2D(demons_d, odd_position, L1, L2);
1222
1223 int current_random = (int) *(randoms + 1024*(blockIdx.x + blockIdx.y*gridDim.x) + threadIdx.x);
1224 //printf("%i \n", current_random);
1225 double set_prob[3];
1226 set_prob[0] = set_probabilities[0];
1227 set_prob[1] = set_probabilities[1];
1228 set_prob[2] = set_probabilities[2];
1229
1230 for (int i = 0; i < 32; i++){
1231     //for low demons
1232     simpleRandomInteger0(current_random);
1233     if ((current_random / 2147483646.0) <= set_prob[0]){
1234         own_demons.ldemons = own_demons.ldemons | (1 << i);
1235     }
1236     else{
1237         own_demons.ldemons = own_demons.ldemons & ~(1 << i);
1238     }
1239
1240     simpleRandomInteger0(current_random);
1241     if ((current_random / 2147483646.0) <= set_prob[0]){
1242         odd_demons.ldemons = odd_demons.ldemons | (1 << i);
1243     }
1244     else{
1245         odd_demons.ldemons = odd_demons.ldemons & ~(1 << i);
1246     }
1247
1248     simpleRandomInteger0(current_random);
1249     if ((current_random / 2147483646.0) <= set_prob[1]){
1250         own_demons.mdemons = own_demons.mdemons | (1 << i);
1251     }
1252     else{
1253         own_demons.mdemons = own_demons.mdemons & ~(1 << i);
1254     }
1255
1256     simpleRandomInteger0(current_random);
1257     if ((current_random / 2147483646.0) <= set_prob[1]){
1258         odd_demons.mdemons = odd_demons.mdemons | (1 << i);
1259     }
1260     else{
1261         odd_demons.mdemons = odd_demons.mdemons & ~(1 << i);
1262     }
1263
1264     simpleRandomInteger0(current_random);
1265     if ((current_random / 2147483646.0) <= set_prob[2]){
1266         own_demons.hdemons = own_demons.hdemons | (1 << i);
1267     }
1268     else{
1269         own_demons.hdemons = own_demons.hdemons & ~(1 << i);
1270     }
1271
1272     simpleRandomInteger0(current_random);
1273     if ((current_random / 2147483646.0) <= set_prob[2]){
1274         odd_demons.hdemons = odd_demons.hdemons | (1 << i);
1275     }
1276     else{
1277         odd_demons.hdemons = odd_demons.hdemons & ~(1 << i);
1278     }
1279 }
1280
1281 //write back randoms
```

```
1282 *(randoms + 1024*(blockIdx.x + blockIdx.y*gridDim.x) + threadIdx.x) = (unsigned int)
1283     current_random;
1284 //write back demons
1285
1286 writeDemons2D(own_demons, demons_d, own_position, L1, L2);
1287 writeDemons2D(odd_demons, demons_d, odd_position, L1, L2);
1288 }
```

8.2.2.7 routines3D.cu

```
1 #include "cuda_runtime.h"
2 #include "device_launch_parameters.h"
3
4 #include "routines3D.hpp"
5 #include <stdio.h>
6 __device__ inline coordinates3D_t indexToCoordinates3DEven(int index){
7 coordinates3D_t position;
8
9 //origin of the 32x32 sub lattice.
10 int pointX = blockIdx.x * 64;
11 int pointY = blockIdx.y * 32;
12 /*
13 calculate position in sub lattice 32x32
14 i.e.: transform index to coordinates of the full lattice
15 */
16 position.z = blockIdx.z;
17 position.y = index / 32 + pointY;
18 position.x = index % 32;
19
20
21 //expand coordinates to all even points in the lattice.
22
23 //first coordinate in x-direction (0,y,z) is even
24 if ((pointX + position.y + position.z) % 2 == 0){
25     position.x = 2 * position.x + pointX;
26 }
27 //first coordinate in x-direction (0,y,z) is odd
28 else if ((pointX + position.y + position.z) % 2 != 0){
29     position.x = 2 * position.x + 1 + pointX;
30 }
31
32 return position;
33 }
34
35
36 __device__ inline coordinates3D_t indexToCoordinates3DOdd(int index){
37 coordinates3D_t position;
38
39 int pointX = blockIdx.x * 64;
40 int pointY = blockIdx.y * 32;
41
42 //calculate position in sub lattice 32x32
43 position.z = blockIdx.z;
44 position.y = index / 32 + pointY;
45 position.x = index % 32;
46
47 //expand coordinates to all even points in the lattice.
48
49 //first coordinate in x-direction (0,y,z) is odd
50 if ((pointX + position.y + position.z) % 2 != 0){
51     position.x = 2 * position.x + pointX;
```

```
52 }
53 //first coordinate in x-direction (0,y,z) is even
54 else if ((pointX + position.y + position.z) % 2 == 0){
55     position.x = 2 * position.x + 1 + pointX;
56 }
57
58 return position;
59 }
60
61 __device__ inline coordinates3D_t getNeighbourPosition3D(coordinates3D_t own_position,
62               int neighbour, int L1, int L2, int L3) {
63
64     int x = own_position.x;
65     int y = own_position.y;
66     int z = own_position.z;
67
68     switch (neighbour){
69
70     case _FRONT_:
71         //regard boundary conditions
72         if (x + 1 > L1 - 1){
73             own_position.x = 0;
74         }
75         else{
76             own_position.x = x + 1;
77         }
78         break;
79
80     case _BACK_:
81         //regard boundary conditions
82         if (x - 1 < 0){
83             own_position.x = L1 - 1;
84         }
85         else{
86             own_position.x = x - 1;
87         }
88         break;
89
90     case _LEFT_:
91         //regard boundary conditions
92         if (y + 1 > L2 - 1){
93             own_position.y = 0;
94         }
95         else{
96             own_position.y = y + 1;
97         }
98         break;
99
100    case _RIGHT_:
101        //regard boundary conditions
102        if (y - 1 < 0){
103            own_position.y = L2 - 1;
104        }
105        else{
106            own_position.y = y - 1;
107        }
108        break;
109
110    case _UPPER_:
111        //regard boundary conditions
112        if (z + 1 > L3 - 1){
113            own_position.z = 0;
114        }
115        else{
116            own_position.z = z + 1;
```

```
117 }
118 break;
119
120 case _LOWER_:
121 //regard boundary conditions
122 if (z - 1 < 0){
123     own_position.z = L3 - 1;
124 }
125 else{
126     own_position.z = z - 1;
127 }
128 break;
129 }
130
131 return own_position;
132 }
133
134
135 __device__ inline unsigned int getMultispin3D(unsigned int* spins_d, const
136 coordinates3D_t& position, int L1, int L2, int L3){
137
138     int x = position.x;
139     int y = position.y;
140     int z = position.z;
141
142     int sub_L1 = L1 / 2;
143
144     //coordinates even?
145     if ((x + y + z) % 2 == 0){
146         //reverse transformation in indexToCoordinates3DEven
147         if ((y + z) % 2 == 0){
148             x = x / 2;
149         }
150         else{
151             x = (x - 1) / 2;
152         }
153     }
154     else{
155         //reverse transformation in indexToCoordinates3DOdd
156         if ((y + z) % 2 != 0){
157             x = x / 2;
158         }
159         else{
160             x = (x - 1) / 2;
161         }
162     }
163     return *(spins_d + x + y*sub_L1 + z*sub_L1*L2);
164 }
165
166
167
168 __device__ inline void writeMultispin3D(unsigned int multispin, unsigned int* spins_d,
169 const coordinates3D_t& position, int L1, int L2, int L3){
170
171     int x = position.x;
172     int y = position.y;
173     int z = position.z;
174
175     int sub_L1 = L1 / 2;
176
177     //coordinates even?
178     if ((x + y + z) % 2 == 0){
179         //reverse transformation in indexToCoordinates3DEven
180         if ((y + z) % 2 == 0){
181             x = x / 2;
```

```
181     }
182     else{
183         x = (x - 1) / 2;
184     }
185     *(spins_d + x + y*sub_L1 + z*sub_L1*L2) = multispin;
186 }
187 else{
188     //reverse transformation in indexToCoordinates3DOdd
189     if ((y + z) % 2 != 0){
190         x = x / 2;
191     }
192     else{
193         x = (x - 1) / 2;
194     }
195     *(spins_d + x + y*sub_L1 + z*sub_L1*L2 + sub_L1 * L2 * L3) = multispin;
196 }
197 }
198
199
200 __device__ inline demons3_t getDemons3D(unsigned int* demons_d, const coordinates3D_t&
201     position, int L1, int L2, int L3){
202     int x = position.x;
203     int y = position.y;
204     int z = position.z;
205     int sub_L1 = L1 / 2;
206
207     demons3_t demons;
208
209     //coordinates even?
210     if ((x + y + z) % 2 == 0){
211         //reverse transformation in indexToCoordinates3DEven
212         if ((y + z) % 2 == 0){
213             x = x / 2;
214         }
215         else{
216             x = (x - 1) / 2;
217         }
218         demons.hdemons = *(demons_d + x + y*sub_L1 + z*sub_L1*L2);
219         demons.mdemons = *(demons_d + x + y*sub_L1 + z*sub_L1*L2 + sub_L1*L2*L3);
220         demons.ldemons = *(demons_d + x + y*sub_L1 + z*sub_L1*L2 + 2 * sub_L1*L2*L3);
221     }
222     else{
223         //reverse transformation in indexToCoordinates3DOdd
224         if ((y + z) % 2 != 0){
225             x = x / 2;
226         }
227         else{
228             x = (x - 1) / 2;
229         }
230         demons.hdemons = *(demons_d + x + y*sub_L1 + z*sub_L1*L2 + 3 * sub_L1*L2*L3);
231         demons.mdemons = *(demons_d + x + y*sub_L1 + z*sub_L1*L2 + 4 * sub_L1*L2*L3);
232         demons.ldemons = *(demons_d + x + y*sub_L1 + z*sub_L1*L2 + 5 * sub_L1*L2*L3);
233     }
234
235     return demons;
236 }
237
238 __device__ inline void writeDemons3D(demons3_t demons, unsigned int* demons_d, const
239     coordinates3D_t& position, int L1, int L2, int L3){
240     int x = position.x;
241     int y = position.y;
242     int z = position.z;
243     int sub_L1 = L1 / 2;
```

```
245 //coordinates even?
246 if ((x + y + z) % 2 == 0){
247     //reverse transformation in indexToCoordinates3DEven
248     if ((y + z) % 2 == 0){
249         x = x / 2;
250     }
251     else{
252         x = (x - 1) / 2;
253     }
254     *(demons_d + x + y*sub_L1 + z*sub_L1*L2) = demons.hdemons;
255     *(demons_d + x + y*sub_L1 + z*sub_L1*L2 + sub_L1*L2*L3) = demons.mdemons;
256     *(demons_d + x + y*sub_L1 + z*sub_L1*L2 + 2 * sub_L1*L2*L3) = demons.ldemons;
257 }
258 else{
259     //reverse transformation in indexToCoordinates3DOdd
260     if ((y + z) % 2 != 0){
261         x = x / 2;
262     }
263     else{
264         x = (x - 1) / 2;
265     }
266     *(demons_d + x + y*sub_L1 + z*sub_L1*L2 + 3 * sub_L1*L2*L3) = demons.hdemons;
267     *(demons_d + x + y*sub_L1 + z*sub_L1*L2 + 4 * sub_L1*L2*L3) = demons.mdemons;
268     *(demons_d + x + y*sub_L1 + z*sub_L1*L2 + 5 * sub_L1*L2*L3) = demons.ldemons;
269 }
270 }
271 }
272
273 __device__ inline multint7_t localSpinEnergy3D(unsigned int own_multispin, unsigned int*
274 neighbour_multispins){
275
276 multint7_t sum_energy = multint7_0;
277 multint7_t current_edge_energy;
278 unsigned int parallel;
279
280 for (int i = 0; i < 6; i++){
281     //bit 0: spins antiparallel; bit 1: spins parallel
282     parallel = ~(neighbour_multispins[i] ^ own_multispin);
283
284     //if antiparallel set current_edge_energy = 1, else -1
285     current_edge_energy.bit[0] = ~0;
286     for (int i = 1; i < 6; i++){
287         current_edge_energy.bit[i] = parallel;
288     }
289     current_edge_energy.sign = parallel;
290
291     //add edge energy to total energy.
292     sum_energy = sum_energy + current_edge_energy;
293 }
294
295 return sum_energy;
296 }
297
298
299
300
301 __device__ inline void getEnvironment3DEven(unsigned int* spins_d, unsigned int* demons_d,
302     , coordinates3D_t& own_position, unsigned int& own_multispin, demons3_t& own_demons,
303     , unsigned int* neighbour_multispins, unsigned int* spin_chunk, int L1, int L2, int L3)
304 {
305
306     own_position = indexToCoordinates3DEven(threadIdx.x);
307
308     coordinates3D_t block_origin;
```

```
307 block_origin.x = blockIdx.x * 64;
308 block_origin.y = blockIdx.y * 32;
309 block_origin.z = blockIdx.z;
310
311 int x = own_position.x;
312 int y = own_position.y;
313 int z = own_position.z;
314
315
316
317 coordinates3D_t neighbour_position;
318
319 own_multispin = getMultispin3D(spins_d, own_position, L1, L2, L3);
320 own_demons = getDemons3D(demons_d, own_position, L1, L2, L3);
321
322 /*
323 neighbour_multispins[0]: front multispin
324 neighbour_multispins[1]: back multispin
325 neighbour_multispins[2]: left multispin
326 neighbour_multispins[3]: right multispin
327 neighbour_multispins[4]: upper multispin
328 neighbour_multispins[5]: lower multispin
329 */
330
331 //load upper and lower multispins
332 neighbour_position = getNeighbourPosition3D(own_position, _UPPER_, L1, L2, L3);
333 neighbour_multispins[4] = getMultispin3D(spins_d, neighbour_position, L1, L2, L3);
334
335 neighbour_position = getNeighbourPosition3D(own_position, _LOWER_, L1, L2, L3);
336 neighbour_multispins[5] = getMultispin3D(spins_d, neighbour_position, L1, L2, L3);
337
338
339 //load neighbour multispins on the x-y-plane in spin_chunk
340 coordinates3D_t odd_position = indexToCoordinates3DOdd(threadIdx.x);
341 spin_chunk[threadIdx.x] = getMultispin3D(spins_d, odd_position, L1, L2, L3);
342 __syncthreads(); //IMPORTANT, prevents race condition in shared memory
343
344 /*
345 load front and back multispins to local variables.
346 */
347 //is the first point in the row (block.origin.x, y, z) even ?
348 if ((block_origin.x + y + z) % 2 == 0){
349
350     //write front multispin
351     neighbour_multispins[0] = spin_chunk[threadIdx.x];
352     if (x > block_origin.x){
353         //write back multispin
354         neighbour_multispins[1] = spin_chunk[threadIdx.x - 1];
355     }
356     else{
357         neighbour_position = getNeighbourPosition3D(own_position, _BACK_, L1, L2, L3);
358         //write back multispin
359         neighbour_multispins[1] = getMultispin3D(spins_d, neighbour_position, L1, L2, L3);
360     }
361 }
362 }
363 else{
364
365     //write back multispin
366     neighbour_multispins[1] = spin_chunk[threadIdx.x];
367
368     if (x < block_origin.x + 63){
369
370         //write front multispin
371         neighbour_multispins[0] = spin_chunk[threadIdx.x + 1];
372     }
```

```
373     else{
374         neighbour_position = getNeighbourPosition3D(own_position, _FRONT_, L1, L2, L3);
375         //write front multispin
376         neighbour_multispins[0] = getMultispin3D(spins_d, neighbour_position, L1, L2, L3);
377     }
378 }
379 /*
380 load left and right multispins to local variables.
381 */
382 //is the first point in the column (x, block_origin.y, z) even?
383 if ((x + block_origin.y + z) % 2 == 0){
384
385     //write left multispin
386     neighbour_multispins[2] = spin_chunk[threadIdx.x + 32];
387
388     if (y > block_origin.y){
389         //write right multispin
390         neighbour_multispins[3] = spin_chunk[threadIdx.x - 32];
391     }
392     else{
393         neighbour_position = getNeighbourPosition3D(own_position, _RIGHT_, L1, L2, L3);
394         //write right multispin
395         neighbour_multispins[3] = getMultispin3D(spins_d, neighbour_position, L1, L2, L3);
396     }
397 }
398 else{
399
400     //write right multispin
401     neighbour_multispins[3] = spin_chunk[threadIdx.x - 32];
402
403     if (y < block_origin.y + 31){
404         //write left multispin
405         neighbour_multispins[2] = spin_chunk[threadIdx.x + 32];
406     }
407     else{
408         neighbour_position = getNeighbourPosition3D(own_position, _LEFT_, L1, L2, L3);
409         //write left multispin
410         neighbour_multispins[2] = getMultispin3D(spins_d, neighbour_position, L1, L2, L3);
411     }
412 }
413 }
414 }
415
416
417
418 __device__ inline void getEnvironment3DOdd(unsigned int* spins_d, unsigned int* demons_d,
419     coordinates3D_t& own_position, unsigned int& own_multispin, demons3_t& own_demons,
420     unsigned int* neighbour_multispins, unsigned int* spin_chunk, int L1, int L2, int L3)
421 {
422
423     own_position = indexToCoordinates3DOdd(threadIdx.x);
424
425     coordinates3D_t block_origin;
426     block_origin.x = blockIdx.x * 64;
427     block_origin.y = blockIdx.y * 32;
428     block_origin.z = blockIdx.z;
429
430     int x = own_position.x;
431     int y = own_position.y;
432     int z = own_position.z;
433
434     coordinates3D_t neighbour_position;
```

```
436
437 own_multispin = getMultispin3D(spins_d, own_position, L1, L2, L3);
438 own_demons = getDemons3D(demons_d, own_position, L1, L2, L3);
439 /*
440 neighbour_multispins[0]: front multispin
441 neighbour_multispins[1]: back multispin
442 neighbour_multispins[2]: left multispin
443 neighbour_multispins[3]: right multispin
444 neighbour_multispins[4]: upper multispin
445 neighbour_multispins[5]: lower multispin
446 */
447
448 //load upper and lower multispins
449 neighbour_position = getNeighbourPosition3D(own_position, _UPPER_, L1, L2, L3);
450 neighbour_multispins[4] = getMultispin3D(spins_d, neighbour_position, L1, L2, L3);
451
452 neighbour_position = getNeighbourPosition3D(own_position, _LOWER_, L1, L2, L3);
453 neighbour_multispins[5] = getMultispin3D(spins_d, neighbour_position, L1, L2, L3);
454
455
456 //load neighbour multispins on the x-y-plane in spin_chunk
457 coordinates3D_t even_position = indexToCoordinates3DEven(threadIdx.x);
458 spin_chunk[threadIdx.x] = getMultispin3D(spins_d, even_position, L1, L2, L3);
459 __syncthreads(); //IMPORTANT, prevents race condition in shared memory
460
461
462 /*
463 load front and back multispins to local variables.
464 */
465 //is the first point in the row (block.origin.x, y, z) odd ?
466 if ((block.origin.x + y + z) % 2 != 0{
467
468     //write front multispin
469     neighbour_multispins[0] = spin_chunk[threadIdx.x];
470     if (x > block_origin.x){
471         //write back multispin
472         neighbour_multispins[1] = spin_chunk[threadIdx.x - 1];
473     }
474     else{
475         neighbour_position = getNeighbourPosition3D(own_position, _BACK_, L1, L2, L3);
476         //write back multispin
477         neighbour_multispins[1] = getMultispin3D(spins_d, neighbour_position, L1, L2, L3);
478     }
479 }
480 }
481 else{
482
483     //write back multispin
484     neighbour_multispins[1] = spin_chunk[threadIdx.x];
485
486     if (x < block_origin.x + 63){
487
488         //write front multispin
489         neighbour_multispins[0] = spin_chunk[threadIdx.x + 1];
490     }
491     else{
492         neighbour_position = getNeighbourPosition3D(own_position, _FRONT_, L1, L2, L3);
493         //write front multispin
494         neighbour_multispins[0] = getMultispin3D(spins_d, neighbour_position, L1, L2, L3);
495     }
496 }
497
498 /*
499 load left and right multispins to local variables.
500 */
501 //is the first point in the column (x, block_origin.y, z) even?
```

```
502 if ((x + block_origin.y + z) % 2 != 0){  
503     //write left multispin  
504     neighbour_multispins[2] = spin_chunk[threadIdx.x + 32];  
505  
506     if (y > block_origin.y){  
507         //write right multispin  
508         neighbour_multispins[3] = spin_chunk[threadIdx.x - 32];  
509     }  
510     else{  
511         neighbour_position = getNeighbourPosition3D(own_position, _RIGHT_, L1, L2, L3);  
512         //write right multispin  
513         neighbour_multispins[3] = getMultispin3D(spins_d, neighbour_position, L1, L2, L3);  
514     }  
515 }  
516 }  
517 else{  
518     //write right multispin  
519     neighbour_multispins[3] = spin_chunk[threadIdx.x - 32];  
520  
521     if (y < block_origin.y + 31){  
522         //write left multispin  
523         neighbour_multispins[2] = spin_chunk[threadIdx.x + 32];  
524     }  
525     else{  
526         neighbour_position = getNeighbourPosition3D(own_position, _LEFT_, L1, L2, L3);  
527         //write left multispin  
528         neighbour_multispins[2] = getMultispin3D(spins_d, neighbour_position, L1, L2, L3);  
529     }  
530 }  
531 }  
532 }  
533  
534  
535 __global__ void metropolis3DPeriodicEven(unsigned int* spins_d, unsigned int* demons_d,  
536     int L1, int L2, int L3){  
537  
538 coordinates3D_t own_position;  
539 unsigned int own_multispin;  
540 demons3_t own_demons;  
541 unsigned int neighbour_multispins[6];  
542  
543 __shared__ unsigned int spin_chunk[1024];  
544  
545 getEnvironment3DEven(spins_d, demons_d, own_position, own_multispin, own_demons,  
546     neighbour_multispins, spin_chunk, L1, L2, L3);  
547  
548 /*  
549 compute if spin change is possible.  
550 */  
551 multint7_t sum_energy;  
552 multint7_t energy_change;  
553 multint7_t demon_energy;  
554  
555 sum_energy = localSpinEnergy3D(own_multispin, neighbour_multispins);  
556 demon_energy = demonEnergy7(own_demons);  
557  
558 energy_change = sum_energy + sum_energy;  
559 //demon energy after spin flip  
560 demon_energy = demon_energy + energy_change;  
561  
562 unsigned int flip_decision;  
563  
564 // if demon_energy is negative, no flip is allowed, bit is set to 0;  
565 flip_decision = ~(demon_energy.sign);  
566  
567 //if demon energy is bigger than 16+8+4 = 28 (=0011100) no flip allowed.
```

```
566 flip_decision = flip_decision & ~(demon_energy.bit[5]);
567 flip_decision = flip_decision & (~demon_energy.bit[4] & demon_energy.bit[3] &
568     demon_energy.bit[2]) | (~demon_energy.bit[1]) & ~(demon_energy.bit[0]));
569 //flip spins
570 own_multispin = own_multispin ^ flip_decision;
571
572 //cast new demon_energy to demons3_t if spin changed.
573 own_demons.ldemons = ((own_demons.ldemons ^ demon_energy.bit[2]) & flip_decision) ^
574     own_demons.ldemons;
575 own_demons.mdemons = ((own_demons.mdemons ^ demon_energy.bit[3]) & flip_decision) ^
576     own_demons.mdemons;
577 own_demons.hdemons = ((own_demons.hdemons ^ demon_energy.bit[4]) & flip_decision) ^
578     own_demons.hdemons;
579
580 writeMultispin3D(own_multispin, spins_d, own_position, L1, L2, L3);
581 writeDemons3D(own_demons, demons_d, own_position, L1, L2, L3);
582 }
583
584
585 __global__ void metropolis3DPeriodicOdd(unsigned int* spins_d, unsigned int* demons_d,
586     int L1, int L2, int L3){
587
588 coordinates3D_t own_position;
589 unsigned int own_multispin;
590 demons3_t own_demons;
591 unsigned int neighbour_multispins[6];
592
593 __shared__ unsigned int spin_chunk[1024];
594
595 getEnvironment3DOdd(spins_d, demons_d, own_position, own_multispin, own_demons,
596     neighbour_multispins, spin_chunk, L1, L2, L3);
597 /*
598 compute if spin change is possible.
599 */
600 multint7_t sum_energy;
601 multint7_t energy_change;
602 multint7_t demon_energy;
603
604 sum_energy = localSpinEnergy3D(own_multispin, neighbour_multispins);
605 demon_energy = demonEnergy7(own_demons);
606
607 energy_change = sum_energy + sum_energy;
608 //demon energy after spin flip
609 demon_energy = demon_energy + energy_change;
610
611 unsigned int flip_decision;
612
613 // if demon_energy is negative, no flip is allowed, bit is set to 0;
614 flip_decision = ~(demon_energy.sign);
615
616 //if demon energy is bigger than 16+8+4 = 28 (=0011100) no flip allowed.
617 flip_decision = flip_decision & ~(demon_energy.bit[5]);
618 flip_decision = flip_decision & (~demon_energy.bit[4] & demon_energy.bit[3] &
619     demon_energy.bit[2]) | (~demon_energy.bit[1]) & ~(demon_energy.bit[0]));
620 //flip spins
621 own_multispin = own_multispin ^ flip_decision;
622
623 //cast new demon_energy to demons3_t if spin changed.
```

```
625 own_demons.ldemons = ((own_demons.ldemons ^ demon_energy.bit[2]) & flip_decision) ^
626     own_demons.ldemons;
627 own_demons.mdemons = ((own_demons.mdemons ^ demon_energy.bit[3]) & flip_decision) ^
628     own_demons.mdemons;
629 own_demons.hdemons = ((own_demons.hdemons ^ demon_energy.bit[4]) & flip_decision) ^
630     own_demons.hdemons;
631
632 writeMultispin3D(own_multispin, spins_d, own_position, L1, L2, L3);
633 writeDemons3D(own_demons, demons_d, own_position, L1, L2, L3);
634 }
635
636 __global__ void totalEnergyBlockWide3DPeriodic(unsigned int* spins_d, unsigned int*
637     demons_d, int* energies_block_wide, int L1, int L2, int L3){
638
639 coordinates3D_t own_position;
640 unsigned int own_multispin;
641 demons3_t own_demons;
642
643 unsigned int neighbour_multispins[6];
644
645 extern __shared__ int chunk[];
646 unsigned int* spin_chunk = (unsigned int*)&chunk[0];
647
648 getEnvironment3DEven(spins_d, demons_d, own_position, own_multispin, own_demons,
649     neighbour_multispins, spin_chunk, L1, L2, L3);
650 __syncthreads();
651
652 demons3_t odd_demons;
653
654 //load neighbour demons on the x-y-plane in demon_chunk
655 coordinates3D_t odd_position = indexToCoordinates3DOdd(threadIdx.x);
656
657 odd_demons = getDemons3D(demons_d, odd_position, L1, L2, L3);
658
659 //add up energies
660 multint17_t sum_energy;
661 multint17_t demon_energy;
662 multint17_t demon_energy_odd;
663
664 sum_energy = castMultint(localSpinEnergy3D(own_multispin, neighbour_multispins));
665
666 demon_energy = demonEnergy17(own_demons);
667 demon_energy_odd = demonEnergy17(odd_demons);
668 demon_energy = demon_energy + demon_energy_odd;
669
670 sum_energy = sum_energy + demon_energy;
671
672 multint17_t* energy_chunk = (multint17_t*)&chunk[0];
673
674 // first 512 threads loads energies in chunk
675 if (threadIdx.x < 512){
676     energy_chunk[threadIdx.x] = sum_energy;
677 }
678
679 //next 512 threads add there own energies.
680 __syncthreads();
681 if (threadIdx.x >= 512){
682     energy_chunk[threadIdx.x - 512] = energy_chunk[threadIdx.x - 512] + sum_energy;
683 }
684
685
```

```
686 //add energies warp wide
687 __syncthreads();
688 if (threadIdx.x < 512){
689     if (threadIdx.x % 32 == 0){
690         for (int i = 1; i < 32; i++){
691             energy_chunk[threadIdx.x] = energy_chunk[threadIdx.x] + energy_chunk[threadIdx.x +
692                 i];
693         }
694     }
695 }
696 //add energies block wide
697 __syncthreads();
698 if (threadIdx.x == 0){
699     for (int i = 1; i < 16; i++){
700         energy_chunk[0] = energy_chunk[0] + energy_chunk[32 * i];
701     }
702 }
703
704 //first 32 threads writes results in global memory
705 __syncthreads();
706 if (threadIdx.x < 32){
707     *(energies_block_wide + 32 * (blockIdx.x + blockIdx.y*gridDim.x + blockIdx.z*gridDim.x *
708         gridDim.y) + threadIdx.x) = getNumber(energy_chunk[0], threadIdx.x);
709 }
710 }
711
712 __global__ void totalSpinEnergyBlockWide3DPeriodic(unsigned int* spins_d, unsigned int*
713 demons_d, int* energies_block_wide, int L1, int L2, int L3){
714 coordinates3D_t own_position;
715 unsigned int own_multispin;
716 demons3_t own_demons;
717
718 unsigned int neighbour_multispins[6];
719
720
721 extern __shared__ int chunk[];
722 unsigned int* spin_chunk = (unsigned int*)&chunk[0];
723
724 getEnvironment3DEven(spins_d, demons_d, own_position, own_multispin, own_demons,
725     neighbour_multispins, spin_chunk, L1, L2, L3);
726 __syncthreads();
727
728
729 //add up energies
730 multint17_t sum_energy;
731
732 sum_energy = castMultint(localSpinEnergy3D(own_multispin, neighbour_multispins));
733
734 multint17_t* energy_chunk = (multint17_t*)&chunk[0];
735
736 // first 512 threads loads energies in chunk
737 if (threadIdx.x < 512){
738     energy_chunk[threadIdx.x] = sum_energy;
739 }
740
741 //next 512 threads add there own energies.
742 __syncthreads();
743 if (threadIdx.x >= 512){
744     energy_chunk[threadIdx.x - 512] = energy_chunk[threadIdx.x - 512] + sum_energy;
745 }
746
747 //add energies warp wide
```

```
748 __syncthreads();
749 if (threadIdx.x < 512){
750     if (threadIdx.x % 32 == 0){
751         for (int i = 1; i < 32; i++){
752             energy_chunk[threadIdx.x] = energy_chunk[threadIdx.x] + energy_chunk[threadIdx.x +
753                 i];
754         }
755     }
756 }
757 //add energies block wide
758 __syncthreads();
759 if (threadIdx.x == 0){
760     for (int i = 1; i < 16; i++){
761         energy_chunk[0] = energy_chunk[0] + energy_chunk[32 * i];
762     }
763 }
764
765 //first 32 threads writes results in global memory
766 __syncthreads();
767 if (threadIdx.x < 32){
768     *(energies_block_wide + 32 * (blockIdx.x + blockIdx.y*gridDim.x + blockIdx.z*gridDim.x *
769         gridDim.y) + threadIdx.x) = getNumber(energy_chunk[0], threadIdx.x);
770 }
771 }
772
773 __global__ void totalDemonEnergyBlockWide3D(unsigned int* demons_d, int*
774     energies_block_wide, int L1, int L2, int L3){
775
776 demons3_t own_demons;
777 demons3_t odd_demons;
778
779 coordinates3D_t own_position = indexToCoordinates3DEven(threadIdx.x);
780 coordinates3D_t odd_position = indexToCoordinates3DOdd(threadIdx.x);
781
782 own_demons = getDemons3D(demons_d, own_position, L1, L2, L3);
783 odd_demons = getDemons3D(demons_d, odd_position, L1, L2, L3);
784
785 //add up energies
786 multint17_t sum_energy;
787 multint17_t sum_energy_odd;
788 sum_energy = demonEnergy17(own_demons);
789 sum_energy_odd = demonEnergy17(odd_demons);
790 sum_energy = sum_energy + sum_energy_odd;
791
792
793 extern __shared__ int chunk[];
794 multint17_t* energy_chunk = (multint17_t*)&chunk[0];
795
796 // first 512 threads loads energies in chunk
797 if (threadIdx.x < 512){
798     energy_chunk[threadIdx.x] = sum_energy;
799 }
800
801 //next 512 threads add there own energies.
802 __syncthreads();
803 if (threadIdx.x >= 512){
804     energy_chunk[threadIdx.x - 512] = energy_chunk[threadIdx.x - 512] + sum_energy;
805 }
806
807 //add energies warp wide
808 __syncthreads();
809 if (threadIdx.x < 512){
810     if (threadIdx.x % 32 == 0){
```

```
811     for (int i = 1; i < 32; i++){
812         energy_chunk[threadIdx.x] = energy_chunk[threadIdx.x] + energy_chunk[threadIdx.x + i
813     ];
814 }
815 }
816
817 //add energies block wide
818 __syncthreads();
819 if (threadIdx.x == 0){
820     for (int i = 1; i < 16; i++){
821         energy_chunk[0] = energy_chunk[0] + energy_chunk[32 * i];
822     }
823 }
824
825 //first 32 threads writes results in global memory
826 __syncthreads();
827 if (threadIdx.x < 32){
828     *(energies_block_wide + 32 * (blockIdx.x + blockIdx.y*gridDim.x + blockIdx.z*gridDim.x*
829         gridDim.y) + threadIdx.x) = getNumber(energy_chunk[0], threadIdx.x);
830 }
831 }
832
833 __global__ void totalMagnetizationBlockWide3D(unsigned int* spins_d, int*
834     magnetization_block_wide, int L1, int L2, int L3){
835
836 //add up energies
837 multint17_t local_magnetization;
838
839 coordinates3D_t own_position = indexToCoordinates3DEven(threadIdx.x);
840 coordinates3D_t odd_position = indexToCoordinates3DOdd(threadIdx.x);
841 unsigned int own_multispin = getMultispin3D(spins_d, own_position, L1, L2, L3);
842 unsigned int odd_multispin = getMultispin3D(spins_d, odd_position, L1, L2, L3);
843
844
845 unsigned int sign = ~own_multispin;
846 multint17_t current_magnetization = multint17_0;
847
848 current_magnetization.bit[0] = ~0;
849
850 for (int i = 1; i < 16; i++){
851     current_magnetization.bit[i] = sign;
852 }
853 current_magnetization.sign = sign;
854 local_magnetization = current_magnetization;
855 current_magnetization = multint17_0;
856
857 sign = ~odd_multispin;
858 current_magnetization.bit[0] = ~0;
859 for (int i = 1; i < 16; i++){
860     current_magnetization.bit[i] = sign;
861 }
862 current_magnetization.sign = sign;
863
864 local_magnetization = local_magnetization + current_magnetization;
865
866 extern __shared__ int chunk[];
867 multint17_t* magn_chunk = (multint17_t*)&chunk[0];
868
869 // first 512 threads loads energies in chunk
870 if (threadIdx.x < 512){
871     magn_chunk[threadIdx.x] = local_magnetization;
872 }
```

```
874 //next 512 threads add there own energies.  
875 __syncthreads();  
876 if (threadIdx.x >= 512){  
877     magn_chunk[threadIdx.x - 512] = magn_chunk[threadIdx.x - 512] + local_magnetization;  
878 }  
879  
880 //add energies warp wide  
881 __syncthreads();  
882 if (threadIdx.x < 512){  
883     if (threadIdx.x % 32 == 0){  
884         for (int i = 1; i < 32; i++){  
885             magn_chunk[threadIdx.x] = magn_chunk[threadIdx.x] + magn_chunk[threadIdx.x + i];  
886         }  
887     }  
888 }  
889  
890 //add energies block wide  
891 __syncthreads();  
892 if (threadIdx.x == 0){  
893     for (int i = 1; i < 16; i++){  
894         magn_chunk[0] = magn_chunk[0] + magn_chunk[32 * i];  
895     }  
896 }  
897  
898 //first 32 threads writes results in global memory  
899 __syncthreads();  
900 if (threadIdx.x < 32){  
901     *(magnetization_block_wide + 32 * (blockIdx.x + blockIdx.y*gridDim.x + blockIdx.z*  
902         gridDim.x*gridDim.y) + threadIdx.x) = getNumber(magn_chunk[0], threadIdx.x);  
903 }  
904  
905 __global__ void shiftDemonsBlockWide3D(unsigned int* demons_d, unsigned int random_offset  
906 , int L1, int L2, int L3){  
907 coordinates3D_t even_position = indexToCoordinates3DEven(threadIdx.x);  
908 coordinates3D_t odd_position = indexToCoordinates3DOdd(threadIdx.x);  
909  
910 __shared__ demons3_t demon_chunk[2048];  
911  
912 //load even demons  
913 demon_chunk[threadIdx.x] = getDemons3D(demons_d, even_position, L1, L2, L3);  
914  
915 //load odd demons  
916 demon_chunk[threadIdx.x + 1024] = getDemons3D(demons_d, odd_position, L1, L2, L3);  
917  
918 __syncthreads();  
919  
920 int new_index_even = (threadIdx.x + random_offset) % 2048;  
921 int new_index_odd = (threadIdx.x + 1024 + random_offset) % 2048;  
922  
923 writeDemons3D(demon_chunk[new_index_even], demons_d, even_position, L1, L2, L3);  
924 writeDemons3D(demon_chunk[new_index_odd], demons_d, odd_position, L1, L2, L3);  
925 }  
926  
927 __global__ void shiftDemonsGridWide3D(unsigned int* demons_d, unsigned int random_offset,  
928 int L1, int L2, int L3){  
929  
930     unsigned int offset_x = (random_offset & 65535);  
931     unsigned int offset_z = (random_offset & ~65535) >> 16;  
932  
933     coordinates3D_t even_position = indexToCoordinates3DEven(threadIdx.x);  
934     coordinates3D_t odd_position = indexToCoordinates3DOdd(threadIdx.x);  
935  
936     coordinates3D_t block_origin;  
937     block_origin.x = blockIdx.x * 64;
```

```
937 block_origin.y = blockIdx.y * 32;
938 block_origin.z = blockIdx.z;
939
940 coordinates3D_t swap_block_origin;
941 swap_block_origin.x = ((blockIdx.x + offset_x) % gridDim.x) * 64;
942 swap_block_origin.y = (blockIdx.y + gridDim.y) * 32;
943 swap_block_origin.z = (blockIdx.z + offset_z) % gridDim.z;
944
945
946 coordinates3D_t swap_even_position;
947 swap_even_position.x = (even_position.x - block_origin.x) + swap_block_origin.x;
948 swap_even_position.y = (even_position.y - block_origin.y) + swap_block_origin.y;
949 swap_even_position.z = (even_position.z - block_origin.z) + swap_block_origin.z;
950
951 coordinates3D_t swap_odd_position;
952 swap_odd_position.x = (odd_position.x - block_origin.x) + swap_block_origin.x;
953 swap_odd_position.y = (odd_position.y - block_origin.y) + swap_block_origin.y;
954 swap_odd_position.z = (odd_position.z - block_origin.z) + swap_block_origin.z;
955
956 __shared__ demons3_t demon_chunk[2048];
957
958 /*
959 swap even demons3_t
960 */
961
962 demon_chunk[threadIdx.x] = getDemons3D(demons_d, even_position, L1, L2, L3);
963 demon_chunk[threadIdx.x + 1024] = getDemons3D(demons_d, swap_even_position, L1, L2, L3);
964
965 __syncthreads();
966
967 writeDemons3D(demon_chunk[threadIdx.x + 1024], demons_d, even_position, L1, L2, L3);
968 writeDemons3D(demon_chunk[threadIdx.x], demons_d, swap_even_position, L1, L2, L3);
969
970 __syncthreads();
971
972 /*
973 swap
974 odd demons3_t
975 */
976 demon_chunk[threadIdx.x] = getDemons3D(demons_d, odd_position, L1, L2, L3);
977 demon_chunk[threadIdx.x + 1024] = getDemons3D(demons_d, swap_odd_position, L1, L2, L3);
978
979 __syncthreads();
980
981 writeDemons3D(demon_chunk[threadIdx.x + 1024], demons_d, odd_position, L1, L2, L3);
982 writeDemons3D(demon_chunk[threadIdx.x], demons_d, swap_odd_position, L1, L2, L3);
983 }
984
985
986 __global__ void demonLayersOccupationBlockWide3D(unsigned int* demons_d, unsigned int*
987     demon_block_attributes_d, int L1, int L2, int L3){
988
989 demons3_t own_demons;
990 demons3_t odd_demons;
991
992 coordinates3D_t own_position = indexToCoordinates3DEven(threadIdx.x);
993 coordinates3D_t odd_position = indexToCoordinates3DOdd(threadIdx.x);
994
995 own_demons = getDemons3D(demons_d, own_position, L1, L2, L3);
996 odd_demons = getDemons3D(demons_d, odd_position, L1, L2, L3);
997
998 //add up occupations
999 unsigned int own_layer_occupation_low = 0; //first layer
1000 unsigned int own_layer_occupation_mid = 0; // second layer
1001 unsigned int own_layer_occupation_high = 0; //third layer
```

```

1002 unsigned int demon_mask;
1003 for (int i = 0; i < 32; i++){
1004     demon_mask = (1 << i);
1005
1006     own_layer_occupation_low = own_layer_occupation_low + ((own_demons.ldemons & demon_mask
1007         ) >> i) + ((odd_demons.ldemons & demon_mask) >> i);
1008     own_layer_occupation_mid = own_layer_occupation_mid + ((own_demons.mdemons & demon_mask
1009         ) >> i) + ((odd_demons.mdemons & demon_mask) >> i);
1010     own_layer_occupation_high = own_layer_occupation_high + ((own_demons.hdemons &
1011         demon_mask) >> i) + ((odd_demons.hdemons & demon_mask) >> i);
1012 }
1013 __shared__ unsigned int occupation_chunk[3 * 1024];
1014
1015 occupation_chunk[3 * threadIdx.x] = own_layer_occupation_low;
1016 occupation_chunk[3 * threadIdx.x + 1] = own_layer_occupation_mid;
1017 occupation_chunk[3 * threadIdx.x + 2] = own_layer_occupation_high;
1018 __syncthreads();
1019 if (threadIdx.x % 32 == 0){
1020     for (int i = 1; i < 32; i++){
1021         occupation_chunk[3 * threadIdx.x] = occupation_chunk[3 * threadIdx.x] +
1022             occupation_chunk[3 * threadIdx.x + 3 * i];
1023         occupation_chunk[3 * threadIdx.x + 1] = occupation_chunk[3 * threadIdx.x + 1] +
1024             occupation_chunk[3 * threadIdx.x + 3 * i + 1];
1025         occupation_chunk[3 * threadIdx.x + 2] = occupation_chunk[3 * threadIdx.x + 2] +
1026             occupation_chunk[3 * threadIdx.x + 3 * i + 2];
1027     }
1028 }
1029 //add energies block wide
1030 __syncthreads();
1031 if (threadIdx.x == 0){
1032     for (int i = 1; i < 32; i++){
1033         occupation_chunk[0] = occupation_chunk[0] + occupation_chunk[32 * 3 * i];
1034         occupation_chunk[1] = occupation_chunk[1] + occupation_chunk[32 * 3 * i + 1];
1035         occupation_chunk[2] = occupation_chunk[2] + occupation_chunk[32 * 3 * i + 2];
1036     }
1037     //write results in memory
1038     *(demon_block_attributes_d + 4 * (blockIdx.x + blockIdx.y*gridDim.x + blockIdx.z*
1039         gridDim.x*gridDim.y)) = occupation_chunk[0];
1040     *(demon_block_attributes_d + 4 * (blockIdx.x + blockIdx.y*gridDim.x + blockIdx.z*
1041         gridDim.x*gridDim.y)+1) = occupation_chunk[1];
1042     *(demon_block_attributes_d + 4 * (blockIdx.x + blockIdx.y*gridDim.x + blockIdx.z*
1043         gridDim.x*gridDim.y)+2) = occupation_chunk[2];
1044 }
1045 __global__ void applyPatternRemove3D(unsigned int* demons_d, unsigned int*
1046     random_pattern_d, int layer, int L1, int L2, int L3){
1047 coordinates3D_t own_position = indexToCoordinates3DEven(threadIdx.x);
1048 coordinates3D_t odd_position = indexToCoordinates3DOdd(threadIdx.x);
1049 demons3_t own_demons = getDemons3D(demons_d, own_position, L1, L2, L3);
1050 demons3_t odd_demons = getDemons3D(demons_d, odd_position, L1, L2, L3);
1051
1052 unsigned int random_pattern_own;
1053 unsigned int random_pattern_odd;
1054
1055
1056 unsigned int layer_demons_own;

```

```
1058 unsigned int layer_demons_odd;
1059
1060 unsigned int applied_changes_own;
1061 unsigned int applied_changes_odd;
1062
1063 unsigned int own_change_count = 0;
1064
1065 __shared__ unsigned int block_wide_changes[1024];
1066
1067 if (layer == DEMON_LAYER_LOW){
1068
1069     layer_demons_own = own_demons.ldemons;
1070     layer_demons_odd = odd_demons.ldemons;
1071
1072 }
1073 else if (layer == DEMON_LAYER_MID){
1074
1075     layer_demons_own = own_demons.mdemons;
1076     layer_demons_odd = odd_demons.mdemons;
1077
1078 }
1079 else if (layer == DEMON_LAYER_HIGH){
1080
1081     layer_demons_own = own_demons.hdemons;
1082     layer_demons_odd = odd_demons.hdemons;
1083
1084 }
1085
1086 random_pattern_own = *(random_pattern_d + own_position.x + own_position.y*L1 +
1087     own_position.z*L1*L2);
1087 random_pattern_odd = *(random_pattern_d + odd_position.x + odd_position.y*L1 +
1088     odd_position.z*L1*L2);
1089
1090 applied_changes_own = layer_demons_own;
1091 applied_changes_odd = layer_demons_odd;
1092
1093 //remove demons if possible
1094 layer_demons_own = layer_demons_own & (~random_pattern_own);
1095 layer_demons_odd = layer_demons_odd & (~random_pattern_odd);
1096
1097 /*
1098 bit 1: change applied (demon removed)
1099 bit 0: no change occurred
1100 */
1101 applied_changes_own = (applied_changes_own & random_pattern_own);
1102 applied_changes_odd = (applied_changes_odd & random_pattern_odd);
1103
1104 //compute number of changes
1105 unsigned int demon_mask;
1106 for (int i = 0; i < 32; i++){
1107     demon_mask = (1 << i);
1108     own_change_count = own_change_count + ((applied_changes_own & demon_mask) >> i) +
1109         ((applied_changes_odd & demon_mask) >> i);
1110 }
1111
1112 block_wide_changes[threadIdx.x] = own_change_count;
1113 __syncthreads();
1114 //sum up changes warp wide
1115 if (threadIdx.x % 32 == 0){
1116     for (int i = 1; i < 32; i++){
1117         block_wide_changes[threadIdx.x] = block_wide_changes[threadIdx.x] +
1118             block_wide_changes[threadIdx.x + i];
1119     }
```

```
1120 }
1121 __syncthreads();
1122
1123 //thread 0 sums up rest and saves informations in random_pattern_d
1124 if (threadIdx.x == 0){
1125
1126     for (int i = 1; i < 32; i++){
1127         block_wide_changes[0] = block_wide_changes[0] + block_wide_changes[32 * i];
1128     }
1129     *(random_pattern_d + blockIdx.x * 64 + blockIdx.y * 32 * L1 + blockIdx.z*L1*L2) =
1130         block_wide_changes[0];
1131 }
1132
1133 //write back new demons to memory
1134 if (layer == DEMON_LAYER_LOW){
1135
1136     own_demons.ldemons = layer_demons_own;
1137     odd_demons.ldemons = layer_demons_odd;
1138 }
1139 else if (layer == DEMON_LAYER_MID){
1140
1141     own_demons.mdemons = layer_demons_own;
1142     odd_demons.mdemons = layer_demons_odd;
1143 }
1144 else if (layer == DEMON_LAYER_HIGH){
1145
1146     own_demons.hdemons = layer_demons_own;
1147     odd_demons.hdemons = layer_demons_odd;
1148 }
1149
1150 writeDemons3D(own_demons, demons_d, own_position, L1, L2, L3);
1151 writeDemons3D(odd_demons, demons_d, odd_position, L1, L2, L3);
1152
1153
1154 __global__ void applyPatternSet3D(unsigned int* demons_d, unsigned int* random_pattern_d,
1155                                     int layer, int L1, int L2, int L3){
1156
1157     coordinates3D_t own_position = indexToCoordinates3DEven(threadIdx.x);
1158     coordinates3D_t odd_position = indexToCoordinates3DOdd(threadIdx.x);
1159
1160     demons3_t own_demons = getDemons3D(demons_d, own_position, L1, L2, L3);
1161     demons3_t odd_demons = getDemons3D(demons_d, odd_position, L1, L2, L3);
1162
1163     unsigned int random_pattern_own;
1164     unsigned int random_pattern_odd;
1165
1166
1167     unsigned int layer_demons_own;
1168     unsigned int layer_demons_odd;
1169
1170     unsigned int applied_changes_own;
1171     unsigned int applied_changes_odd;
1172
1173     unsigned int own_change_count = 0;
1174
1175     __shared__ unsigned int block_wide_changes[1024];
1176
1177     if (layer == DEMON_LAYER_LOW){
1178
1179         layer_demons_own = own_demons.ldemons;
1180         layer_demons_odd = odd_demons.ldemons;
1181
1182     }
1183 }
```

```
1184 else if (layer == DEMON_LAYER_MID){
1185     layer_demons_own = own_demons.mdemons;
1186     layer_demons_odd = odd_demons.mdemons;
1187
1188 }
1189 else if (layer == DEMON_LAYER_HIGH){
1190
1191     layer_demons_own = own_demons.hdemons;
1192     layer_demons_odd = odd_demons.hdemons;
1193
1194 }
1195
1196
1197 random_pattern_own = *(random_pattern_d + own_position.x + own_position.y*L1 +
1198     own_position.z*L1*L2);
1199 random_pattern_odd = *(random_pattern_d + odd_position.x + odd_position.y*L1 +
1200     odd_position.z*L1*L2);
1201
1202 applied_changes_own = layer_demons_own;
1203 applied_changes_odd = layer_demons_odd;
1204
1205 //set demons if possible
1206 layer_demons_own = layer_demons_own | random_pattern_own;
1207 layer_demons_odd = layer_demons_odd | random_pattern_odd;
1208
1209 /*
1210 bit 1: change applied (demon set)
1211 bit 0: no change occurred
1212 */
1213 applied_changes_own = (applied_changes_own ^ random_pattern_own) & random_pattern_own;
1214 applied_changes_odd = (applied_changes_odd ^ random_pattern_odd) & random_pattern_odd;
1215
1216 //compute number of changes
1217 unsigned int demon_mask;
1218 for (int i = 0; i < 32; i++){
1219     demon_mask = (1 << i);
1220     own_change_count = own_change_count + ((applied_changes_own & demon_mask) >> i) +
1221         ((applied_changes_odd & demon_mask) >> i);
1222 }
1223
1224 block_wide_changes[threadIdx.x] = own_change_count;
1225 __syncthreads();
1226 //sum up changes warp wide
1227 if (threadIdx.x % 32 == 0){
1228
1229     for (int i = 1; i < 32; i++){
1230         block_wide_changes[threadIdx.x] = block_wide_changes[threadIdx.x] +
1231             block_wide_changes[threadIdx.x + i];
1232     }
1233 }
1234 __syncthreads();
1235
1236 //thread 0 sums up rest and saves informations in random_pattern_d
1237 if (threadIdx.x == 0){
1238
1239     for (int i = 1; i < 32; i++){
1240         block_wide_changes[0] = block_wide_changes[0] + block_wide_changes[32 * i];
1241     }
1242
1243     *(random_pattern_d + blockIdx.x*64+ blockIdx.y*32*L1 + blockIdx.z*L1*L2) =
1244         block_wide_changes[0];
1245 }
1246
1247 //write new demons back to memory
```

```
1245 if (layer == DEMON_LAYER_LOW){
1246     own_demons.ldemons = layer_demons_own;
1247     odd_demons.ldemons = layer_demons_odd;
1250 }
1251 }  
1252 else if (layer == DEMON_LAYER_MID){
1253
1254     own_demons.mdemons = layer_demons_own;
1255     odd_demons.mdemons = layer_demons_odd;
1256 }
1257 }  
1258 else if (layer == DEMON_LAYER_HIGH){
1259
1260     own_demons.hdemons = layer_demons_own;
1261     odd_demons.hdemons = layer_demons_odd;
1262 }
1263
1264 writeDemons3D(own_demons, demons_d, own_position, L1, L2, L3);
1265 writeDemons3D(odd_demons, demons_d, odd_position, L1, L2, L3);
1266 }
1267
1268
1269 __global__ void updateDemons3D(unsigned int* demons_d, unsigned int* randoms, double
1270     set_probabilities[], int L1, int L2, int L3){
1271     demons3_t own_demons;
1272     demons3_t odd_demons;
1273
1274     coordinates3D_t own_position = indexToCoordinates3DEven(threadIdx.x);
1275     coordinates3D_t odd_position = indexToCoordinates3DOdd(threadIdx.x);
1276
1277     own_demons = getDemons3D(demons_d, own_position, L1, L2, L3);
1278     odd_demons = getDemons3D(demons_d, odd_position, L1, L2, L3);
1279
1280     int current_random = (int) *(randoms + 1024*(blockIdx.x + blockIdx.y*gridDim.x + blockIdx
1281         .z*gridDim.x*gridDim.y) + threadIdx.x);
1282     double set_prob[3];
1283     set_prob[0] = set_probabilities[0];
1284     set_prob[1] = set_probabilities[1];
1285     set_prob[2] = set_probabilities[2];
1286
1287     for (int i = 0; i < 32; i++){
1288         //for low demons
1289         simpleRandomInteger0(current_random);
1290         if ((current_random / 2147483646.0) <= set_prob[0]){
1291             own_demons.ldemons = own_demons.ldemons | (1 << i);
1292         }
1293         else{
1294             own_demons.ldemons = own_demons.ldemons & ~(1 << i);
1295         }
1296
1297         simpleRandomInteger0(current_random);
1298         if ((current_random / 2147483646.0) <= set_prob[0]){
1299             odd_demons.ldemons = odd_demons.ldemons | (1 << i);
1300         }
1301         else{
1302             odd_demons.ldemons = odd_demons.ldemons & ~(1 << i);
1303         }
1304
1305         simpleRandomInteger0(current_random);
1306         if ((current_random / 2147483646.0) <= set_prob[1]){
1307             own_demons.mdemons = own_demons.mdemons | (1 << i);
1308         }
1309         else{
1310             own_demons.mdemons = own_demons.mdemons & ~(1 << i);
```

```

1309 }
1310
1311 simpleRandomInteger0(current_random);
1312 if ((current_random / 2147483646.0) <= set_prob[1]){
1313     odd_demons.mdemons = odd_demons.mdemons | (1 << i);
1314 }
1315 else{
1316     odd_demons.mdemons = odd_demons.mdemons & ~(1 << i);
1317 }
1318
1319 simpleRandomInteger0(current_random);
1320 if ((current_random / 2147483646.0) <= set_prob[2]){
1321     own_demons.hdemons = own_demons.hdemons | (1 << i);
1322 }
1323 else{
1324     own_demons.hdemons = own_demons.hdemons & ~(1 << i);
1325 }
1326
1327 simpleRandomInteger0(current_random);
1328 if ((current_random / 2147483646.0) <= set_prob[2]){
1329     odd_demons.hdemons = odd_demons.hdemons | (1 << i);
1330 }
1331 else{
1332     odd_demons.hdemons = odd_demons.hdemons & ~(1 << i);
1333 }
1334 }
1335
1336 //write back randoms
1337 *(randoms + 1024*(blockIdx.x + blockIdx.y*gridDim.x + blockIdx.z*gridDim.x*gridDim.y) +
1338     threadIdx.x) = (unsigned int) current_random;
1339
1340 //write back demons
1341
1342 writeDemons3D(own_demons, demons_d, own_position, L1, L2, L3);
1343 writeDemons3D(odd_demons, demons_d, odd_position, L1, L2, L3);
1344 }
```

8.2.2.8 Lattice.cu

```

1 #include "cuda_runtime.h"
2 #include "device_launch_parameters.h"
3
4 #include "Lattice.hpp"
5 #include "routines3D.hpp"
6 #include "routines2D.hpp"
7 #include <iostream>
8
9 using namespace std;
10
11 void Lattice::demonRandomChangesSet3D(int &changes, int layer, int pattern_fact){
12     unsigned int total_changes;
13     unsigned int random_site;
14     dim3 blocks(this->gridDimX, this->gridDimY, this->gridDimZ);
15     while (changes > 0){
16
17         //reinitialize random pattern
18         cudaMemset(random_pattern_d, 0, L1*L2*L3*sizeof(unsigned int));
19         cudaDeviceSynchronize();
20         cudaMemcpy(random_pattern, random_pattern_d, L1*L2*L3*sizeof(unsigned int),
21             cudaMemcpyDeviceToHost);
22 }
```

```
23 //create random pattern
24 for (int k = 0; k < pattern_fact*changes; k++){
25     //random site
26     random_site = random_generator->getRandomInteger() % (L1*L2*L3);
27     random_pattern[random_site] = random_pattern[random_site] | (1 << (random_generator->
28         getRandomInteger() % 32));
29 }
30 cudaMemcpy(random_pattern_d, random_pattern, L1*L2*L3*sizeof(unsigned int),
31     cudaMemcpyHostToDevice);
32 applyPatternSet3D << <blocks, 1024 >> >(demons_d, random_pattern_d, layer, L1, L2, L3);
33 cudaMemcpy(random_pattern, random_pattern_d, L1*L2*L3*sizeof(unsigned int),
34     cudaMemcpyDeviceToHost);
35
36 //calculate total changes
37 total_changes = 0;
38 for (int x = 0; x < L1; x = x + 64){
39     for (int y = 0; y < L2; y = y + 32){
40         for (int z = 0; z < L3; z++){
41             total_changes = total_changes + *(random_pattern + x + y*L1 + z*L1*L2);
42         }
43     }
44 }
45 changes = changes - total_changes;
46 }
47 }
48
49 void Lattice::demonRandomChangesRemove3D(int &changes, int layer, int pattern_fact){
50     unsigned int total_changes;
51     unsigned int random_site;
52     dim3 blocks(this->gridDimX, this->gridDimY, this->gridDimZ);
53     while (changes > 0){
54
55         //reinitialize random pattern
56         cudaMemcpy(random_pattern_d, 0, L1*L2*L3*sizeof(unsigned int));
57         cudaDeviceSynchronize();
58         cudaMemcpy(random_pattern, random_pattern_d, L1*L2*L3*sizeof(unsigned int),
59             cudaMemcpyDeviceToHost);
60
61         //create random pattern
62         for (int k = 0; k < pattern_fact*changes; k++){
63             //random site
64             random_site = random_generator->getRandomInteger() % (L1*L2*L3);
65             random_pattern[random_site] = random_pattern[random_site] | (1 << (random_generator->
66                 getRandomInteger() % 32));
67         }
68         cudaMemcpy(random_pattern_d, random_pattern, L1*L2*L3*sizeof(unsigned int),
69             cudaMemcpyHostToDevice);
70         applyPatternRemove3D << <blocks, 1024 >> >(demons_d, random_pattern_d, layer, L1, L2,
71             L3);
72         cudaMemcpy(random_pattern, random_pattern_d, L1*L2*L3*sizeof(unsigned int),
73             cudaMemcpyDeviceToHost);
74
74 //calculate total changes
75 total_changes = 0;
76 for (int x = 0; x < L1; x = x + 64){
77     for (int y = 0; y < L2; y = y + 32){
78         for (int z = 0; z < L3; z++){
79             total_changes = total_changes + *(random_pattern + x + y*L1 + z*L1*L2);
80         }
81     }
82 }
```

```
81     }
82 }
83 changes = changes - total_changes;
84 }
85 }
86 }
87
88 void Lattice::demonRandomChangesSet2D(int &changes, int layer, int pattern_fact){
89 unsigned int total_changes;
90 unsigned int random_site;
91 dim3 blocks(this->gridDimX, this->gridDimY);
92 while (changes > 0){
93
94     //reinitialize random pattern
95     cudaMemset(random_pattern_d, 0, L1*L2*sizeof(unsigned int));
96     cudaDeviceSynchronize();
97     cudaMemcpy(random_pattern, random_pattern_d, L1*L2*sizeof(unsigned int),
98             cudaMemcpyDeviceToHost);
99
100    //create random pattern
101    for (int k = 0; k < pattern_fact*changes; k++){
102        //random site
103        random_site = random_generator->getRandomInteger() % (L1*L2);
104        random_pattern[random_site] = random_pattern[random_site] | (1 << (random_generator->
105            getRandomInteger() % 32));
106    }
107
108    cudaMemcpy(random_pattern_d, random_pattern, L1*L2*sizeof(unsigned int),
109             cudaMemcpyHostToDevice);
110    applyPatternSet2D << <blocks, 1024 >> >(demons_d, random_pattern_d, layer, L1, L2);
111    cudaMemcpy(random_pattern, random_pattern_d, L1*L2*sizeof(unsigned int),
112             cudaMemcpyDeviceToHost);
113
114    //calculate total changes
115    total_changes = 0;
116    for (int x = 0; x < L1; x = x + 64){
117        for (int y = 0; y < L2; y = y + 32){
118
119            total_changes = total_changes + *(random_pattern + x + y*L1);
120        }
121    }
122    changes = changes - total_changes;
123 }
124
125 void Lattice::demonRandomChangesRemove2D(int &changes, int layer, int pattern_fact){
126 unsigned int total_changes;
127 unsigned int random_site;
128 dim3 blocks(this->gridDimX, this->gridDimY);
129 while (changes > 0){
130
131     //reinitialize random pattern
132     cudaMemset(random_pattern_d, 0, L1*L2*sizeof(unsigned int));
133     cudaDeviceSynchronize();
134     cudaMemcpy(random_pattern, random_pattern_d, L1*L2*sizeof(unsigned int),
135             cudaMemcpyDeviceToHost);
136
137     //create random pattern
138     for (int k = 0; k < pattern_fact*changes; k++){
139         //random site
140         random_site = random_generator->getRandomInteger() % (L1*L2);
```

```
141     random_pattern[random_site] = random_pattern[random_site] | (1 << (random_generator
142     ->getRandomInteger() % 32));
143 }
144
145 cudaMemcpy(random_pattern_d, random_pattern, L1*L2*sizeof(unsigned int),
146 cudaMemcpyHostToDevice);
146 applyPatternRemove2D <<<blocks, 1024 >>>(demons_d, random_pattern_d, layer, L1, L2);
147 cudaMemcpy(random_pattern, random_pattern_d, L1*L2*sizeof(unsigned int),
148 cudaMemcpyDeviceToHost);
149
150 //calculate total changes
151 total_changes = 0;
152 for (int x = 0; x < L1; x = x + 64){
153     for (int y = 0; y < L2; y = y + 32){
154
155         total_changes = total_changes + *(random_pattern + x + y*L1);
156     }
157 }
158 changes = changes - total_changes;
159 }
160 }
161
162 void Lattice::updateSystem(){
163 if (dimension == _ISING_3D_ && boundary == _PERIODIC_){
164     //metropolis update
165     dim3 blocks(this->gridDimX, this->gridDimY, this->gridDimZ);
166     dim3 blocks_red(this->gridDimX, this->gridDimY / 2, this->gridDimZ);
167     unsigned int random_offset;
168
169     metropolis3DPeriodicEven <<<blocks, 1024 >>>(this->spins_d, this->demons_d, this->L1,
170     this->L2, this->L3);
171     metropolis3DPeriodicOdd <<<blocks, 1024 >>>(this->spins_d, this->demons_d, this->L1,
172     this->L2, this->L3);
173     cudaDeviceSynchronize();
174
175     random_offset = this->random_generator->getRandomInteger();
176     shiftDemonsBlockWide3D <<<blocks, 1024 >>> (this->demons_d, random_offset, this->L1,
177     this->L2, this->L3);
178
178     random_offset = this->random_generator->getRandomInteger();
179     shiftDemonsGridWide3D <<<blocks_red, 1024 >>>(this->demons_d, random_offset, this->L1,
180     this->L2, this->L3);
181
181     cudaDeviceSynchronize();
182 }
183 else if (dimension == _ISING_2D_ && boundary == _PERIODIC_){
184     //metropolis update
185     dim3 blocks(this->gridDimX, this->gridDimY);
186     dim3 blocks_red(this->gridDimX, this->gridDimY / 2);
187     unsigned int random_offset;
188
189     metropolis2DPeriodicEven <<<blocks, 1024 >>>(this->spins_d, this->demons_d, this->L1,
190     this->L2);
191     metropolis2DPeriodicOdd <<<blocks, 1024 >>>(this->spins_d, this->demons_d, this->L1,
192     this->L2);
193     cudaDeviceSynchronize();
194
195     random_offset = this->random_generator->getRandomInteger();
196     shiftDemonsBlockWide2D << blocks, 1024 >> > (this->demons_d, random_offset, this->L1,
197     this->L2);
```



```
254     pattern_fact = 1 / pattern_fact;
255     demonRandomChangesSet3D(demon_layer_change[i], i, (int) pattern_fact);
256
257     if (demon_layer_change[i] < 0){
258
259         demon_layer_change[i] = -demon_layer_change[i];
260         demonRandomChangesRemove3D(demon_layer_change[i], i, 1);
261
262     }
263 }
264
265 }
266
267 else{
268     pattern_fact = total_occupation[i] / ((double)32 * L1*L2*L3);
269
270     if (((double)total_occupation[i])/((double)32*L1*L2*L3) >= 0.5){
271         demonRandomChangesRemove3D(demon_layer_change[i], i, 1);
272     }
273     else{
274
275         pattern_fact = 1 / pattern_fact;
276         demonRandomChangesRemove3D(demon_layer_change[i], i, (int) pattern_fact);
277
278         if (demon_layer_change[i] < 0){
279
280             demon_layer_change[i] = -demon_layer_change[i];
281             demonRandomChangesSet3D(demon_layer_change[i], i, 1);
282
283         }
284     }
285 }
286 }
287
288 }
289 else if (dimension == _ISING_2D_){
290     dim3 blocks(this->gridDimX, this->gridDimY);
291     demonLayersOccupationBlockWide2D << <blocks, 1024 >> >(this->demons_d, this->
292     demon_block_attributes_d, this->L1, this->L2);
293     cudaMemcpy(demon_block_attributes, demon_block_attributes_d, (4 * (L1*L2) / 2048)*
294     sizeof(unsigned int), cudaMemcpyDeviceToHost);
295
296 //compute total occupation for each demon layer.
297     int total_occupation[DEMON_LAYERS];
298
299     total_occupation[DEMON_LAYER_LOW] = 0;
300     total_occupation[DEMON_LAYER_MID] = 0;
301     total_occupation[DEMON_LAYER_HIGH] = 0;
302
303     for (int i = 0; i < (L1*L2) / 2048; i++){
304
305         //sum up total number of occupied demon energies.
306         total_occupation[DEMON_LAYER_LOW] = total_occupation[DEMON_LAYER_LOW] +
307         demon_block_attributes[4 * i];
308         total_occupation[DEMON_LAYER_MID] = total_occupation[DEMON_LAYER_MID] +
309         demon_block_attributes[4 * i + 1];
310         total_occupation[DEMON_LAYER_HIGH] = total_occupation[DEMON_LAYER_HIGH] +
311         demon_block_attributes[4 * i + 2];
312
313     }
314
315 //calculate changes for the demon layer
```

```
315 int demon_layer_change[DEMON_LAYERS];
316
317 demon_layer_change[DEMON_LAYER_LOW] = total_occupation[DEMON_LAYER_LOW] -
318     demon_layer_occupation_dist[DEMON_LAYER_LOW]->getBinomialInteger();
319 demon_layer_change[DEMON_LAYER_MID] = total_occupation[DEMON_LAYER_MID] -
320     demon_layer_occupation_dist[DEMON_LAYER_MID]->getBinomialInteger();
321 demon_layer_change[DEMON_LAYER_HIGH] = total_occupation[DEMON_LAYER_HIGH] -
322     demon_layer_occupation_dist[DEMON_LAYER_HIGH]->getBinomialInteger();
323
324 double pattern_fact;
325
326 for (int i = 0; i < DEMON_LAYERS; i++){
327     if (demon_layer_change[i] < 0){
328
329         demon_layer_change[i] = -demon_layer_change[i];
330         pattern_fact = ((32 * L1*L2 - total_occupation[i]) / ((double)32 * L1*L2));
331
332     if (pattern_fact >= 0.5){
333         demonRandomChangesSet2D(demon_layer_change[i], i, 1);
334     }
335     else{
336
337         pattern_fact = 1 / pattern_fact;
338         demonRandomChangesSet2D(demon_layer_change[i], i, (int)pattern_fact);
339
340         if (demon_layer_change[i] < 0){
341
342             demon_layer_change[i] = -demon_layer_change[i];
343             demonRandomChangesRemove2D(demon_layer_change[i], i, 1);
344
345         }
346     }
347     else{
348         pattern_fact = total_occupation[i] / ((double)32 * L1*L2);
349
350         if (((double)total_occupation[i]) / ((double)32 * L1*L2) >= 0.5){
351             demonRandomChangesRemove2D(demon_layer_change[i], i, 1);
352         }
353         else{
354
355             pattern_fact = 1 / pattern_fact;
356             demonRandomChangesRemove2D(demon_layer_change[i], i, (int)pattern_fact);
357
358             if (demon_layer_change[i] < 0){
359
360                 demon_layer_change[i] = -demon_layer_change[i];
361                 demonRandomChangesSet2D(demon_layer_change[i], i, 1);
362
363             }
364         }
365     }
366 }
367 }
368 }
369
370 void Lattice::updateDemonLayersNew(){
371 if (dimension == _ISING_2D_){
372     dim3 blocks(gridDimX, gridDimY);
373     updateDemons2D <<<blocks, 1024 >>>(demons_d, random_pattern_d, set_probabilities_d, L1,
374     L2);
375     cudaDeviceSynchronize();
376 }
```

```
377 }
378 else if (dimension == _ISING_3D_){
379     dim3 blocks(gridDimX, gridDimY, gridDimZ);
380     updateDemons3D <<<blocks, 1024 >>>(demons_d, random_pattern_d, set_probabilities_d, L1,
381                                         L2, L3);
382     cudaDeviceSynchronize();
383 }
384 }
385 void Lattice::observeTotalEnergies(int* energies){
386
387 if (dimension == _ISING_3D_ && boundary == _PERIODIC_){
388
389     dim3 blocks(this->gridDimX, this->gridDimY, this->gridDimZ);
390
391     totalEnergyBlockWide3DPeriodic << <blocks, 1024, 34816 >> >(this->spins_d, this->
392                                         demons_d, this->energies_block_wide_d, this->L1, this->L2, this->L3);
393     cudaMemcpy(this->energies_block_wide, this->energies_block_wide_d, (32 * (L1*L2*L3) /
394                                         2048) * sizeof(int), cudaMemcpyDeviceToHost);
395
396     cudaDeviceSynchronize();
397
398     //sum over block energies.
399     for (int i = 0; i < 32; i++){
400         energies[i] = 0;
401
402         //sum over blockwide energies
403         for (int x = 0; x < L1 / 64; x++){
404             for (int y = 0; y < L2 / 32; y++){
405                 for (int z = 0; z < L3; z++){
406                     energies[i] = energies[i] + *(energies_block_wide + 32 * (x + y*(this->gridDimX
407 ) + z*(this->gridDimX)*(this->gridDimY)) + i);
408                 }
409             }
410         }
411     }
412 }
413 else if (dimension == _ISING_2D_ && boundary == _PERIODIC_){
414
415     dim3 blocks(this->gridDimX, this->gridDimY);
416
417     totalEnergyBlockWide2DPeriodic << <blocks, 1024, 34816 >> >(this->spins_d, this->
418                                         demons_d, this->energies_block_wide_d, this->L1, this->L2);
419     cudaMemcpy(this->energies_block_wide, this->energies_block_wide_d, (32 * (L1*L2) /
420                                         2048) * sizeof(int), cudaMemcpyDeviceToHost);
421
422     cudaDeviceSynchronize();
423
424     //sum over block energies.
425     for (int i = 0; i < 32; i++){
426         energies[i] = 0;
427
428         //sum over blockwide energies
429         for (int x = 0; x < L1 / 64; x++){
430             for (int y = 0; y < L2 / 32; y++){
431                 energies[i] = energies[i] + *(energies_block_wide + 32 * (x + y*(this->gridDimX))
432                                         + i);
433             }
434         }
435     }
436 }
437 }
438 void Lattice::initializeRandoms(){
439 if (dimension == _ISING_2D_){
440     for (int i = 0; i < L1 *L2; i++) {
```

```
436     do{
437         random_pattern[i] = (random_generator->getRandomInteger()) >> 1;
438         //random_pattern[i] = i+1;
439     } while (random_pattern[i] == 0);
440 }
441 //cudaMemset(random_pattern_d, 0, L1*L2*sizeof(unsigned int));
442 cudaMemcpy(random_pattern_d, random_pattern, L1*L2*sizeof(unsigned int),
443             cudaMemcpyHostToDevice);
444 }
445 else if (dimension == _ISING_3D_){
446     for (int i = 0; i < L1 *L2*L3; i++){
447         do{
448             random_pattern[i] = (random_generator->getRandomInteger()) >> 1;
449         } while (random_pattern[i] == 0);
450     }
451 //cudaMemset(random_pattern_d, 0, L1*L2*L3*sizeof(unsigned int));
452 cudaMemcpy(random_pattern_d, random_pattern, L1*L2*L3*sizeof(unsigned int),
453             cudaMemcpyHostToDevice);
454 }
455
456 void Lattice::observeTotalSpinEnergies(int* energies){
457 if (dimension == _ISING_3D_ && boundary == _PERIODIC_){
458
459     dim3 blocks(this->gridDimX, this->gridDimY, this->gridDimZ);
460
461     totalSpinEnergyBlockWide3DPeriodic <<<blocks, 1024, 34816 >> >(this->spins_d, this->
462         demons_d, this->energies_block_wide_d, this->L1, this->L2, this->L3);
463     cudaMemcpy(this->energies_block_wide, this->energies_block_wide_d, (32 * (L1*L2*L3) /
464         2048) * sizeof(int), cudaMemcpyDeviceToHost);
465
466     cudaDeviceSynchronize();
467
468     //sum over block energies.
469     for (int i = 0; i < 32; i++){
470         energies[i] = 0;
471
472         //sum over blockwide energies
473         for (int x = 0; x < L1 / 64; x++){
474             for (int y = 0; y < L2 / 32; y++){
475                 for (int z = 0; z < L3; z++){
476                     energies[i] = energies[i] + *(energies_block_wide + 32 * (x + y*(this->gridDimX
477 ) + z*(this->gridDimX)*(this->gridDimY)) + i);
478                 }
479             }
480         }
481     }
482
483     else if (dimension == _ISING_2D_ && boundary == _PERIODIC_){
484
485         dim3 blocks(this->gridDimX, this->gridDimY);
486
487         totalSpinEnergyBlockWide2DPeriodic <<<blocks, 1024, 34816 >> >(this->spins_d, this->
488             demons_d, this->energies_block_wide_d, this->L1, this->L2);
489         cudaMemcpy(this->energies_block_wide, this->energies_block_wide_d, (32 * (L1*L2) /
490             2048) * sizeof(int), cudaMemcpyDeviceToHost);
491
492         cudaDeviceSynchronize();
493
494         //sum over block energies.
495         for (int i = 0; i < 32; i++){
496             energies[i] = 0;
497
498             //sum over blockwide energies
499             for (int x = 0; x < L1 / 64; x++){


```

```
495     for (int y = 0; y < L2 / 32; y++) {
496         energies[i] = energies[i] + *(energies_block_wide + 32 * (x + y*(this->gridDimX))
497             + i);
498     }
499 }
500 }
501 }
502 }
503 void Lattice::observeTotalDemonEnergies(int* energies){
504 if (dimension == _ISING_3D_){
505
506     dim3 blocks(this->gridDimX, this->gridDimY, this->gridDimZ);
507
508     totalDemonEnergyBlockWide3D <<<blocks, 1024, 34816 >>>(this->demons_d, this->
509         energies_block_wide_d, this->L1, this->L2, this->L3);
510     cudaMemcpy(this->energies_block_wide, this->energies_block_wide_d, (32 * (L1*L2*L3) /
511         2048) * sizeof(int), cudaMemcpyDeviceToHost);
512
513     cudaDeviceSynchronize();
514
515     //sum over block energies.
516     for (int i = 0; i < 32; i++){
517         energies[i] = 0;
518
519         //sum over blockwide energies
520         for (int x = 0; x < L1 / 64; x++){
521             for (int y = 0; y < L2 / 32; y++){
522                 for (int z = 0; z < L3; z++){
523
524                     energies[i] = energies[i] + *(energies_block_wide + 32 * (x + y*(this->gridDimX
525                         ) + z*(this->gridDimX)*(this->gridDimY)) + i);
526                 }
527             }
528         }
529     }
530
531     else if (dimension == _ISING_2D_){
532
533         dim3 blocks(this->gridDimX, this->gridDimY);
534
535         totalDemonEnergyBlockWide2D <<<blocks, 1024, 34816 >>>(this->demons_d, this->
536             energies_block_wide_d, this->L1, this->L2);
537         cudaMemcpy(this->energies_block_wide, this->energies_block_wide_d, (32 * (L1*L2) /
538             2048) * sizeof(int), cudaMemcpyDeviceToHost);
539
540         cudaDeviceSynchronize();
541
542         //sum over block energies.
543         for (int i = 0; i < 32; i++){
544             energies[i] = 0;
545
546             //sum over blockwide energies
547             for (int x = 0; x < L1 / 64; x++){
548                 for (int y = 0; y < L2 / 32; y++){
549                     energies[i] = energies[i] + *(energies_block_wide + 32 * (x + y*(this->gridDimX))
550                         + i);
551                 }
552             }
553         }
554     }
555 }
556
557 void Lattice::observeTotalMagnetization(int* magnetization){
558 if (dimension == _ISING_3D_){
```

```
554 dim3 blocks(this->gridDimX, this->gridDimY, this->gridDimZ);
555
556 totalMagnetizationBlockWide3D <<<blocks, 1024, 34816 >>>(this->spins_d, this->
557   magnetization_block_wide_d, this->L1, this->L2, this->L3);
558 cudaMemcpy(this->magnetization_block_wide, this->magnetization_block_wide_d, (32 * (L1*
559     L2*L3) / 2048) * sizeof(int), cudaMemcpyDeviceToHost);
560
561 cudaDeviceSynchronize();
562
563 //sum over block energies.
564 for (int i = 0; i < 32; i++){
565   magnetization[i] = 0;
566
567   //sum over blockwide energies
568   for (int x = 0; x < L1 / 64; x++){
569     for (int y = 0; y < L2 / 32; y++){
570       for (int z = 0; z < L3; z++){
571         magnetization[i] = magnetization[i] + *(magnetization_block_wide + 32 * (x + y*(
572           this->gridDimX) + z*(this->gridDimX)*(this->gridDimY)) + i);
573       }
574     }
575   }
576 }  

577
578 else if (dimension == _ISING_2D_){
579
580   dim3 blocks(this->gridDimX, this->gridDimY);
581
582   totalMagnetizationBlockWide2D <<<blocks, 1024, 34816 >>>(this->spins_d, this->
583     magnetization_block_wide_d, this->L1, this->L2);
584   cudaMemcpy(this->magnetization_block_wide, this->magnetization_block_wide_d, (32 * (L1*
585     L2) / 2048) * sizeof(int), cudaMemcpyDeviceToHost);
586
587   cudaDeviceSynchronize();
588
589   //sum over block energies.
590   for (int i = 0; i < 32; i++){
591     magnetization[i] = 0;
592
593     //sum over blockwide energies
594     for (int x = 0; x < L1 / 64; x++){
595       for (int y = 0; y < L2 / 32; y++){
596         magnetization[i] = magnetization[i] + *(magnetization_block_wide + 32 * (x + y*(
597           this->gridDimX)) + i);
598       }
599     }
600   }
601 }
```

Literaturverzeichnis

- [1] *Finite Size Scaling Analysis of Ising Model Block Distribution Functions*, K. Binder, 1981, Zeitschrift für Physik B - Condensed Matter, Vol. 43, S. 119-140
- [2] *Statistische Mechanik*, 2.Auflage, F. Schwabl, 2004, Springer-Verlag Berlin Heidelberg
- [3] *Statistische Physik*, 2. Auflage, T. Fließbach, 1995, Spektrum Akademischer Verlag Heidelberg
- [4] *Crystal Statistics. I. A Two-Dimensional Model with an Order-Disorder Transistion*, L. Onsager, 1943, Physical Review, Vol. 65, No. 3 & 4, S. 117-149
- [5] *Monte Carlo Studies of the three dimensional Ising Model*, Habilitationsschrift, M. Hasenbusch, Institut für Physik Humboldt Universität zu Berlin
- [6] *Monte Carlo Simulation in der statistischen Physik*, Vorlesungsskript, M. Hasenbusch, Institut für Physik Humboldt Universität zu Berlin
- [7] *The Spontaneous Magnetization of a Two-Dimensional Ising-Model*, C. N. Yang, 1951, Physical Review Vol. 85, No. 5, S. 808-816
- [8] *Critical Phenomena and Renormalization-Group Theory*, A. Pelissetto und E. Vicari, 2002, Physics Report 368, S. 549
- [9] *Renormalization group theory: Its basis and formulation in statistical physics*, E. Fisher, 1998, Reviews of Modern Physics, Vol. 70, No. 2, S. 653-681
- [10] *Finite-size tests of hyperscaling*, K.Binder, M. Nauenberg, V. Privman, A. P. Young, 1985, Physical Review B, Vol. 31, No. 3, S. 1498-1502
- [11] *Introduction to Monte Carlo methods for an Ising Model of a Ferromagnet*, J. Kotze, 2008, arXiv:0803.0217v1 [cond-mat.stat-mech]
- [12] *Universal ratio of magnetization moments in two-dimensional Ising models*, G. Kamieniarz, 1992, Journal of Physics A: Mathematical and General, Vol. 26, S. 201-212
- [13] *Beitrag zur Theorie des Ferromagnetismus*, E. Ising, 1925, Zeitschrift für Physik, Vol. 31, S. 253-258

- [14] *Basic Concepts in Computational Physics*, 2. Auflage, B. A. Stickler und E. Schachinger, 2014, Springer Verlag
- [15] *Markov Chain Monte Carlo Simulations and Their Statistical Analysis*, B. A. Berg, 2004, World Scientific Publishing Co. Pte. Ltd.
- [16] *A NEW CLASS OF RANDOM NUMBER GENERATORS*, G. Margusaglia und A. Zaman, 1991, The Annals of Applied Probability, Vol. 1, No. 3, S. 462-480
- [17] *Numerical Recipes in C - The Art of Scientific Computing*, 2. Auflage, W. H. Press, S. A. Teukolsky, W. T. Vetterling und B. P. Flannery, 1992, Cambridge University Press
- [18] *Microcanonical Monte Carlo Simulation*, M. Creutz, 1983, Physical Review Letters, Vol. 50, No. 19, S. 1411-1414
- [19] *MICROCANONICAL SIMULATION OF ISING SYSTEMS*, G. Bhanot, M. Creutz und H. Neuberger, 1984, Nuclear Physics B235, S. 417-434
- [20] *Multicanonical cluster algorithm and the two-dimensional 7-state Potts model*, K. Rummukainen, 1993, Nuclear Physics B390, S. 621-636
- [21] *Comparison of Monte Carlo results for the 3D Ising interface tension and interface energy with (extrapolated) series expansions*, M. Hasenbusch und K. Pinn, 1994, Physica A 203, S. 189-213
- [22] *Computer Methods for Sampling from Gamma, Beta, Poisson and Binomial Distributions*, J.H. Ahrens und U. Dieter, 1974, Computing 12, S. 223-246
- [23] *First Draft of a Report on the EDVAC*, J. von Neumann, 1993, IEEE Annals of the History of Computing, Vol. 15, No. 4, S. 27-43
- [24] *CUDA C PROGRAMMING GUIDE*, Version: PG-02829-001_v7.5, 2015, herausgegeben durch den Hersteller Nvidia
- [25] *CUDA C BEST PRACTICES GUIDE*, Version: DG-05603-011_v7.5, 2015, herausgegeben durch den Hersteller Nvidia
- [26] *CUDA RUNTIME API*, Version: v7.5, 2015, herausgegeben durch den Hersteller Nvidia
- [27] *CUDA application design and development*, R. Farber, 2012, Waltham, MA: Morgan Kaufmann
- [28] *Using Shared Memory in CUDA C/C++*, M. Harris, 2013,
Adresse: <https://devblogs.nvidia.com/parallelforall/using-shared-memory-cuda-cc/>,
Letzter Aufruf: 26.08.2016

- [29] *How to Access Global Memory Efficiently in CUDA C/C++ Kernels*, M. Harris, 2013, Adresse: <https://devblogs.nvidia.com/parallelforall/how-access-global-memory-efficiently-cuda-c-kernels/>, Letzter Aufruf: 27.08.2016
- [30] *NVIDIA GeForce GTX 980*, Whitepaper herausgegeben durch den Hersteller Nvidia, Adresse: http://international.download.nvidia.com/geforce-com/international/pdfs/GeForce_GTX_980_Whitepaper_FINAL.PDF, Letzter Aufruf: 28.08.2016
- [31] *GPU accelerated Monte Carlo simulation of the 2D and 3D Ising model*, T. Preis, P. Virnau, W. Paul und J. J. Schneider, 2009, Journal of Computational Physics 228, S. 4468-4477
- [32] *Multi-GPU accelerated multi-spin Monte Carlo simulations of the 2D Ising model*, B. Block, P. Virnau und T. Preis, 2010, Computer Physics Communications 181, S. 1549-1556
- [33] *Parallel graph component labelling with GPUs and CUDA*, K. A. Hawick, A. Leist und D. P. Playne, 2010, Parallel Computing 36, S. 655-678

Selbstständigkeitserklärung

Hiermit versichere ich, die vorgelegte Thesis selbstständig und ohne unerlaubte fremde Hilfe und nur mit den Hilfen angefertigt zu haben, die ich in der Thesis angegeben habe. Alle Textstellen, die wörtlich oder sinngemäß aus veröffentlichten Schriften entnommen sind, und alle Angaben die auf mündlichen Auskünften beruhen, sind als solche kenntlich gemacht. Bei den von mir durchgeführten und in der Thesis erwähnten Untersuchungen habe ich die Grundsätze guter wissenschaftlicher Praxis, wie sie in der ‚Satzung der Justus-Liebig-Universität zur Sicherung guter wissenschaftlicher Praxis‘ niedergelegt sind, eingehalten. Gemäß § 25 Abs. 6 der Allgemeinen Bestimmungen für modularisierte Studiengänge dulde ich eine Überprüfung der Thesis mittels Anti-Plagiatssoftware.

Datum

Unterschrift